

เอกสารนี้เป็นของมหาวิทยาลัยที่มีชื่อ Palaeomys spp. บริเวณดินทรายในภาคใต้

โดย  
นางสาวนภัสสร โน๊กติ

วิทยานิพนธ์ในส่วนงานของภาควิชาพัฒนาศาสตร์บริษัทฯ จัดทำโดยมหาวิทยาลัยที่มีชื่อ

สาขาวิชาชีริห์ยา

สาขาวิชาชีริห์ยา

บัณฑิตวิทยาลัย มหาวิทยาลัยพิลปากร

ปีการศึกษา 2547

ISBN 974-464-559-8

ฉบับที่ ๑ ของบัณฑิตวิทยาลัย มหาวิทยาลัยพิลปากร

145038

RECEIVED	
BY	29/7/48
DATE	



โครงการพัฒนาองค์ความรู้และศึกษาไปยังการจัดการทัพนักวิชาการเชิงภาพในประเทศไทย  
c/o ศูนย์พัฒนาวิทยาศาสตร์และเทคโนโลยีเชิงภาพแห่งชาติ  
อาคารสำนักงานพัฒนาวิทยาศาสตร์และเทคโนโลยีเมืองไทย  
73/1 ถนนพระรามที่ 6 แขวงราษฎร์  
กรุงเทพฯ 10400

วิทยานิพนธ์ฉบับนี้รับรองว่าเป็นแบบโดย  
ประธานผู้ควบคุมวิทยานิพนธ์

การศึกษาความหลากหลายชนิดพันธุ์และการกระจายพันธุ์ของหอยน้ำจืด  
*Paludomus* spp. บริเวณลุ่มแม่น้ำแควน้อย

โดย

นางสาวนภัสสร โนตศรี

วิทยานิพนธ์นี้เป็นส่วนหนึ่งของการศึกษาตามหลักสูตรปริญญาวิทยาศาสตรมหาบัณฑิต

สาขาวิชาชีววิทยา

ภาควิชาชีววิทยา

บัณฑิตวิทยาลัย มหาวิทยาลัยศิลปากร

ปีการศึกษา 2547

ISBN 974-464-559-8

ลิขสิทธิ์ของบัณฑิตวิทยาลัย มหาวิทยาลัยศิลปากร

**STUDIES ON THE SPECIES DIVERSITY AND DISTRIBUTION OF FRESHWATER  
SNAIL GENUS *PALUDOMUS* IN KWAE NOI RIVER WATERSHED**

By

Napatsorn Notesiri

A Thesis Submitted in Partial Fulfillment of the Requirements for the Degree

**MASTER OF SCIENCE**

**Department of Biology**

**Graduate School**

**SILPAKORN UNIVERSITY**

**2004**

**ISBN 974-464-559-8**

บัณฑิตวิทยาลัย มหาวิทยาลัยศิลปากร อนุมัติให้วิทยานิพนธ์เรื่อง “การศึกษาความ  
หลากหลายชนิดพันธุ์และการกระจายพันธุ์ของหอยน้ำจืด *Paludomus* spp. บริเวณชุมเม่น้ำ  
แควน้อย” เสนอโดย นางสาวนภัสสร โน๊ตศิริ เป็นส่วนหนึ่งของการศึกษาตามหลักสูตรปริญญา  
วิทยาศาสตรมหาบัณฑิต สาขาวิชาชีววิทยา

.....  
(รองศาสตราจารย์ ดร.จิราวรรณ คงคล้าย)

.....  
‘คอมบดีบัณฑิตวิทยาลัย  
วันที่ ..๑๔.... เดือน ..๗.... พ.ศ. ๒๕๖๘

ผู้ควบคุมวิทยานิพนธ์

- ผู้ช่วยศาสตราจารย์ ดร.ดวงเดือน ไกรลาศ
- ผู้ช่วยศาสตราจารย์ ดร.เดือนตา เจนจรัตน์

คณะกรรมการตรวจสอบวิทยานิพนธ์

..... ประธานกรรมการ

(ผู้ช่วยศาสตราจารย์ วิมล ชัยภูมิกุล)

..... ๒๕.../๐๗.../๒๕๖๘

..... กรรมการ

(ผู้ช่วยศาสตราจารย์ ดร.ดวงเดือน ไกรลาศ)

..... ๒๕.../๐๗.../๒๕๖๘

..... กรรมการ

(ผู้ช่วยศาสตราจารย์ ดร.เดือนตา เจนจรัตน์)

..... ๒๕.../๐๗.../๔๘...

..... กรรมการ

(รองศาสตราจารย์ ดร.วิโรจน์ กิติคุณ)

..... ๒๕.../๐๗.../๑๘...

K 43512001 : สาขาวิชาชีววิทยา

คำสำคัญ : สัณฐานวิทยา / กายวิภาค / *Paludomus* spp. / อิเล็ก trophotrichis / เชอร์คาเรีย

นักสร้างสรรค์ : การศึกษาความหลากหลายชนิดพันธุ์และการกระจายพันธุ์ของหอยน้ำจืด *Paludomus* spp. บริเวณลุ่มน้ำแควน้อย (STUDIES ON THE SPECIES DIVERSITY AND DISTRIBUTION OF FRESHWATER SNAIL GENUS *PALUDOMUS* IN KWAE NOI RIVER WATERSHED) อาจารย์ผู้ควบคุมวิทยานิพนธ์ : ผศ. ดร.ดวงเดือน ไกรลาศ และ ผศ. ดร.เตือนตา เจนจารัตน์. 221 หน้า. ISBN 974-464-559-8

การศึกษาความหลากหลายชนิดพันธุ์และการกระจายพันธุ์ของหอยน้ำจืด *Paludomus* spp. ในลุ่มน้ำแควน้อย จ. กาญจนบุรี โดยสูงเก็บตัวอย่างด้วยมือ พัฒนาทั้งศึกษาสภาพแวดล้อมทางกายภาพและทางเคมีของน้ำ ตัวอย่างที่ได้นำมาศึกษาโดยอาศัยลักษณะทางสัณฐานวิทยาของเปลือก พื้นหอย กายวิภาค การศึกษาอิเล็กโทรฟอร์มาและตรวจสอบความสามารถในการติดเชือกปรสิต เมื่อนำตัวอย่างหอยน้ำจืด *Paludomus* spp. จากน้ำตักไทรโยค น้ำตักไทรโยคใหญ่ หัวยเหต่าดำเนิน ลำธารข้างบ่อน้ำพุร้อนหินดาด น้ำตักผาตาด น้ำพุหัวยเหย่ย ลำธารป่าซุ่มชนบ้านท่ามะเดื่อ น้ำตักเกริงกระเวียง น้ำตักได้ด่อง แหลมน้ำตักตะเคียนทอง มากีชาลักษณะทางสัณฐานวิทยาของเปลือกเบรียบเทียบตามการรายงานของ Brandt (1974) ซึ่งแบ่งหอยน้ำจืด *Paludomus* spp. ในประเทศไทยโดยอาศัยลักษณะทางสัณฐานวิทยาออกเป็น 2 ชนิดคือ *Paludomus petrosus* และ *Paludomus siamensis* พบว่าหอยที่เก็บจากหัวยเหต่าดำเนินมีลักษณะเปลือกคล้ายกับ *P. petrosus* หอยที่เก็บจากน้ำตักผาตาด น้ำพุหัวยเหย่ย น้ำตักได้ด่อง น้ำตักเกริงกระเวียง และน้ำตักตะเคียนทอง มีลักษณะคล้ายกับ *P. siamensis* ตัวอย่างเปลือกหอยจากจุดสำรวจที่เหลือมีลักษณะเปลือกคล้ายกับหอยน้ำจืด *Paludomus* หั้ง 2 ชนิด การศึกษาลักษณะพื้นผิวเปลือกหอยเป็นแบบที่นิโอกล้อซ่า เมื่อทำการเปรียบเทียบกับร่าง ขนาด และจำนวนหยักของพื้นผิวว่าพื้นของหอยที่เก็บจากหัวยเหต่าดำเนินมีลักษณะพื้นกลางกว้างแตกต่างจากจุดสำรวจอื่น

การศึกษาลักษณะทางกายวิภาคพบว่ามีระบบสืบพันธุ์เป็นแบบระบบปิด และระบบเปิด คือมีท่อน้ำไข่หรือท่อน้ำเสปร์มเป็นระบบปิด ส่วนท่อสืบพันธุ์แพลเลียลเป็นระบบเปิด และพบว่าลักษณะตลาดลายบนเนินเทือกและวงค์ดุรุบทาขของหอยจากหัวยเหต่าดำเนินแตกต่างจากจุดสำรวจอื่น ผลการศึกษาเอนไซม์ โดยวิธีอิเล็กโทรโฟร์มาและ malate dehydrogenase พบว่าเอนไซม์ esterase, leucine aminopeptidase, lactase dehydrogenase และ malate dehydrogenase ซึ่งให้เห็นความแตกต่างของหอย *Paludomus* จากหัวยเหต่าดำเนินกับหอยจากจุดสำรวจอื่นในระดับสเปร์ม (ค่าระยะห่างทางพันธุกรรมเท่ากับ 0.191) เมื่อนำผลการศึกษามาประมวลเข้าด้วยกัน สามารถแบ่งหอยน้ำจืด *Paludomus* spp. จากจุดสำรวจทั้ง 10 ที่ที่ออกเป็น 2 สเปร์ม โดยจัดหอยจากหัวยเหต่าดำเนินแยกออกจากจุดสำรวจอื่นอย่างชัดเจน

การตรวจสอบการติดเชือกปรสิตในหอยน้ำจืด *Paludomus* spp. พบตัวอ่อนระยะเชอร์คาเรียของพยาธิไปเมื่อจำนวน 4 กลุ่ม คือ Parapleurolophocercous cercaria, Cotylomicrocercous cercaria, Strigea cercaria และ Virgulate cercaria

ภาควิชาชีววิทยา

บัณฑิตวิทยา มหาวิทยาลัยศิลปากร

ปีการศึกษา 2547

ลายมือชื่อนักศึกษา ..... นางสาวกัญญา พัฒนาวงศ์

2. ลายมือชื่ออาจารย์ผู้ควบคุมวิทยานิพนธ์ 1.

K 43512001 : MAJOR : BIOLOGY

KEY WORD : *PALUDOMUS* / MORPHOLOGY / ANATOMY / ISOENZYME / CERCARIAE

NAPATSORN NOTESIRI : STUDIES ON THE SPECIES DIVERSITY AND DISTRIBUTION OF FRESHWATER SNAIL GENUS *PALUDOMUS* IN KWAE NOI RIVER WATERSHED. THESIS ADVISORS : ASST. PROF. DUANGDEAN KRILAS, Ph.D., AND ASST. PROF. TUENTA JANECHARUT, Ph.D. 221 pp. ISBN 974-464-559-8.

The species diversity and distribution of freshwater snails genus *Paludomus* spp. were studied at ten different locations of the water sources in Kwa Noi river watershead, Kanchanaburi province; these are Saiyok Noi waterfall, Saiyok Yai waterfall, Toa Dum stream, Hin Dad hot spring, Pa Tad waterfall, Huay Kha Yang spring, Ban Tha Ma Dua brook, Krung Krawia waterfall, Dai Chong Thong waterfall and Takhian Thong waterfall. Counts per unit of time method was used in this study, and the samples of freshwater snails were handpicked every 10 minutes per sampling by five collectors. In addition, the physico-chemical characteristics of streams and water quality were examined. The snail specimens were studied in various aspects, namely, shell morphology, anatomy, radula morphology, isoenzyme electrophoresis and trematode infection. The specimens were identified and categorized according to the shell morphology study by Brandt (1974). Two species were presented in the Brandt report which are *Paludomus petrosus* and *Paludomus siamensis*. All of the collected snails are dextral and the operculum is concentric with spiral. The shells are elongated and subglobose in shape. The surface is smooth and covered with a brownish or greenish periderm. Most of them show pointed apex, deep suture, and narrow columella. However, the snails of Toa Dum stream, are markedly different from the others in that they show eroded apex, shallow suture and wide columella. In addition, when the ratios of the length of body whorl/shell length and size index were analyzed using ANOVA tests, Toa Dum snails exhibits significant difference ( $P<0.05$ ) in the size index. For the radula morphology, the collected snails exhibit Taenioglossa form, which has dentition formula 2:1:1:1:2 (marginal:lateral:rhachis:lateral:marginal),--interesting differences are noted among the cusp formula of the teeth. Comparative study of number, shape, size of cusps illustrates that the snails from Toa Dum stream are noticeably different from the others. The central tooth widths are significantly different ( $P<0.05$ ).

The anatomy of the snails showed that there are two reproductive systems--close and open pallial oviduct. Pigment on the tentacles of snails from Toa Dum are different from the others in that they show pigment around the eye and no pigment strips on the tentacles. Isoenzymes were analysed by polyacrylamide gel electrophoresis. Banding patterns in four enzymes : esterase, leucine aminopeptidase, lactase dehydrogenase and malate dehydrogenase, have shown that the snails from Toa Dum are different from the others at the species levels ( $D = 0.191$ ). According to the results of this study, the *Paludomus* spp. freshwater snails from the ten survey locations should be classified into two species, where those from Toa Dum stream are distinctly discriminated from the others.

For the trematode infection, four types of cercariae were found in the snails. They are Parapleurolophocercous cercaria, Cotylomicrocercous cercaria, Strigea cercaria and Vigilate cercaria.

---

Department of Biology

Graduate School, Silpakorn University

Academic Year 2004

Student's signature .....

Thesis Advisors' signature 1. ....

2. ....

## กิตติกรรมประกาศ

### การศึกษาความหลากหลายชนิดพันธุ์และการกระจายพันธุ์ของหอยน้ำจีด

*Paludomus spp.* บริเวณลุ่มแม่น้ำแควน้อย จังหวัดกาญจนบุรี ได้รับทุนสนับสนุนการวิจัยจากโครงการพัฒนาองค์ความรู้และศึกษานโยบายการจัดการทรัพยากรีวิวภาพในประเทศไทย (BRT) และมหาวิทยาลัยศิลปากร ทำให้เกิดโครงการวิทยานิพนธ์นี้ ข้าพเจ้าขอขอบพระคุณผู้เกี่ยวข้องในหน่วยงานดังกล่าวทุกท่านที่ให้การสนับสนุน ประสานงานในทุก ๆ ด้านจนกระทั่งการศึกษาในครั้งนี้สำเร็จลง

ข้าพเจ้าขอกราบขอบพระคุณ ผศ. ดร. ดวงเดือน ไกรลาศ ประธานผู้ควบคุมวิทยานิพนธ์ ที่ได้กรุณาให้คำแนะนำ ช่วยเหลือ ตลอดจนแก้ไขข้อบกพร่องต่าง ๆ ในการทำวิทยานิพนธ์ฉบับนี้ ขอขอบพระคุณ ผศ. ดร. เตือนตา เจนจารต์น์ ผู้ควบคุมวิทยานิพนธ์ ผศ. วิมล ชัยภูมิเกื้อ ประธานกรรมการตรวจสอบวิทยานิพนธ์ และ รศ. ดร. วิจิตร กิติคุณ กรรมการตรวจสอบวิทยานิพนธ์ ที่กรุณาให้คำแนะนำ และตรวจแก้ไขวิทยานิพนธ์ รวมทั้งผู้แทนบัณฑิตวิทยาลัย ที่กรุณาให้คำแนะนำและตรวจแก้ไขวิทยานิพนธ์ให้มีความสมบูรณ์ยิ่งขึ้น ขอขอบคุณ คุณสุลักษณ์ ออยุ่คง ที่ให้ความช่วยเหลือ และคำแนะนำในการทำปฏิบัติการ ขอขอบคุณ คุณกิติพงศ์ แก้วไชย ที่ให้ความช่วยเหลือในเรื่องการเดินทางเก็บตัวอย่างภาคสนาม ขอขอบคุณ คุณวิชญ์ แซ่เง้า ในการช่วยเหลือเกี่ยวกับงานด้านกล้องจุลทรรศน์เล็กtron ขอขอบคุณ คุณสมพร คำชุมภู ที่ช่วยเหลือในการวิเคราะห์ข้อมูล ขอขอบคุณ คุณสมใจชาน สำรองธรรมชาติ ที่ให้ความช่วยเหลือในการเก็บตัวอย่างภาคสนาม ขอขอบคุณ คุณปริยาภรณ์ คชาธรา, คุณพีรพล รัตนไถ夷, คุณธงชัย ตั้งใจดี, คุณวิชชุตา เดชรักษา และเพื่อนๆ น้องๆ ทุกคนที่ช่วยเหลือในเรื่องการเก็บตัวอย่างภาคสนาม ให้กำลังใจ และช่วยให้การวิจัยเป็นไปอย่างมีประสิทธิภาพและราบรื่น

ขอขอบคุณ ภาควิชาชีววิทยา คณะวิทยาศาสตร์ และคณะวิทยาศาสตร์ มหาวิทยาลัยศิลปากร ที่ให้การสนับสนุนในทุก ๆ ด้าน ขอบคุณข้าราชการ และเจ้าหน้าที่ทุกท่านที่มีส่วนเกี่ยวข้องให้ความช่วยเหลือ และความสะดวกต่อวิทยานิพนธ์ฉบับนี้

ขอกราบขอบพระคุณ คุณพ่อ คุณแม่ ที่ได้สนับสนุน และให้กำลังใจตลอดมาทำให้ วิทยานิพนธ์ฉบับนี้สำเร็จลงได้ด้วยดี

## สารบัญ

	หน้า
บทคัดย่อภาษาไทย .....	๑
บทคัดย่อภาษาอังกฤษ .....	๑
กิตติกรรมประกาศ .....	๒
สารบัญตาราง .....	๓
สารบัญรูป .....	๔
บทที่	
1    บทนำ .....	1
ความเป็นมาและความสำคัญของปัจจุบัน .....	1
ความมุ่งหมายของการวิจัย .....	3
วัตถุประสงค์การวิจัย .....	3
ประโยชน์ของการวิจัย .....	4
ขอบเขตการวิจัย .....	4
นิยามศัพท์เฉพาะ .....	4
2    เอกสารและงานวิจัยที่เกี่ยวข้อง .....	9
อนุกรมวิธานและสัณฐานวิทยาของหอยน้ำจืด <i>Paludomus</i> spp. ..	9
การจัดจำแนกหอยฝ่าเดียว .....	10
ลักษณะสัณฐานวิทยาของหอยฝ่าเดียว .....	11
ลักษณะทางโมเลกุล .....	20
ความรู้เบื้องต้นเกี่ยวกับเทคนิคเชิงโทรฟิชีส .....	21
ความสำคัญของหอยต่อทางการแพทย์และสัตวแพทย์ .....	27
ชนิดของตัวอ่อนพยาธิระยะเซอร์คารี .....	28
งานวิจัยที่เกี่ยวข้อง .....	31
3    วิธีดำเนินการวิจัย .....	36
การเก็บข้อมูลสภาพแวดล้อม .....	37
การเก็บตัวอย่าง .....	37
การตรวจหาการติดเชื้อปรสิต .....	38

บทที่		หน้า
	การตรวจสอบลักษณะทางสัณฐานวิทยา .....	40
	การศึกษาลักษณะของเปลือกหอย .....	40
	การศึกษาลักษณะพื้นของหอย .....	40
	การศึกษาลักษณะทางกายวิภาค .....	41
	การศึกษารูปแบบทางพันธุกรรม .....	42
	การวิเคราะห์ข้อมูล .....	44
4	ผลการวิจัย .....	
	การศึกษาสภาพแวดล้อม .....	46
	การศึกษาลักษณะทางสัณฐานวิทยาของเปลือกหอย .....	49
	การศึกษาลักษณะพื้นของหอย .....	54
	การศึกษาลักษณะทางกายวิภาคของหอย .....	58
	การศึกษารูปแบบทางพันธุกรรม .....	85
	การตรวจสอบปรสิตในหอย .....	91
5	อภิปราย สรุปผล และข้อเสนอแนะ .....	
	การอภิปรายผล .....	107
	สรุปผลการวิจัย และข้อเสนอแนะ .....	119
	บรรณานุกรม .....	121
	<b>ภาคผนวก</b> .....	
	ภาคผนวก ก ตารางประกอบการวิจัย .....	127
	ภาคผนวก ข ภาพประกอบผลการวิจัย .....	155
	ภาคผนวก ค การเติร์ยมสารเคมี .....	206
	ภาคผนวก ง วิธีการย้อมเอนไซม์โดยใช้ปฏิกิริยาทางเคมีจำเพาะ ..	214
	ภาคผนวก จ การวัดปริมาณโปรตีนด้วยเทคนิค Lowry's method	217
	<b>ประวัติผู้วิจัย</b> .....	221

## สารบัญตาราง

ตารางที่		หน้า
1	แสดงคุณภาพในแหล่งน้ำบริเวณจุดสำรวจในเดือนตุลาคม 2545 .....	128
2	เปรียบเทียบลักษณะและขนาดของเปลือกหอยน้ำจืด <i>Paludomus spp.</i> ที่เก็บจากจุดสำรวจในแต่ละพื้นที่ .....	129
3	แสดงค่าเบอร์เซนต์ของจำนวนลายบนเปลือกหอยที่พบในหอยน้ำจืด <i>Paludomus spp.</i> ที่เก็บจากจุดสำรวจในแต่ละพื้นที่ .....	130
4	แสดงค่าเบอร์เซนต์จำนวนเวิร์ลที่พบในหอยน้ำจืด <i>Paludomus spp.</i> ที่เก็บจากจุดสำรวจในแต่ละพื้นที่ .....	132
5	เปรียบเทียบขนาดของพื้นของหอยน้ำจืด <i>Paludomus spp.</i> ที่เก็บ จากจุดสำรวจในแต่ละพื้นที่ .....	133
6	แสดงสูตรพื้นและค่าเบอร์เซนต์ลักษณะหยักพันของพังกลาง พันข้าง และพันวิมของหอยน้ำจืด <i>Paludomus spp.</i> ที่เก็บจากจุด สำรวจในแต่ละพื้นที่ .....	134
7	แสดงความยาวอวัยวะภายในของหอยน้ำจืด <i>Paludomus spp.</i> เพศ ผู้และเพศเมียที่เก็บตัวอย่างจากน้ำตกใหญ่ .....	136
8	แสดงความยาวอวัยวะภายในของหอยน้ำจืด <i>Paludomus spp.</i> เพศ ผู้และเพศเมียที่เก็บตัวอย่างจากน้ำตกใหญ่ .....	137
9	แสดงความยาวอวัยวะภายในของหอยน้ำจืด <i>Paludomus spp.</i> เพศ ผู้และเพศเมียที่เก็บตัวอย่างจากหัวยเห่าดำเน .....	138
10	แสดงความยาวอวัยวะภายในของหอยน้ำจืด <i>Paludomus spp.</i> เพศ ผู้และเพศเมียที่เก็บตัวอย่างจากลำธารข้างบ่อน้ำพุร้อนหินดาด ..	139
11	แสดงความยาวอวัยวะภายในของหอยน้ำจืด <i>Paludomus spp.</i> เพศ ผู้และเพศเมียที่เก็บตัวอย่างจากน้ำตกผาตาด .....	140
12	แสดงความยาวอวัยวะภายในของหอยน้ำจืด <i>Paludomus spp.</i> เพศ ผู้และเพศเมียที่เก็บตัวอย่างจากน้ำพุห้วยเขย่ง .....	141
13	แสดงความยาวอวัยวะภายในของหอยน้ำจืด <i>Paludomus spp.</i> เพศ ผู้และเพศเมียที่เก็บตัวอย่างจากลำธารป่าซุ่มชนบ้านท่ามะเตือ ..	142

14	แสดงความยาวอวัยวะภายในของหอยน้ำจืด <i>Paludomus</i> spp. เพศผู้และเพศเมียที่เก็บตัวอย่างจากน้ำตกเกริงกระเบียง .....	143
15	แสดงความยาวอวัยวะภายในของหอยน้ำจืด <i>Paludomus</i> spp. เพศผู้และเพศเมียที่เก็บตัวอย่างจากน้ำตกได้ซองถ่อง .....	144
16	แสดงความยาวอวัยวะภายในของหอยน้ำจืด <i>Paludomus</i> spp. เพศผู้และเพศเมียที่เก็บตัวอย่างจากน้ำตกตะเคียนทอง .....	145
17	เปรียบเทียบขนาดอวัยวะภายในของหอยน้ำจืด <i>Paludomus</i> spp. ที่เก็บจากจุดสำรวจในแต่ละพื้นที่ .....	146
18	แสดงค่าความถืออัลลิล (Allele frequencies) ของหอยน้ำจืด <i>Paludomus</i> spp. ที่เก็บจากจุดสำรวจ 10 พื้นที่ .....	148
19	แสดงค่าจำนวนขั้นตอนเฉลี่ยต่อตัวแหน่ง และเบอร์เรนต์สัดส่วนของยีนในสภาวะหลักฐานแบบ ค่าเขตเทอร์ไอกอชิตี หังค่าจริง ( $H_0$ ) และค่าตามทฤษฎี ( $H_e$ ) และค่าสมประสิทธิ์ F ( $F_{is}$ ) ของหอยน้ำจืด <i>Paludomus</i> spp. ....	150
20	แสดงค่าความเหมือนทางพันธุกรรม และค่าระยะห่างทางพันธุกรรม (D) ของหอยน้ำจืด <i>Paludomus</i> spp. ที่เก็บจากจุดสำรวจ 10 พื้นที่ .....	151
21	แสดงระยะทางการเคลื่อนที่และน้ำหนักโมเลกุลของແກບโปรดีนมาตรฐาน และແກບโปรดีนของหอยน้ำจืด <i>Paludomus</i> spp. ....	152
22	แสดงลักษณะต่าง ๆ ของหอยน้ำจืด <i>Paludomus</i> spp. ที่เก็บจากจุดสำรวจ 10 พื้นที่ ที่แตกต่างกัน 20 ลักษณะ .....	153
23	แสดงจำนวนลักษณะของหอยน้ำจืด <i>Paludomus</i> spp. ที่แตกต่าง (Total character differences) และค่าเฉลี่ยจำนวนลักษณะที่แตกต่างกัน (Mean character differences) .....	154

## สารบัญรูป

ขั้นที่		หน้า
1	แสดงภาพเปลือกหอยน้ำจืด <i>Paludomus spp.</i> .....	156
2	แสดงภาพโครงสร้างต่าง ๆ ของเปลือกหอยฝ่าเดียว .....	156
3	ลักษณะการดวนของโพธิ์โคนร์ของเปลือกหอยฝ่าเดียวชนิดต่าง ๆ	156
4	ลักษณะชูเซอร์ในหอยฝ่าเดียวแบบต่าง ๆ .....	158
5	เปลือกหอยฝ่าเดียวลักษณะต่าง ๆ .....	158
6	แสดงเปลือกหอยรูปทรงกรวยแบบต่าง ๆ พิจารณาจากขนาดของมุน สีป่าร์ .....	159
7	แสดงลักษณะการดวนของเปลือกหอยรูปทรงกรวย .....	159
8	แสดงการจำแนกขนาดเปลือกหอยที่มีขนาดต่าง ๆ กัน .....	160
9	แสดงการวัดมุนสไปร์ในหอยทรงกรวยที่มีการดวนอย่างปกติ .....	160
10	แสดงลักษณะการนับจำนวนเวิร์ล .....	161
11	แสดงลักษณะลวดลายแบบต่าง ๆ บนเปลือกหอย .....	161
12	แสดงลักษณะลายเปลือกหอยที่เป็นแถบสีในแนวการดวนของเปลือกหอย .....	162
13	แสดงลักษณะฝาปิดปากเปลือก (operculum) .....	162
14	แสดงลักษณะส่วนหัวของหอย .....	163
15	แสดงตำแหน่งตาที่บริเวณเหนเทเดิล .....	163
16	แสดงลวดลายแบบต่าง ๆ บนลำตัวหอยที่เข้าเปลือกออก และแสดงตำแหน่งเวิร์จหรือเพนนิสที่บริเวณคอด้านบนของหอยเพศผู้ .....	164
17	แสดงฟันชนิดต่าง ๆ .....	164
18	แสดงอวัยวะภายในต่าง ๆ ของหอยในระบบทางเดินอาหาร ระบบลำเลียง และระบบหายใจ .....	165
19	แสดงโครงสร้างทางเคมีของอะครีลามีด, บิสอะครีลามีด และโพลีอะครีลามีดเจล .....	166
20	แสดงวงจรชีวิตของพยาธิใบไม้ .....	167
21	แสดงรูป่างลักษณะตัวอ่อนระยะเยอร์ค้าเรีย .....	167

รูปที่		หน้า
22	ภาพแผนที่บริเวณลุ่มแม่น้ำแควน้อยแสดงจุดสำรวจบริเวณต่าง ๆ ที่ กำหนด .....	168
23	แสดงสภาพแวดล้อมบริเวณน้ำตกไทรโยคน้อย อ. ไทรโยค จ. กาญจนบุรี .....	169
24	แสดงสภาพแวดล้อมบริเวณน้ำตกไทรโยคใหญ่ อ. ไทรโยค จ. กาญจนบุรี .....	169
25	แสดงสภาพแวดล้อมบริเวณห้วยเต่าคำ อ. ไทรโยค จ. กาญจนบุรี ..	170
26	แสดงสภาพแวดล้อมบริเวณลำธารช้างบ่อันน้ำพุร้อนหินดัด อ. ทองผา ภูมิ จ. กาญจนบุรี .....	170
27	แสดงสภาพแวดล้อมบริเวณน้ำตกผาตาด อ. ทองผาภูมิ จ. กาญจนบุรี .....	171
28	แสดงสภาพแวดล้อมบริเวณน้ำพุห้วยเขย่ง อ. ทองผาภูมิ จ. กาญจนบุรี .....	171
29	แสดงสภาพแวดล้อมบริเวณลำธารป่าขุนชนบ้านท่ามะเดื่อ อ. ทองผา ภูมิ จ. กาญจนบุรี .....	172
30	แสดงสภาพแวดล้อมบริเวณน้ำตกเกริงกระเกียย อ. ทองผาภูมิ จ. กาญจนบุรี .....	172
31	แสดงสภาพแวดล้อมบริเวณน้ำตกไดซ่องถ่อง อ. ทองผาภูมิ จ. กาญจนบุรี .....	173
32	แสดงสภาพแวดล้อมบริเวณน้ำตกตะเคียนทอง อ. สังขละบุรี จ. กาญจนบุรี .....	173
33	แสดงภาพหาดเปลือกและฝ้าปิดปากเปลือกหอยน้ำจืด <i>Paludomus</i> spp. ที่เก็บจากจุดสำรวจทั้ง 10 พื้นที่ .....	174
34	แสดงเปลือกหอยน้ำจืด <i>Paludomus</i> spp. ที่เก็บจากจุดสำรวจทั้ง 10 พื้นที่ .....	175
35	แสดงฝ้าปิดปากเปลือกของหอยน้ำจืด <i>Paludomus</i> spp. ที่เก็บจาก จุดสำรวจทั้ง 10 พื้นที่ .....	176

กฎที่		หน้า
36	ภาพวาดแสดงพื้นกลางและพื้นช้างของหอยน้ำจืด <i>Paludomus</i> spp. ที่เก็บจากจุดสำรวจทั้ง 10 พื้นที่ .....	177
37	ภาพจากกล้องจุลทรรศน์ชนิดธรรมดากล้องพื้นกลางและพื้นช้างของ หอยน้ำจืด <i>Paludomus</i> spp. ที่เก็บจากจุดสำรวจทั้ง 10 พื้นที่ .....	178
38	ภาพจากกล้องจุลทรรศน์ชนิดธรรมดากล้องพื้นช้างและพื้นริมของหอย น้ำจืด <i>Paludomus</i> spp. ที่เก็บจากจุดสำรวจทั้ง 10 พื้นที่ .....	179
39	ภาพจากกล้องจุลทรรศน์อิเล็กตรอนแบบส่องการดูแสดงพื้นกลางและ พื้นช้างของหอยน้ำจืด <i>Paludomus</i> spp. ที่เก็บจากจุดสำรวจ ทั้ง 10 พื้นที่ .....	180
40	ภาพจากกล้องจุลทรรศน์อิเล็กตรอนแบบส่องการดูแสดงพื้นช้างและ พื้นริมของหอยน้ำจืด <i>Paludomus</i> spp. ที่เก็บจากจุดสำรวจทั้ง 10 พื้นที่ .....	181
41	แสดงลำตัวภายนอกของหอยน้ำจืด <i>Paludomus</i> spp. .....	182
42	ภาพวาดแสดงการจัดเรียงตัวของอวัยวะภายนอกและภายในเมื่อมอง ผ่านผนังลำตัวของหอยน้ำจืด <i>Paludomus</i> spp. .....	183
43	แสดงส่วนหัวของหอยน้ำจืด <i>Paludomus</i> spp. ที่เก็บจากจุดสำรวจ ทั้ง 10 พื้นที่ .....	184
44	ภาพวาดแสดงส่วนหัวของหอยน้ำจืด <i>Paludomus</i> spp. .....	185
45	แสดงระบบลำเลียงและอวัยวะภายในของหอยน้ำจืด <i>Paludomus</i> spp. เพศผู้ที่เก็บจากจุดสำรวจทั้ง 10 พื้นที่ .....	186
46	แสดงระบบลำเลียงและอวัยวะภายในของหอยน้ำจืด <i>Paludomus</i> spp. เพศเมียที่เก็บจากจุดสำรวจทั้ง 10 พื้นที่ .....	187
47	แสดงสเปร์มหอยน้ำจืด <i>Paludomus</i> spp. .....	188
48	ภาพวาดแสดงการจัดเรียงตัวของระบบลำเลียงและอวัยวะภายในของ หอยน้ำจืด <i>Paludomus</i> spp. เพศผู้ .....	189
49	ภาพวาดแสดงการจัดเรียงตัวของระบบลำเลียงและอวัยวะภายในของ หอยน้ำจืด <i>Paludomus</i> spp. เพศเมีย .....	190
50	ภาพวาดแสดงระบบทางเดินอาหารของหอยน้ำจืด <i>Paludomus</i> spp.	191



## บทที่ 1

### บทนำ

#### ความเป็นมาและความสำคัญของปัญหา

การเปลี่ยนแปลงและความผันแปรของสภาพทางภูมิอากาศของโลกในปัจจุบันได้ก่อให้เกิดการทำทวนพฤติกรรมของมนุษย์ที่มีผลกระทบต่อสภาพแวดล้อมโดยทั่วไปของโลก การเสียสมดุลยภาพทางธรรมชาติ เป็นปัญหาสำคัญที่นานาประเทศทั่วโลกกำลังประสบอยู่ในปัจจุบัน ผลกระทบที่เกิดขึ้นทำให้เกิดการสูญเสียทรัพยากรธรรมชาติตามมาโดยเฉพาะอย่างยิ่งความสมบูรณ์ของความหลากหลายทางชีวภาพ ซึ่งยากที่จะประเมินคุณค่าได้ ดังนั้นการอนุรักษ์และการใช้ประโยชน์ทรัพยากรชีวภาพ จึงเป็นเรื่องที่มีความสำคัญอย่างยิ่งในปัจจุบัน

นักวิทยาศาสตร์ต่างเชื่อกันว่าเทคโนโลยีอย่างเดียวไม่สามารถแก้ปัญหาเรื่องประชากร (population) ภาวะมลพิษ (pollution) และความยากจน (poverty) ได้ การจัดการทรัพยากรธรรมชาติและสิ่งแวดล้อมด้วยความเข้าใจถึงระบบความเป็นไปของธรรมชาติ ความเข้าใจถึงระบบเศรษฐกิจเป็นสิ่งสำคัญในการอนุรักษ์และการใช้ประโยชน์ ทรัพยากรธรรมชาติอย่างมีประสิทธิภาพ เพื่อการพัฒนาอย่างยั่งยืน (sustainable development) ความรู้ ในด้านความหลากหลายทางชีวภาพเป็นหัวใจสำคัญเพื่อความเข้าใจถึงระบบเศรษฐกิจในพื้นที่ และเป็นสิ่งที่สามารถช่วยการจัดการทรัพยากรอย่างแท้จริง

ความหลากหลายทางชีวภาพ (Biodiversity) มีความหมายอย่างง่ายๆว่าเป็นสภาพโดยรวม ของสิ่งมีชีวิต และพันธุกรรมทั้งหมด ที่ปรากฏอยู่ในโลกนี้ สามารถสรุปได้เป็น (1) ความหลากหลายของชนิด หรือสปีชีส์ (species diversity) ของสิ่งมีชีวิตทั้งหมด (2) ความหลากหลายทางพันธุกรรม (genetic diversity) ที่มีอยู่ในแต่ละหน่วย ของสิ่งมีชีวิต (3) ความหลากหลายทางนิเวศ (ecological diversity) ตามแหล่งที่อยู่อาศัย ต่างๆของสิ่งมีชีวิต (วิสุทธิ์ ใบไม้, 2538) คุณค่าของความหลากหลายทางชีวภาพ คือ สิ่งที่มนุษย์พึ่งพาในการดำรงชีวิตซึ่งแสดงให้เห็นถึงประโยชน์ทั้งทางด้านการเกษตรกรรม การแพทย์ และการอุตสาหกรรม (วิสุทธิ์ ใบไม้, 2532) ในการศึกษาความหลากหลายของชนิดพันธุ์ของหอยน้ำจีดน้ำได้มีการศึกษาทั้งเพื่อประโยชน์ทางด้านเศรษฐกิจ และทางการแพทย์ เนื่องจากห้องมนุษย์และสัตว์มีความเป็นอยู่ที่เกี่ยวข้องกัน ในทางนิเวศวิทยานั้นสายโซ่อหารของสิ่งมีชีวิตเป็นตัวกำหนดพิศทาง

ของสภาพแวดล้อมในถิ่นอาศัยนั้นๆ หอยน้ำจืดเป็นสิ่งมีชีวิตชนิดหนึ่งที่เป็นตัวกำหนดบทบาทในแหล่งชุมชนนั้นๆ เช่นกัน ในทางการแพทย์หอยน้ำจืดบางชนิดเป็นยาสัตถ์ก็กล่าวของพยาธิใบไม้ บางชนิด ซึ่งสามารถติดต่อกันได้

ลุ่มน้ำแม่น้ำแควน้อย เป็นลุ่มน้ำที่มีความอุดมสมบูรณ์ในเขตผืนป่าตะวันตก และมีความสำคัญต่อกิจกรรมการท่องเที่ยว แม่น้ำแควน้อย เกิดจากทิวเขาถนนลงชั้ยและทิวเขาระนาว ศรี มีแหล่งน้ำที่สำคัญคือ แม่น้ำรันตี และห้วยของกะเลีย ในเขตคำ美貌สังขละบุรี ในอดีตผ่าน คำ美貌ของพากามิ คำ美貌ไทรโยค และคำ美貌เมือง จังหวัดกาญจนบุรี ให้ไปรวมกับแม่น้ำแคว ในญี่ปุ่นแม่น้ำแม่กลองต่อไป มีชื่อเรียกอีกอย่างหนึ่งว่า แม่น้ำไทรโยค มีความยาวประมาณ 259 กิโลเมตร เป็นลุ่มน้ำที่มีความอุดมสมบูรณ์ ในเขตผืนป่าตะวันตก และมีความสำคัญต่อกิจกรรมการท่องเที่ยว นอกจากนี้ยังเป็นแหล่งต้นน้ำของผืนป่าตะวันตกซึ่งถือเป็น ป่าฝนเขตร้อน (Rainforest) ที่ยังคงหลงเหลืออยู่ บริเวณต้นน้ำซึ่งเป็นต้นกำเนิดของแม่น้ำแควน้อยนี้ เป็นลุ่มน้ำที่อยู่บนที่สูงมีลักษณะเป็นห้วยลำคลายเล็กน้ำ ใหญ่บ้าง มีป่าสมบูรณ์ปกคลุมพื้นที่ตลอดความยาวของลุ่มน้ำให้ลดผ่านอุทยานแห่งชาติเขื่อนเชื่อมศรีนครินทร์ และอุทยานแห่งชาติไทรโยค ซึ่งถือได้ว่าเป็นแหล่งทรัพยากรธรรมชาติที่มีความสำคัญอย่างยิ่งของประเทศไทย ดังนั้นในการสำรวจชนิดพันธุ์ของหอยน้ำจืดในบริเวณลุ่มน้ำแม่น้ำแควน้อยนี้จึงถือเป็นองค์ความรู้ที่มีประโยชน์ต่อผืนป่าตะวันตก และชุมชนในเขตที่ใช้ประโยชน์จากแม่น้ำสายนี้อย่างยิ่ง

การศึกษาหอยน้ำจืด *Paludomus* spp. ในประเทศไทยในอดีตพบว่ามีเพียงชื่อมูลจากรายงานเกี่ยวกับชนิดของหอยน้ำจืดในประเทศไทย (Brandt, 1974) เท่านั้น โดยได้จดจำแนกหอยน้ำจืด *Paludomus* spp. โดยใช้ลักษณะทางสัณฐานวิทยาของเปลือก และ พื้นหอย แบ่งได้เป็น 2 ชนิด คือ *Paludomus petrosus* เปลือกกฎป่าร่างค่อนข้างกลม ผิวเรียบ มีลายพาดตามยาวเป็นแถบ 3 แถบ ไม่มี umbilicus มีสูตรฟันเป็นแบบ *Taenioglossa* (2:1:1:1:2) มีแหล่งกระจายตามลำห้วยบริเวณเทือกเขาในจังหวัด ชุมพร วนอง นครศรีธรรมราช พัทลุง นอกจากนี้พบว่าเป็นยาสัตถ์ก็กล่าวของพยาธิใบไม้ *Paragonimus westermani* ที่ก่อโรคในสัตว์ และ *Paludomus siamensis* มีลักษณะต่างจากชนิดแรกคือ เปลือกกฎป่าร่างไม่กลมเท่าชนิดแรก มี spine สูง ผิวเปลือกมี spiral lines และลักษณะของ rhachis มีปีกสั้น ๆ เป็นรูปสามเหลี่ยม มีแหล่งกระจายอยู่ในจังหวัด แพร่ ลำปาง พิษณุโลก เลย และ กาญจนบุรี ต่อมากจากการศึกษาความหลากหลายของหอยน้ำจืดในเขตพื้นที่ป่าเตาดำ คำ美貌ไทรโยคจังหวัดกาญจนบุรี (ดวงเดือน, 2543) พบรหอยน้ำจืด *Paludomus* sp. ในแหล่ง

สำรวจ เปลือกมีรูปร่างค่อนข้างกลมมีลายพาดตามขวาง ผิวเปลือกเรียบ พื้นเป็นแบบ *Taenioglossa* (2:1:1:1:2) แต่จากการงานยังไม่ได้สรุปชนิดของหอยว่าเป็นชนิดใดແเน่นอนเนื่องจากพบว่าลักษณะรูปร่างของเปลือก (Shell morphology) มีความคล้ายคลึงกับรูปร่างของ *Paludomus petrosus* ตามรายงานของ Brandt (1974) ในขณะที่แกรดูลามีลักษณะของพื้น กลาย (rhachis) คล้ายคลึงกับ *Paludomus siamensis* ดังนั้นผู้วิจัยจึงให้ชื่อเสนอแนะในการศึกษาเพิ่มเติมเกี่ยวกับชนิดพันธุ์ของหอยน้ำจืด *Paludomus* spp.

งานวิจัยในครั้งนี้นอกจากใช้ลักษณะทางสัณฐานวิทยาของเปลือก ลักษณะทางกายวิภาค พื้นหอย ยังใช้การศึกษาฐานะพันธุกรรม (Genetic patterns) มาช่วยในการจัดจำแนกให้ชัดเจนขึ้นด้วย ดังนั้นงานวิจัยนี้จะเป็นงานวิจัยที่ช่วยให้เกิดองค์ความรู้ในด้านของความหลากหลายของชนิดหรือสปีชีส์ (species diversity) ความหลากหลายทางพันธุกรรม (genetic diversity) และเข้าใจถึงองค์ประกอบด้านกายภาพ (abiotic component) ของถิ่นที่อยู่อาศัยของหอยน้ำจืดชนิดนี้ อีกทั้งยังมีการตรวจสอบทางด้านประสิทธิภาพที่มีความสัมพันธ์กับหอยน้ำจืดชนิดนี้ โดยสามารถที่จะขยายผลการสำรวจไปสู่การศึกษาความหลากหลายทางชีวภาพด้านต่างๆเพื่อประโยชน์ในการรวมความรู้ต่อไปในอนาคต

## ความมุ่งหมาย

การศึกษาความหลากหลายชนิดพันธุ์และการกระจายพันธุ์ของหอยน้ำจืด *Paludomus* spp. บริเวณลุ่มแม่น้ำแควน้อย มีเป้าหมายเพื่อตรวจสอบลักษณะทางสัณฐานวิทยาของเปลือก (Shell morphology) ลักษณะในการจำแนกชนิดของหอยน้ำจืดโดยแกรดูลา (พื้น) ของหอย ลักษณะทางกายวิภาค (Anatomy) และการศึกษาฐานะพันธุกรรม (Genetic patterns) ในหอยชนิดเดียวกันเพื่อตรวจสอบความหลากหลายของชนิดพันธุ์ที่แท้จริง เพื่อประโยชน์ในการพัฒนาความรู้ทางด้านชนิดพันธุ์ของหอย รวมทั้งเป็นข้อมูลพื้นฐานในการศึกษาความสัมพันธ์ระหว่างหอยกับสภาพนิเวศบริเวณแหล่งที่อยู่ และการติดเชื้อปรสิตในหอยรวมทั้งโอกาสในการแพร่กระจายปรสิตสู่คนและสัตว์ในชุมชนใกล้เคียง

## วัตถุประสงค์การวิจัย

- เพื่อศึกษาชนิดพันธุ์ของหอยน้ำจืด *Paludomus* spp. ในแนวลุ่มแม่น้ำแควน้อย
- เพื่อศึกษาความหลากหลายของถิ่นอาศัยของหอยน้ำจืด *Paludomus* spp.
- เพื่อตรวจสอบลักษณะทางกายวิภาคของหอยน้ำจืด *Paludomus* spp. ที่สำรวจพบในแนวลุ่มแม่น้ำแควน้อย

4. เพื่อตรวจสอบรูปแบบทางพันธุกรรมของหอยน้ำจืด *Paludomus spp.*
5. เพื่อตรวจสอบความสามารถในการติดเชื้อปรสิตและชนิดของปรสิตที่พบในหอยน้ำจืด *Paludomus spp.*

### ประโยชน์ของการวิจัย

การศึกษาวิจัยในครั้งนี้ เพื่อข้อมูลที่ได้จะเป็นข้อมูลเพิ่มเติมความรู้ให้ชัดเจนเกี่ยวกับ ความหลากหลายของชนิดพันธุ์ และการจำแนกพันธุ์ของหอยน้ำจืด *Paludomus spp.* ในประเทศไทย เพื่อเป็นแหล่งข้อมูลพื้นฐานให้ประโยชน์ในการอนุรักษ์ทรัพยากรีวิภพอย่างยั่งยืน ต่อไป นอกจากนี้ข้อมูลทางปรสิตยังมีประโยชน์ต่องานด้านปรสิตวิทยา ซึ่งสามารถนำข้อมูลการวิจัยมาประมวลให้เกิดความรู้ด้านการเฝ้าระวังโรคปรสิตในคน และสัตว์ ได้

### ขอบเขตการวิจัย

ศึกษาหอยน้ำจืด *Paludomus spp.* ในบริเวณต้นน้ำของคลุ่มแม่น้ำแควน้อย จังหวัดกาญจนบุรี ครอบคลุมอำเภอไทรโยค อำเภอทองผาภูมิ และอำเภอสังขละบุรี พื้นที่ศึกษาได้แก่

1. น้ำตกไทรโยคน้อย	อำเภอไทรโยค
2. น้ำตกไทรโยคใหญ่	อำเภอไทรโยค
3. หัวยเตาดำ	อำเภอไทรโยค
4. น้ำพุร้อนหินดาด	อำเภอทองผาภูมิ
5. น้ำตกผาตาด	อำเภอทองผาภูมิ
6. น้ำพุหัวยเขย়	อำเภอทองผาภูมิ
7. ลำธารป่าซุนชนบ้านท่ามะเดื่อ	อำเภอทองผาภูมิ
8. น้ำตกเกริงกระเวีย	อำเภอทองผาภูมิ
9. น้ำตกไดซ่องถ่อง	อำเภอทองผาภูมิ
10. น้ำตกตะเคียนทอง	อำเภอสังขละบุรี

### นิยามศัพท์เฉพาะ

Albumin gland	ต่อมสร้างเยื่อหุ้มไข่
Anus	ทวารหนัก
Aperture	ช่องเปิดหรือปากของเปลือกหอย
Apex	ส่วนยอดหรือส่วนปลายของเปลือกหอยฝาเดียว

Apyrene	สเปร์มที่ไม่มีนิวเคลียส
Auricle	หัวใจส่วนบน
Body whorl	เดิร์ลหรือวงชุดสุดท้ายของเปลือกหอยนับจากส่วนยอดของเปลือก เป็นเดิร์ลที่ใหญ่ที่สุดของเปลือกหอย
Brood pouch	โพรงซึ่งมีลักษณะคล้ายถุงในร่างกายหอยเพศเมีย ซึ่งใช้เป็นที่สำหรับการเจริญเติบโตของไข่หรืออุ่มนบritoของหอย
Buccal cavity	ช่องบรรจุน้ำคัลแมส
Buccal mass	ส่วนที่บรรจุแรดูลาหรือพื้นหอย
Capsule gland	ต่อมสร้างแคปซูล
Cercaria	เป็นตัวอ่อนของพยาธิใบไม้ ซึ่งเจริญมาจากการติดต่อของ redia และเป็นระบะสุดท้ายของระบะตัวอ่อนที่เจริญภายในหอย
Columella	แกนของเปลือกหอยซึ่งมีลักษณะเป็นเกลียว
Columellar lip	ขอบปากเปลือกที่บริเวณคอฉลุเมล็ด
Concentric	การจัดเรียงตัวของเส้นการเติบโตของโอบเร็วคลัมประเททหนึ่งโดยมีนิวเคลียสซึ่งเป็นจุดศูนย์กลางร่วมกันและแผ่ขยายออกไปในลักษณะคล้ายวงแหวนรอบ ๆ นิวเคลียส
Conchology	การศึกษาเกี่ยวกับเปลือกของหอย
Conical	มีรูปร่างคล้ายกรวย
Crystalline style	แท่งสไตร์บราวนอยู่ในถุงสไตร์ มีหน้าที่หลังเขอนไขมย่อยอาหารประเภทคาร์บอโนไดออกไซด์
Ctenidium	เหงือก
Dextral	เปลือกหอยที่มีปากเปลือกเปิดทางด้านขวาหรือวนขวา
Dimeric protein	โปรตีนที่ประกอบด้วยหน่วยย่อย 2 หน่วย
Dioecious	หอยประเภทที่มีเพศผู้และเพศเมียแยกกัน
Docoglossa	แรดูลาที่ประกอบด้วยพื้นที่ใหญ่และแข็งแรง
Eupyrene	สเปร์มที่มีจำนวนโครโมโซมเป็นแพลลอยด์
Filament	แผ่นเหงือก
Flame cell	เป็น excretory cell ซึ่งมีขัน ให้ไปกัดเอาของเสียออกจากร่างกาย

Foot	แผ่นเท้าของหอย ทำหน้าที่ในการเคลื่อนที่
Gastric shield	แผ่นไคทินในผนังกระเพาะอาหาร ทำหน้าที่ป้องกันผนังกระเพาะจากการเสียดสีกับโพโรโทสไต์ล์
Globose	รูปทรงกลม
Growth line	เส้นตามแนวตั้งบนผิวเปลือกของหอยฝ่าเดียว
Hyperpyrene	สเปร์มที่มีจำนวนโครโนไซมมากกว่าแอพลอยด์
Hypobranchial gland	ต่อมที่ทำหน้าที่หลั่งสารที่ใช้ดักจับอาหารในหอยฝ่าเดียว หรือต่อมในผนังด้านในของแม่น้ำติล ทำหน้าที่หลั่งสารอาหารสำหรับไข่ในหอยสองฝ่า
Intermediate host	ไฮสต์ตัวกลางหรือสิ่งมีชีวิตที่ปรสิตเข้าไปอาศัยอยู่ในส่วนใดส่วนหนึ่งของร่างกาย และปรสิตเจริญเติบโต เปลี่ยนรูปร่างจากระยะหนึ่งไปเป็นอีกระยะหนึ่ง แต่ยังไม่ถึงตัวเต็มวัย
Lip	ขอบปากเปลือกของหอย
Lateral teeth	ฟันซ้างของหอยฝ่าเดียว
Marginal teeth	ฟันริมของหอยฝ่าเดียว
Mantle	ผิวนังซึ่งปักคลุมอวัยวะภายในของหอย
Mantle cavity	ช่องแม่น้ำติล มีเหงือกบรรจุอยู่ภายใน และเป็นช่องรองรับสิ่งขับถ่ายจากระบบสืบพันธุ์ ระบบขับถ่าย และระบบทางเดินอาหารของหอย
Melanin	รงค์วัตถุสีดำ
Miracidium	เป็นพยาธิตัวอ่อนที่มีขนรอบ ๆ ตัว ซึ่งพกออกจากการไข่ของพยาธิใบไม้
Monomeric protein	โปรตีนที่ประกอบด้วยหน่วยย่อยเพียง 1 หน่วย
Nuclear whorl	เวิร์ลหรือวงชาของเปลือกหอยซึ่งสร้างขึ้นโดยเอนบิโอก่อ่อนพึกเป็นตัวหอย เป็นเวิร์ลส่วนยอดของเปลือกหอย
Null allele	อัลลีลหนึ่งที่แสดงออกโดยการไม่สร้างโปรตีน
Operculum	แผ่นหินปูนหรือฝาซี่งติดอยู่กับแผ่นเท้าของหอยให้ปิดปากเปลือกเมื่อหอยหดตัวเข้าไปในเปลือก

Osphradium	อวัยวะรับความรู้สึกทำหน้าที่ทดสอบคุณภาพน้ำที่ผ่านเข้ามาในตัวหอย
Oviparous	หอยที่ออกลูกเป็นไข่
Ovoviviparous	หอยที่ให้กำเนิดไข่ที่มีเปลือกหุ้มและพกเป็นตัวภายในร่างกายของหอยตัวแม่
Penis	อวัยวะที่ใช้ในการผสมพันธุ์ของหอยเพศผู้
Penultimate whorl	เดิร์คลหรือชุดวงเดียวจากบอดีเดิร์ล
Polymorphism	ยืนตำแหน่งหนึ่งซึ่งมีพิโนไทเป็นมากกว่า 2 พิโนไท
Prostate gland	ต่อมที่ทำหน้าที่สร้างน้ำหล่อลื่นเม็ดสperm
Rachidian teeth	ฟันกลางของหอยฝาเดียว
Rachiglossa	แรดูลาที่ประกอบด้วยฟันริมที่แข็งสามชี มีฟันกลางและฟันข้างที่มีปลายแหลมหลายชี
Radula	โครงสร้างคล้ายฟันในปากของหอยทั่วไป
Redia	เป็นตัวอ่อนพยาธิเจริญมาจาก sporocyst มีรูปร่างเป็นถุงภายในเมล็ดอาหาร และส่วนที่จะเจริญเป็นลำไส้
Rhinophore	แรดูลาที่ประกอบด้วยฟันกลางใหญ่ มีฟันข้างห้าชีและมีฟันริมจำนวนมาก
Sculpture	ร่องรอยบนเปลือกหอยที่มีอยู่ตามธรรมชาติ
Spire	ส่วนของเปลือกหอยที่ขาดเป็นเกลี้ยวอยู่เหนือปากเปลือกไปถึงส่วนยอดของเปลือก
Sporocyst	พยาธิตัวอ่อนของพยาธิใบไม้ โดยเปลี่ยนแปลงมาจาก miracidium มีรูปร่างเป็นถุง
Sucker	อวัยวะสำหรับใช้เกาะยึด มี 2 ชนิดคือ Oral sucker และ Ventral sucker
Suture	ร่องหรือร่องต่อระหว่างเดิร์คลหรือวงชาด
Taeniglossa	แรดูลาที่ประกอบด้วยฟันกลางหนึ่งชีและฟันข้างสามคู่ในแต่ละแฉว
Teleconch	เปลือกหอยขั้นที่ถัดจากโพโรโทคอนชีที่หอยสร้างขึ้นภายหลัง
Tentacle	อวัยวะลักษณะคล้ายหนวด ทำหน้าที่รับสมผัส

Toxoglossa	แกรดูล่าທี่ແຕ່ລະແຄວປະກອບດ້ວຍພືນຄູ່ເດີຍານາດໃໝ່ ກູປ່ ຮ່າງເປັນແທ່ງກາຍໃນກລວງ
Umbilicus	ງົບປຶກທີ່ກລາງສູານຂອງເປົ້ອກຫອຍທີ່ປໍລາຍສູານຂອງຄອດູເມດ ລາ
Venticle	ຫົວຈີສ່ວນລ່າງ
Vas efferens	ເປັນທ່ອທີ່ອອກຈາກອັນທະໄປຢັ້ງ vas deferens
Vas deferens	ເປັນທ່ອທີ່ຕ່ອງຈາກ vas efferens ໄປຢັ້ງອວຍະສືບພັນຖຸເປົ້ອກ ຫອຍ ກາຣນັບເວົຣລ໌ທີ່ອ້າງຊາວງຂອງເປົ້ອກຫອຍນັບຈາກສ່ວນ ຍອດລົງມາທີ່ປາກເປົ້ອກ

บทที่ 2

## เอกสารและงานวิจัยที่เกี่ยวข้อง

อนุกรรมวิธาน และสัณฐานวิทยาของหอยน้ำจืด *Paludomus* spp.

หอยน้ำจืด *Paludomus* spp. จัดอยู่ในไฟลัมมอลลัสคา (Phylum Mollusca) คลาสแกส tro พอดา (Class Gastropoda) ชั้นคลาสโพโรเชแบรงเคีย (Subclass Prosobranchia) ออร์เดอร์เมโซแกส tro พอดา (Order Mesogastropoda) แฟมิลีเพลูโรเซอริด (Family Pleuroceridae) จีนสพากูโดมัส (Genus *Paludomus*)

ลักษณะโดยทั่วไปของหอยน้ำจืด *Paludomus* spp. เปลือกค่อนข้างมีขนาดเล็ก รูปร่างยาวค่อนข้างกลม เปลือกแข็งและหนา สีเขียวมะกอกหรือสีน้ำตาล ส่วนยอดของเปลือกมักสีกกร่อน ที่ผิวเปลือกส่วนในญี่พับศัลเชอร์ (sculpture) มีลักษณะเป็นเส้นสpiral line (spiral line) บริเวณชูเชอร์ (suture) เป็นร่อง ส่วนบอดีเวิร์ลใหญ่ ไม่มีอัมบิลิคัส (umbilicus) ปากเปลือกกว้าง ขอบปากเปลือกเรียบ มีແນບສี สีน้ำตาลพาดตามขวางหรือตามแนวเวิร์ลของเปลือกประมาณ 1-3 แผ่น โอบเพอคิลลัมบาง เป็นมัน และเป็นแบบค่อนเร้น ทريมสไปรลนิวเคลียส หอยตัวเมียออกลูกเป็นไข่ และไม่มีถุงพักตัวอ่อน (brood pouch) (Brandt, 1974 และ ศุชาติ, 2538) จากภ่ายงานของ Brandt (1974) ได้จัดจำแนกหอยน้ำจืด *Paludomus* spp. ในประเทศไทยออกเป็น 2 ชนิดคือ *Paludomus petrosus* และ *Paludomus siamensis* (รูปที่ 1) ลักษณะของ *Paludomus petrosus* เปลือกหอยมีขนาดกลาง รูปร่างค่อนข้างกลม ปลายยอดมักสีกกร่อน หรือมีประมาณ 2 – 3 เวิร์ล เปลือกมีสีเขียวมะกอก ถึงสีน้ำตาล ผิวเปลือกเรียบ ยกเว้นมีเส้นตามแนวตั้งของเปลือก (growth line) ส่วนในญี่พับร่องตามแนวชูเชอร์ (subsutural spiral grooves) 2 – 3 ร่อง ส่วนของบอดีเวิร์ลมีขนาดใหญ่ ไม่มีอัมบิลิคัส ปากเปลือกกว้าง มีແນບສีพาดตามขวางประมาณ 2 – 3 แผ่น บางครั้งอาจพบ 1 หรือ 4 แผ่น แต่น้อยมากที่จะพบว่าไม่มีແນບສีพาดตามขวาง คอคุลเมลลา (columella) ค่อนข้างกว้าง มีสูตรพื้นเป็นแบบที่นิโอกลเซา ( $2 : 1 : 1 : 1 : 2$ ) พื้นกลางมีหยักตรงกลางใหญ่ 1 หยัก มีหยักเล็กๆ ด้านข้าง 5 หยัก ส่วนบริเวณพื้นกลางมีลักษณะม้วนงอ พื้นข้างมีหยัก 1 – 4 หยัก พื้นบริเวณมีหยัก 6 – 7 หยัก และมีพื้นบริเวณละเอียงประมาณ 21 หยัก ในหอยเพศเมียมีร่องนำไข่ (egg transfer groove) ส่วนหอยเพศผู้ไม่มีอวัยวะในการผสมพันธุ์ (intromittent organ)

พบกระจายอยู่ตามลำห้วยบริเวณเทือกเขาในจังหวัดชุมพร ระนอง นครศรีธรรมราช พัทลุง นอกจากนี้ยังถูกสันนิษฐานว่าเป็นไฮสติก์กลาชของพยาธิใบไม้ *Paragonimus westermani* ที่ก่อโรคในสตรี ส่วน *Paludomus siamensis* มีลักษณะต่างจากชนิดแรกคือเปลือกรูปร่างไม้ กลมเทาชนิดแรก มีสีปีร์สูง ผิวเปลือกพบเส้นในแนวราขดวนของหอย (spiral line) รัดเจนกว่า เปลือกมีสีน้ำตาลแก่ แบบสีพาดตามขวางของเปลือกมีสูตรเป็นแบบ 0034 หรือ 1034 น้อยมากที่จะเป็นแบบ 0030, 0230 หรือ 0000 และส่วนริมของพังกลางที่มีลักษณะปีกจะหนาสันคล้ายรูปสามเหลี่ยม มีแหล่งกระจายอยู่ในจังหวัด แพร่ ลำปาง พิษณุโลก เลย และกาญจนบุรี

#### การจัดจำแนกหอยฝ่าเดียว

การจัดจำแนกเพื่อ弄รู้ความหลากหลายทางพันธุกรรม (genetic diversity) ของสิ่งมีชีวิตทั้งทางปริมาณและคุณภาพอาจเป็นการจำแนกความแตกต่างในระหว่างและภายในสปีชีส์ (between and within species) ระหว่างและภายในประชากร (between and within populations) หรือระหว่างแต่ละตัว (between individuals) ลักษณะที่ใช้บ่งบอกความแตกต่างนี้มี 2 ประเภท (ดร.สุรินทร์, 2545) คือ

1. ลักษณะทางสัณฐานวิทยา (Morphological marker)
2. ลักษณะทางโมเลกุล (Molecular marker)

ลักษณะทางสัณฐานวิทยา (Morphological marker) ลักษณะเปลือกจัดเป็นลักษณะสำคัญในการจัดจำแนกหอยฝ่าเดียวออกเป็น แฟมili (family) จีนัส (genus) และ สปีชีส์ (species) ลักษณะที่ใช้ได้แก่ ขนาด รูปร่างของเปลือก และลักษณะของส่วนประกอบต่างๆ ของเปลือก เช่น ลักษณะของเวิร์ล (whorl) ซึ่งอาจกลมหรือเป็นมุนหรือยกสูง เป็นสันหรือแบบจำนวนเวิร์ลซึ่งอาจมี 3 เวิร์ลหรือหลายเวิร์ล การมีหรือไม่มีอัมบิลิคัส (umbilicus) และลักษณะของอัมบิลิคัสซึ่งอาจแคบหรือกว้าง ลักษณะของแกนของเปลือกหรือ columella (columella) ซึ่งอาจตรงหรือบิดเป็นเกลียว ลักษณะของขอบปากเปลือก (aperture) ด้านนอกซึ่งอาจตรง หรือโค้ง หรือหยัก ลักษณะลวดลายและสีของเปลือก ลักษณะของปากเปลือก คือมีช่องเปิดทางด้านขวาหรือเด็กซ์ทรัล (dextral) หรือมีช่องเปิดทางด้านซ้ายหรือซินิสทรัล (sinistral) การมีหรือไม่มีโอบเชอร์คิวลัม (operculum) ปิดปากเปลือก และชนิดของโอบเชอร์คิวลัม เป็นต้น

ซึ่งลักษณะทางสัณฐานวิทยาและลักษณะทางโมเลกุลที่ใช้ในการศึกษาความแตกต่างของหอยฝ่าเดียวโดยทั่วไปเป็นดังนี้ (สุชาติ และคณะ, 2538)

## ลักษณะทางสัณฐานวิทยาของหอยฝ่าเดียว

### 1. เปลือกหอย

เปลือกของหอยฝ่าเดียว (gastropod) ที่พบเห็นกันทั่วไปมีรูปร่างทรงกรวย (conic) มียอดแหลมและขดเป็นวง ภายในเปลือกกลวงและมีตัวหอยบรรจุอยู่ เปลือกขดสุดท้ายจะมีส่วนหัวและแผ่นเท้า (head and foot) ขาดอยู่ภายใน หอยสามารถยืนทั้งส่วนหัวและแผ่นเท้าออกมาก และหดกลับเข้าเปลือกทางปากเปลือก (aperture)

#### 1.1 ลักษณะโดยทั่วไปของเปลือกหอย

โดยทั่วไปของเปลือกหอยฝ่าเดียวจะเป็นทรงกรวย มียอดแหลมปิดตันซึ่งมีขนาดเล็กที่สุดและจัดเป็นส่วนยอดของเปลือก (apex) เมื่อเปรียบเทียบกับปากกรวยซึ่งมีขนาดใหญ่กว่าและจัดเป็นส่วนฐานเปลือก (base) ทั้งนี้เนื่องจากลักษณะการขดวนของเปลือกหอยจะเริ่มจากส่วนยอดเปลือกและวนเป็นชั้น ๆ เรียกวีร์ล (whorl) ในลักษณะที่เป็นเกลียวรอบแนวแกนซึ่งถือเป็นแนวสมมุติบริเวณกึ่งกลางเปลือก ผลของการขดวนรอบแนวสมมุติของเปลือกหอยทำให้ผนังด้านในของเปลือกหอยด้านที่ติดกับแนวแกนสมมุติมีลักษณะเป็นแท่งเรียกคอลูเมลลา (columella) ซึ่งอาจมีริ้วหรือรอยพับบนผิว (columellar fold) ชั้นของขดหอยจากยอดเปลือกถึงวีร์ลรองสุดท้ายเรียกสไปร์ (spire) หรือสไปร์วีร์ล (spire whorl) และวีร์ลสุดท้ายของเปลือกหอยเรียกบอดีวีร์ล (body whorl) บริเวณที่แต่ละวีร์ลมาแตะกันเรียกวีซูเชอร์ (suture) นอกจากริ้วที่ปลายสุดของบอดีวีร์ลจะมีร่องหรือรูเปิดเพื่อเป็นทางให้ตัวหอยคีบคลานออกนอกเปลือกเรียกปากเปลือกรอบ ๆ ปากเปลือกมีขอบเรียกขอบปากเปลือก (peristome) และที่ส่วนปลายคอลูเมลลาใกล้ ๆ กับปากเปลือกจะมีรูเรียกอัมบิลิคัส (umbilicus) (รูปที่ 2)

#### 1.1.1 ยอดเปลือก

ยอดเปลือกเป็นชั้นที่เล็กที่สุดของเปลือกหอยซึ่งสร้างก่อนส่วนอื่นของเปลือกตั้งแต่ระยะตัวอ่อน เรียกส่วนของขดยอดเปลือกนี้ว่าโนวเคลียร์วีร์ล (nuclear whorl) หรือเอพิคัลวีร์ล (apical whorl) หรือโพโทคอนช (protoconch) ส่วนเปลือกหอยชั้นต่อไป ที่ดัดลงมานั้นเป็นเปลือกที่หอยสร้างขึ้นมาในภายหลังเมื่อหอยโตขึ้นเรียกเทเลคอนช (teleconch) ลักษณะการขดวนของโพโทคอนชอาจจะอยู่ในระนาบเดียวกันกับการขดวนของ เทเลคอนช (รูปที่ 3 ก-ษ) หรืออาจจะอยู่คนละระนาบกันก็ได้ (รูปที่ 3 ฉ-ณ) ในหอยบางชนิดโพโทคอนชจะถูกหุ้มด้วยเทเลคอนช โพโทคอนชส่วนใหญ่มีผิวเรียบแต่ในหอยบางชนิดก็มีลวดลายบนผิว ในหอยที่มีการขดวนของโพโทคอนชและเทเลคอนชในระนาบเดียวกัน ความแตกต่างของผิวโพโทคอนชและเทเลคอนชทำให้สามารถบอกรายละเอียดของโพโทคอนได้ นอกจากริ้วที่ศีรษะของการขดวนของโพโท

คงจะเป็นไปในทิศทางเดียวกับของเทเลคอนซ์ เรียกโพโรโทคอนซ์นิดนี้ว่า ไฮมิอิสตอฟิก (homeostrophic) ถ้าทิศทางการขดวนของโพโรโทคอนซ์เป็นไปในทิศทางที่แตกต่างกับของเทเลคอนซ์เรียกโพโรโทคอนซ์ลักษณะนี้ว่า เอทีอิสตอฟิก (heterostrophic) ส่วนใหญ่ขนาดของโพโรโทคอนซ์จะเล็กมากเมื่อเทียบสัดส่วนกับขนาดของเปลือกของหอยตัวเต็มวัย แต่มีหอยบางชนิดจะมีโพโรโทคอนซ์เป็นรูปโดม มีขนาดเส้นผ่าศูนย์กลาง 23 มิลลิเมตร ซึ่งจัดว่าเป็นโพโรโทคอนซ์ที่มีขนาดใหญ่ บางชนิดส่วนเอพิคัลเวอร์ลหลุดออกไปดังนั้น สไปร์เวิร์ลที่ติดกับเอพิคัลเวอร์ลจะสร้างสารมาปิดชูเชอร์เพื่อป้องกันอวัยวะภายใน กระบวนการเช่นนี้เรียก ตีคลลเลชัน (decollation)

### 1.1.2 สไปร์เวิร์ลและชูเชอร์

การพิจารณาความสูงของเวิร์ลแต่ละเวิร์ลของเปลือกหอยวัดจากระดับห่างระหว่างชูเชอร์ ในหอยชนิดเดียวกันอาจมีความสูงของแต่ละเวิร์ลค่อนข้างคงที่หรืออาจไม่แน่นอน ส่วนใหญ่ในหอยแต่ละชนิดความสูงของแต่ละเวิร์ลขึ้นอยู่กับความชันของการขดวนของแต่ละเวิร์ลของเปลือกหอย หรือขึ้นอยู่กับลักษณะการลาดเอียงของชูเชอร์ของแต่ละเวิร์ล นอกจากนี้ในเปลือกหอยหลายชนิดพบว่า ส่วนของผิวเปลือกมีลวดลายเป็นสันหรือขอบมุน (rib) มีผลทำให้ชูเชอร์มีลักษณะเป็นคลื่นมากจนทำให้ส่วนของสไปร์เวิร์ลบิดตัวตามไปด้วย ในหอยบางชนิดสไปร์เวิร์ลโค้ง (convex) หรืออาจค่อนข้างแบน หรืออาจยกเป็นมุนทำให้มีลักษณะเป็นสันเรียก แครินาหรือคีล (carina, keel) ถ้าในกรณีที่สไปร์เวิร์ลมีแครินายกเป็นมุนสูงใกล้แนวชูเชอร์ก็จะเรียกส่วนของเปลือกบริเวณนั้นว่า ชีว์เดอร์ (shoulder) ลักษณะต่าง ๆ ของชูเชอร์นั้นขึ้นอยู่กับลักษณะการโค้งเว้าของผิวเปลือกและการขดวนของเวิร์ล ในหอยหอยชนิดจะมีแนวชูเชอร์เรียงหรือเป็นไปในแนวเดียวกับการขดวนของบอดีเวิร์ล เช่น หอยทรงกรวยแบบ (รูปที่ 4 ก) และชูเชอร์ของแต่ละเวิร์ลค่อนข้างซิดกันเรียก พลัช (flush) นอกจากนี้ในหอยที่มีเปลือกส่วนบอดีเวิร์ลใหญ่และกว้างกว่าสไปร์เวิร์ลมากนั้น สไปร์เวิร์ลจะสูงเข้าหากันที่จุดยอดเปลือก เรียกชูเชอร์ของเปลือกลักษณะดังกล่าวว่า แอดเพรสต์ (adpressed) ซึ่งสามารถสังเกตได้จากลักษณะของปากเปลือกที่เป็นมุนแคบทางด้านบน (รูปที่ 4 ข) นอกจากนี้ในหอยที่มีแนวการขดวนของแต่ละเวิร์ลค่อนข้างสม่ำเสมอตามแนวแกนของเปลือกอาจมีชูเชอร์ลีก (รูปที่ 4 ค) หรือเป็นร่อง เช่นในกรณีที่รูปทรงของแต่ละเวิร์ลค่อนข้างแคบ (รูปที่ 4 ง) และในเปลือกหอยที่เวิร์ลมีลักษณะเป็นชีว์เดอร์ในแนวชูเชอร์ แนวชูเชอร์จะมีลักษณะเป็นร่องยาวและลึก (canalicate) เป็นต้น (รูปที่ 4 จ, ฉ)

### 1.1.3 บอดีเวิร์ลและปากเปลือก

บอดีเวิร์ลเป็นส่วนของเวิร์ลสุดท้ายหรือเวิร์ลที่ถูกสร้างหลังสุดของเปลือก ที่ปลายสุดของบอดีเวิร์ลจะมีปากเปลือกเพื่อให้ตัวหอยเคบคลานออกหากเปลือก เมื่อหอยเปลือกหอยขึ้นจะ

เห็นปากเปลือกเป็นแนวโค้งทางด้านข้าง และด้านข้างที่อยู่ตรงข้ามกับปากเปลือกจะเป็นแนวเว้า หรือคอค (neck) ในหอยบางชนิดโดยเฉพาะหอยน้ำเค็มเปลือกจะมีส่วนยื่นยาวออกจากปากเปลือกมากเรียกว่าซิโฟน (siphonal canal) ซึ่งเป็นท่อนรูท่อนนำน้ำหรือซิโฟนของหอย

บริเวณรอบปากเปลือกมีขอบเรียกขอบปากเปลือก ซึ่งแต่ละด้านมีชื่อเรียกดังนี้ขอบปากเปลือกด้านที่ติดกับส่วนสุดท้ายของบอดีเวิร์ลเรียกขอบปากเปลือกด้านนอก (outer lip) ขอบปากเปลือกที่ส่วนฐานของเปลือกเรียกขอบปากเปลือกฐาน (basal lip) และขอบปากเปลือกส่วนที่เหลือซึ่งอยู่ใกล้แนวแกนของเปลือกเรียกขอบปากเปลือกด้านใน (inner lip) ซึ่งประกอบด้วยสองส่วนคือ ขอบปากเปลือกคอลูเมลลาร์ (columellar lip) ซึ่งสร้างจากแนวแกนของเปลือกและขอบปากเปลือกพาไรอัล (parietal lip) ซึ่งส่วนใหญ่เป็นแนวที่ยื่นจากแนวแกนไปด้านขวาซึ่ง (รูปที่ 2)

ที่ฐานของปากเปลือกจะเป็นบริเวณที่ขอบปากเปลือกด้านนอกและด้านในมาบรรจบกันเป็นแนวโค้งที่ต่อเนื่อง เรียกเปลือกลักษณะนี้ว่าไฮโลสโตมาทัส (holostomatus) (รูปที่ 5 ก) แต่ในหอยหลายชนิดโดยเฉพาะหอยทะเลขอบปากเปลือกด้านนอกและด้านในไม่บรรจบกัน เนื่องจากมีร่องซิโฟนคั่น เรียกเปลือกลักษณะนี้ว่าซิโฟโนสโตมาทัส (siphonostomatus) (รูปที่ 5 ข, ค) ในกรณีนี้ร่องของซิโฟนอาจมีลักษณะเป็นติ่ง หรืออาจเป็นร่องแคบและยาวที่อาจมีลักษณะตรงหรือโค้ง

ในเปลือกหอยบางชนิดขอบปากเปลือกด้านนอกและขอบปากเปลือกพาไรอัลมาพบกันในลักษณะที่เป็นมุนที่บริเวณจุดสิ้นสุดของซูเซอร์ของบอดีเวิร์ล และทำให้แนวของปากเปลือกพาไรอัลด้านหลังเป็นสันเล็ก ๆ ซึ่งมาเรียกสันพาไรอัล (parietal ridge) ในเปลือกหอยบางชนิดผนังด้านนอกของบอดีเวิร์ลและขอบปากเปลือกจะหนาในบริเวณด้านในหรือด้านนอกหรือทั้งสองด้าน นอกจากนี้ในเปลือกหอยบางชนิดมีขอบปากเปลือกระดกออก (reflected) หรืออาจม้วนพับเข้า (inflected) และบริเวณขอบปากเปลือกด้านนอกอาจมีลักษณะเป็นสัน หรืออาจเป็นหนาม (spine) หรืออาจมีลักษณะเป็นปีกยื่นหรือแผ่ออกด้วย

#### 1.1.4 อัมบิลิคัส (umbilicus)

อัมบิลิคัสเป็นช่องหรือรู หรือรอยบุ๋ม (depression) รอบคอดูเมลลาร์ซึ่งเป็นผลจากการขาดแคลนของบอดีเวิร์ล ในเปลือกหอยส่วนใหญ่จะมีอัมบิลิคัสเป็นเกลียว (spiral cavity) และพบที่บอดีเวิร์ลหรืออาจพบที่ส่วนฐานของเปลือก นักศัลยแพทย์ (malacologist) เรียกเปลือกหอยที่มีอัมบิลิคัสว่าเพอร์ฟอร์เรต (perforate) หรืออัมบิลิเคต (umbilicate) และเรียกเปลือกหอยที่ไม่มีอัมบิลิคัสว่าอิมเพอร์ฟอร์เรต (imperforate) หรืออนอัมบิลิเคต (non-umbilicate)

### 1.2 รูปร่างของเปลือก

โดยทั่วไปเปลือกหอยฝาเดียวจะมีรูปร่างเป็นทรงกรวยลักษณะต่าง ๆ แต่ก็มีหอยบางชนิดที่มีเปลือกรูปทรงขดแบบ (planispiral) หรือเป็นทรงกรวยเตี้ยที่มีเปลือกทึ้งสองด้านของครุเมลดลาที่เหมือนกัน (isostrophic) หรือในหอยบางชนิดก็มีเปลือกขนาดเล็กและผ่องอยู่ในแม่น้ำทิลหรืออาจไม่มีเปลือกเลย

ในหอยที่มีเปลือกทรงกรวยนั้น ความแตกต่างของรูปร่างของเปลือกนี้อยู่กับลักษณะการขดวนของเปลือกรอบแนวแกนของหอย เปลือกของหอยทรงกรวยอาจเป็นรูปยาว (elongate) (รูปที่ 6 ก, ช) รูปกรวยรูปไข่ (รูปที่ 6 ค-จ) รูปกรวยกลม (globose) (รูปที่ 6 ฉ, ช) หรือเตี้ย (depressed) (รูปที่ 6 ช) การพิจารณารูปร่างของเปลือกหอยทรงกรวยอย่างละเอียดนั้นจะต้องพิจารณาจากขนาดของมุมสไปร์ (spire angle) ซึ่งเป็นมุมยอดเปลือก

เปลือกหอยบางชนิดมีการขดวนผิดปกติหรือไม่สม่ำเสมอ เช่นมีการขดวนของเปลือกแต่ละชั้นอย่างหลวม ๆ ทำให้แต่ละเวิร์ลไม่สมัสมักกัน บางชนิดมีการขดวนของเปลือกหอยของแรกติดต่อกันเป็นทรงกรวยแบบ แต่การขดวนของเปลือกช่วงท้ายหรือบางส่วนของบอดีเวิร์ลจะไม่สม่ำเสมอและเป็นไปอย่างหลวม ๆ เรียกเปลือกลักษณะดังกล่าวว่าเทอเรริคิวเลต (turricate) บางชนิดเวิร์ลช่วงแรกจะหายไปและการขดวนของเวิร์ลที่เหลือทำให้เปลือกมีลักษณะเป็นท่อคล้ายเข้าสัตร์ เรียกเปลือกลักษณะนี้ว่าสกาลาริฟอร์ม (scalaiform)

### 1.3 แนวการขดวนของเปลือก

การขดวนของเปลือกหอยแบ่งได้เป็น 2 ประเภทสังเกตจากการหมายส่วนปากเปลือกชั้นให้ส่วนยอดเปลือกหันออกด้านซ้ายสังเกต ถ้าพบว่าปากเปลือกอยู่ทางซ้ายมือแสดงว่าคือ การขดวนในทิศทางทวนเข็มนาฬิกาหรือวนซ้ายเรียกวินิสทรัล (sinistral) ถ้าปากเปลือกอยู่ทางด้านขวา มือแสดงว่าการขดวนของเปลือกหอยเป็นไปในทิศทางตามเข็มนาฬิกาหรือวนขวาเรียกดีกซ์ ทรัล (dextral) (รูปที่ 7)

### 1.4 ขนาดของเปลือกหอย

ขนาดที่ใช้วัดเปลือกหอยคือความยาวหรือความสูงและความกว้างของเปลือกหอย สามารถใช้ความยาวของเปลือกมาจัดจำแนกเปลือกหอยออกเป็นขนาดต่าง ๆ ได้ (รูปที่ 8) นอกจากนี้ยังอาศัยการวัดขนาดมุมสไปร์ (รูปที่ 9) และการนับจำนวนเวิร์ล (รูปที่ 10) เพื่อใช้พิจารณารูปทรงและจัดจำแนกหอยอย่างละเอียดอีกด้วย

### 1.5 ลวดลายบนเปลือกและลวดลายของสีเปลือก

ที่ผิวของเปลือกหอยจะมีลวดลายแตกต่างกันไป เช่น มีลักษณะเป็นตุ่ม เป็นหนาม

เป็นรอยย่น เป็นรอยบุ๋ม เป็นสัน เป็นเส้นนูน หรือ เป็นเส้นบาง ๆ ในกรณีที่เป็นเส้นนั้นลายเส้นบนเปลือกหอยจะพบสองแนวคือ เส้นในแนวตั้ง หรือเส้นการเติบโตคือ เส้นที่อยู่ในระนาบเดียวกับแนวขอซูเมลลา (transverse, growth line) และเส้นในแนววนอนคือเส้นที่อยู่ในระนาบเดียวกับแนวการขดวนของหอย (spiral line) (รูปที่ 11) สำหรับเส้นการเติบโตของเปลือกนั้นจะสิ้นสุดที่ขอบปากเปลือก และในหอยต่างชนิดกันจะมีเส้นการเติบโตที่มีความคมชัดผิดกันอีกด้วย เส้นในแนววนอนนั้นจะมีอยู่สองลักษณะคือ เป็นเส้นนูนหนา หรืออาจเป็นเส้นที่บุ๋มหรือฝังลงไปในผิวเปลือก

ในหอยน้ำจืดและหอยบกสวนใหญ่จะมีเปลือกเป็นสีพื้น มีบางชนิดที่มีลายเป็นแถบสีในแนวตั้งหรือเป็นแถบสีในแนวอนขของเปลือก หรืออาจพบทั้งสองแนวๆ แถบ โดยอาจพบเป็นแถบบางหรือหนาหรืออาจเป็นเส้น และแถบสีน้ำเงินอาจพบเป็นสีอ่อนลับสีเข้มหรือเป็นแถบสีหลาสี (รูปที่ 12) ส่วนในหอยน้ำเค็มลดลายของสีเปลือกอาจพบเป็นแถบ เป็นริ้ว เป็นจุดหรืออาจมีรูปแบบไม่แน่นอน

## 1.6 ໂພເຄຣີກິວລັມ

ในหอยซับคลาสโพเรโซแบงเดียส่วนใหญ่จะมีโภรคิวลัม (operculum) หรือแผ่นปิดปากเปลือก ยกเว้นหอยในซับคลาสโอดิสโทแบงเดีย และ พัลไมเนต ส่วนใหญ่จะไม่มีโภรคิวลัม ตำแหน่งของโภรคิวลัมจะอยู่ที่บริเวณด้านบนส่วนท้ายของแผ่นเท้าของหอย หน้าที่หลักของโภรคิวลัมคือปิดปากเปลือกเมื่อตัวหอยหดกลับเข้าเปลือก โดยทั่วไปโภรคิวลัมจะปิดปากเปลือกได้สนิททำให้สามารถป้องกันอันตรายให้กับตัวหอยซึ่งอยู่ภายในได้ แต่ในหอยบางชนิดโภรคิวลัมจะปิดปากเปลือกไม่สนิทหรือไม่ปิดปากเปลือกและอาจเป็นแหล่งรุกรานไปเพื่อทำหน้าที่เฉพาะ บางชนิดจะมีโภรคิวลัมยาวและแหลมคมช่วยในการเคลื่อนที่โดยการขุดทราย

โอลิโพร์คิวลัมมีรูปร่างหลาຍແບນ (ຮູບທີ 13) ໂດຍທົ່ວໄປເປັນແຜ່ນແບນ ຈາຈເປັນຮູບປິກຮູ້ອີງ  
ຮູບກລມ ມື້ນ້ຳໜັກເບາແລະເປັນມັນເງາເນື່ອງຈາກປະກອບດ້ວຍສາວຄອນໂຄລິນ (ຮູບທີ 13 ກ-ໝ)  
ຮູ້ອາຈານມີຄວາມໜ້າໜັກ ແລະລັກຊະນະດ້ານກວ່າພວກແຮກເນື່ອງຈາກປະກອບດ້ວຍສາວພວກທຶນປຸນ  
(ຮູບທີ 13 ດນ-ທ) ຂອຍທີ່ມີໂລເພອຣົກົລັມໜີດເກລີຍວັດເປັນຂອຍທີ່ໃບຮາດທີ່ສຸດ (ຮູບທີ 13 ຂ, ລ)  
ນອກຈາກນີ້ລົດລາຍທີ່ພັບບນໂລເພອຣົກົລັມດ້ານນອກອາຈານມີລັກຊະນະວັນເປັນວັງຕ່ອກັນຫລາຍວັງເຮັຍກມັດ  
ຕິສີເປັດ (ກົມົლິຕິສິපິຣີ) (ຮູບທີ 13 ລ, ພ, ພງ) ຮູ້ອາຈານຕ່ອກັນເປັນວັງເລັກ ၅ ເຮັຍກພອຊີສີເປັດ  
(paucispiral) (ຮູບທີ 13 ຄ) ຮູ້ອາຈານເປັນວັງເຕີຍວັ້ອນກັນຫລາຍ ၅ ວັງເຮັຍກຄອນເຊັນທຽກ

(concentric) (รูปที่ 13 ง, ญ) หรือเป็นวงเดี่ยวซ้อนกันหลายวงและตรงกลางมีวงศ์ลึก ๆ วนต่อเนื่องกันเรียกค่อนเขนทริกที่มีสไปรลนิวเคลียส (spiral nucleus) (รูปที่ 13 ท)

## 2. ส่วนลำตัว

2.1 โครงสร้างภายในออก เมื่อสังเกตหอยขนาดคีบคลานจะเห็นส่วนหัว แผ่นเท้า เทenze เทเกิดรวมทั้งตาและไฟฟอน ยื่นออกมาจากเปลือก เมื่อแกะเปลือกหอยออกจะพบแผ่นแม่นเทลคลุมบริเวณส่วนหัวและคอไว้ ถ้ายกแผ่นแม่นเทลขึ้นจะพบข้างใต้เป็นช่องเรียกว่าช่องแม่นเทล หรือช่องแพลเลียล (pallial cavity) นอกจากนี้ยังพบรูเปิดของระบบสืบพันธุ์และเพนิส (penis) ซึ่งเป็นส่วนของอวัยวะสืบพันธุ์ในหอยบางชนิดอีกด้วย

### 2.1.1 ส่วนหัว

ส่วนหัวอยู่บริเวณด้านหน้าของตัวหอย ส่วนใหญ่ด้านหน้าสุดของส่วนหัวจะมีปาก ในหอยบางชนิดส่วนหัวอาจยื่นยาวเรียกว่าอกไปมากเรียกโพroboscis (proboscis) (รูปที่ 13 ก) หรืออาจยื่นออกไปเล็กน้อยทำให้เห็นเป็นลักษณะอ้วนสันเรียกสนูต (snout) (รูปที่ 14 ข) ในกรณีหอยที่มีโพroboscisหรือสนูตนั้นปากจะอยู่ที่ปลายส่วนดังกล่าว ด้านหลังปากจะพบเทนเกเดล 1-2 คู่แล้วแต่ชนิดของหอย บริเวณเทนเกเดลจะพบตามซี่ส่วนใหญ่จะมีหนึ่งคู่กรณีที่หอยมีเทนเกเดลหนึ่งคู่ อาจพบตาที่ปลายหรือโคนเทนเกเดลก็ได้ (รูปที่ 15) ในกรณีหอยที่มีเทนเกเดลสองคู่ เช่น หอยพัดโนเนต ตามกับพที่ปลายเทนเกเดลคู่หน้าซึ่งมักยาวกว่าเทนเกเดลคู่หลัง แต่ในหอยบางชนิดอาจพบตาสองคู่

### 2.1.2 ส่วนคอ

คอเป็นส่วนที่อยู่ติดจากส่วนหัวและอยู่บริเวณหลังเทนเกเดล ในหอยโพrhozoa แบ่งเดียวที่มีเพศแยกกัน หอยเพศผู้จะมีเวิร์จ (verge) หรือเพนนิสบริเวณคอด้านบนหรือเทนเกเดล ข้าวอาเจมีขนาดใหญ่กว่าเทนเกเดลซ้ายและทำหน้าที่เป็นเพนนิส (รูปที่ 16)

### 2.1.3 แผ่นเท้า

แผ่นเท้าเป็นส่วนที่อยู่ติดส่วนหัวไปทางด้านหลัง ด้านบนของแผ่นเท้าติดกับด้านซ้ายของลำตัว ในหอยที่มีโอลิเพอร์คิวลัม แผ่นโอลิเพอร์คิวลัมจะอยู่ที่ด้านบนและท้ายของแผ่นเท้าโดยทั่วไปแผ่นเท้าของหอยมีลักษณะกว้าง และเป็นกล้ามเนื้อหนา

### 2.1.4 แม่นเทล

แม่นเทลเป็นแผ่นเนื้อซึ้งอยู่ในเขตสุดท้ายของเปลือกหอย หรืออยู่ในส่วนบอดีเวิร์ลของเปลือก แม่นเทลปกคลุมส่วนหัวและคอของเปลือกหอย ส่วนสุดท้ายของแม่นเทลติดกับส่วนอวัยวะภายใน ใต้แม่นเทลมีช่องระหว่างแม่นเทลกับตัวหอยเรียกว่าช่องแม่นเทล ภายในแม่นเทล

ของหอยโพรไซแบ่งเดียจะพบส่วนปลายของระบบสีบพันธุ์ ส่วนปลายของระบบทางเดินอาหาร เช่น เกรตรัมและเอนัส ໄຕ และหัวใจ ที่ขอบของเมนเทลซึ่งอยู่บริเวณหน้าสุดจะมีรูเปิดของระบบสีบพันธุ์ และเอนสอยู่ใกล้ ๆ กัน ในช่องเมนเทลจะมีเหงือก ออสเพรเดียมและต่อมไอกะเพรงเดียล (hypobranchial gland) หรือต่อมเมื่อกสำหรับดักอาหาร

รงค์วัตถุ (pigment) ที่พบบนส่วนต่างๆ ของตัวหอยมีหลายชนิดด้วยกัน เช่น รงค์วัตถุเมลานิน (melanin) รงค์วัตถุสีเหลือง แดง ส้ม และน้ำตาล เป็นต้น รงค์วัตถุอาจอยู่กราดกระจายอย่างสม่ำเสมอบนส่วนต่าง ๆ ของตัวหอย เช่น ส่วนหัว แผ่นเท้า ตา เทานเทเดิล เมนเทล เป็นต้น หรืออาจรวมกันเป็นกลุ่มทำให้เกิดเป็นลวดลายต่าง ๆ (รูปที่ 16)

2.2 โครงสร้างภายใน เมื่อแกะเปลือกหอยออก ผ่าตัวหอยตามแนวยาวของลำตัว จะพบระบบอวัยวะภายใน เช่น ระบบสีบพันธุ์ ระบบประสาท และระบบทางเดินอาหาร เป็นต้น

### 2.2.1 ระบบทางเดินอาหาร

ระบบทางเดินอาหาร หอยฝ่าเดียวมีการกินอาหารหลายแบบ เช่น กินพืชเป็นอาหาร (herbivore) กินสัตว์เป็นอาหาร (carnivore) กินซากพืชซากสัตว์ที่เน่าเปื่อยเป็นอาหาร หากินตามพื้นน้ำ กินอาหารที่ลอยอยู่ในน้ำ (suspension feeder) และพวกที่เป็นปรสิต เป็นต้น แม้ว่าหอยฝ่าเดียวจะมีการกินอาหารหลายแบบแต่มีลักษณะที่เหมือนกันคือ (1) ใช้แกรดูลาในการกินอาหาร (2) มีการย่อยอาหารทั้งหมดหรือบางส่วนเป็นแบบภายในอกเซลล์ (3) ส่วนใหญ่มีเยื่อไขมันซึ่งสร้างจากต่อมน้ำลาย ถุงหลอดอาหาร (esophageal pouch) หรือตับอย่างโดยย่างหนึ่งหรือร่วมกันในการผลิตเยื่อไขมันในการย่อยภายนอกเซลล์ (4) มีกระเพาะอาหารเป็นอวัยวะสำหรับการย่อยภายนอกเซลล์ และมีตับสำหรับดูดซึมอาหาร และการย่อยภายในเซลล์ในบางกรณี (5) จากผลการที่หอยบิดตัว (torsion) เป็นมุม  $180^{\circ}$  กระเพาะอาหารจะบิดตัวเป็นมุม  $180^{\circ}$  ตามไปด้วย ทำให้ส่วนปลายของหลอดอาหารติดต่อกับกระเพาะอาหารทางด้านท้ายของตัวหอยและส่วนลำไส้ซึ่งอยู่ที่ส่วนหน้าของตัวหอยบิดตัวด้วย อย่างไรก็ตามหอยที่มีวัตถุนาการสูงขึ้นมีแนวโน้มที่รูเปิดของหลอดอาหารสู่กระเพาะอาหารนั้นจะอยู่ที่ส่วนหน้าของตัวหอยเนื่องจากหอยกลุ่มนี้จะมีการบิดตัวกลับ (detorsion) และ (6) การเคลื่อนตัวของอาหารในระบบทางเดินอาหารอาศัยการพัดใบของริบบิลที่บุตตามผนังของระบบทางเดินอาหารมากกว่าการกดตัวของกล้ามเนื้อ

นักศังชีวิทยา ได้แบ่งพันรอยออกเป็นชนิดต่าง ๆ กัน (รูปที่ 17) โดยอาศัยจำนวนพันรอยในหนึ่งเดียวของ และรูปร่างลักษณะต่าง ๆ ดังนี้ (สุชาติ อุปถัมภ์, 2538) (1) ไรพิดิโอกลอซซา (*rhipidoglossa*) มีสูตรพันเป็นแบบ  $\infty : \sim 5 : 1 : \sim 5 : \infty$  พันริมมีจำนวนมาก รูปร่างยาวจัดเรียงตัวเหมือนพัด (2) โดโคกลอซซา (*docoglossa*) มีสูตรพันเป็น  $3 : 1 : (2+0+2) : 1 : 3$  พันกลางมีสี่ช่อง ทันซ้ายสองช่อง และพันริมมีหกช่อง (3) ทินโอกลอซซา (*taeniglossa*) มีสูตรพันเป็น  $2 : 1 : 1 : 1 : 2$  ที่ปลายพันกลางประกอบด้วยหยักมากนาย แต่หยักที่ใหญ่ที่สุดอยู่ตรงกลาง (4) ทินอกลอซซา (*ptenoglossa*) มีสูตรพันไม่แน่นอน (5) ราคิกกลอซซา (*rachiglossa*) มีสูตรพันเป็น  $1 : 1 : 1$  หรือ  $0 : 1 : 0$  พันกลางประกอบด้วยช่องพันที่แหลมคม พันซ้ายกว้าง เหมือนคราดประกอบด้วยช่องพันจำนวนมาก (6) トイโซกลอซซา (*toxoglossa*) มีสูตรพันเป็น  $1 : 0 : 0 : 0 : 1$  หรือ  $1 : 0 : 1 : 1$  พนแต่พันริมซึ่งมีลักษณะยาว (7) สเตโนกลอซซา (*stenoglossa*) มีสูตรพันผสมระหว่างราคิกกลอซซาและトイโซกลอซซา (8) จิมโนกลอซซา (*gymnoglossa*) ไม่มีพันเนื่องจากเป็นพวกปรสิต

ระบบทางเดินอาหารของหอยเริ่มจากส่วนปากที่อยู่หน้าสุด ในกรณีที่หอยมีเพรบอสซิสจะพบปากอยู่ที่ปลายเพรบอสซิส รอบ ๆ ปากจะหนาเรียกวินฝีปาก (*lip*) ซองปากไปเปิดที่ซองบักคัล (*buccal cavity*) หรือฟาริงส์ (*pharynx*) (รูปที่ 18) ภายในฟาริงส์ จะมีขากรรไกรและแ雷ดูลาที่ใช้ในการรูดและบดอาหารซึ่งเป็นสารพวกเข้าสัดว์ ขากรรไกรอาจมีหนึ่งหรือสองอัน ถัดจากขากรรไกรไปทางด้านหลังคือแ雷ดูลา ส่วนที่แ雷ดูลาบรวมอยู่กับตันโนไฟฟอร์ (*odontophore*) หรือบักคัลแมส (*buccal mass*) ด้านซ้ายของส่วนท้ายของหลอดอาหารยังมีต่อ้มน้ำลาย  $1 - 2$  คู่ซึ่งประกอบด้วยห่อน้ำลายไปเปิดที่ฟาริงส์บริเวณใกล้กับถุงแ雷ดูลา

อาหารที่ถูกบดหรือเคี้ยวแล้วจะเคลื่อนจากฟาริงส์ไปสู่หลอดอาหาร ซึ่งมีลักษณะเป็นท่อยาว (รูปที่ 18) หลอดอาหารจะเป็นส่วนที่ยาวที่สุดของระบบทางเดินอาหาร กระเพาะอาหารเป็นส่วนของระบบทางเดินอาหารที่พองออกเป็นถุงเห็นได้ชัดเจน กระเพาะอาหารอยู่ส่วนท้ายสุดของหลอดอาหาร และอยู่ติดต่อกับตัน รูปเปิดของกระเพาะอาหารที่สำคัญสองรูคือรูที่ติดต่อกับหลอดอาหารและลำไส้ นอกจากนี้ยังมีห้องดับซึ่งมีสองห้องมาเปิดในกระเพาะอาหารด้วย

ในหอยขันต้านลายชนิด ภายในกระเพาะอาหารส่วนท้ายมีถุงสไตล์ ถุงสไตล์เป็นส่วนของกระเพาะที่หดตัวเพื่อนำอาหารให้เคลื่อนไปสู่ลำไส้ และบรรจุโพธิสไตล์ (*protostyle*) ซึ่งมีลักษณะเป็นแท่งหมุนได้ ทำหน้าที่คนอาหารที่ยังย้อยไม่หมดเพื่อช่วยให้การย่อยเป็นไป

อย่างสมบูรณ์ ในหอยออร์เดอร์เมโซแกสโทรโพดาและหอยโขพิโซแบรงเคียบaganid บริเวณส่วนท้ายของกระเพาะอาหารจะมีคริสทัลลินสไตล์แทนโพโตรสไต์ คริสทัลลินสไตล์มีลักษณะเป็นแท่งใส่มีเงินไขมีช่วงช่วงอยู่ทางกระเพาะอาหาร ในกระเพาะอาหารของหอยเหล่านี้จะมีส่วนแผ่นกระเพาะที่หนาและมีผิวมันเรียก แกสตրิกซิล์ด เพื่อป้องกันการเสียดสีกับคริสทัลลินสไตล์ บริเวณที่ต่อจากกระเพาะอาหารคือลำไส้ ซึ่งอยู่ที่ด้านหน้ากระเพาะอาหาร บริเวณส่วนท้ายของลำไส้จะขยายขนาดขึ้นกลايเป็นรากต้มและไปสิ้นสุดที่ขอบของแมนเทลที่บริเวณเอ็นซีซึ่งเปิดออกสู่ภายนอก

### 2.2.2 ระบบลำเลียง

หอยฝ่าเดียวจะมีหัวใจบรรจุอยู่ในช่องรอบหัวใจใกล้กับเหงือก (ctenidium) และอยู่ระหว่างடิกับตับ (รูปที่ 17) ปกติหัวใจประกอบด้วย wen หรือเดลหนึ่งอันและอวาริดิล 1 – 2 อัน ovaride ที่ใช้ในการแลกเปลี่ยนกําชีวคือเหงือก เหงือกบรรจุอยู่ในช่องแมนเทล นอกจากนี้บริเวณใกล้ ๆ กับเหงือกจะมีօสเพราเดียนที่มีลักษณะเป็นต่อมสำหรับทดสอบสารเคมีในน้ำก่อนผ่านเข้าสู่เหงือก

### 2.2.3 ระบบขับถ่าย

อวัยวะที่ใช้ในการกำจัดของเสียของหอยฝ่าเดียวคือไต ซึ่งอยู่ทางด้านหน้าของอวัยวะภายนอก โดยจะอยู่หลังช่องแมนเทลและอยู่ติดกับตับและช่องรอบหัวใจ (รูปที่ 18) ปกติไม่มีสิน้ำตาลแดง หรือสิน้ำตาลเข้ม ลักษณะคล้ายถุง ผนังมีลักษณะเป็นคลื่นหรือเป็นลอนเพื่อเพิ่มพื้นที่ในการขับสารรวมทั้งน้ำที่ไม่ต้องการออกสู่ภายนอก ของเสียในไตจะถูกกำจัดสู่เส้นเลือดที่ไหลผ่านไตหลังจากนั้นจะถูกส่งผ่านไปยังเหงือกและช่องแมนเทลตามลำดับ หอยฝ่าเดียวจะมีไต 1 – 2 อัน นอกจากนี้ในหอยฝ่าเดียวส่วนใหญ่ ตับจะทำหน้าที่เกี่ยวกับการขับถ่ายอีกด้วย ของเสียจากตับจะถูกขับออกจากการร่างกายทางกระเพาะอาหารและลำไส้

### 2.2.4 ระบบสีบพันธุ์

หอยฝ่าเดียวส่วนใหญ่จะมีเพศแยกกัน อวัยวะสีบพันธุ์มีหนึ่งอันฝังอยู่ในตับ อวัยวะสีบพันธุ์คือรังไข่ในหอยเพศเมีย และทيستิสในหอยเพศผู้ จากอวัยวะสีบพันธุ์ก็จะมีท่อสีบพันธุ์ (gonoduct) ซึ่งอาจมีลักษณะง่าย ๆ หรือขับข้อนแล้วแต่สปีชีส์ ต่อจากท่อสีบพันธุ์นี้จะมีท่อสีบพันธุ์ส่วนที่สามซึ่งมีตันกำนิดจากแมนเทลเรียกท่อสีบพันธุ์แพลเลียล (pallial duct) ส่วนของท่อสีบพันธุ์นี้จะมีการเปลี่ยนแปลงอย่างมากโดยลายเป็นอวัยวะพิเศษต่าง ๆ เช่นที่ทำหน้าที่ในการเก็บสเปร์ม เป็นต่อมโพรสเตต หรือ เป็นต่อมแคลบิวมิน ต่อมสร้างแคนปูลในหอยเพศเมียเป็นต้น

## ลักษณะทางโมเลกุล (Molecular marker)

ลักษณะทางโมเลกุล มี 2 ระดับ คือ ระดับโปรตีน เป็นการตรวจสอบที่โมเลกุลของโปรตีนชนิดต่าง ๆ และระดับดีเอ็นเอ ซึ่งตรวจสอบความแตกต่างของลำดับนิวคลีอไทด์ในโมเลกุลของดีเอ็นเอ

### เครื่องหมายโปรตีน (Protein marker)

การตรวจสอบสิ่งมีชีวิตโดยใช้ความแตกต่างของโมเลกุลของโปรตีนใช้วิธีแยกโมเลกุลของโปรตีนด้วยเทคนิคไฮโดรฟอร์มิซิส แล้วจึงย้อมดูແບບของโปรตีนจำเพาะโดยใช้สารที่เหมาะสม เช่น การตรวจสอบรูปแบบของโปรตีนในเลือด นอกจากนี้ยังนิยมตรวจสอบรูปแบบของดีเอ็นบีแอลหรือไอโซไซเมต์ต่าง ๆ ข้อดีของการตรวจสอบโปรตีน คือ สามารถตรวจได้หลายตำแหน่ง ค่าใช้จ่ายไม่สูงมากนัก และແບບของโปรตีนหรือไอโซไซเมตนี้ยังมีการซึมร่วมกันแบบ codominant ช่วยให้แยกความแตกต่างระหว่างແบนโปรตีนแบบไฮโนไซกัสและไฮเทอโรไซกัสได้

ข้อจำกัดของการตรวจสอบโปรตีนหรือไอโซไซเมต์ คือ จำนวนยืนที่ตรวจสอบได้ยังไม่มากนัก ไม่กระจายครอบคลุมทั่วไปใน แต่ต้องมีการแสดงออกของยืนที่ศึกษาจึงต้องเลือกเนื้อเยื่อและระยะเวลาที่เหมาะสมในการวิเคราะห์ ผลที่ได้ยังขึ้นอยู่กับชนิดของเนื้อเยื่อ ระยะของเจริญเติบโตและสิ่งแวดล้อมด้วย นอกจากนี้โปรตีนและเอนไซม์ยังสูญเสียสภาพรวมชาติได้ง่าย จึงต้องวิเคราะห์ผลในเวลาจำกัด ไม่สามารถเก็บตัวอย่างไว้นานได้ ในแห่งของการตรวจสอบพบความแตกต่างในระดับโปรตีนยังมีค่าต่ำมากเมื่อเทียบกับการตรวจสอบระดับดีเอ็นเอ เนื่องจากอัลลิลหรือรูปแบบของยืนที่แตกต่างกันนั้น นิวคลีอไทด์ที่แตกต่างกันอาจไม่มีผลต่อการเปลี่ยนแปลงกรดอะมิโน หรือบางครั้งแม้ว่าการเปลี่ยนชนิดของกรดอะมิโนที่ตำแหน่งใดตำแหน่งหนึ่งแล้วก็ตาม อาจจะไม่มีผลต่อระบบทางการตรวจสอบที่ของโมเลกุลเมื่อทำไฮโดรฟอร์มิซิส ทำให้ไม่สามารถตรวจพบความแตกต่างนั้น ๆ ได้ พนวจการตรวจสอบระดับโปรตีนนี้ตรวจพบความแตกต่างของเครื่องหมายโปรตีนได้เพียง 30 เบอร์เซนต์ของที่เกิดการแทนที่เบสทั้งหมดเท่านั้น ทำให้ผลที่ตรวจสอบได้พบความแตกต่างต่ำกว่าที่เป็นจริง

### เครื่องหมายดีเอ็นเอ (DNA marker)

การตรวจสอบในระดับดีเอ็นเอมีข้อดีกว่าการตรวจสอบโปรตีน คือ โมเลกุลของดีเอ็นเอมีความเสถียรกว่าจึงเก็บไว้ได้นาน สามารถวิเคราะห์จากตัวอย่างที่ถูกเก็บไว้เป็นเวลายาวนานได้ และเนื่องจากดีเอ็นเอเป็นองค์ประกอบที่มีอยู่ภายในเซลล์เกือบทุกเซลล์ในปริมาณเท่ากัน จึงสามารถตรวจสอบดีเอ็นเอกจากเนื้อเยื่อใด ๆ ระยะการเจริญเติบโตหรือสภาพทางสรีรวิทยาได้โดยไม่ขึ้นกับสภาพแวดล้อม ตรวจสอบดีเอ็นเอกจากส่วนที่เป็นยืนหรือไม่ใช่ยืนได้ จะมีการแสดง

ออกหรือไม่ก็ได้จึงตรวจสอบได้โดยไม่จำกัด ครอบคลุมทั้งจีโนม ประกอบกับมีวิธีตรวจสอบเครื่องหมายดีเอ็นเอแบบต่าง ๆ ให้เลือกมากมาย ทำให้การใช้ดีเอ็นเอเป็นเครื่องหมายทำได้อย่างกว้างขวาง ประยุกต์ใช้ในด้านต่าง ๆ ได้ไม่จำกัด

### ความรู้เบื้องต้นเกี่ยวกับเทคนิคอิเล็กโทรไฟรีซิส (Electrophoresis)

อิเล็กโทรไฟรีซิส เป็นเทคนิคที่ใช้แยกโมเลกุลของสารที่มีประจุออกจากรากันโดยใช้กระแสไฟฟ้า โดยให้สารที่มีประจุนั่นเคลื่อนที่ผ่านตัวกลางชนิดหนึ่งในสารละลาย สารที่มีประจุต่างกันจะเคลื่อนที่ไปในทิศทางตรงกันข้าม เทคนิคอิเล็กโทรไฟรีซิสสามารถแยกโปรตีนโดยเฉพาะพวงเงินไขมันที่มีน้ำหนักโมเลกุลต่างกันหรือโมเลกุลที่มีขนาดเท่ากันแต่มีประจุไฟฟ้าต่างกันได้โดยอาศัยหลักการที่ว่าโปรตีนประกอบด้วยสายโพลีเปปไทด์ซึ่งประกอบด้วยกรดอะมิโนชนิดต่าง ๆ ที่มีประจุมาต่อ กันเป็นโปรตีน ในกรดอะมิโนทั้ง 20 ชนิดนั้นมีอยู่ 5 ชนิดที่มีประจุ คือ ไลซีน (lysine) อาร์จินิน (arginine) และ希สติดิน (histidine) มีประจุบวก ส่วนกรดแอสพาร์ติก (aspartic acid) และกรดกลูตامิก (glutamic acid) มีประจุลบ ดังนั้นสายโพลีเปปไทด์แต่ละสายซึ่งประกอบด้วยลำดับของกรดอะมิโนชนิดต่าง ๆ กัน ก็จะมีขนาดและปริมาณประจุสูงต่ำต่าง ๆ กัน ตามจำนวนกรดอะมิโนที่มีประจุ ซึ่งปรากฏอยู่ในสายโพลีเปปไทด์นั้น ๆ ดังนั้นจะเห็นว่าแม้โปรตีน 2 ชนิดจะมีกรดอะมิโนในต่างกันเพียงเล็กน้อยอยู่ประจุสูงของโปรตีนนี้ ๆ ก็จะแตกต่างกันซึ่งมีผลให้โปรตีนเหล่านั้นเคลื่อนที่ในสนามไฟฟ้าด้วยความเร็ว และ/หรือ ทิศทางที่ต่างกัน (อุทัยรัตน์, 2543) นอกจากประจุแล้วอัตราการเคลื่อนที่ยังขึ้นอยู่กับขนาด ภูร่างโมเลกุล แรงเคลื่อนไฟฟ้าและตัวกลางที่ใช้ด้วย (ดร.สุรินทร์, 2545)

1. ขนาดของโปรตีน โปรตีนที่มีโมเลกุลขนาดเล็กจะเคลื่อนที่ได้เร็วกว่าโปรตีนที่มีขนาดใหญ่

2. เปอร์เซนต์และชนิดของเจล ถ้าเพิ่มความเข้มข้นหรือเปอร์เซนต์เจลโมเลกุลของโปรตีนจะเคลื่อนที่ได้ช้าลง โดยเจลที่นิยมใช้คือโพลีอะครีลามิเดเจล (polyacrylamide gel) และอะกาโรสเจล (agarose gel)

อะกาโรสเจล (agarose gel) อะกาโรสเจลเป็นโพลีเมอร์ของ D-galactose 連結กับ 3,6-anhydrogalactose แยกได้จากรูน (agar) เมื่อจากอะกาโรสจับตัวกับสารต่าง ๆ ได้น้อยมาก จึงนิยมใช้เป็นตัวกลางในการทำอิเล็กโทรไฟรีซิส

โพลีอะครีลามิเดเจล (polyacrylamide gel) โพลีอะครีลามิเดเจลเกิดจากการรวมตัวของอะครีลามิเด (acrylamide) และบิสอะครีลามิเด (*N,N'*-methylene bisacrylamide) หรือ

เรียกสั้น ๆ ว่า bisacrylamide) มีลักษณะเป็นโพลีเมอร์ซึ่งมีลักษณะเป็นร่างแท่ เป็นโมเลกุลที่สังเคราะห์ขึ้นทางเคมี จึงมีความสม่ำเสมอควบคุมขนาดได้ ไม่ทำปฏิกิริยา กับสารเคมีใด มีความใส มีความคงตัวของ pH อุณหภูมิ และมี ionic strength กว้าง สามารถรับขนาดของช่องในโพลีเมอร์ได้จึงเหมาะสมสำหรับเป็นตัวกลางในการแยกโมเลกุลของโปรตีนและดีเอ็นเอ

อะครีลามีดเป็นโมเลกุลพื้นฐานในเจล โดยมีบิสอะครีลามีดเป็นตัวเรื่องต่อโมเลกุลทั้งหมดให้ประสานกันเป็นร่างแท่ (crosslinking agent) ดังนั้นขนาดของช่อง (pore size) จึงขึ้นอยู่กับความเข้มข้นของอะครีลามีดและเปอร์เซนต์ของบิสอะครีลามีดที่มีในเจลทั้งหมด การบอกความเข้มข้นของเจลจึงมี 2 ค่า คือ

1. %T (total) = ความเข้มข้นเป็นเปอร์เซนต์ของโมเลกุลเดี่ยวทั้งหมด (อะครีลามีด + บิสอะครีลามีด)

2. %C (crosslinker) = ความเข้มข้นเป็นเปอร์เซนต์ของบิสอะครีลามีดเทียบกับความเข้มข้นของโมเลกุลเดี่ยวทั้งหมด

ถ้าเพิ่มความเข้มข้นของบิสอะครีลามีด ขนาดของช่องจะเล็กลง และจะเล็กที่สุดเมื่อ C มีค่าเท่ากับ 5 เปอร์เซนต์ ถ้าเพิ่มค่า C จะได้ร่างแท่น้ำดิ่ง และช่องจะกว้างขึ้น เช่น เมื่อใช้เจลที่มีความเข้มข้น T เท่ากับ 5 เปอร์เซนต์และ C เท่ากับ 5 เปอร์เซนต์ จะได้เจลที่มีช่องขนาด 20 นาโนเมตร แต่ถ้าใช้เจลที่มีความเข้มข้น T เท่ากับ 5 เปอร์เซนต์และ C เท่ากับ 30-50 เปอร์เซนต์จะได้เจลที่มีช่องขนาดประมาณ 500-600 นาโนเมตร ถ้าเตรียมโพลีอะครีลามีดโดยไม่ใส่บิสอะครีลามีดจะได้โพลีเมอร์เป็นสายยาวเท่านั้นเรียกว่า linear polyacryl-amide

การจับตัวเป็นโพลีเมอร์ (polymerization) ของอะครีลามีดกับบิสอะครีลามีดเริ่มต้นด้วยเติมสารเอมโมเนียมเปอร์ซัลเฟต (ammonium persulfate) หรือไโรบีฟลาวิน (riboflavin) และใส่ N,N,N',N'-tetramethylethylenediamine (TEMED) หรือ 3'-dimethylamino-propionitrile (DMAPN) เพื่อเร่งให้เกิดปฏิกิริยาการจับตัวเป็นโพลีเมอร์

ระบบเอมโมเนียมเปอร์ซัลเฟตและ TEMED TEMED จะเป็นตัวเร่งปฏิกิริยาการเกิดอนุมูลอิสระ (free radical) จากเอมโมเนียมเปอร์ซัลเฟต ทำให้การเกิดการเริ่มต้นปฏิกิริยาการจับตัวของอะครีลามีดและบิสอะครีลามีดเป็นโพลีเมอร์ ดังนั้นถ้าเพิ่มปริมาณ TEME หรือเอมโมเนียมเปอร์ซัลเฟต จะเร่งปฏิกิริยาทำให้เกิดการจับตัวเป็นโพลีอะครีลามีดได้เร็วขึ้น

ระบบไโรบีฟลาวินและ TEMED อาศัยแสงเพื่อเริ่มต้นปฏิกิริยาการจับตัวเป็นโพลีเมอร์ โดยไโรบีฟลาวินจะถูกย่อยเป็นอนุมูลอิสระเมื่อได้รับแสง จึงทำให้เกิดการจับตัวของอะครีลามีด

ไม่ดีและบีสอะครีลามิคเป็นโพลีเมอร์ไดโอดิเมจ้าเป็นต้องมี TEMED แต่ถ้ามี TEMED ปฏิกิริยาจะเกิดได้ก้าวและได้เจลที่สมำเสมอกว่า

ปฏิกิริยาการจับตัวเป็นโพลีเมอร์จะเกิดได้ช้าหรือไม่เกิดเลยถ้าค่า pH ต่ำและปฏิกิริยาปั้งถูกยับปั้งด้วยออกซิเจนด้วย ดังนั้นบางครั้งจึงต้องกำจัดออกซิเจนโดยใช้ปั๊มดูดอากาศออก (degas) ก่อนที่จะเติม TEMED และแอมโมเนียเปอร์ซัลเฟต หรือไโอลิฟลาริน

อะครีลามิคและบีสอะครีลามิคไม่เลกูลเดียว เป็นสารที่เป็นพิษและสามารถถูกดูดซึมผ่านผิวหนังได้ จึงควรสวมถุงมือขณะปฏิบัติงาน โพลีอะครีลามิคเจลให้ได้ทั้งแบบ native gel และ denaturing gel (รูปที่ 19)

3. แรงเคลื่อนไฟฟ้า (voltage) ถ้าเพิ่มแรงเคลื่อนไฟฟ้าไปตินจะเคลื่อนที่ได้เร็วขึ้นในการแยกขนาดของโปรตีนโดยวิธีอเล็กโทรโฟริซิส ต้องใช้แรงเคลื่อนไฟฟ้าที่เหมาะสม ถ้าใช้แรงเคลื่อนไฟฟ้าสูงเกินไปโปรตีนเคลื่อนที่ได้เร็ว แต่การแยกตัวจะไม่ดี ถ้าใช้แรงเคลื่อนไฟฟ้าต่ำเกินไปโปรตีนจะเคลื่อนที่ช้า แยกตัวได้ดี แต่แบบโปรตีนจะไม่คมชัด เพราะเกิดการแพร่ (diffusion) ของโปรตีน

4. บัฟเฟอร์ที่ใช้ ชนิดของบัฟเฟอร์มีผลต่อการเคลื่อนที่ของโปรตีน บัฟเฟอร์ที่นิยมใช้มี 3 ชนิด คือ TAE (Tris-acetate, EDTA), TAB (Tris-borate, EDTA) และ TPE (Tris-phosphate, EDTA) ซึ่งมีข้อดีข้อเสียต่างกัน TBE นิยมใช้ที่ความเข้มข้น 0.5 เท่า ใช้แยกได้ มีความสามารถเป็นบัฟเฟอร์ได้ (buffering capacity) ได้ดี แต่สามารถเกิดปฏิกิริยากับอะกาโรสเจลได้ TAE ใช้ได้ทั่วไป แต่มีความสามารถในการเป็นบัฟเฟอร์ต่ำ จึงไม่ควรใช้ในกรณีที่ทำอเล็กโทรโฟริซิสเป็นเวลานานมากหรือควรให้มีการหมุนเวียนของบัฟเฟอร์ ส่วน TPE มีความสามารถเป็นบัฟเฟอร์ได้ดี แต่ไม่เหมาะสมถ้ามีการสกัดโปรตีนด้วยโซดาออล เพราจะเกิดการตกร่องก่อนของฟอสฟे�ตด้วย การเลือกใช้บัฟเฟอร์แต่ละชนิดจึงขึ้นอยู่กับวัตถุประสงค์ของการทดลอง

วิธีการของการแยกสารตัวย酇นิคิอเล็กโทรโฟริซ ทำได้โดยการนำเนื้อยื่นจากอวัยวะที่สร้างโปรตีนชนิดนั้นๆ มาบดแล้วแยกโปรตีนออกจากเนื้อยื่น โดยอาจแยกด้วยน้ำหรือสารละลายบัฟเฟอร์ หรือถ้าใช้ตัวอย่างจากน้ำเลือดก็สามารถนำมาศึกษาได้ทันที ใส่โปรตีนลงในช่องเล็กๆ บนแผ่นเจล ซึ่งอาจเป็นแบง (starch gel) หรือโพลีอะครีลามิค (polyacrylamide) จากนั้นปล่อยให้กราฟฟิฟ์ฟ้าไหลผ่านโดยใช้ไฟกราฟฟ์แสตดิง (ที่มีความต่างศักย์หรือบิโรมานกราฟฟ์ กท.) ไม่เลกูลของโปรตีนก็จะเคลื่อนที่ โดยพากที่มีประจุบวกจะเคลื่อนที่ไปสูงขึ้น (cathode) โปรตีนประจุลบจะเคลื่อนที่ไปสูงขึ้น (anode) อัตราความเร็วของการเคลื่อนที่ขึ้นกับขนาดของประจุ หากน้ำซึ่งจำแนกมาผ่านกระบวนการย้อมสีจะเพาะสำหรับเอนไซม์แต่ละชนิดที่ต้องการ

ศึกษาซึ่งจะปรากฏเป็นแถบสีหรือแบนด์ (band) บนแผ่นเจลในตำแหน่งต่าง ๆ กัน จากลักษณะของแถบโปรตีนที่ปรากฏ (electromorph) ก็จะสามารถอ่านถึงยีโนไทพ์ที่มีจะเป็นของยีนที่ควบคุมการสร้างโปรตีนชนิดนั้น ๆ ได้

### **หลักการตรวจความสัมพันธ์ระหว่างประชากรจากผลเทคนิคเเล็กไทร็ชิส**

รูปแบบของแถบสีที่แสดงออกนั้น จัดได้ว่าเป็นรูปแบบทั้งของพีโนไทพ์ และจีโนไทพ์ได้ด้วย เพราะโดยเทคนิคเเล็กไทร็ชิสการแสดงออกของอัลลิลเป็นโคโดมินานซ์ (codominance) คือทุกอัลลิลมีโอกาสแสดงออก ยืนตำแหน่งหนึ่งอาจมีรูปอัลลิลมากกว่าสองรูป รูปของเอนไซม์ที่กำหนดมาจากอัลลิลต่างกันของยีนเดียวกัน เรียกว่า อัลโลไซเมส (allozymes) นอกจากนี้โปรตีนหรือเอนไซม์ชนิดหนึ่ง ๆ อาจถูกกำหนดด้วยยีนมากกว่าหนึ่งตำแหน่ง รูปโปรตีนที่สร้างขึ้นมาจากการต่างยีนเรียกว่า ไอโซไซเมส (isozymes) ยีนจำนวนมากในประชากรของสัมภารีต้มรูปแบบอัลลิลหลายรูป กล่าวได้ว่ายีนนั้นเป็นเพลย์มอร์ฟิก (polymorphic) โดยที่ร่างไปจะใช้เกณฑ์กำหนดอัลลิลที่มีความถี่สูงสุดต้องมีค่าน้อยกว่า 0.95 ถ้ามากกว่า 0.95 แม้จะมีรูปอัลลิลหลายรูปก็ไม่ถือว่า ยีนนั้นเป็นเพลย์มอร์ฟิก (ยุพา และคณะ, 2546) จากการที่ยืนแต่ละตำแหน่งอาจมีอัลลิลมากกว่า 2 อัลลิล จึงต้องมีการกำหนดซึ่งของยีนอย่างเป็นระบบ และจากยีนที่ปรากฏสามารถอ่านถึงความสัมพันธ์ระหว่างประชากรได้จากการคำนวนหาค่าความหลากหลายทางพันธุกรรม

#### **การกำหนดซึ่งของอัลลิลและยีน**

การศึกษาไอโซไซเมสสัญลักษณ์ที่ใช้เรียกเอนไซม์ และตำแหน่งของแถบเอนไซม์ที่ปรากฏนั้นจะแทนด้วยอักษรย่อของชื่อเอนไซม์ที่ใช้ ตัวอย่างเช่น MDH ย่อมาจาก malate dehydrogenase เป็นสัญลักษณ์ในการกล่าวถึงเอนไซม์รวมด้วย *Mdh* ใช้เมื่อกล่าวถึงตำแหน่งของยีน (loci) ถ้ามีมากกว่า 1 ตำแหน่งจะใส่ตัวเลขกำกับลงไป เช่น *Mdh-1* การให้ตัวเลขมี 2 ระบบคือระบบ เลขที่มีค่าน้อยที่สุด (1) คือแถบโปรตีนที่วิ่งเร็วที่สุด หรือระบบเลขที่มีค่าน้อยที่สุด คือแถบโปรตีนที่วิ่งช้าที่สุด แต่ละตำแหน่งอาจมีแถบเอนไซม์มากกว่า 1 อัลลิลก็จะมีการตั้งชื่อเป็นตัวยกอยู่ข้างบน *Mdh - 1<sup>a</sup>*, *Mdh - 1<sup>b</sup>* (Andrew, 1999 และ Komalamisra, lecture)

อัลลิล 1 ตำแหน่งจะประกอบไปด้วยอัลลิลอยู่เป็นคู่ ถ้าเหมือนกันจะ coat polypeptide ตำแหน่งเดียวกันจึงเห็นแถบเอนไซม์เดียว แต่ถ้าต่างกันจะ coat polypeptide 2 ชนิด จะเห็นแถบเอนไซม์ 2 แถบเรียกเขตเทอไทร์โกล (heterozygote)

### การหาความถี่ของอัลลิลและยีน

ความถี่ของยีนหรืออัลลิลค่านวนได้จากจีโนไทป์ต่างๆ ของยีนตำแหน่งหนึ่งๆ ที่ปรากฏในประชากร หรือจากความถี่จีโนไทป์ ความถี่ค่านวนได้โดยการรวมจำนวนอัลลิลชนิดเดียวกันที่ปรากฏในจีโนไทป์ต่างๆ และหารด้วยจำนวนรวมของอัลลิลของยีนตำแหน่งเดียวกันทั้งหมดในประชากร หรือค่านวนจากสูตร  $f = 2H_0 + H_e / 2N$  เมื่อ  $H_0$  = จำนวนยีนที่มีจีโนไทป์เป็นแบบโอมิโซิกัส  $H_e$  = จำนวนยีนที่มีจีโนไทป์เป็นแบบเขตเทอริโซิกัส และ  $N$  = จำนวนตัวอย่างแต่ละพื้นที่ (Ayala 1980 และ Weaver, 1991)

ค่าความถี่ของอัลลิลและจีโนไทป์ใดๆ มีค่าระหว่าง 0 ถึง 1 หากประชากรใดมีความถี่อัลลิลเท่ากับ 1 หมายความว่ายีนตำแหน่งนั้นมีอัลลิลเพียงรูปเดียวในประชากร หรืออาจกล่าวได้ว่าอัลลิลนั้นได้เกิดพิกัด (fixed) ในประชากรนั้น หรือยีนเป็นไม่มอรฟิก (monomorphic)

หากข้อมูลความถี่ยีน สามารถนำไปคำนวณค่าที่แสดงความหลากหลายทางพันธุกรรมภายในประชากรตลอดจนความแตกต่างทางพันธุกรรมระหว่างประชากรเหล่านั้นได้

**ความหลากหลายทางพันธุกรรมภายในประชากร** สามารถบอกได้ด้วยข้อมูลหลายลักษณะ ได้แก่

1. ร้อยละของยีนในสภาวะหลากหลายแบบ (percent polymorphic loci) คือ สัดส่วนของยีนที่มีอัลลิลมากกว่า 1 อัลลิลคิดเป็นร้อยละของจำนวนยีนที่ศึกษาทั้งหมดสำหรับการศึกษาที่มีจำนวนตัวอย่างประชากรน้อยใช้เกณฑ์ว่า ยีนที่ถือว่าหลากหลายรูปแบบต้องมีความถี่ของอัลลิลที่พบมากที่สุดไม่เกิน 0.95 ( $P_{95}$ ) สำหรับการศึกษาที่มีจำนวนตัวอย่างต่อประชากรตั้งแต่ 100 ชีนไปสามารถใช้เกณฑ์  $P_{99}$  ได้

2. จำนวนอัลลิลเฉลี่ยต่อตำแหน่ง (number of alleles per locus) โดยนับจำนวนอัลลิลที่ศึกษาทั้งหมดทุกตำแหน่ง แล้วนำมาหารด้วยจำนวนตำแหน่งของยีนทั้งหมดที่ทำการศึกษา

3. เขตเทอริโซิกต (heterozygosity) หมายถึงความถี่ของเขตเทอริโซิกต่อยีน 1 ตำแหน่งจะค่านวนทั้งค่าจริง ( $H_0$ ) และค่าตามทฤษฎี ( $H_e$ ) โดยที่ค่า

$H_0$  (observed heterozygosity) คือสัดส่วนของเขตเทอริโซิกัส จีโนไทป์เฉลี่ยต่อตำแหน่ง ค่านวนได้จากการข้อมูลจริง

$H_e$  (expected heterozygosity) เป็นค่าเขตเทอโรไฮโกริตี ที่ได้จากการคำนวณทางข้อมูล โดยตั้งสมมุติฐานว่าประชากรนั้นอยู่ในสภาพสมดุล ตั้งนั้นความถี่ของเจโนไทป์ในไฮโกริตเท่ากับ  $p^2 + q^2$  และความถี่ของเขตเทอโรไฮโกริต =  $1 - (p^2 + q^2)$

สามารถเปรียบเทียบค่าความแตกต่างระหว่าง  $H_0$  และ  $H_e$  โดยวิธีทดสอบไคสแควร์ ( $\chi^2$ ) =  $(H_0 - H_e)^2 / H_e$  เพื่อทดสอบความเบี่ยงเบนจากสมดุลย์ ฮาร์ดี้ – ไวน์เบอร์ก (Hardy – Weinberg principle) ที่กล่าวไว้ว่าความถี่ของอัลลิจัคท์ที่เสนอทุกชั้นราบเท่าที่ไม่มีปัจจัย 4 ประการเกิดขึ้น คือ มิวเทชัน (mutation) การอพยพย้ายถิ่นหรือการไหลของยีน (migration or gene flow) แรนdomเจเนติกดริฟต์หรือดริฟต์ (random genetic drift or drift) และการคัดเลือกโดยธรรมชาติ (natural selection)

#### ความหลากหลายทางพันธุกรรมระหว่างประชากร

ระยะห่างทางพันธุกรรม (genetic distance, D) ระยะห่างทางพันธุกรรมเป็นค่าที่บอกจำนวนของยีนที่มีการเปลี่ยนแปลงไปภายใต้เงื่อนไขเดียวกัน หลังจากที่ประชากรทั้งสองเริ่มแยกจากกัน สามารถคำนวณได้จากค่าความเหมือนทางพันธุกรรม (genetic identity, I)

ประชากร 2 ประชากร คือ X และ Y มีค่าความถี่ของอัลลิล  $i^h$  ในประชากร X เป็น  $x_i$  และ ความถี่ของอัลลิล  $i^h$  ในประชากร Y เป็น  $y_i$  ค่า Nei's coefficient of genetic identity (I) ระหว่างประชากร 2 กลุ่มคำนวณได้จาก  $I = \sum x_i y_i / \sqrt{(\sum x_i^2)(\sum y_i^2)}$

เมื่อ  $x_i$  และ  $y_i$  คือความถี่อัลลิลของประชากร X และ Y ตามลำดับ โดยที่ค่า  $I = 1$  ได้เมื่อลักษณะ monomorphic ในประชากร X และ Y เกิดขึ้นที่อัลลิลเดียวกัน และค่า  $I = 0$  เมื่อ monomorphic ในประชากร X และ Y เกิดขึ้นต่างอัลลิลกัน ค่าเฉลี่ยเจเนติกไอเดนติตี้ และค่าระยะห่างทางพันธุกรรมคำนวณได้จาก

$$I = Jxy / \sqrt{Jx Jy} \quad \text{และ} \quad D = -\ln I \quad \text{หรือ} \quad D = -\log_e I$$

โดยที่  $Jx = \sum x_i^2$  และ  $Jy = \sum y_i^2$  จากข้อมูลระยะห่างทางพันธุกรรมที่ได้สามารถนำมาสร้างความสัมพันธ์ทางวิถีทางการได้โดยวิธีการต่างๆ เช่น UPGMA (unweighted – pair – group method)

ค่าระยะห่างทางพันธุกรรมระหว่างประชากรที่อยู่ใกล้กันมากมีค่าต่ำ แต่ถ้ามีสิ่งกีดขวางตามสภาพภูมิศาสตร์ค่า D ก็จะสูงขึ้น ค่า D ของสิ่งมีชีวิตที่แตกต่างกันในระดับประชากร จะมีค่าประมาณ 0.01 ถ้า D มีค่าใกล้เคียง 0.1 ประชากร 2 กลุ่มนี้จะแตกต่างกันในระดับชนิดย่อย (subspecies) ถ้าความแตกต่างประมาณ 1 แสดงว่าประชากร 2 กลุ่มนี้ต่างชนิดกัน (อุทัยรัตน์, 2543)

## ความสำคัญของหอยต่อทางการแพทย์และสัตวแพทย์

โดยปกตินอน้ำจืดมีความสัมพันธ์กับวงจรชีวิตของปรสิตคือ หอยน้ำจืดฝ่าเดียวสามารถเป็นไฮสต์ตัวกลาง (intermediate host) ของปรสิต (parasite) ที่ก่อโรคในคน และในสัตว์ได้ หอยน้ำจืดฝ่าเดียวซึ่งเป็นไฮสต์ตัวกลางที่มีความสำคัญของหอยต่อทางการแพทย์ และสัตวแพทย์ในประเทศไทยนั้น พับสังกัดอยู่ในสองออร์เดอร์คือ ออร์เดอร์เมโซแกสไทรโพดา และออร์เดอร์เบซومมาโนไฟรา (สุชาติ, 2538) หอยน้ำจืดได้รับเรื่องปรสิตจากการกินไข่พยาธิ ที่ปนอยกมากับอุจจาระ หรือจากตัวอ่อนพยาธิระยะไม่รอดียม (miracidium) ไข่เข้าสู่หอยแล้วเจริญไปเป็นตัวอ่อนระยะสปอร์โคสต์ (sporocyst) มีลักษณะเป็นถุงผนังบาง ภายในมี germ cell สปอร์โคสต์เจริญต่อไปเป็นตัวอ่อนระยะเรเดีย (redia) ซึ่งมี รูปร่างเป็นถุงมีปาก ค่อนอย และลำไส้ ลักษณะรูปถุงมีการเจริญ เพิ่มจำนวนโดยไม่จำกัดเพศ ตัวอ่อนที่เพิ่มนี้จะเจริญเป็นตัวอ่อนระยะเชอร์คาเรีย ( cercariae) ลำตัวรูปรี มีหาง รูปร่างลักษณะทั่วไปคล้ายตัวเต็มวัย เมื่อตัวอ่อนระยะเชอร์คาเรียเจริญเต็มที่จะใช้ออกจากหอยว่ายไปในน้ำ เมื่อพบไฮสต์ที่เหมาะสมซึ่งส่วนใหญ่เป็นสัตวน้ำ ได้แก่ กุ้ง ปู ปลา จะใช้เข้าไปแล้วสักหางทิ้งสร้างถุงไฮสต์คล้ายเป็นตัวอ่อนระยะเมตาเชอร์คาเรีย (metacercariae) ซึ่งเป็นระยะติดต่อ เมื่อไฮสต์สุดท้าย (definitive host) เช่นคน และสัตว์มีกระดูกสันหลัง ซึ่งเป็นไฮสต์จำเพาะกินเข้าไป ตัวอ่อนเหล่านี้จะเจริญเป็นตัวเต็มวัย ยกเว้นตัวอ่อนระยะเชอร์คาเรียกลุ่ม furcocerous cercaria สามารถติดต่อเข้าสู่ไฮสต์สุดท้ายด้วยวิธีใช้เข้าทางผิวนังโดยตรง โดยไม่ต้องผ่านไฮสต์ตัวกลางตัวที่ 2 (รูปที่ 20)

เนื่องจากเชอร์คาเรียเป็นตัวอ่อนที่มีลักษณะรูปร่างคล้ายตัวเต็มวัย จึงใช้เชอร์คาเรียศึกษาแทนตัวเต็มวัยของพยาธิในน้ำ (Malek, 1922) การเจริญเติบโตของเชอร์คาเรียสมบูรณ์ได้ดีต้องอาศัยปัจจัยของอุณหภูมิ และแสงเป็นสำคัญ และในการออกมาก่อตัวต่อต่อๆ วัน มีจำนวนเชอร์คาเรียมากเป็นพันตัว ซึ่งจะออกได้ทุกวันจนกว่าหอยจะตาย (อุณหภูมิที่เหมาะสมประมาณ 24–28 °C) และเมื่อออกจากน้ำเสื่อมอย่างรวดเร็ว เนื่องจากหอยแล้วเชอร์คาเรียต้องปรับตัวให้มีชีวิตอยู่ในสภาพแวดล้อมน้ำ จึงทำให้สามารถสังเกต และศึกษาพฤติกรรมในการดำรงชีวิตอิสระในน้ำได้ (ใช้เวลาอย่างน้อย 12 ชั่วโมง ในการหาไฮสต์ตัวใหม่) โดยสังเกตพฤติกรรมของการเคลื่อนไหว ลำตัว และส่วนหาง ในการว่ายน้ำและในขณะพัก ซึ่งเชอร์คาเรียส่วนมากจะใช้ส่วนหางเคลื่อนไหวในการว่ายน้ำ แต่มีเชอร์คาเรียบางชนิดที่มีหางสั้น หรือไม่มีหางเลยจะเคลื่อนไหวโดยการคลานบนพื้นแทน (Schmidit, 1981) และใช้ส่วนลำตัวในการดิน (การยืด – หด) พร้อมกัน ความสามารถของการว่ายน้ำได้เร็วหรือช้าขึ้นอยู่กับชนิดของเชอร์คาเรีย

เพราบงชนิดมีความไวต่อแสงทำให้ว่ายกระจาดอยู่ทั่วบริเวณผิวน้ำ บางชนิดจะลอยอยู่เป็นกลุ่ม บางชนิดมีความไวต่อแสงข้างคลานอยู่บริเวณก้นแหล่งน้ำ และบางชนิดอยู่สูงบนน้ำที่ก้นแหล่งน้ำจนพบไฮสต์สุดท้าย

### **ชนิดของตัวอ่อนพยาธิระยะเชอร์คารีย์**

Luhe (1909) เป็นคนแรกที่จัดจำแนกกลุ่มของเชอร์คารีย์ โดยอาศัยลักษณะภายนอก เช่น อวัยวะดูดเกาะ (sucker), collar spines, stylet, finfold บนหาง เป็นต้น ต่อมมาได้มีการพัฒนาการศึกษานิดของเชอร์คารีย์มากขึ้น โดย Faust (1924) ได้กำหนดรูปแบบสูตรของ flame cell ทำให้การพิจารณา รูปร่างของเชอร์คารีย์ในการจัดจำแนกกลุ่มสมบูรณ์ขึ้น Schell (1962), Malek and Chang (1974) อธิบายลักษณะรูปร่างของเชอร์คารีย์ และจัดกลุ่มเชอร์คารีย์ออกเป็น 7 กลุ่ม ดังนี้ (รูปที่ 21)

1. กลุ่ม *Furcocercous cercariae* ลักษณะเด่นของกลุ่มนี้คือ มีหางแยก หรือหางสอง (forktail cercariae) จึงเรียกเชอร์คารีย์ในกลุ่มนี้ว่า forktail cercariae เมื่อเจริญเป็นตัวเต็มวัยจัดเป็นพยาธิใบไม้wangศีเดียวที่แยกเพศผู้และเพศเมียอยู่คนละตัว และมี oral sucker, ventral sucker รูปร่างเป็นรูปทรงกระบอก โดยทั่วไปแล้วพยาธิตัวอ่อนระยะไม่ราชีเดียมจะใช้เข้าสูบทอยที่เหมาะสมสมแล้วพัฒนาไปเป็นระยะสปอร์โพรีซิสต์ 2 รุ่น และพัฒนาต่อไปเป็นระยะเชอร์คารีย์ซึ่งเป็นระยะติดต่อในคนหรือสัตว์ต่อไป เชอร์คารีย์นี้ สามารถแยกออกได้ 2 ชนิด

1.1 Longifurcate pharyngeate type (รูปที่ 21ก) เป็นเชอร์คารีย์อยู่ใน Superfamily Strigeoidea ลักษณะเด่น คือ ปลายหางแยกยาวกว่าส่วนต้นหาง หรือได้สัดส่วนกับส่วนต้นหาง ลำตัวกลมรี มี oral sucker, pharynx, intestinal caeca สมบูรณ์ มี ventral sucker หรือพับเป็นเซลล์ขึ้นริมต้น มี penetrating gland 1 ชนิดภายในลำตัว, eye spots มี pigment หรือไม่มี, มี finfold ที่ปลายหางแยก ระบบขับถ่ายแบบ mesostomate และ excretory bladder แบบบาง (thin - epithelial) เชอร์คารีย์เจริญในสปอร์โพรีซิสต์ และเปลี่ยนแปลงเป็นตัวอ่อนระยะเมตาเชอร์คารีย์ ในเนื้อเยื่ออ่อนไฮสต์กึ่งกลางตัวที่สอง

1.2 Brevifurcate apharyngeate type (รูปที่ 21ข) เป็นเชอร์คารีย์อยู่ใน Superfamily Schistosomatidae ลักษณะเด่น คือ ปลายหางแยกจะสั้นกว่าส่วนต้นหาง ลำตัวกลมรี มี oral sucker ที่เปลี่ยนแปลงเป็น extensile penetration organ, ไม่มี pharynx และ intestinal caeca, มี ventral sucker, มี penetrating gland 2 ชนิดภายในลำตัว,

eye spots มี pigment, บางชนิดมี finfold ที่ลำตัว, เซอร์คารีย์เจริญใน sporocyst มีระบบขับถ่ายแบบ mesostomate และ excretory bladder แบบบาง (thinepithelial) มีรูเปิด excretory ที่ปลายทางแขก

2. กลุ่ม *Pleurolophocercous cercariae* (รูปที่ 21ข) เป็นเซอร์คารีย์อยู่ใน Superfamily Opisthorchiodea และ Heterophyidae ลักษณะเด่น คือ มีลำตัวกลมรี ภายในลำตัวพบ penetrating gland และ cystogenous gland มี ventral sucker หรือไม่มี หรือหายไป, eye spots มี pigment, ส่วนหางมี finfold ทั้งด้านซ้าย (lateral finfold) หรือตรงกลางสันหาง (dorsoventral finfold) มีระบบขับถ่ายแบบ mesostomate และ excretory bladder แบบหนา (thick epithelial) เซอร์คารีย์เจริญในредีย และเปลี่ยนแปลงเป็นตัวอ่อนระยะเมตาเซอร์คารีย์ในปลา

3. กลุ่ม *Monostome cercariae* (รูปที่ 21ค) เป็นเซอร์คารีย์ อยู่ใน Superfamily Notocotyloidea ลักษณะเด่นของเซอร์คารีย์ คือ มีขนาดใหญ่ และมีกล้ามเนื้อรอบ oral sucker ไม่มี ventral sucker ไม่มีคอหอย อาจมีต่า 2 หรือ 3 อัน, มี eye spots อยู่ที่ส่วนหัวของลำตัว, มีระบบขับถ่ายแบบ stenostomate และ excretory bladder แบบบาง (thin nonepithelial) มีอวัยวะเกาะติดอยู่ด้านท้ายของลำตัว (adhesive organ) มี cystogenous gland ในลำตัว มีความไวต่อแสง เจริญในредีย และเจริญสมบูรณ์ในเนื้อน้อยตัวอ่อนของเซอร์คารีย์ในกลุ่มนี้ คือ *Notocotylus seineti* พยาธิตัวเต็มวัยจะอาศัยอยู่ในลำไส้ใหญ่ของเป็ด นอกจากนี้ *Notocotylus spp.* ยังเป็นปรสิตในกวาว และสัตว์เลี้ยงลูกด้วยนมอีกด้วย

4. กลุ่ม *Gymnocephalous cercariae* (รูปที่ 21ง) เป็นเซอร์คารีย์อยู่ใน Family Fasciolidae ลักษณะเด่น คือ ลำตัวกลม มี cystogenous gland มากนัย มีอวัยวะขาวเยาะอยู่ที่ส่วนหัว (oral sucker) และส่วนท้อง (ventral sucker) ส่วนหางตรงธรรมดามีมี finfold ว่ายน้ำช้า อาศัยอยู่บริเวณก้นแหล่งน้ำ เซอร์คารีย์เจริญใน redia และเปลี่ยนแปลงเป็นตัวอ่อนระยะ metacercariae เกาะบนพืชน้ำ ในปลา หรือสัตว์เลี้ยงคลาน ตัวอ่อนของเซอร์คารีย์ในกลุ่มนี้ Family Heterophyidae ซึ่งพยาธิตัวเต็มวัยจะเป็นปรสิตที่ทำให้เกิดพยาธิใบไม้ในลำไส้ของ นก สัตว์เลี้ยงลูกด้วยนม และบางครั้งก็ทำให้เกิดโรคในคนได้ Family Opisthorchiidae ตัวเต็มวัยจะอาศัยอยู่ในท่อน้ำดินตับหรือท่อน้ำดินใหญ่ของสัตว์เลี้ยงคลาน นก สัตว์เลี้ยงลูกด้วยนม และอาจจะทำให้เกิดโรคในคนได้ Family Fasciolidae ตัวเต็มวัยจะอาศัย

อยู่ในตับและท่อน้ำดีของสัตว์เคี้ยวเอื้อง (แกะ, วัว, ควาย) และบางครั้งอาจทำให้เกิดโรคในคนได้ เช่น พาก *Fasciola* spp.

5. กลุ่ม Echinostome cercariae (รูปที่ 21จ) เป็นเชื้อราเรียกอยู่ใน Superfamily Echinostomatoidea มีลักษณะเด่น คือ มี spine collar รอบ oral sucker, มี caeca ที่ยาว ลักษณะทางรูปทรงกรวยบอก มีระบบขับถ่ายแบบ stenostomate และ excretory bladder แบบบาง (thin non - epithelial) มีรูเปิดออกด้านข้างของหางใกล้ฐาน ส่วนต้นของหาง หางยาวพัดใบก้าดแรงและรวดเร็ว อาศัยอยู่บริเวณก้นแหล่งน้ำ ว่ายน้ำได้คล่องแคล่ว เจริญอยู่ในเรเดีย และเปลี่ยนแปลงเป็นตัวอ่อนระยะเมตาเชื้อราเรีย ในหอยตัวเดียว กัน หรือไข่เข้าไปในหอยตัวอื่น ลูกอ้อดของกบ หรือในปลา ตัวเต็มวัยของพยาธิในกลุ่มนี้จะเป็นปรสิตที่ทำให้เกิดพยาธิใบไม้ในลำไส้ของนกและสัตว์เลี้ยงลูกด้วยนม บางครั้งอาจทำให้เกิดโรคในคนได้ ตัวอย่างเช่น *Echinochasmus* spp. และ *Stephanopora* spp. จะเป็นปรสิตที่ทำให้เกิดพยาธิใบไม้ในลำไส้ของสัตว์เลี้ยงลูกด้วยนม และนก พยาธิในกลุ่มนี้สามารถพินในคนได้

6. กลุ่ม Xiphidiocercariae (รูปที่ 21ฉ) เป็นเชื้อราเรียกอยู่ใน Superfamily Plagiorchiodea มีลักษณะเด่น คือ มี stylet อยู่ใน oral sucker ภายในลำตัวมี penetrating gland และ mucoid gland เจริญสมบูรณ์ ในบางชนิด oral sucker จะมี virgula organ มีระบบขับถ่ายแบบ mesostomate เชื้อราเรียในกลุ่มนี้ว่ายน้ำค่อนข้างช้า เจริญเป็นระยะเรเดีย หรือเจริญเป็นระยะสปอร์โธซีต ในเนื้อเยื่อหอย และเปลี่ยนแปลงเป็นตัวอ่อนระยะเมตาเชื้อราเรีย ในสัตว์มีกระดูกสันหลัง

7. กลุ่ม Amphistome cercariae (รูปที่ 21ช) เป็นเชื้อราเรียกอยู่ใน Superfamily Paraphistomatoidea มีลักษณะเด่น คือ มี ventral sucker ขนาดใหญ่อยู่ส่วนท้ายของลำตัว บริเวณลำตัวมีขนาดใหญ่ หางยาว มี eye spots ที่มี pigment ขนาดใหญ่ ระบบขับถ่ายเป็นแบบ stenostomate และ excretory bladder แบบบาง (thin non - epithelial) เห็นร่องขับถ่ายของเสียอยู่ตรงกลางของหางตลอดความยาวของหาง เชื้อราเรียชนิดนี้จะฝังตัวเป็นระยะเมตาเชื้อราเรียในพืชน้ำ หรือบนผิวน้ำของกบ โดยส่วนใหญ่แล้วจะมีตัว ตัวอย่างเชื้อราเรียในกลุ่มนี้คือ *Megalodiscus* spp. เป็นปรสิตในลำไส้ตงของกบ *Paramphistomum* spp. เป็นปรสิตในกระเพาะอาหารส่วน rumen ของ วัว ควาย *Gastrodiscus aegyptiacus* เป็นปรสิตในลำไส้ใหญ่ของ ม้า ในอัฟริกา และในแถบเอเชีย เป็นต้น

## งานวิจัยที่เกี่ยวข้อง

การจัดจำแนกหอยในปัจจุบันยังคงใช้ลักษณะทางสัณฐานวิทยาของเปลือกอยู่ แต่ หอยในบางแฟ้มลีมเปลือกที่มีลักษณะคล้ายคลึงกันมากทำให้เป็นการยากที่จะใช้ลักษณะเปลือก ในการจัดจำแนกหอย ดังนั้นจึงต้องอาศัยลักษณะของอวัยวะต่าง ๆ ของหอย เช่น อวัยวะสืบพันธุ์เพศผู้ เป็นต้น นอกจากนี้ลักษณะการแพร่กระจายของหอยชนิดต่าง ๆ ก็เป็นข้อมูลสำคัญที่ใช้ช่วยในการจัดจำแนกหอยแต่ละชนิดอีกด้วย ในหอยหลายชนิดอาจใช้ลักษณะเปลือกควบคู่ไป กับลักษณะทั้งโครงสร้างภายนอกและภายในของหอย ลักษณะโครงสร้างภายนอก เช่น รูปร่าง ของแผ่นเท้า สีและลวดลายของเมนเทล แผ่นเท้า บริเวณข้างลำตัว เทนแทคเล (tentacle) และ ส่วนหัว เป็นต้น ส่วนโครงสร้างลักษณะภายนอก เช่นรูปร่างและตำแหน่งของอวัยวะของระบบสืบพันธุ์ ระบบทางเดินอาหาร และอวัยวะที่อยู่บริเวณเมนเทลเป็นต้น นอกจากนี้ยังอาจใช้การศึกษาทางโครงไมโอมและการศึกษาทางเชิงเคมี เช่น ใช้เทคนิคօลิกโกรไฟเรซิสในการจำแนกหอย บางชนิดที่ไม่สามารถใช้ลักษณะของเปลือกและส่วนลำตัวได้เด่นชัด

Kitikoon (1981) ศึกษารูปแบบไฮโซในหอย *Tricula aperta* 3 ชนิดคือ *Tricula aperta*  $\alpha$  race, *Tricula aperta*  $\beta$  race และ *Tricula aperta*  $\gamma$  race โดยใช้ เทคนิคօลิกโกรไฟเรซิส (Horizontal starch-gel) ศึกษาเอนไซม์ 12 ชนิด alanine aminopeptidase (AAP), acid phosphatase (ACP), alkaline phosphatase (ALP), esterase (EST), glutamate oxaloacetate transminase (GOT), leucine aminopeptidase (LAP), malate dehydrogenase (MDH), octanol dehydrogenase (ODH), sorbitol dehydrogenase (SoDH), xanthine dehydrogenase (XO), a-glycerophosphate dehydrogenase (aGPDH) และ b-hydroxybutyrate dehydrogenase (bHBDH) พบว่า เอนไซม์ AAP, ALP, EST, LAP และ GOT ปรากฏແບບเอนไซม์ชั้น แต่มีเพียงเอนไซม์ ALP, EST และ GOT ที่แสดงให้เห็นความแตกต่างระหว่างหอย *Tricula aperta* ทั้ง 3 ชนิด

Butch และ Suloway (1983) ศึกษารูปแบบไฮโซโดยใช้เทคนิคօลิกโกรไฟเรซิส (14% starch gel) เปรียบเทียบหอยในสกุล *Physa* 2 สปีชีส คือ *Physa gyrina* และ *Physa anatina* ด้วยเอนไซม์ 11 ชนิด คือ acid phosphatase (ACP), alkaline phosphatase (AKPH), aspartate aminotransferase (AAT), esterase (EST), glucosephosphate isomerase (GPI), glyceral-3-phosphate isomerase (G-3-PHD), leucine aminopeptidase (LAP), L-iditol dehydrogenase (IDDH), malate dehydrogenase (MDH), phosphoglucomutase (PGM), superoxide dismutase (SOD)

พบว่าແບບສีของເອນໄໝ໌ AAT, EST, GPI, G-3-PHD ແລະ PGM ມີລັກຂະນະຫລາກງຸປະບົນ (polymorphic) ມີເພີຍແບບເອນໄໝ໌ AAT, G-3-PHD ແລະ PGM ທ່ານັ້ນແສດງໃຫ້ເຫັນຄວາມແຕກຕ່າງຮະວ່າງ 2 ສປັປິສ

Chung (1984) ສຶກຂາຍໃນທະກູລົບທິນິດ (Bithyniidae) ອອຣີເດອຣີມໂເຊແກສໂທຣໄພດາ ໂດຍໃຫ້ລັກຂະນະທາງສັນຫຼານວິທີຢາ ກາຮສຶກຂາໂຄຣມີໂຮມແລະຄຸນສມບັດທາງຈິວເຄມີ ເປັນຫຼັກຮູ້ານໃນກາຮຈັດຈຳແນກໜີດຂອງໜອຍໃນທະກູລົນີ້ 3 ສຸກລື ອື່ບ *Parafossarulus manchouricus*, *Gabbia misella* ແລະ *Bithynia tentaculata* ກາຮສຶກຂາລັກຂະນະເປັນອົກພບວ່າຜົວເປັນອົກ ສ່ວນຍອດສຶກກ່ວອນ ຫຼູເຊວົວຕື່ນ ແລະປາກເປັນອົກໜາກວ່າອືກ 2 ສຸກລື ແລະຂາດຂອງໜອຍ *Gabbia misella* ເຊັກວ່າໜີດອື່ນ (ໄມ່ເກີນ 7.5 ມິລືລິມີຕຣ) ຈຳນວນໂຄຣມີໂຮມຂອງໜອຍ *Gabbia misella* ມີ  $n=18$  ສ່ວນໃນໜອຍອືກ 2 ສຸກລືເປັນ  $n=17$  ກາຮສຶກຂາຄຸນສມບັດທາງຈິວເຄມີຈາກລຳດັວຂອງໜອຍທັງ 3 ສຸກລື ໂດຍໃຫ້ເຖົນຄົວເລັກໂທຣໂຟຣີສ (15% starch gel) ພບວ່າກາຮທຽບສອນງຸປະບົນໄອໂໃຫ້ໄໝ໌ຂອງເອນໄໝ໌ 13 ຊົນດ ມີເພີຍເອນໄໝ໌ glutamate-oxaloacetate transaminase (GOT), alkaline phosphatase (ALP), acid phosphatase (AcP), alanine aminopeptidase (AAP) ແລະ esterase (EST) ທີ່ແສດງໃຫ້ເຫັນຄວາມແຕກຕ່າງຮະວ່າງໜອຍ 3 ສຸກລື ແລະໄໝ່ພບຄວາມແຕກຕ່າງຂອງນໍ້າໜັກມີເລກຸລະຮະວ່າງໜອຍທັງ 3 ກລຸ່ມເມື່ອຕຽບສອບດ້ວຍ coomasssie blue

Thompson (1984) ຈັດຈຳແນກໜອຍໃນທະກູລໄໂໂໂຣບິດ (Hydrobidae) ອອຣີເດອຣີມໂເຊແກສໂທຣໄພດາ ຜັບຄລາສໂພໂໂຮແບຮງເຄີຍ 5 ສຸກລື ອື່ບ *Lepyrium*, *Clappia*, *Somatogyrus*, *Gillia* ແລະ *Fluminicola* ອອກຈາກກັນໄດ້ໂດຍອາສີຍລັກຂະນະທາງສັນຫຼານວິທີຢາຂອງເປັນອົກຮ່ວມກັນລັກຂະນະທາງກາຍວິກາຂອງໜອຍ (ໂຄຮງສ້າງກາຍໃນລຳດັວ ແລະໂຄຮງສ້າງກາຍນອກລຳດັວຂອງໜອຍ) ຈາກກາຮສຶກພບວ່າສາມາຮັດແປ່ງໜອຍອອກຈາກກັນໂດຍອາສີຍລັກຂະນະງຸປະບົນໄປ່ອົກ ຂາດຂອງເປັນອົກ ກາຮມີຫຼືໄໝ່ໄມ່ມີຈົມບິລິດັບ ນຸ່ງແບບໂອເພອຣົກົລົມ ຈຳນວນຫຍັກຂອງພື້ນ ນຸ່ງວ່າງພື້ນໜ້າງ ແລະ ກາຮມີຫຼືໄໝ່ໄມ່ມີວ່າງສືບພັນຮູ່ເປົ້າຜູ້ (ເພັນນິສ)

Vianant (1985) ທ່າກາຮສຶກງຸປະບົນໄອໂໃຫ້ໄໝ໌ ຂອງໜອຍ *Bithynia funiculata*, *B. siamensis* ແລະ *B. s. goniomphalus* ໂດຍໃຫ້ເຖົນຄົວເລັກໂທຣໂຟຣີສ (4.8 % polyacrylamide gel) ຕຽບສອນເອນໄໝ໌ 12 ຊົນດ ອື່ບ carbonic anhydrase (CA), alkaline phosphatase (ALP), lactate dehydrogenase (LDH), acid phosphatase (ACP), phosphoglucoisomerase (PGI), malate dehydrogenase (MDH), phosphoglucomutase (PGM), glutamate-oxaloacetate transaminase (GOT), hexokinase (HK), glutamate

dehydrogenase (GDH), leucine aminopeptidase (LAP) และ esterase (EST) พบว่ามีเพียงเอนไซม์ 4 ชนิดคือ LDH, PGM, PGI และ EST แสดงให้เห็นถึงความแตกต่างระหว่างหอย *Bithynia* ทั้ง 3 สปีชีส์

Keawjam (1987) ทำการศึกษาลักษณะโครงสร้างภายในของหอยเพื่อจัดจำแนกหอย *Pila* sp. 5 สปีชีส์คือ *P. ampullacea*, *P. angelica*, *P. gracilis*, *P. pesmei* และ *P. polita* ออกจากกัน พบว่าลักษณะโครงสร้างภายในโดยทั่วไปเหมือนกันยกเว้นลักษณะ renal vas deferens ของระบบสืบพันธุ์เพศผู้มีรูปร่างแตกต่างกันคือ มีรูปร่างเป็นทรงกระบอกยาว รูปร่างทรงกรวย รูปสามเหลี่ยม เป็นรูปทรงกลมขนาดเล็ก หรือ เป็นรูปโฉนด ตามลำดับ

Klinhom (1989) ศึกษาหอยในตะกูลไทราริดี (Thiaridae) ของเดอร์เมโซเกสในประเทศไทย โดยใช้ลักษณะทางกายวิภาคและคุณสมบัติทางชีวเคมีบางประการ เป็นหลักฐานในการจัดจำแนกชนิดของหอยในตะกูลนี้ เมื่อจากการเดินทางจัดจำแนกใช้รูปร่างเปลี่ยนแต่เพียงอย่างเดียว จากการศึกษาต่อมาพบว่าหอยชนิดนี้มีรูปร่างเปลี่ยนไม่แน่นอน เปลี่ยนแปลงไปตามสภาพสิ่งแวดล้อม การศึกษาของ Klinhom พบว่าจากเปลี่ยนหอย 10 ลักษณะสามารถแบ่งตัวอย่างหอย 30 ตัวอย่างออกเป็น 2 กลุ่ม โดยอาศัยลักษณะความยาวปากเปลือกต่อความยาวเปลือกลักษณะทางกายวิภาคพบความแตกต่างของฟันหอยอยู่ที่หยักฟันริม และรูปร่างของฟันข้าง จากการศึกษาทางชีวเคมีโดยวิธีอิเลคโทรฟอริซิส (starch gel) และตรวจตอบรูปแบบไฮโลซีโนเจนไฮเมร์จากแผ่นเท้าหอย 24 ชนิดพบว่ามีเอนไซม์ 14 ชนิดที่ให้ผลคือเอนไซม์ AAT, ACP, EST, GPD, HBDH, IDH, LDH, MDH, ME, PEP-A, GPI, SDH และ XDH ส่วนเอนไซม์ PGM, G6PD, XO, SOD, GDH, AK, Aldolase, ADH และ CAT แสดงແຕบเอนไซม์ไม่ชัดเจน เมื่อสรุปผลจากการศึกษาพบว่าหอยในตะกูล Thiaridae ของประเทศไทยมีการจัดหมวดหมู่ใหม่จากเดิมมี 8 สกุล 26 สปีชีส์ เป็น 4 สกุล 27 สปีชีส์แทน

George (1990) ศึกษาจัดจำแนกหอย *Gammaticula chinensis* gen. nov., sp. nov. เทียบกับหอยในชั้นแฟมili เดียวกัน (Triculiniae) อีก 11 สกุล โดยอาศัยลักษณะสัณฐานวิทยาของเปลือก และลักษณะทางกายวิภาคจากการศึกษาพบว่าหอยสกุล *Gammaticula* มีลักษณะใกล้เคียงกับหอยสกุล *Wucochona* มากที่สุดจะต่างกันตรงที่หอย *Gammaticula* มีถุงรับสเปร์มอยู่ทางด้านขวาบริเวณปลายท่อน้ำไว้ จึงจัดหอยชนิดนี้อยู่ในกลุ่มเดียวกับ *Wucochona* คือ Tribe Pachydrobini

Keawjam (1990) ศึกษาจัดจำแนกหอยໄ่งเหลือง หรือหอยเชอรี่ ในสกุล *Pomacea* ในประเทศไทย โดยอาศัยลักษณะทางสัณฐานวิทยาของเปลือก ระบบสืบพันธุ์

และรูปแบบไอโซไซเมร์ เป็นหลักฐานในการจัดจำแนก การศึกษาพบว่า *Pomacea canaliculata* และ *P. insularis* มีรูปร่างเปลือก จำนวนเวิร์ล และรูปแบบไอเพอร์คิวลัมเหมือนกัน แต่แตกต่างกันที่ขนาด สีของเปลือก แบบสีพาดตามขวาง สีของแผ่นเท้า และตำแหน่งของ seminal vesicle ส่วนหอย *Pomacea* sp. มีลักษณะแตกต่างจากทั้ง 2 สปีชีส์ในทุกด้าน ลักษณะและตำแหน่งของ seminal vesicle ในหอย *P. canaliculata* เป็นสี่เหลี่ยมขนาดใหญ่ อยู่ทางปลายของต่อมโพรสเตต หอย *P. insularis* ลักษณะเป็นทรงกลมขนาดเล็ก ๆ อยู่ด้านหลังจากส่วนปลายของต่อมโพรสเตต ในหอย *Pomacea* sp. มีลักษณะกลมขนาดเล็กอยู่ที่ส่วนปลายของต่อมโพรสเตต และจากการตรวจสอบรูปแบบไอโซไซเมร์ EST, HBDH-1, IDH และ PGM-2 พบร่วมกับแบบเจนไนซ์ EST, HBDH-1 และ IDH ในหอย *P. canaliculata* และ *P. sp.* คล้ายกันมากกว่าหอย *P. insularis* มีเพียงเจนไนซ์ PGM-2 ที่แสดงให้เห็นว่า *P. canaliculata* และ *P. insularis* มีความสัมพันธ์กัน

Monzon (1993) ศึกษาหอยในตะวันออกเฉียงใต้ (Lymnaeidae) โดยอาศัยลักษณะทางสัณฐานวิทยาเปรียบเทียบหอย *Lymnaea* (*Bullastra*) *cumingiana* กับหอย *Lymnaea* ในแถบ Indo-Pacific อีก 5 ชนิด *L. (Radix) quadrasi* (Philippines), *L. (Radix) rubiginosa* (Indonesia), *L. (Radix) rubiginosa* (Thailand), *L. (Radix) viridis* (Guam) และ *L. (Radix) viridis* (Hong Kong) จากลักษณะสัณฐานวิทยาของเปลือกแบ่งหอยทั้ง 6 ชนิดออกได้เป็น 3 กลุ่ม โดย *L. cumingiana* มีลักษณะต่างจากชนิดอื่นอย่างชัดเจน ส่วน *L. viridis* มีขนาดเล็กมากต่างจากชนิดอื่น เมื่ออาศัยลักษณะจำนวนหยักของพื้นสามารถแบ่งหอยออกได้เป็น 4 กลุ่ม คือ *L. cumingiana*, *L. quadrasi*, *L. rubiginosa* และ *L. viridis*

Monzon (1994) ทำการศึกษารูปแบบไอโซไซเมร์ของเจนไนซ์ 7 ชนิด โดยใช้เทคนิคอะลีกโกรโพธิชิล เปรียบเทียบหอยในตะวันออกเฉียงใต้ (Lymnaeidae) พบร่วมกับเพียงเจนไนซ์ esterase (EST), alkaline phosphatase (ALP) และ Catalase (CAT) แสดงให้เห็นความแตกต่างระหว่างหอย *Lymnaea* ได้อย่างชัดเจน

Simone (1995) ศึกษาเปรียบเทียบหอยกลุ่ม Tonnoidea 2 สปีชีส์ (*Tonno galea* และ *Tonna maculosa*) โดยอาศัยลักษณะทางกายวิภาคในการจัดจำแนก ซึ่งพบว่าทั้ง 2 สปีชีส์มีลักษณะทางกายวิภาคแตกต่างกันอย่างชัดเจน ตั้งแต่สีของเมนเทล ขนาดของเมนเทล ขนาดต่อมอสเพโรเดียม ลักษณะของไต ลักษณะของต่อมไฮโพเบรองเกีย ความยาวโพบอสซิล ลักษณะพังผืดและพื้นช้ำง ลักษณะเพนนิส เป็นต้น

Kraillas (2003) ทำการศึกษาอัตราการติดเชื้อของหอยน้ำจืด *Paludomus petrosus* บริเวณน้ำตกป่าละอู จังหวัดประจวบคีรีขันธ์ ตั้งแต่เดือนเมษายน 2001 ถึงเดือนกุมภาพันธ์ 2002 การตรวจสอบพบตัวอ่อนพยาธิระยะเซอร์คารีเย 4 กลุ่มคือ Xiphidiocercariae, Amphistome cercariae, Furcocercous cercariae type I และ Furcocercous cercaria type II โดย Xiphidiocercariae พบในช่วงเดือนเมษายน ถึงเดือนกุมภาพันธ์ ส่วนตัวอ่อนพยาธิระยะเซอร์คารีเย อีก 3 ชนิดพบในเดือนกุมภาพันธ์

ดวงเดือน และคณะ (2544) ทำการศึกษาความหลากหลายของหอยน้ำจืดในเขตพื้นที่ป่าเต่าดำ อำเภอไทรโยคจังหวัดกาญจนบุรี รายงานว่าพบหอยน้ำจืด *Paludomus* spp. ในแหล่งสำรวจ ลักษณะเปลือกค่อนข้างกลม ปลายยอดสีกรุ่น ผิวเปลือกเรียบ มีແตนสีพาดตามขวาง และพบว่ามีฟันเป็นแบบทินโนกลอซชา แต่จากการงานไม่ได้ระบุว่าหอย *Paludomus* spp. ที่พบเป็นชนิดใดแน่นอน เนื่องจากลักษณะเปลือกที่พบคล้ายคลึงกับหอย *Paludomus petrosus* ในขณะที่ฟันกลางมีลักษณะคล้ายกับ *Paludomus siamensis* ซึ่งผู้ทำวิจัยได้เสนอให้ว่าควรมีการศึกษาเพิ่มเติมเกี่ยวกับชนิดพันธุ์ของหอยน้ำจืด *Paludomus* spp.

## บทที่ 3

### วิธีดำเนินการวิจัย

1. รวบรวมข้อมูลด้านการสำรวจหอยน้ำจืดในประเทศไทย และต่างประเทศ
2. ศึกษาข้อมูลจากแผนที่ รวบรวมข้อมูลทุติยภูมิ
3. การกำหนดจุดสำรวจหอยน้ำจืด *Paludomus spp.*.

จากการรายงานของ Brandt (1974) ที่กล่าวว่าหอยน้ำจืด *Paludomus spp.* มีแหล่งกระจายอยู่ตามลำห้วยบริเวณเทือกเขา การศึกษาครั้งนี้จึงได้สำรวจแหล่งน้ำบริเวณลุ่มแม่น้ำแคน้อยที่มีลักษณะเหมาะสมที่หอยชนิดนี้จะเจริญพันธุ์ได้ หลังจากการสำรวจจึงได้กำหนดจุดสำรวจในเขตลุ่มแม่น้ำแคน้อยนี้ได้ 10 พื้นที่คือ (รูปที่ 22)

3.1 น้ำตกไทรโยคน้อย (น้ำตกเข้าพัง) เป็นน้ำตกที่ตั้งอยู่ในเขตอำเภอไทรโยค อยู่ติดกับถนนสายกาญจนบุรี-ทองผาภูมิ ต้นกำเนิดเป็นน้ำผุดจากภูเขาตามลำธารเล็กๆ ในเขตคลองที่ผ่านไป

3.2 น้ำตกไทรโยคใหญ่ (น้ำตกเข้าใจน) เป็นน้ำตกที่ตั้งอยู่ในเขตอำเภอไทรโยค น้ำตกจะในคลองสูญแม่น้ำแคน้อย ต้นกำเนิดของสายน้ำเรื่องว่าเกิดจากอุทยานแห่งชาติเอราวัณ

3.3 ห้วยเต่าดำ เป็นลำห้วยในป่าเต่าดำที่ตั้งอยู่ในเขตตำบลวังกระจะ อำเภอไทรโยค

3.4 น้ำตกผาคาด ตั้งอยู่ในเขตอำเภอทองผาภูมิ เป็นส่วนหนึ่งของอุทยานแห่งชาติ เสื่อนศรีนคินทร์

3.5 ลำธารข้างน้ำพร้อนหินคาด (น้ำพร้อนกุยมัง) ตั้งอยู่ในเขตอำเภอทองผาภูมิ เป็นลำธารน้ำเย็นไหลผ่านข้างบ่อน้ำพร้อนหินคาด

3.6 น้ำพุห้วยเชียง ตั้งอยู่ในเขตอำเภอทองผาภูมิ ตำบลห้วยเชียง อุปurbnทางใกล้กับศูนย์อบรมทหารผ่านศึกฯ เสื่อนเข้าแหลม

3.7 ลำธารป่าชุมชนบ้านท่ามะเดื่อ ตั้งอยู่ในเขตอำเภอทองผาภูมิ เป็นถาวรน้ำไหลผ่านป่าชุมชนบ้านท่ามะเดื่อ ริมทางเข้าบ้านท่ามะเดื่อ

3.8 น้ำตกเกริงกระดีย เป็นน้ำตกที่ตั้งอยู่ในเขตอำเภอทองผาภูมิ อุปurbnทางทองผาภูมิ-สังขละบุรี ห่างจากอำเภอทองผาภูมิประมาณ 45 กิโลเมตร

3.9 น้ำตกได้ของถ่อง เป็นน้ำตกที่ตั้งอยู่ในเขตข้ามของพากภูมิ เป็นน้ำตกขนาดเล็ก เลยจากน้ำตกเกริงกระเวียไปตามเส้นทางท้องพากภูมิ-สังขละบุรี 2 กิโลเมตร จะมีทางแยกซ้ายไปน้ำตกอกปะมาณ 6 กิโลเมตร

3.10 น้ำตกตะเคียนทอง เป็นน้ำตกที่ตั้งอยู่บริเวณเทือกเขาตะนาวศรี แนวเขตชายแดนไทย-พม่า ในเขตข้ามของสังขละบุรี ตัวน้ำตกมีต้นน้ำอยู่ในเขตประเทศไทย ไหลลงตามแนวเขายังที่กั้นเขตแดน สู่ประเทศไทยที่หัวยูของกาลีซึ่งเป็นส่วนหนึ่งของต้นน้ำแควน้อย

#### 4. การเก็บข้อมูลสภาพแวดล้อมในบริเวณจุดสำรวจ

การศึกษานี้ใช้การสังเกตุ การวัดค่าพิกัด และการศึกษาคุณภาพน้ำ (การวิเคราะห์หาคุณสมบัติทางกายภาพ และการหาส่วนประกอบทางเคมีของน้ำ)

4.1 วัดค่าพิกัดด้วยเครื่องมือ GPS (Garmin Taiwan, GPS 12 XL) เพื่อบันทึกจุดพิกัดที่แน่นอนของพื้นที่สำรวจ

4.2 เก็บข้อมูลเกี่ยวกับลักษณะทางนิเวศวิทยาบริเวณพื้นที่สำรวจ

4.3 ศึกษาคุณภาพน้ำ

4.3.1 การตรวจวิเคราะห์หาคุณสมบัติทางกายภาพ โดยทำการ

- วัดอุณหภูมิ

- วัดความเร็วของกระแสน้ำ โดยใช้ Flow meter (2030 General Oceanic, USA) บันทึกค่าเฉลี่ยจากการวัดความเร็วของกระแสน้ำ 3 ครั้ง

- วัดค่าความเป็นกรดเป็นด่างของน้ำ โดยใช้ pH meter (Jenway 3051 UK)

- วัดปริมาณออกซิเจนในน้ำ โดยใช้ Oxygen meter (Jenway 9071, UK)

4.3.2 การตรวจวิเคราะห์หาส่วนประกอบทางเคมีของน้ำ โดยใช้เครื่องมือ The Analytit 975 MP (Orbeco Analytical Systems Inc., USA)

#### 5. การเก็บตัวอย่าง และการเลี้ยงหอยในห้องปฏิบัติการ

เก็บตัวอย่างหอยน้ำจืด *Paludomus spp.* ในบริเวณจุดสำรวจที่กำหนด โดยใช้วิธีการสูมด้วยการจับเวลา โดยวิธี counts per unit of time (Oliver and Schneiderman, 1965) ซึ่งใช้ผู้ทำการเก็บตัวอย่าง 5 คน เดินสูมเก็บตัวอย่างหอยด้วยมือ (Hand picking) ในทิศทางทวนน้ำเป็นเวลา 10 นาที แล้วนำหอยที่ได้กลับมาศึกษาต่อในห้องปฏิบัติการ

หอยที่เก็บตัวอย่างได้มาตรวจหาเชื้อพยาธิในหอยด้วยวิธีการ shedding เพื่อเก็บตัวอ่อนพยาธิระยะเรือร์คาร์เรีย หอยที่ไม่พบการติดเชื้อพยาธินามาเลี้ยงต่อในห้องปฏิบัติการเพื่อใช้ในการศึกษาลักษณะทางกายวิภาค และรูปแบบทางพันธุกรรมของหอย โดยเลี้ยงหอยในกล่องพลาสติกสีเหลี่ยมขนาดกว้าง 20 ซ.ม. ยาว 28 ซ.ม. สูง 12 ซ.ม. ใช้น้ำกรองในการเลี้ยงหอยโดยใส่น้ำประมาณครึ่งหนึ่งของกล่องเลี้ยงหอย ให้ออกซิเจนตลอดการเลี้ยง ให้แสงสว่างในการเลี้ยงประมาณ 10 ชั่วโมงต่อวัน อุณหภูมิที่ใช้ในการเลี้ยงหอยประมาณ  $25^{\circ}\text{C}$  อาหารที่ใช้ในการเลี้ยงหอยมีสองชนิดคือไดอะตوم และอาหารปลาบดเป็นผง

เมื่อพบว่ามีของเสียในน้ำ หรือ พบร่วมน้ำอย่างเกิดขึ้น ให้นำหอยที่ตายออกโดยเร็ว และกำจัดของเสียในน้ำออก โดยดูดน้ำที่มีของเสียออกครึ่งหนึ่งแล้วเติมน้ำใหม่ลงไปแทน เนื่องจากหอยค่อนข้างไวต่อสภาพน้ำที่ไม่สะอาด และการเปลี่ยนแปลงน้ำอย่างกะทันหัน

## 6. การตรวจหาเชื้อพยาธิในหอย

ทำการตรวจสอบหาเชื้อพยาธิในหอยโดยใช้วิธี shedding นำหอยน้ำจืด *Paludomus spp.* มาใส่ในถ้วยแก้ว หรือถ้วยพลาสติกใส่มีน้ำกรองบรรจุอยู่ประมาณครึ่งหนึ่งของถ้วย ใช้ผ้าขาวบางปิดทับที่ปากถ้วยเพื่อป้องกันไม่ให้หอยหนีออกจากถ้วย วางทิ้งไว้ข้างคืนแล้วนำมาตรวจหาตัวอ่อนพยาธิภายในได้กล้องจุลทรรศน์ stereoview

ศึกษาฐานร่องลักษณะ และอวัยวะภายในของตัวอ่อนพยาธิระยะเรือร์คาร์เรียภายใต้กล้องจุลทรรศน์ ด้วยการทำสไลด์แบบชั่วคราวและแบบถาวร

### การทำสไลด์แบบชั่วคราว

- นำตัวอ่อนพยาธิระยะเรือร์คาร์เรียมาวางบนกระดาษสไลด์แล้วปิดด้วย cover slip
- ย้อมสี 0.1 % neutral red หรือ 0.1 % Toluidine blue ( เจือจางด้วยน้ำกลั่น 1: 10 ) ด้วยวิธี irrigate คือ หยดสีเข้าไป ๆ แผ่นกระดาษปิดสไลด์ที่ขอบด้านหนึ่งแล้วใช้กระดาษทิชชู หรือกระดาษกรองซับออกด้านตรงข้าม เพื่อให้สีที่หยดลงไปให้หล่อผ่านเข้าไปแทนที่น้ำ ทิ้งไว้ประมาณ 10 - 30 นาที

- นำมาศึกษาได้กล้องจุลทรรศน์

### การทำสไลด์แบบถาวร

#### วิธีย้อมสีด้วย carmine & fast green

- นำตัวอ่อนระยะเรือร์คาร์เรียที่รักษาสภาพเนื้อเยื่อใน 10% formalin ใส่ใน Petri dish ขนาดเล็ก

- ล้างตัวอ่อนพยาธิระย์คาร์บอเรียด้วยน้ำกลัน 2 ครั้ง ๆ ละ 10 นาที
- ข้อมตัวอ่อนพยาธิ์ด้วยสี Semichon's acetic carmine ( เจือจางด้วยน้ำกลัน 1:10 ) แช่ทึ้งไว้ประมาณ 1 ชั่วโมง หรือค้างคืน
- ล้างสีออกด้วย 50% และ 70% alcohol ขั้นตอนละ 2 ครั้ง ๆ ละ 10 นาทีตามลำดับ สังเกตเห็นลำตัวติดสีเข้มพูอ่อน และอวัยวะภายในติดสีเข้มพูเข้ม ( หากติดสีมากเกินให้ล้างออกด้วย acid alcohol )
- ข้อมตัวอ่อนพยาธิต่อด้วยสี 0.2 % fast green ใน 95% alcohol ( เจือจางสีด้วย 95% alcohol 1:10 ) นาน 10 - 20 วินาที สังเกตเห็นสีเขียวติดขอบลำตัว
- ล้างสีส่วนเกินออกด้วย 95% alcohol 2 ครั้ง ๆ ละ 20 นาที
- แทนที่น้ำภายในตัวอ่อนพยาธิ์ด้วย abs. alcohol 2 ครั้ง ๆ ละ 10 นาที และ abs.alcohol : xylene ( อัตราส่วน 1:1 ) นาน 10 นาที
- ทำให้ใส่ด้วย xylene 2 ครั้ง ๆ ละ 10 นาที
- นำตัวอย่างที่ได้วางบนสไลด์และปิด cover slip ด้วย DPX
- นำไปศึกษาภายใต้กล้องจุลทรรศน์แบบธรรมดาก

#### วิธีข้อมสีด้วย hematoxylin

- นำตัวอ่อนพยาธิระย์คาร์บอเรียที่รักษาสภาพเนื้อเยื่อใน 10% formalin ใส่ใน Petri dish ขนาดเล็ก
- ล้างตัวอ่อนพยาธิระย์คาร์บอเรียด้วยน้ำกลัน 2 ครั้ง ๆ ละ 10 นาที
- ข้อมตัวอ่อนพยาธิ์ด้วยสี Ehrlich's hematoxylin ( เจือจางด้วยน้ำกลัน 1:10 ) แช่ทึ้งไว้ประมาณ 1 – 5 นาที
- ล้างสีส่วนเกินออกด้วยน้ำกลัน 2 ครั้ง ๆ ละ 5- 10 นาที
- แทนที่น้ำด้วย 50%, 70%, 95% alcohol และ abs. alcohol ขั้นตอนละ 2 ครั้ง ๆ ละ 10 นาทีตามลำดับ และ abs.alcohol : xylene ( อัตราส่วน 1 :1 ) นาน 10 นาที
- ทำให้ใส่ด้วย xylene 2 ครั้ง ๆ ละ 10 นาที
- นำตัวอย่างที่ได้วางบนสไลด์และปิด cover slip ด้วย DPX
- นำไปศึกษาภายใต้กล้องจุลทรรศน์แบบธรรมดาก

## 7. การศึกษาลักษณะทางสัณฐานวิทยา

### 7.1 การศึกษาลักษณะของเปลือกหอย

นำเปลือกหอยมาทำความสะอาด โดยล้างเศษดินที่ติดอยู่ตามเปลือกหอยออกให้หมด ระวังอย่าให้ส่วนยอดของเปลือกหอยหัก และทำการศึกษาลักษณะต่าง ๆ ของเปลือกหอยดังนี้

- ศึกษาลักษณะโดยทั่วไปของเปลือก โดยดูลักษณะยอดเปลือก ความสูงของ สเปร์วิร์ล ความสูงของบอดีเวิร์ล ลักษณะของซูเซอร์ ลักษณะของปากเปลือก (Armengol, 1996 และ Chiu and others, 2002)
- ศึกษาจำนวนเวิร์ล การนับจำนวนเวิร์ลของหอย เริ่มนับจากจุดปลายยอดของ หอย นับวนมาชนวนเดียว กับจุดเริ่มต้น จะเป็นวงที่ 1 และนับวนต่อไป
- รูปร่างเปลือก พิจารณาจากขนาดของมุ麋สเปรี้ยงเป็นมุขยอดของเปลือก โดยวัด จากการลากเส้นจากด้านข้างของเปลือกมาตัดกันตรงแนวคอกลุเมลลาชของยอด เปลือก
- แนวกราชดวนของเปลือก โดยวางเปลือกหอยหงายขึ้นบนฝ่ามือ ให้ยอดเปลือกชี้ ออกจากลำตัว ถ้าปากเปลือกอยู่ทางด้านข้างมีของเราก็คือวนข่าย ถ้าปาก เปลือกอยู่ทางขวา มีของเราก็คือวนขวา
- ศึกษาขนาดของเปลือก โดยวัดขนาดความกว้าง และความยาวของเปลือกด้วย เกอร์เนีย คาลิปเปอร์ (Vernier caliper)
- 量ด้ายบนเปลือก และ量ด้ายของสีเปลือก โดยศึกษารายเส้นบนผิวของ เปลือกหอย และ รูปแบบแบบสีพัดตามขวางของเปลือก
- โอบเพอร์คิวลัม ศึกษาลักษณะ และ量ด้ายของโอบเพอร์คิวลัมด้านนอก ภายใต้ กล้องจุลทรรศน์สเตรโอโอบ

### 7.2 การศึกษาลักษณะของฟันหอย

ทำการตรวจสอบลักษณะของฟันหอยโดยใช้กล้องจุลทรรศน์แบบธรรมดា และกล้อง จุลทรรศน์อิเล็กtronแบบส่องการด ทำการศึกษาลักษณะของฟันหอยเกี่ยวกับจำนวนแฉกของฟัน หอย รูปร่าง ขนาด และจำนวนหยักของฟันกลาง ฟันข้าง และฟันริมของหอย วิธีการเตรียมตัว อย่างฟันหอยเป็นดังนี้

#### 7.2.1 วิธีการเตรียมฟันหอยเพื่อศึกษาภายในได้กล้องจุลทรรศน์

- นำตัวอย่างหอยมากะเทาะเปลือกออก หรือนำตัวอย่างหอยที่ตายแล้วมาดึงตัว

หอยออกและทำการย่อหอยเนื้อหอยเพื่อแยกเขาเรดูลาออกมาด้วยการแร่ 10% NaOH ข้ามคืน

- แยกพื้นหอยออกจากเนื้อหอยภายในได้กล้องจุลทรรศน์ ด้วย forcep ปลายแหลมขนาดเล็ก
- นำพื้นหอยที่ได้มาล้าง NaOH ออกด้วยน้ำกลั่น 5–10 นาที
- เปลี่ยนมาใช้พื้นหอยใน 2% HCl นาน 5–10 นาที เพื่อล้าง NaOH
- ล้าง HCl ด้วยน้ำกลั่นอีกครั้งประมาณ 5–10 นาที
- ดึงน้ำออกด้วย 50 %, 70% และ 95% alcohol ตามลำดับ ขั้นตอนละ 2 ครั้ง ๆ ละ 10–30 นาที
- ย้อมพื้นหอยด้วยสี 4% Eosin Y ใน 95 % alcohol จนกระทั่งพื้นหอยติดสีประมาณ 2 วัน
- ล้างสีส่วนเกินออกด้วย 95 % และ absolute alcohol ขั้นตอนละ 2 ครั้ง ๆ ละ 10–30 นาที
- ใช้ forcep กางพื้นหอยให้แผ่ออกมากที่สุดภายในได้กล้องจุลทรรศน์สเตรอริโอ
- ทำให้ตัวอย่างพื้นใส่ด้วยการแร่ xylene 2 ครั้ง ๆ ละ 10 นาที
- นำพื้นหอยที่ได้มาวางบนสไลด์และปิด cover slip ด้วย DPX และนำไปศึกษาภายในได้กล้องจุลทรรศน์แบบชرحวดา

#### 7.2.2 วิธีการเตรียมพื้นหอยเพื่อศึกษาภายในได้กล้องจุลทรรศน์โดยเล็กตรอนแบบ

##### สองกราด

ขั้นตอนการเตรียมพื้นหอยเพื่อศึกษาภายในได้กล้องจุลทรรศน์โดยเล็กตรอนแบบสองกราด เมื่อกับการเตรียมตัวอย่างเพื่อศึกษาภายในได้กล้องจุลทรรศน์แบบชرحวดา แต่ตัวอย่างพื้นหอยหลังจากแร่ absolute alcohol และจะนำมาวางลงบน stub ที่มีเทปการบอนดิคอยู่ (carbon colloidal adhesive) และปล่อยทิ้งไว้ให้แห้ง จากนั้นนำตัวอย่างที่ได้ไปเคลือบด้วยทองคำใช้เวลาประมาณ 100-200 วินาที ด้วยเครื่อง sputter coater (Cressington 108, UK) นำไปศึกษาภายในได้กล้องจุลทรรศน์โดยเล็กตรอนแบบสองกราด

#### 7.3 การศึกษาลักษณะทางกายวิภาค

ทำการศึกษาลักษณะโครงสร้างภายนอกและโครงสร้างภายในของหอยน้ำจืด *Paludomus spp.* โดยใช้ตัวอย่างหอยที่ยังมีชีวิตอยู่ (ทำให้เห็นลักษณะอวัยวะภายในได้ชัดเจน)

แล้วทำการ relax ด้วย 0.08 % เมนทอล (menthol) เป็นเวลา 2-4 ชั่วโมง หลังจากทำการ relax นำหอยมาจะเหาเปลือกออกอย่างระมัดระวัง นำตัวหอยมาศึกษาลักษณะโครงสร้างของ หอยภายในได้กล้องจุลทรรศน์สเตอโรไก

- โครงสร้างลำตัวภายใน ทำการศึกษาส่วนหัว ส่วนคอ แผ่นเท้า และแมลงที่อยู่ในหอย โดยสังเกตตำแหน่งของตา ลวดลาย หรือร่องคัตตุที่พับบนส่วนต่าง ๆ

- โครงสร้างลำตัวภายใน ทำการผ่าหอยตามแนวยาวของลำตัวหอย และศึกษารูป ร่าง ขนาด การจัดเรียงตัวของอวัยวะภายใน เกี่ยวกับระบบทางเดินอาหาร ระบบลำเลียง ระบบขับถ่าย และระบบสืบพันธุ์ของหอย

## 8. การศึกษารูปแบบทางพันธุกรรม

ศึกษารูปแบบไอกไซด์ของหอยน้ำจืด *Paludomus spp.* โดยใช้เทคนิคโอลิฟอิเล็คโทรforesis (Electrophoresis)

### 8.1 การเตรียมตัวอย่าง

นำหอยน้ำจืด *Paludomus spp.* ไปแช่แข็ง (freezer) ประมาณ 20 นาที จะทำให้ ตึงตัวหอยออกมากจากเปลือกหอย ให้โดยไม่ต้องทุบเปลือกหอย ตัดแยกส่วนแผ่นเท้าหอยออกจาก ส่วนลำตัวหอยโดยใช้มีดผ่าตัด ตัดส่วนแผ่นเท้าหอยที่ได้ออกเป็นชิ้นเล็ก ๆ และบดส่วนแผ่นเท้า หอยด้วย grinder เติม 20 % sucrose ลงไปช่วยในการบด (Chung, 1984) นำตัวอย่างที่ บดแล้วไปบดเข้าด้วยเครื่อง sonicator (Ultra Turrax T25 basic IKA) ประมาณ 10 นาที เก็บสารละลายที่บดได้ทึบไว้ 1 คืนที่ 4 องศาเซลเซียส แล้วนำมาปั่นให้เย็นด้วยความเร็ว 6,000 rpm ที่ 4 องศาเซลเซียส เป็นเวลา 30 นาที (Refrigerated centrifuge HARRIER 18/80) เก็บส่วนใส่ที่ได้ไว้ที่อุณหภูมิ -20 องศาเซลเซียส

### 8.2 การเตรียม Polyacrylamide Gel Electrophoresis

8.2.1 ประกอบแผ่นกระจาก 2 แผ่น ให้มีช่องว่างระหว่างแผ่นกระจาก 0.75 มิลลิเมตร วางลงบนแท่นสำหรับเตรียมเจลจากนั้นทำการทดสอบว่าไม่มีรอยร้าวโดยการใส่น้ำกัลล์ ให้เต็มช่องว่างระหว่างกระจากบนแผ่นเตรียมเจล

8.2.2 เตรียมสารละลาย 7.5% separating gel และสารละลาย 4% stacking gel แต่ยังไม่ผสม TEMED (ภาชนะ)

8.2.3 เทน้ำกัลล์ที่ใช้ในการทดสอบร้อยร้าวออกโดยใช้พิชชาขับให้แห้ง แล้วทำการผสม TEMED ลงไปในสารละลาย separating gel เป็นอันดับสุดท้าย ใช้พลาสเจอร์ปีปต

ดูดสารละลายที่เตรียมไว้มาใส่ในช่องว่างระหว่างกระดาษ ให้มีระดับต่ำจากระดับปลาย comb ที่วัดไว้ประมาณ 1 ซม. ปรับผิวน้ำของ gel ให้เรียบด้วยการเติมน้ำกลั่นลงไปในช่องว่างระหว่างกระดาษให้เต็มใช้เวลาประมาณ 30 นาทีเพื่อให้เจลแข็งตัว

8.2.4 TEMED ลงในสารละลาย stacking gel ที่ผสมไว้แล้วเทหัวลงบน separating gel จนเต็มช่องว่างระหว่างกระดาษ จากนั้นใส่ comb ลงไปเพื่อเจาะช่องไว้สำหรับหยอดสารละลายตัวอย่าง รอจนเจลแข็งตัว ใช้เวลาประมาณ 15 – 30 นาที จากนั้นนำแผ่นกระดาษที่มีเจลไปยึดติดกับคุปกรณ์สำหรับใส่ลงในกล่องบรรจุ electrode buffer ใส่ buffer ในช่องว่างระหว่างเจล 2 แผ่นให้เต็มแล้วดึง comb ออก

8.2.5 เตรียมสารละลายตัวอย่างและสารละลายโปรตีนมาตรฐานให้มีความเข้มข้นเท่ากับ  $10 \text{ } \mu\text{g}$  โดยนำสารละลายตัวอย่างและสารละลายโปรตีนมาตรฐานผสมกับ sample buffer ในอัตราส่วน 1 : 1 แล้วหยอดสารละลายลงในช่องใส่ตัวอย่างใต้สารละลาย electrode buffer อย่างเบาๆ ระวังไม่ให้เกิดฟองอากาศ

8.2.6 ต่อขั้วไฟฟ้าของเครื่อง electrophoresis เข้ากับเครื่องจ่ายไฟฟ้ากระแสตรง โดยต่อ ขั้วสีแดงเข้ากับขั้วบวก และต่อขั้วสีดำเข้ากับขั้วลบ ใช้กระแสไฟฟ้าความต่างศักย์ 100 โวลต์

8.2.7 เปิดเครื่องจ่ายกระแสไฟฟ้าเพื่อให้สารละลายตัวอย่างที่หยอดไว้เคลื่อนที่ไปบนแผ่นเจล จนกระทั่งแถบสีน้ำเงินของใบโนฟลินอลบูล วิ่งลงมาถึงปลายล่างของแผ่นเจล จึงปิดกระแสไฟฟ้าแล้วแกะชุด electrophoresis ออก

8.2.8 ค่อยๆ แกะแผ่นเจลออกจากชุด electrophoresis อย่างเบามือ ทำเครื่องหมายที่ขอบแผ่นเจลเพื่อให้ทราบว่าหนามากเป็นด้านใด

### 8.3 การย้อมแผ่นเจล

8.3.1 ย้อมแผ่นเจลเพื่อศึกษารูปแบบใบโซไซม์ นำแผ่นเจลมาขึ้นในไนโตรเจล ใช้ปฏิกิริยาทางเคมีจำเพาะสำหรับเอนไซม์ 6 ชนิด aldehydeoxidase (ALDOX), esterase (EST), leucine amino peptidase (LAP), lactase dehydrogenase (LDH), malate dehydrogenase (MDH) และ xanthine dehydrogenase (XDH) (ภาควิชาชีวเคมี)

8.3.2 ย้อมแผ่นเจลเพื่อศึกษารูปแบบของโปรตีนด้วย Coomassie Brilliant Blue R-250 (Hoefer, 1994)

- แช่แผ่นใน 10 % TCA เป็นเวลา 30 นาที

- ย้อมเจลด้วย coomassie staining solution เป็นเวลา 1 คืน จะกระแทกเกิดแกบไปรตินชีนชัดเจน
- ล้างสีส่วนเกินออกจากแผ่นเจลโดยการแช่แผ่นเจลใน Destaining solution

#### 8.4 ทำการ Dry gel

ตัดแผ่น Cellophane ให้มีขนาดใหญ่กว่าแผ่นเจลประมาณ 2 นิ้ว จำนวน 2 แผ่น นำแผ่น Cellophane แผ่นหนึ่งวางบนกระดาษซึ่งตัดเตรียมไว้ให้มีขนาดใหญ่กว่า แผ่นเจล จากนั้นทำการไล่ฟองอากาศออกโดยเปิดน้ำให้ไหลผ่านตลอดเวลา นำแผ่นเจลที่ต้องการทำแห้งวางทับบนแผ่น Cellophane และวางแผ่น Cellophane ที่เตรียมไว้อีกแผ่นหนึ่งวางทับลงไปบนแผ่นเจลอีกครั้ง ไล่ฟองอากาศโดยให้น้ำไหลผ่าน พับแผ่น Cellophane ใบอีกด้านหนึ่งของกระดาษให้ตึง (ระวังอย่าให้มีฟองอากาศ) และใช้ตัวหนีบที่เตรียมไว้หนีบทั้งสี่ด้านของแผ่นเจล ปล่อยทิ้งไว้ให้แห้งที่อุณหภูมิห้อง

### 9. การวิเคราะห์ผลการศึกษา

#### 9.1 การวิเคราะห์ผลลักษณะทางสัณฐานวิทยา

ทำการเปรียบเทียบลักษณะสัณฐานวิทยาของเปลือก ลักษณะพื้น และลักษณะทางกายวิภาคของหอยน้ำจืด *Paludomus* spp. ระหว่างตัวอย่างที่เก็บจากจุดสำรวจทั้ง 10 พื้นที่ ด้วยการทดสอบทางสถิติ โดยใช้โปรแกรม SPSS (One - Way ANOVA) เป็นตัวเปรียบเทียบแสดงค่าความแตกต่างอย่างมีนัยสำคัญทางสถิติ

#### 9.2 การวิเคราะห์ผลรูปแบบทางพันธุกรรม

เมื่อทำการย้อมสีแผ่นเจลเพื่อศึกษาอนไซม์โดยใช้ปฏิกิริยาเคมีจำเพาะ จะปรากฏແບບอนไซม์ลักษณะต่าง ๆ แตกต่างกันไปตามโครงสร้างของโปรตีน จากลักษณะที่ปรากฏนำมากำหนดจีโนไทป์ที่ควรจะเป็น กำหนดชื่อยืนโดยใช้ระบบตัวเลขที่มีค่าน้อยที่สุด (1) คือແນบโปรตีนที่ว่างเร็วที่สุด และค่านวนค่าต่าง ๆ ได้แก่ ความถี่อัลลีล (allelic frequency) ทดสอบสมดุลย์ฮาร์ดี ไวน์เบิร์ก (อุทัยรัตน์, 2543) อัตราส่วนยืนในสภาวะหลักรูปแบบ (polymorphic loci,  $P_{95}$ ) จำนวนอัลลีลเฉลี่ยต่อตำแหน่ง (number of alleles per locus) ค่าเยตเทอโรไฮโกซิตี (heterozygosity) (Ayala, 1980) และค่านวนระยะห่างทางพันธุกรรม (genetic distance) ตามวิธีของ Nei จัดสุมความสัมพันธ์ทางวิวัฒนาการ (phylogenetic relationship) โดยวิธี Unweighted Pair Group Arithmetic Average (UPGMA)

### 9.3 สรุปและวิเคราะห์ผลข้อมูล

สรุปผลเปรียบเทียบลักษณะทางสัณฐานวิทยา ลักษณะทางกายวิภาค และรูปแบบทางพันธุกรรม ของหอยน้ำจืด *Paludomus* spp. ที่เก็บตัวอย่างจากแหล่งสำรวจทั้ง 10 พื้นที่ และเปรียบเทียบความสัมพันธ์ระหว่างประชากรทั้ง 10 พื้นที่ โดยใช้โปรแกรม Phylogenetic Analysis Using Parsimony (PAUP)

## บทที่ 4

### ผลการวิจัย

#### ◆ การศึกษาสภาพแวดล้อม

##### จุดสำรวจที่ 1 น้ำตกไทรโยคน้อย

บริเวณที่เก็บตัวอย่างมีค่าพิกัดที่ 47P 0484306

UTM 1595637

สภาพแวดล้อมบริเวณที่เก็บตัวอย่างเป็นลำธารเล็กๆ ชั้นบันเหนือน้ำตก สูงจากระดับน้ำทะเล 180 เมตร (รูปที่ 23) น้ำในลำธารลึกประมาณ 20.5 เซนติเมตร พื้นน้ำเป็นตะกอนดินน้ำค่อนข้างใส รอบๆ ลำธารมีพืชขนาดปานกลาง เช่น บอน และพืชขนาดใหญ่ เช่น ต้นมะเดื่อ ลำไยขึ้นปกคลุมลำธาร มีแสงส่องผ่านเล็กน้อยประมาณ 880 Lux อุณหภูมิของน้ำ 25 องศาเซลเซียส ค่าความเป็นกรด-ด่าง ของน้ำในลำธารค่อนข้างเป็นด่างประมาณ 8.51 ค่าออกซิเจนที่ละลายน้ำที่ค่าการละลายที่ 8.18 mg/l กระแสน้ำไหลช้า ค่าความเร็วของการไหลของน้ำ 3.64 m/sec (ตารางที่ 1) พบน้อยเกาอยู่ตามก้อนหินและดินพื้นน้ำริมลำธาร เปลือกหอยมีดินเกาทั้งตัว

##### จุดสำรวจที่ 2 น้ำตกไทรโยคใหญ่

บริเวณที่เก็บตัวอย่างมีค่าพิกัดที่ 47P 0484248

UTM 1595516

สภาพแวดล้อมบริเวณที่เก็บตัวอย่างเป็นน้ำตก สูงจากระดับน้ำทะเล 193 เมตร น้ำตกลึกประมาณ 14.5 เซนติเมตร (รูปที่ 24) พื้นน้ำเป็นแผ่นหิน และทราย น้ำใสสะอาด บริเวณหินพบตะไคร่ และเพิร์นอยู่ทั่วไป บริเวณน้ำตกมีร่มไม้ปกคลุม เช่น ต้นไผ่ น้ำตกจึงร่มรื่น มีแสงส่องผ่านประมาณ 5,140 Lux อุณหภูมิของน้ำประมาณ 26 องศาเซลเซียส ค่าความเป็นกรด-ด่างของน้ำประมาณ 8.28 ค่าออกซิเจนที่ละลายน้ำมีค่าการละลายที่ 7.99 mg/l ความแรงน้ำปานกลาง ค่าความเร็วของการไหลของน้ำ 11.18 m/sec (ตารางที่ 1) หอยมักเกาอยู่ตามพื้นหิน และตามพื้นทราย

### จุดสำรวจที่ 3 หัวยເຕາດ

บริเวณที่เก็บตัวอย่างมีค่าพิกัดที่ 47P 0470822

UTM 1577177

สภาพแวดล้อมบริเวณที่เก็บตัวอย่างเป็นลำหัวยขนาดเล็ก สูงจากระดับน้ำทะเล 500 เมตร (รูปที่ 25) น้ำใส พื้นน้ำเป็นดิน หิน และทราย กระแสน้ำไหลแรง รอบๆบริเวณลำหัวยมีต้นไม้ขนาดเล็ก ขนาดกลาง และขนาดใหญ่ขึ้นไปคลุม บริเวณลำหัวยมีลักษณะเปรี้ยว แสงส่องผ่านลงมาได้ อุณหภูมิของน้ำประมาณ 22 องศาเซลเซียส ค่าความเป็นกรด-ด่างของน้ำประมาณ 7.5 ค่าออกซิเจนที่ละลายในน้ำมีค่าการละลายที่  $8.7 \text{ mg/l}$  กระแสน้ำไหลข้าม ค่าความเร็วของการไหลของน้ำ  $0.5 \text{ m/sec}$  (ตารางที่ 1) หอยมักเกาะอยู่ตามก้อนหิน ตามพื้นน้ำ และกิงไม้ที่ยื่นไปในน้ำริมลำหัวย

### จุดสำรวจที่ 4 ลำธารข้างน้ำพุร้อนหินดัด

บริเวณที่เก็บตัวอย่างมีค่าพิกัดที่ 47P 0470723

UTM 1616626

สภาพแวดล้อมบริเวณที่เก็บตัวอย่างเป็นลำธารที่อยู่บริเวณน้ำพุร้อน สูงจากระดับน้ำทะเล 85 เมตร (รูปที่ 26) น้ำชุ่น พื้นน้ำเป็นดิน และโคลน ความลึกของน้ำประมาณ 30 เซนติเมตร ลำธารมีแสงส่องผ่านประมาณ 3,250 Lux อุณหภูมิของน้ำประมาณ 25 องศาเซลเซียส ค่าความเป็นกรด-ด่างของน้ำในลำธาร  $7.97$  ค่าออกซิเจนที่ละลายในน้ำมีค่าการละลายที่  $4.6 \text{ mg/l}$  กระแสน้ำไหลค่อนข้างแรง ค่าความเร็วของการไหลของน้ำ  $16.1 \text{ m/sec}$  (ตารางที่ 1) บริเวณลำธารมีต้นไม้ขึ้นปกคลุม เช่น ต้นสัก ต้นไผ่ และมีใบไม้ทับถมปกคลุมตามริมฝั่งลำธาร หอยมักเกาะอยู่ตามก้อนหิน ตามหากต้นไม้ที่ยื่นไปในน้ำ และฝังตัวอยู่ตามพื้นดิน

### จุดสำรวจที่ 5 น้ำตกผาคาด

บริเวณที่เก็บตัวอย่างมีค่าพิกัดที่ 47P 0476106

UTM 1619340

สภาพแวดล้อมบริเวณที่เก็บตัวอย่างเป็นน้ำตกที่ไหลผ่านหิน สูงจากระดับน้ำทะเล 195 เมตร (รูปที่ 27) กระแสน้ำไหลข้ามตลอดเวลา ความลึกของน้ำประมาณ 31.5 เซนติเมตร พื้นน้ำเป็นทราย ก้อนหิน ชาเกใบไม้ และใบไม้ทับถมมาก พื้นน้ำส่วนใหญ่เป็นดินโคลน น้ำจืดชุ่นเนื่องจากตกอนดิน รอบๆ น้ำตกมีต้นไม้ยืนต้นขนาดใหญ่ เช่น ต้นสัก น้ำตกจึงค่อนข้างร่ม มีแสงส่องผ่านประมาณ 1,200 Lux อุณหภูมิของน้ำ  $24$  องศาเซลเซียส ค่าความเป็นกรด-ด่างของน้ำในลำธาร  $8.67$  ค่าออกซิเจนที่ละลายในน้ำมีค่าการละลายที่  $7.83 \text{ mg/l}$  ค่าความเร็วของ

การไหลของน้ำ 13.58 m/sec (ตารางที่ 1) หมายจะเก้าอยู่ตามก้อนหินและพื้นน้ำที่เป็นดินโคลนบริเวณน้ำตื้น เปลือกหอยมีหินปูนและตะกอนดินเก้าทั้งตัว

## จุดสำรวจน้ำพุหัวยเขียง

บริเวณที่เก็บตัวอย่างมีค่าพิกัดที่ 47P 0456436

UTM 1625068

สภาพแวดล้อมบริเวณที่เก็บตัวอย่างเป็นร่องน้ำที่มีนุชย์สร้างขึ้น สูงจากระดับน้ำทะเล 169 เมตร (รูปที่ 28) น้ำใส่ความแรงน้ำปานกลาง น้ำลึกประมาณ 11.5 เมตร ที่น้ำเป็นพื้นปูน ทรายละเอียด และก้อนหินขนาดเล็กๆ บริเวณโดยรอบมีต้นไม้เขียวปักคลุม มีแสงแดดส่องประมาณ 3,680 Lux อุณหภูมิของน้ำ 24 องศาเซลเซียส ค่าความเป็นกรด-ด่างของน้ำมีค่า 8.36 ค่าออกซิเจนที่ละลายน้ำมีค่าการละลายน้ำที่ 8.36 mg/l ค่าความเร็วของการไหลของน้ำ 17.43 m/sec (ตารางที่ 1) หอยเก้าอยู่ตามพื้นทรายและก้อนหิน

### จุดสำรวจที่ 7 ลักษณะบ้านท่ามະเดื่อ

บริเวณที่เก็บตัวอย่างมีค่าพิกัดที่ 47P 0455733

UTM 1618114

สภาพแวดล้อมบริเวณที่เก็บตัวอย่างเป็นลักษณะเด็ก สูงจากระดับน้ำทะเล 195 เมตร (รูปที่ 29) ความลึกของน้ำประมาณ 12 เซนติเมตร น้ำใส กระแสน้ำไหลเข้า พื้นน้ำเป็นพื้นดินและโคลน เป็นลักษณะที่แหลมผ่านป่าพุ มีทั้งต้นไม้ขนาดเล็ก และขนาดใหญ่ชื่นปกคลุมลักษณะทั้งสาย ส่วนใหญ่จะเป็นต้นเตยหานам มีแสงส่องผ่านเล็กน้อยประมาณ 1,310 Lux อุณหภูมิของน้ำ 26 องศาเซลเซียส ค่าความเป็นกรด-ด่างของน้ำในลักษณะมีค่า 8.97 ค่าออกซิเจนที่ละลายน้ำมีค่าการละลายที่ 7.34 mg/l ค่าความเร็วของการไหลของน้ำ 4.38 m/sec (ตารางที่ 1) หอยเก้าอยู่ตามพื้นดิน ฝังตัวอยู่ในดินและอยู่ตามพื้นที่ชั่นในน้ำ

## ຈົດສໍາງວັດທີ 8 ນໍ້າຕົກເກຣິງກຮະເວີຍ

บริเวณที่เก็บตัวอย่างมีค่าพิจารณาที่ 47P 0460707

UTM 1656006

สภาพแวดล้อมบริเวณที่เก็บตัวอย่างเป็นน้ำตกชั้นเตี้ยๆ ในลตามชั้นหินปูน สูงจากระดับน้ำทะเล 253 เมตร (รูปที่ 30) น้ำใส กระแสน้ำไหลซ้าย น้ำลึกประมาณ 34.5 เซนติเมตร พื้นน้ำเป็นทรายหยาบ ตินโคลน และก้อนหินขนาดเล็ก บริเวณน้ำตกมีต้นไม้ใหญ่ขึ้นปกคลุมโดยรอบ แสงส่องผ่านประมาณ 14,500 Lux อุณหภูมิของน้ำ 24 องศาเซลเซียส ค่าความเป็นกรด-ด่างของน้ำในลำธารมีค่า 7.90 ค่าออกซิเจนที่ละลายน้ำมีค่าการละลายที่ 10.5 mg/l ค่า

ความเร็วของการไหลของน้ำ 6.91 m/sec (ตารางที่ 1) หอยเก้าอยู่ตามก้อนหิน และฝังตัวอยู่ตามดินและทราย

#### จุดสำรวจที่ 9 น้ำตกไดซองถ่อง

บริเวณที่เก็บตัวอย่างมีค่าพิกัดที่ 47P 0459952

UTM 1656468

สภาพแวดล้อมบริเวณที่เก็บตัวอย่างเป็นน้ำตกขนาดเล็ก ๆ น้ำค่อนข้างใส สูงจากระดับน้ำทะเล 209 เมตร (รูปที่ 31) ความแรงน้ำปานกลาง น้ำลึกประมาณ 39.67 เซนติเมตร พื้นน้ำเป็นหินปูน และดินโคลนปากคลุ่มเป็นพื้นหนา มีเศษกิงไม้ใบไม้ทับลงอยู่ตามพื้นน้ำ รอบๆ บริเวณน้ำตกมีต้นไม้ใหญ่ขึ้นปากคลุ่ม น้ำตกจึงค่อนข้างร่ม มีแสงส่องประมาณ 4,700 Lux อุณหภูมิของน้ำ 25 องศาเซลเซียส ค่าความเป็นกรด-ด่างของน้ำในลำธารมีค่า 8.10 ค่าออกซิเจนที่ละลายน้ำมีค่าการละลายน้ำ 8.62 mg/l ค่าความเร็วของการไหลของน้ำ 12.00 m/sec (ตารางที่ 1) หอยเก้าอยู่ตามเศษกิงไม้ใบไม้ และฝังตัวอยู่ในดินโคลน

#### จุดสำรวจที่ 10 น้ำตกตะเคียนทอง

บริเวณที่เก็บตัวอย่างมีค่าพิกัดที่ 47P 0441536

UTM 1691183

สภาพแวดล้อมบริเวณที่เก็บตัวอย่างเป็นลำธาร สูงจากระดับน้ำทะเล 204 เมตร (รูปที่ 32) น้ำใสสะอาด ความแรงน้ำปานกลาง น้ำลึกประมาณ 47 เซนติเมตร พื้นน้ำเป็นทรายละเอียด และก้อนหินขนาดเล็กๆ รอบบริเวณน้ำตกปากคลุ่มด้วยแนวไผ่ เพิร์วน และต้นไม้ยืนต้นขนาดใหญ่หลายชนิด น้ำตกมีแสงส่องผ่านประมาณ 30,500 Lux อุณหภูมิของน้ำ 24 องศาเซลเซียส ค่าความเป็นกรด-ด่างของน้ำในลำธารมีค่า 8.22 ค่าออกซิเจนที่ละลายน้ำมีค่าการละลายน้ำ 8.11 mg/l ค่าความเร็วของการไหลของน้ำ 23.36 m/sec (ตารางที่ 1) หอยเก้าอยู่ตามก้อนหิน และอยู่ตามพื้นน้ำ

#### ◆ การศึกษาลักษณะทางสัณฐานวิทยาของเปลือกหอย

เมื่อนำตัวอย่างเปลือกหอยที่เก็บจากจุดสำรวจบริเวณต่างๆ มาทำการตรวจสอบลักษณะทางสัณฐานวิทยาของเปลือก ได้แก่ รูปร่างของเปลือกหอย ขนาดของเปลือกหอย จำนวนเกิร์ล การขดวนของเปลือกหอย ลักษณะลวดลายของแผ่นปิดปากเปลือก และลวดลายบนเปลือกหอยได้ผลดังนี้

### จุดสำรวจที่ 1 น้ำตกไทรโยคน้อย

เปลือกหอยมีขนาดเล็ก รูปทรงเป็นกรวยรูปไข่ค่อนข้างกลม (ขนาดของมุนสไปร์ ประมาณ  $68^{\circ}$ ) ขนาดความยาวเฉลี่ย  $9.5 \pm 1.96$  มิลลิเมตร ความกว้างเฉลี่ย  $6.2 \pm 1.16$  มิลลิเมตร มีค่า size index [(ความกว้างของเปลือก / ความยาวของเปลือก)  $\times 100$ ] ประมาณ 64.93 (รูปที่ 33 ก) เปลือกหอยมีดินเกาะหนา เมื่อแกะดินออกเปลือกหอยมีผิวเรียบ สีน้ำตาล และมีแบบสีพาดตามขวางของเปลือก ส่วนฐานเปลือกพบลดลายที่เป็นเส้นมีลักษณะแบบเส้นที่เป็นร่องตามแนวการขดวนของหอย ลักษณะการขดวนของเปลือกเป็นแบบวนขวา (dextral) เปลือกหอยมีส่วนของบอดีเวิร์ลใหญ่และกว้างกว่าส่วนสไปร์เวิร์ล (รูปที่ 34 ก) ความยาวเฉลี่ยของบอดีเวิร์ล  $6.08 \pm 0.5$  มิลลิเมตร ชูเชอร์เป็นแบบลีก ปากเปลือกมีขนาดความยาวเฉลี่ย  $5.4 \pm 0.42$  มิลลิเมตร ความกว้างเฉลี่ย  $3.29 \pm 0.245$  มิลลิเมตร ขอบปากเปลือกส่วนฐานโค้งมน เวิร์ลของเปลือกหอยมีจำนวน  $6.0 - 6.75$  เวิร์ล (ตารางที่ 2, 3 และ 4) แผ่นปิดปากเปลือก (operculum) บาง เป็นมัน มีลดลายเป็นแบบคอนเซนทริกที่มีสไปรลนิวเคลียส (concentric with spiral) (รูปที่ 35 ก)

### จุดสำรวจที่ 2 น้ำตกไทรโยคใหญ่

เปลือกหอยมีขนาดเล็ก รูปทรงเป็นกรวยกลม (ขนาดของมุนสไปร์ ประมาณ  $70^{\circ}$ ) ขนาดความยาวเฉลี่ย  $8.94 \pm 1.73$  มิลลิเมตร ความกว้างเฉลี่ย  $6.38 \pm 1.10$  มิลลิเมตร มีค่า size index ประมาณ 71.32 (รูปที่ 34 ข) เปลือกหอยมีผิวเรียบ สีน้ำตาลและมีแบบสีพาดตามขวางของเปลือก ลักษณะการขดวนของเปลือกเป็นแบบวนขวา (dextral) เปลือกหอยมีส่วนของบอดีเวิร์ลใหญ่และกว้างกว่าส่วน สไปร์เวิร์ล (รูปที่ 34 ข) ความยาวเฉลี่ยของบอดีเวิร์ล  $5.79 \pm 2.58$  มิลลิเมตร ชูเชอร์เป็นแบบลีก ปากเปลือกมีขนาดความยาวเฉลี่ย  $5.03 \pm 0.84$  มิลลิเมตร ความกว้างเฉลี่ย  $3.18 \pm 0.61$  มิลลิเมตร ขอบปากเปลือกส่วนฐานโค้งมน เวิร์ลของเปลือกหอยมีจำนวน  $5.5 - 7.0$  เวิร์ล (ตารางที่ 2, 3 และ 4) แผ่นปิดปากเปลือก (operculum) บาง เป็นมัน มีลดลายเป็นแบบคอนเซนทริกที่มีสไปรลนิวเคลียส (concentric with spiral) (รูปที่ 35 ข)

### จุดสำรวจที่ 3 ห้วยเต่าดำ

เปลือกหอยมีขนาดเล็ก รูปทรงเป็นกรวยกลม (ขนาดของมุนสไปร์ ประมาณ  $81^{\circ}$ ) ขนาดความยาวเฉลี่ย  $6.3 \pm 1.75$  มิลลิเมตร ความกว้างเฉลี่ย  $5.5 \pm 1.69$  มิลลิเมตร มีค่า size index ประมาณ 87.10 (รูปที่ 33 ค) เปลือกหอยมีผิวเรียบ สีน้ำตาลอากาศเยิ่วและมีแบบสีพาดตามขวางของเปลือก ส่วนยอดของสไปร์เวิร์ลมีการสึกกร่อนเรียกว่าปลายยอดตัด (eroded)

จึงไม่สามารถนับจำนวนเวิร์ลได้ ลักษณะการขดวนของเปลือกเป็นแบบวนขวา (dextral) เปลือกหอยมีส่วนของบอดีเวิร์ลใหญ่และกว้างกว่าส่วนสไปร์เวิร์ลมาก (รูปที่ 34 ค) ความยาวเฉลี่ยของบอดีเวิร์ล  $6.1 \pm 1.68$  มิลลิเมตร ชูเชอร์ของเปลือกตื้น ปากเปลือกมีขนาดความยาวเฉลี่ย  $6.25 \pm 1.66$  มิลลิเมตร ความกว้างเฉลี่ย  $4.21 \pm 1.37$  มิลลิเมตร (ตารางที่ 2, 3 และ 4) ขอบปากเปลือกส่วนฐานโค้งมน แผ่นปิดปากเปลือก (operculum) บาง เป็นมัน มีลวดลายเป็นแบบคอนเซนทริกที่มี สไปร์ลนิวเคลียส (concentric with spiral) (รูปที่ 35 ค)

#### จุดสำรวจที่ 4 ลำธารซึ่งบ่อ่น้ำพุร้อนหินดัด

เปลือกหอยมีขนาดเล็ก รูปทรงเป็นกรวยรูปไข่ค่อนข้างกลม (ขนาดของมุนสไปร์ประมาณ  $68^{\circ}$ ) ขนาดความยาวเฉลี่ย  $10.28 \pm 1.74$  มิลลิเมตร ความกว้างเฉลี่ย  $6.75 \pm 1.03$  มิลลิเมตร มีค่า size index ประมาณ  $65.70$  (รูปที่ 33 ง) เปลือกหอยมีผิวเรียบ สีน้ำตาลเข้มและมีແບสีพาดตามขวางของเปลือก ส่วนฐานเปลือกพบลวดลายที่เป็นเส้นมีลักษณะแบบเส้นที่เป็นร่องตามแนวตั้งหากับแกนกลาง ลักษณะการขดวนของเปลือกเป็นแบบวนขวา (dextral) เปลือกหอยมีส่วนของบอดีเวิร์ลใหญ่และกว้างกว่าส่วน สไปร์เวิร์ล (รูปที่ 34 ง) ความยาวเฉลี่ยของบอดีเวิร์ล  $6.01 \pm 0.39$  มิลลิเมตร ชูเชอร์เป็นแบบลึก ปากเปลือกมีขนาดความยาวเฉลี่ย  $5.23 \pm 0.33$  มิลลิเมตร ความกว้างเฉลี่ย  $3.77 \pm 0.23$  มิลลิเมตร ขอบปากเปลือกส่วนฐานโค้งมน เวิร์ลของเปลือกหอยมีจำนวน  $6 - 7.5$  เวิร์ล (ตารางที่ 2, 3 และ 4) แผ่นปิดปากเปลือก (operculum) บาง เป็นมัน มีลวดลายเป็นแบบคอนเซนทริกที่มีสไปร์ลนิวเคลียส (concentric with spiral) (รูปที่ 35 ง)

#### จุดสำรวจที่ 5 น้ำตกผาคาด

เปลือกหอยมีขนาดเล็ก รูปทรงเป็นกรวยรูปไข่ค่อนข้างกลม (ขนาดของมุนสไปร์ประมาณ  $67^{\circ}$ ) ขนาดความยาวเฉลี่ย  $10.5 \pm 2.10$  มิลลิเมตร ความกว้างเฉลี่ย  $6.8 \pm 1.24$  มิลลิเมตร มีค่า size index ประมาณ  $64.76$  (รูปที่ 33 จ) เปลือกหอยมีดินเกาะหนา เมื่อแกะดินออกเปลือกหอยมีผิวเปลือกสีน้ำตาลและมีແບสีพาดตามขวางของเปลือก และมีเปลือกหอยบางส่วนที่พบແບสีพาดตามขวางไปถึงส่วนของสไปร์เวิร์ลด้วย ผิวเปลือกไม่เรียบเป็นเส้นที่อยู่ในระนาบเดียวกับแนวการขดวนของเปลือก (spiral line) ส่วนฐานเปลือกพบลวดลายที่เป็นเส้นชัดเจนกว่าบริเวณอื่น ลักษณะการขดวนของเปลือกเป็นแบบวนขวา (dextral) เปลือกหอยมีส่วนของบอดีเวิร์ลใหญ่และกว้างกว่าส่วนสไปร์เวิร์ล (รูปที่ 34 จ) ความยาวเฉลี่ยของบอดีเวิร์ล  $5.89 \pm 0.95$  มิลลิเมตร ชูเชอร์เป็นแบบลึกและมีร่องเล็กน้อย ปากเปลือกมีขนาดความยาวเฉลี่ย  $5.24 \pm 0.85$  มิลลิเมตร ความกว้างเฉลี่ย  $3.42 \pm 0.57$  มิลลิเมตร ขอบปากเปลือกส่วนฐานโค้ง

มน เกิร์ลของเปลือกหอยมีจำนวน 6.0 – 7.0 เกิร์ล (ตารางที่ 2, 3 และ 4) แผ่นปิดปากเปลือก (operculum) บาง เป็นมัน มีลวดลายเป็นแบบ同心ชนทริกที่มี สไปรัลนิวเคลียส (concentric with spiral) (รูปที่ 35 จ)

#### จุดสำรวจที่ 6 น้ำพุห้วยเขียง

เปลือกหอยมีขนาดเล็ก รูปทรงเป็นรูปกรวยกลม (ขนาดของมุมสไปร์ประมาณ  $75^{\circ}$ ) ขนาดความยาวเฉลี่ย  $9.25 \pm 1.76$  มิลลิเมตร ความกว้างเฉลี่ย  $6.57 \pm 1.10$  มิลลิเมตร มีค่า size index ประมาณ 71.01 (รูปที่ 33 ฉ) เปลือกหอยมีสีน้ำตาลและมีແບສີພາດตามขวางของเปลือก จากส่วนบอดีเกิร์ลไปถึงส่วนสไปร์เกิร์ล ผิวเปลือกไม่เรียบเป็นเส้นที่อยู่ในระหว่างเดียวกับแนวการขดวนของเปลือก (spiral line) ส่วนฐานเปลือกพบลวดลายที่เป็นเส้นชัดเจนกว่าบริเวณอื่น ลักษณะการขดวนของเปลือกเป็นแบบวนขวา (dextral) เปลือกหอยมีส่วนของบอดีเกิร์ลใหญ่และกว้างกว่าส่วนสไปร์เกิร์ล (รูปที่ 34 ฉ) ความยาวเฉลี่ยของบอดีเกิร์ล  $5.97 \pm 1.04$  มิลลิเมตร ชูเชอร์เป็นแบบลึก ปากเปลือกมีขนาดความยาวเฉลี่ย  $5.21 \pm 0.94$  มิลลิเมตร ความกว้างเฉลี่ย  $3.46 \pm 0.67$  มิลลิเมตร ขอบปากเปลือกส่วนฐานโค้งมน เกิร์ลของเปลือกหอยมีจำนวน 5.5 – 7.25 เกิร์ล (ตารางที่ 2, 3 และ 4) ผิวของprotoconch มีลวดลายบนผิวเป็นเส้นวนตามแนวการขดวนของหอย แผ่นปิดปากเปลือก (operculum) บาง เป็นมัน มีลวดลายเป็นแบบ同心ชนทริกที่มีสไปรัลนิวเคลียส (concentric with spiral) (รูปที่ 35 ฉ)

#### จุดสำรวจที่ 7 ลำคลองป่าชุมชนบ้านท่ามะเดื่อ

เปลือกหอยมีขนาดเล็ก รูปทรงเป็นกรวยรูปไข่ค่อนข้างกลม (ขนาดของมุมสไปร์ประมาณ  $65^{\circ}$ ) ขนาดความยาวเฉลี่ย  $7.9 \pm 1.92$  มิลลิเมตร ความกว้างเฉลี่ย  $4.9 \pm 0.89$  มิลลิเมตร มีค่า size index ประมาณ 62.45 (รูปที่ 33 ช) เปลือกหอยมีดินกาแฟแนบเปลือกหอยมีผิวเปลือกเรียบสีน้ำตาลออกรสีขาว และมีແບສີພາດตามขวางของเปลือก ส่วนสไปร์ (spine) สูง ส่วนฐานเปลือกพบลวดลายที่เป็นเส้นมีลักษณะแบบเส้นที่เป็นร่องตามแนวการขดวนของเปลือกหอย ลักษณะการขดวนของเปลือกเป็นแบบวนขวา (dextral) เปลือกหอยมีส่วนของบอดีเกิร์ลใหญ่และกว้างกว่าส่วนสไปร์เกิร์ล (รูปที่ 34 ช) ความยาวเฉลี่ยของบอดีเกิร์ล  $4.33 \pm 0.94$  มิลลิเมตร ชูเชอร์เป็นแบบลึกปากเปลือกมีขนาดความยาวเฉลี่ย  $3.89 \pm 0.84$  มิลลิเมตร ความกว้างเฉลี่ย  $2.45 \pm 0.57$  มิลลิเมตร ขอบปากเปลือกส่วนฐานโค้งมน เกิร์ลของเปลือกหอยมีจำนวน 6.0 – 7.0 เกิร์ล (ตารางที่ 2, 3 และ 4) แผ่นปิดปากเปลือก (operculum) บาง เป็น

มัน มีลวดลายเป็นแบบค่อนเขนทวิกที่มีสีไปร์ลนิวเคลียส (concentric with spiral) (รูปที่ 35 ฯ)

#### จุดสำรวจที่ 8 น้ำตกเกริงกระดิ่ง

เปลือกหอยมีขนาดเล็กๆ รูปวงกลม (ขนาดมุ่สไปร์ประมาณ  $75^{\circ}$ ) ขนาดความยาวเฉลี่ย  $9.63 \pm 1.17$  มิลลิเมตร ความกว้างเฉลี่ย  $6.89 \pm 0.86$  มิลลิเมตร มีค่า size index ประมาณ  $71.62$  (รูปที่ 33 ฯ) เปลือกหอยมีสีน้ำตาลและมีแถบสีพาดตามยาวของเปลือก ผิวเปลือกไม่เรียบ มีเส้นแนวขวางของเปลือก (spiral line) ส่วนสไปร์สูง ฐานเปลือกพบลวดลายที่เป็นเส้นชัดเจนกว่าบริเวณอื่น ลักษณะการข่วนของเปลือกเป็นแบบขวา (dextral) เปลือกหอยมีส่วนของบอดีเกิร์ลใหญ่และกว้างกว่าสไปร์เกิร์ล (รูปที่ 34 ฯ) ความยาวเฉลี่ยของบอดีเกิร์ล  $5.82 \pm 0.76$  มิลลิเมตร ชูเชอร์เป็นแบบลึกและมีร่องเล็กน้อย ปากเปลือกมีขนาดความยาวเฉลี่ย  $4.77 \pm 0.53$  มิลลิเมตร ความกว้างเฉลี่ย  $3.18 \pm 0.38$  มิลลิเมตร ขอบปากเปลือกส่วนฐานโค้งมน เกิร์ลของเปลือกมีจำนวน  $6.5-7.0$  เกิร์ล และมีการสักคร่อมเล็กน้อย (ตารางที่ 2, 3 และ 4) ผิวของprotoconch มีลวดลายบนผิวเป็นเส้นวนตามแนวการข่วนของหอย แผ่นปิดปากเปลือก (operculum) บางเป็นมัน มีลวดลายเป็นแบบค่อนเขนทวิกที่มีสีไปร์ลนิวเคลียส (concentric with spiral) (รูปที่ 35 ฯ)

#### จุดสำรวจที่ 9 น้ำตกไดซ่องถ่อง

เปลือกหอยมีขนาดเล็ก รูปวงกลม (ขนาดมุ่สไปร์ประมาณ  $74^{\circ}$ ) ขนาดความยาวเฉลี่ย  $8.6 \pm 1.01$  มิลลิเมตร ความกว้างเฉลี่ย  $6.38 \pm 0.79$  มิลลิเมตร มีค่า size index ประมาณ  $74.13$  (รูปที่ 33 ณ) เปลือกหอยมีสีน้ำตาลอ่อนและมีแถบสีพาดตามยาวของเปลือก ผิวเปลือกไม่เรียบ มีเส้นแนวขวางของเปลือก (spiral line) ส่วนฐานของเปลือกพบลวดลายที่ชัดเจนกว่าบริเวณอื่น ลักษณะการข่วนของเปลือกเป็นแบบขวา (dextral) เปลือกหอยมีส่วนของบอดีเกิร์ลใหญ่และกว้างกว่าสไปร์เกิร์ล (รูปที่ 34 ณ) ความยาวเฉลี่ยของบอดีเกิร์ล  $5.05 \pm 0.70$  มิลลิเมตร ชูเชอร์เป็นแบบลึกและมีร่องเล็กน้อย ปากเปลือกมีขนาดความยาวเฉลี่ย  $4.43 \pm 0.63$  มิลลิเมตร ความกว้างเฉลี่ย  $3.09 \pm 0.39$  มิลลิเมตร ขอบปากเปลือกส่วนฐานโค้งมน เกิร์ลของเปลือกมีจำนวน  $6.75-7.25$  เกิร์ล (ตารางที่ 2, 3 และ 4) ผิวของprotoconch มีลวดลายบนผิวเป็นเส้นวนตามแนวการข่วนของหอย แผ่นปิดปากเปลือก (operculum) บางเป็นมัน มีลวดลายเป็นแบบค่อนเขนทวิกที่มีสีไปร์ลนิวเคลียส (concentric with spiral) (รูปที่ 35 ณ)

### จุดสำรวจที่ 10 น้ำตกตะเคียนทอง

เปลือกหอยมีขนาดกลาง รูปกรวยกลม (ขนาดมุมสไปร์ประมาณ  $77^{\circ}$ ) ขนาดความยาวเฉลี่ย  $11.09 \pm 1.87$  มิลลิเมตร ความกว้างเฉลี่ย  $8.10 \pm 1.32$  มิลลิเมตร มีค่า size index ประมาณ 73.04 (รูปที่ 33 ญ) เปลือกหอยมีสีน้ำตาลและมีแบบสีพาดตามขวางของเปลือก ผิวเปลือกไม่เรียบ มีเส้นแนวขวางของเปลือก (spiral line) ส่วนสไปร์สูง ฐานเปลือกพบลดลายที่เป็นเส้นชัดเจนกว่าบริเวณอื่น ลักษณะการข่วนของเปลือกเป็นแบบวนขวา เปลือกหอยมีส่วนขอนบอดีเวิร์ลใหญ่และกว้างกว่าสไปร์เวิร์ล (รูปที่ 34 ญ) ความยาวเฉลี่ยของบอดีเวิร์ล  $6.73 \pm 0.99$  มิลลิเมตร ซูเชอร์เป็นแบบลึกและมีร่องเล็กน้อย ปากเปลือกมีขนาดความยาวเฉลี่ย  $6.02 \pm 0.84$  มิลลิเมตร ความกว้างเฉลี่ย  $3.93 \pm 0.69$  มิลลิเมตร ขอบปากเปลือกส่วนฐานโค้งมน เวิร์ลของเปลือกมีจำนวน 6.25-7.5 เวิร์ล (ตารางที่ 2, 3 และ 4) ผิวของprotoconch (protoconch) มีลดลายบนผิวเป็นเส้นวนตามแนวการข่วนของหอย แผ่นปิดปากเปลือก (operculum) บางเป็นมัน มีลดลายเป็นแบบคอนเซนทริกที่มีสไปรัลโนวเคลียต (concentric with spiral) (รูปที่ 35 ญ)

#### ◆ การศึกษาลักษณะฟันของหอย

ผลการศึกษาลักษณะฟันของหอยน้ำจืด *Paludomus* spp. ที่เก็บจากจุดสำรวจทั้ง 10 พื้นที่เป็นดังนี้

### จุดสำรวจที่ 1 น้ำตกไทรโยคน้อย

หอยที่พบมีลักษณะแผ่นฟันยาวเฉลี่ย  $1.61 \pm 0.01$  มิลลิเมตร กว้างเฉลี่ย  $0.52 \pm 0.02$  มิลลิเมตร (ตารางที่ 5) พันของหอยเป็นแบบทินิโอกล็อกซ่า (*Taenioglossa*) มีสูตรฟัน (dentition formula) เป็นแบบ  $2:1:1:1::2$  คือมีฟันกลาง (central teeth) 1 ชี พันข้าง (lateral teeth) ด้านละ 1 ชี และฟันริม 2 ชี แบ่งเป็นฟันภายใน (inner marginal teeth) ด้านละ 1 ชี พันละอียด (outer marginal teeth) ด้านละ 1 ชี (รูปที่ 36 ก)

ลักษณะฟันกลางมีหยักที่ใหญ่อยู่ตรงกลาง 1 หยัก และมีหยักเล็กด้านละ 2-4 หยัก คือมีลักษณะหยักพัน (cusps formula) เป็น  $2-4:1:2-4$  พันข้างมีอยู่ด้านละ 1 ชี มีลักษณะหยักเป็น  $3-4:1:3-4$  หยักตรงกลางมีขนาดใหญ่ หยักด้านข้างเป็นหยักเล็กๆ และหยักพันข้างด้านที่ติดกับพันกลางส่วนใหญ่จะมีจำนวนหยักพันน้อยกว่าอีกด้านหนึ่ง (รูปที่ 37 ก และ 39 ก) พันริมมี 2 แบบคือมีฟันหมายอยู่ด้านในมีหยักพันขนาดเท่าๆ กันอยู่ประมาณ 7-8 หยัก พันละอียดอยู่ด้านนอกมีหยักพันประมาณ 11-13 หยัก (ตารางที่ 6) (รูปที่ 38 ก และ 40 ก)

### จุดสำรวจที่ 2 น้ำตกไทรโยคใหญ่

หอยทิพบมีลักษณะแผ่นพันยาวยเฉลี่ยประมาณ  $1.53 \pm 0.04$  มิลลิเมตร กว้างเฉลี่ย  $0.46 \pm 0.04$  มิลลิเมตร (ตารางที่ 5) พื้นของหอยเป็นแบบทินიโกลอซชา มีสูตรพื้นเป็นแบบ  $2:1:1:1::2$  คือมีพื้นกลาง 1 ชี พื้นข้างด้านละ 1 ชี และพื้นริมมีพื้นหยาบด้านละ 1 ชี พื้นละเอียดด้านละ 1 ชี (รูปที่ 36 ข)

ลักษณะพื้นกลางมีหยักที่ใหญ่อยู่ตรงกลาง 1 หยัก และมีหยักเล็กด้านละ 2 – 3 หยัก คือมีลักษณะหยักพื้นเป็น  $2-3:1:2-3$  พื้นข้างมีอยู่ด้านละ 1 ชี มีลักษณะหยักเป็น  $3-4:1:3-4$  หยักตรงกลางมีขนาดใหญ่ หยักด้านข้างเป็นหยักเล็กๆ และหยักพื้นข้างด้านที่ติดกับพื้นกลางส่วนใหญ่จะมีจำนวนหยักพื้นน้อยกว่าอีกด้านหนึ่ง เช่นเป็นแบบ  $4-1-3$  หรือเป็น  $3-1-2$  เป็นต้น (รูปที่ 37 ข และ 39 ข) พื้นริมมี 2 แบบคือมีพื้นหยาบอยู่ด้านในมีหยักพื้นขนาดเท่าๆ กันอยู่ประมาณ 7-8 หยัก พื้นละเอียดอยู่ด้านนอกมีหยักพื้นประมาณ 11 หยัก (ตารางที่ 6) (รูปที่ 38 ข และ 40 ข)

### จุดสำรวจที่ 3 หัวยatedำ

หอยทิพบมีลักษณะแผ่นพันยาวยเฉลี่ยประมาณ  $1.60 \pm 0.01$  มิลลิเมตร กว้างเฉลี่ย  $0.47 \pm 0.03$  มิลลิเมตร (ตารางที่ 5) พื้นของหอยเป็นแบบทินิโกลอซชา มีสูตรพื้นเป็นแบบ  $2:1:1:1::2$  คือมีพื้นกลาง 1 ชี พื้นข้างด้านละ 1 ชี และพื้นริมมีพื้นหยาบด้านละ 1 ชี พื้นละเอียดด้านละ 1 ชี (รูปที่ 36 ค)

ลักษณะพื้นกลางมีหยักที่ใหญ่อยู่ตรงกลาง 1 หยัก และมีหยักเล็กด้านละ 5 หยัก คือมีลักษณะหยักพื้นเป็น  $5:1:5$  พื้นข้างมีอยู่ด้านละ 1 ชี มีลักษณะหยักเป็น  $5:1:5$  หยักตรงกลางมีขนาดใหญ่มากและกว้างกว่าหยักด้านข้างที่มีขนาดเล็กๆ มา (รูปที่ 37 ค และ 39 ค) พื้นริมมี 2 แบบคือ มีพื้นหยาบอยู่ด้านในมีหยักพื้นขนาดเท่าๆ กันอยู่ประมาณ 7 หยัก พื้นละเอียดอยู่ด้านนอกมีหยักพื้นประมาณ 24 หยัก และรอยหยักของพื้นละเอียดมีลักษณะเป็นร่องตื้นๆ ต่างจากหอยที่เก็บจากจุดสำรวจอื่น (ตารางที่ 6) (รูปที่ 38 ค และ 40 ค)

### จุดสำรวจที่ 4 ลำธารข้างบ่อน้ำพุร้อนหินดาด

หอยทิพบมีลักษณะแผ่นพันยาวยเฉลี่ยประมาณ  $1.67 \pm 0.02$  มิลลิเมตร กว้างเฉลี่ย  $0.54 \pm 0.02$  มิลลิเมตร (ตารางที่ 5) พื้นของหอยเป็นแบบทินิโกลอซชา มีสูตรพื้นเป็นแบบ  $2:1:1:1::2$  คือมีพื้นกลาง 1 ชี พื้นข้างด้านละ 1 ชี และพื้นริมมีพื้นหยาบด้านละ 1 ชี พื้นละเอียดด้านละ 1 ชี (รูปที่ 36 ง)

ลักษณะพื้นกลางมีหยักที่ใหญ่อยู่ตรงกลาง 1 หยัก และมีหยักเล็กด้านละ 2 – 3 หยัก คือมีลักษณะหยักพื้นเป็น 2-3 :1: 2-3 พื้นข้างมีอยู่ด้านละ 1 ซี. มีลักษณะหยักเป็น 3-5 :1: 3-5 หยักตรงกลางมีขนาดใหญ่ หยักด้านข้างเป็นหยักเล็กๆ และหยักพื้นข้างด้านที่ติดกับพื้นกลางส่วนใหญ่จะมีจำนวนหยักพื้นน้อยกว่าอีกด้านหนึ่ง เช่น เป็นแบบ 4-1-2 หรือเป็น 5-1-2 เป็นต้น (รูปที่ 37 ง และ 39 ง) พื้นริมมี 2 แบบคือมีพื้นหยาบอยู่ด้านในมีหยักพื้นขนาดเท่าๆ กันอยู่ประมาณ 7 หยัก พื้นละเอียดอยู่ด้านนอกมีหยักพื้นประมาณ 11 หยัก (ตารางที่ 6) (รูปที่ 38 ง และ 40 ง)

#### จุดสำรวจที่ 5 น้ำตกผาตาด

หอยที่พบมีลักษณะแผ่นพื้นยาวเฉลี่ยประมาณ  $1.78 \pm 0.03$  มิลลิเมตร กว้างเฉลี่ย  $0.52 \pm 0.01$  มิลลิเมตร (ตารางที่ 5) พื้นของหอยเป็นแบบหินโกลอชชา มีสูตรพื้นเป็นแบบ 2:1:1:1::2 คือมีพื้นกลาง 1 ซี. พื้นข้างด้านละ 1 ซี และพื้นริมมีพื้นหยาบด้านละ 1 ซี พื้นละเอียดด้านละ 1 ซี (รูปที่ 36 จ)

ลักษณะพื้นกลางมีหยักที่ใหญ่อยู่ตรงกลาง 1 หยัก และมีหยักเล็กด้านละ 3 หยัก คือมีลักษณะหยักพื้นเป็น 3:1:3 พื้นข้างมีอยู่ด้านละ 1 ซี มีลักษณะหยักเป็น 3-6:1:2-4 หยัก ตรงกลางมีขนาดใหญ่ หยักด้านข้างเป็นหยักเล็กๆ และหยักพื้นข้างด้านที่ติดกับพื้นกลางจะมีจำนวนหยักพื้นน้อยกว่าอีกด้านหนึ่ง (รูปที่ 37 จ และ 39 จ) พื้นริมมี 2 แบบคือมีพื้นหยาบอยู่ด้านในมีหยักพื้นขนาดเท่าๆ กันอยู่ประมาณ 8 และ 10 หยัก พื้นละเอียดอยู่ด้านนอกมีหยักพื้นประมาณ 11 13 และ 16 หยัก (ตารางที่ 6) (รูปที่ 38 จ และ 40 จ)

#### จุดสำรวจที่ 6 น้ำพุหัวยเขย่ง

หอยที่พบมีลักษณะแผ่นพื้นยาวเฉลี่ยประมาณ  $1.68 \pm 0.02$  มิลลิเมตร กว้างเฉลี่ย  $0.54 \pm 0.02$  มิลลิเมตร (ตารางที่ 5) พื้นของหอยเป็นแบบหินโกลอชชา มีสูตรพื้นเป็นแบบ 2:1:1:1::2 คือมีพื้นกลาง 1 ซี พื้นข้างด้านละ 1 ซี และพื้นริมมีพื้นหยาบด้านละ 1 ซี พื้นละเอียดด้านละ 1 ซี (รูปที่ 36 ฉ)

ลักษณะพื้นกลางมีหยักที่ใหญ่อยู่ตรงกลาง 1 หยัก และมีหยักเล็กด้านละ 3 หยัก คือมีลักษณะหยักพื้นเป็น 3:1:3 พื้นข้างมีอยู่ด้านละ 1 ซี มีลักษณะหยักเป็น 4-5:1:1-2 หยัก ตรงกลางมีขนาดใหญ่ หยักด้านข้างเป็นหยักเล็กๆ และหยักพื้นข้างด้านที่ติดกับพื้นกลางส่วนใหญ่จะมีจำนวนหยักพื้นน้อยกว่าอีกด้านหนึ่ง (รูปที่ 37 ฉ และ 39 ฉ) พื้นริมมี 2 แบบคือมีพื้นหยาบอยู่ด้านในมีหยักพื้นขนาดเท่าๆ กันอยู่ประมาณ 7 หยัก พื้นละเอียดอยู่ด้านนอกมีหยักพื้นประมาณ 11 หยัก (ตารางที่ 6) (รูปที่ 38 ฉ และ 40 ฉ)

### จุดสำรวจที่ 7 ลำธารป่าชุมชนบ้านท่ามะเดื่อ

หอยทิพมีลักษณะแผ่นพื้นยาวเฉลี่ยประมาณ  $1.87 \pm 0.06$  มิลลิเมตร กว้างเฉลี่ย  $0.46 \pm 0.01$  มิลลิเมตร (ตารางที่ 5) พื้นของหอยเป็นแบบทินิโอกลอซชา มีสูตรพื้นเป็นแบบ  $2:1:1:1::2$  คือมีพื้นกลาง 1 ซี. พื้นข้างด้านละ 1 ซี. และพื้นริมมีพื้นหยาบด้านละ 1 ซี. พื้นละเอียดด้านละ 1 ซี. (รูปที่ 36 ฯ)

ลักษณะพื้นกลางมีหยักที่ใหญ่อยู่ตรงกลาง 1 หยัก และมีหยักเล็กด้านละ 2 – 3 หยัก คือมีลักษณะหยักพื้นเป็น  $2-3:1:2-3$  พื้นข้างมีอยู่ด้านละ 1 ซี. มีลักษณะหยักเป็น  $3-4:1:2-3$  หยักตรงกลางมีขนาดใหญ่ หยักด้านข้างเป็นหยักเล็กๆ และหยักพื้นข้างบางส่วนด้านที่ติดกับพื้นกลางส่วนใหญ่จะมีจำนวนหยักพื้นน้อยกว่าอีกด้านหนึ่ง เช่นเป็นแบบ  $3-1-2$  เป็นต้น (รูปที่ 37 ฯ และ 39 ฯ) พื้นริมมี 2 แบบคือมีพื้นหยาบอยู่ด้านในมีหยักพื้นขนาดเท่าๆ กันอยู่ประมาณ 8-9 หยัก พื้นละเอียดอยู่ด้านนอกมีหยักพื้นประมาณ 14 หยัก (ตารางที่ 6) (รูปที่ 38 ฯ และ 40 ฯ)

### จุดสำรวจที่ 8 น้ำตกเกริงกระเวียง

ลักษณะแผ่นพื้นยาวเฉลี่ยประมาณ  $1.81 \pm 0.03$  มิลลิเมตร กว้างเฉลี่ย  $0.40 \pm 0.01$  มิลลิเมตร (ตารางที่ 5) พื้นของหอยเป็นแบบทินิโอกลอซชา มีสูตรพื้นเป็นแบบ  $2:1:1:1:2$  คือมีพื้นกลาง 1 ซี. พื้นข้างด้านละ 1 ซี. และพื้นริมมีพื้นหยาบด้านละ 1 ซี. พื้นละเอียดด้านละ 1 ซี. (รูปที่ 36 ฯ)

ลักษณะพื้นกลางมีหยักที่ใหญ่อยู่ตรงกลาง 1 หยัก และมีหยักเล็กด้านละ 3-4 หยัก คือมีลักษณะหยักพื้นเป็น  $3-4:1:3-4$  พื้นข้างมีอยู่ด้านละ 1 ซี. มีลักษณะหยักเป็น  $3-4:1:2$  หยักตรงกลางมีขนาดใหญ่ หยักด้านข้างเป็นหยักเล็กๆ และหยักพื้นข้างด้านที่ติดกับพื้นกลาง ส่วนใหญ่จะมีจำนวนหยักพื้นน้อยกว่าอีกด้านหนึ่ง (รูปที่ 37 ฯ และ 39 ฯ) พื้นริมมี 2 แบบคือ มีพื้นหยาบอยู่ด้านในมีหยักพื้นขนาดเท่าๆ กันอยู่ประมาณ 7-8 หยัก พื้นละเอียดอยู่ด้านนอกมีหยักพื้นประมาณ 11-13 หยัก (ตารางที่ 6) (รูปที่ 38 ฯ และ 40 ฯ)

### จุดสำรวจที่ 9 น้ำตกไดซ่องถ่อง

ลักษณะแผ่นพื้นยาวเฉลี่ยประมาณ  $1.81 \pm 0.01$  มิลลิเมตร กว้างเฉลี่ย  $0.42 \pm 0.02$  มิลลิเมตร (ตารางที่ 5) พื้นของหอยเป็นแบบทินิโอกลอซชา มีสูตรพื้นเป็นแบบ  $2:1:1:1:2$  คือมีพื้นกลาง 1 ซี. พื้นข้างด้านละ 1 ซี. และพื้นริมมีพื้นหยาบด้านละ 1 ซี. พื้นละเอียดด้านละ 1 ซี. (รูปที่ 36 ณ)

ลักษณะพื้นกลางมีหยักที่ใหญ่อยู่ตรงกลาง 1 หยัก และมีหยักเล็กด้านละ 2 – 3 หยัก คือมีลักษณะหยักพื้นเป็น 2-3 :1: 2-3 พื้นข้างมีอยู่ด้านละ 1 ซี มีลักษณะหยักเป็น 3-4 :1: 2-3 หยักตรงกลางมีขนาดใหญ่ หยักด้านข้างเป็นหยักเล็กๆ และหยักพื้นข้างบางส่วนด้านที่ติดกับพื้นกลางส่วนใหญ่จะมีจำนวนหยักพื้นน้อยกว่าอีกด้านหนึ่ง เช่นเป็นแบบ 3-1-2 เป็นต้น (รูปที่ 37 ณ และ 39 ณ) พื้นริมมี 2 แบบคือมีพื้นหยาบอยู่ด้านในมีหยักพื้นขนาดเท่าๆ กันอยู่ประมาณ 7-8 หยัก พื้นจะเอียงด้วยด้านนอกมีหยักพื้นประมาณ 11-12 หยัก (ตารางที่ 6) (รูปที่ 38 ณ และ 40 ณ)

#### จุดสำรวจที่ 10 น้ำตกตะเคียนทอง

ลักษณะแห่งพื้นยานเฉลี่ยประมาณ  $1.81 \pm 0.01$  มิลลิเมตร กว้างเฉลี่ย  $0.49 \pm 0.03$  มิลลิเมตร (ตารางที่ 5) พื้นของหอยเป็นแบบที่นิโกลอซชา มีสูตรพื้นเป็นแบบ 2:1:1:1:2 คือมีพื้นกลาง 1 ซี พื้นข้างด้านละ 1 ซี และพื้นริมมีพื้นหยาบด้านละ 1 ซี พื้นจะเอียงด้านละ 1 ซี (รูปที่ 36 ณ)

ลักษณะพื้นกลางมีหยักที่ใหญ่อยู่ตรงกลาง 1 หยัก และมีหยักเล็กด้านละ 2-3 หยัก คือมีลักษณะหยักพื้นเป็น 2-3 :1: 2-3 พื้นข้างมีอยู่ด้านละ 1 ซี มีลักษณะหยักเป็น 3-5 :1: 2 หยักตรงกลางมีขนาดใหญ่ หยักด้านข้างเป็นหยักเล็กๆ และหยักพื้นข้างด้านที่ติดกับพื้นกลาง ส่วนใหญ่จะมีจำนวนหยักพื้นน้อยกว่าอีกด้านหนึ่ง (รูปที่ 37 ณ และ 39 ณ) พื้นริมมี 2 แบบ คือมีพื้นหยาบอยู่ด้านในมีหยักพื้นขนาดเท่าๆ กันอยู่ประมาณ 7-8 หยัก พื้นจะเอียงด้วยด้านนอก มีหยักพื้นประมาณ 11-12 หยัก (ตารางที่ 6) (รูปที่ 38 ณ และ 40 ณ)

#### ◆ ผลการศึกษาลักษณะทางกายวิภาค

ในการศึกษาครั้งนี้ทำการศึกษาลักษณะทางกายวิภาคของหอยน้ำจืด *Paludomus* spp. ที่เก็บจากจุดสำรวจทั้ง 10 พื้นที่ โดยศึกษาโครงสร้างลำตัวภายนอก (ส่วนหัว, ส่วนคอ และแผ่นเท้า) และโครงสร้างลำตัวภายใน (ระบบทางเดินอาหาร ระบบลําเลียง และระบบสืบพันธุ์) ของหอย พบร่วมกับเปลือกหอยของสามารถมองผ่านผนังลำตัวของหอยเห็นการจัดเรียงตัวของอวัยวะภายนอกและอวัยวะภายในบางส่วนของหอยได้ พบร่วมกับการจัดเรียงโครงสร้าง อวัยวะต่างๆ ของหอยน้ำจืด *Paludomus* spp. ทั้งเพศผู้ และเพศเมียเหมือนกัน (รูปที่ 41, 42) ผลการศึกษาลักษณะและขนาดของอวัยวะต่าง ๆ เป็นดังนี้

### จุดสำรวจที่ 1 น้ำตกไทรโยคน้อย

โครงสร้างภายนอกของหอย เริ่มจากส่วนหัวของหอย ส่วนหัวอยู่บริเวณด้านหน้าของหอย ในหอยน้ำจืด *Paludomus spp.* ที่เก็บตัวอย่างจากจุดสำรวจนี้พบว่าส่วนหัวยังออกไปเล็กน้อยทำให้เห็นเป็นลักษณะอ้วนสันเรียกสเนาท์ (snout) ด้านหลังปากจะพบเทนเทเดล 1 คู่ และพบตาซึ่งมี 1 คู่ ที่บริเวณโคนเทนเทเดล ที่ส่วนหัวและเทนเทเดลพบรองคัตตุสีเขียวเหลือง กระჯัดกระจาຍอย่างสมำเสมอและมีร่องคัตตุเมลานินปักคลุมอยู่ทำให้เห็นเทนเทเดลมีลักษณะเหมือนเป็นข้อปล้อง (รูปที่ 43ก, 44ก) ส่วนคอเป็นส่วนที่อยู่ติดจากส่วนหัวและอยู่บริเวณหลังเทนเทเดล ในหอยเพศผู้ไม่พบว่ามีเทิร์จ (verge) หรือเพนนิสยื่นออกมาที่บริเวณคอด้านบน ส่วนแผ่นเท้าเป็นส่วนที่อยู่ติดส่วนหัวไปทางด้านหลัง ด้านบนของแผ่นเท้าติดกับด้านข้างของลำตัว มีแผ่นไขเพอร์คิลลัมอยู่ที่ด้านบนและท้ายของแผ่นเท้า แผ่นเท้าของหอยมีลักษณะกว้าง และเป็นกล้ามเนื้อหนา พบรงคัตตุสีเขียวเหลือง กระჯัดกระจาຍอย่างสมำเสมออบนแผ่นเท้าของหอย ส่วนแม่นเทล แม่นเทลจะปักคลุมส่วนหัวและคอ ส่วนสุดท้ายของแม่นเทลติดกับส่วนอวัยวะภายใน ใต้แม่นเทลมีช่องระหว่างแม่นเทลกับตัวหอยเรียกว่าช่องแม่นเทล ภายในแม่นเทลของหอยจะพบส่วนปลายของระบบสีบพันธุ์ ส่วนปลายของระบบทางเดินอาหาร เช่น เกรตรัม เอนัส ไต หัวใจ เหงือก ต่อมໄออิพะเบรงเคียล และอสเพรเดียม ที่ขอบของแม่นเทลซึ่งอยู่บริเวณหน้าสุดมีลักษณะเป็นปุ่มยื่นออกมา (fringe of processes) พบรงคัตตุสีเขียวกระจาຍอย่างสมำเสมอ บนแม่นเทล แม่นเทลมีความยาวเฉลี่ย  $7.09 \pm 1.06$  มิลลิเมตร (แม่นเทลของหอยเพศผู้มีความยาวเฉลี่ย  $7.43 \pm 0.43$  และหอยเพศเมียมีความยาวเฉลี่ย  $6.85 \pm 1.32$ , ตารางที่ 7, 17)

โครงสร้างภายในของหอย เมื่อผ่าตัวหอยในแนวยาวของลำตัว จะพบระบบอวัยวะภายใน เช่นระบบสีบพันธุ์ ระบบทางเดินอาหาร เป็นต้น (รูปที่ 45 ก, 46 ก) ระบบทางเดินอาหารของหอยเริ่มจากส่วนปากที่อยู่หน้าสุด จะพบปากอยู่ที่ปลายสเนาท์ รอบ ๆ ปากจะหนา เรียกวิริมฝีปาก ช่องปากไปเปิดที่ช่องบักคัล (buccal cavity) หรือฟาริงซ์ (pharynx) ภายในฟาริงซ์จะมีขากรรไกรและแรดคลา ส่วนที่แรดคลาบรรจุอยู่เรียกว่าบักคัลแมส (buccal mass) ซึ่งมีความยาวเฉลี่ยประมาณ  $2.13 \pm 0.23$  มิลลิเมตร (หอยเพศผู้มีความยาวเฉลี่ย  $2.20 \pm 0.19$  และหอยเพศเมียมีความยาวเฉลี่ย  $2.08 \pm 0.26$ ) บักคัลแมสต่อ กับหลอดอาหารซึ่งมีลักษณะเป็นท่อยาว ด้านข้างของหลอดอาหารมีต่อมน้ำลาย 1 คู่ หลอดอาหารมีความยาวเฉลี่ย  $8.08 \pm 1.39$  มิลลิเมตร (หอยเพศผู้มีความยาวเฉลี่ย  $8.28 \pm 1.44$  และหอยเพศเมียมีความยาวเฉลี่ย  $7.88 \pm 1.46$ ) ส่วนท้ายของหลอดอาหารต่อ กับกระเพาะอาหารมีลักษณะคล้ายถุงสีส้ม

อ่อนอยู่ติดต่อกับตับ บริเวณส่วนท้ายของกระเพาะอาหารมีถุงสีตัลภาຍในบรรจุคริสทัลลีนส์ไทร์ ลักษณะเป็นแท่งใสเมื่อเอ็นไขมันขี้วายยื่นอยู่จากกระเพาะอาหาร กระเพาะอาหารส่วนนี้มีผนังกระเพาะที่หนาและมีผิวด้านในมันเรียบ แกสตրิกชีล์ด บริเวณที่ต่อจากกระเพาะอาหารคือลำไส้ ซึ่งอยู่ที่ด้านหน้ากระเพาะอาหาร ลำไส้มีความยาวเฉลี่ย  $8.52 \pm 1.44$  มิลลิเมตร (หอยเพศผู้มีความยาวเฉลี่ย  $8.64 \pm 1.44$  และหอยเพศเมียมีความยาวเฉลี่ย  $8.40 \pm 1.61$ ) บริเวณส่วนท้ายของลำไส้จะขยายขนาดขึ้นกลاวยเป็นเรกตัมและเปลี่ยนสูตรที่ขอบของแมนเทลที่บริเวณเอ็นซีซีเปิดออกสู่ภายนอก เรกตัมมีความยาวเฉลี่ยประมาณ  $7.72 \pm 1.39$  มิลลิเมตร (หอยเพศผู้มีความยาวเฉลี่ย  $8.48 \pm 1.34$  และหอยเพศเมียมีความยาวเฉลี่ย  $6.95 \pm 1.04$ )

ระบบลำเลียงของหอยน้ำจืด *Paludomus* spp. ที่เก็บตัวอย่างจากจุดสำรวจนี้มีหัวใจบรรจุอยู่ในช่องรอบหัวใจกลับเหงือก (ctenidium) และอยู่ระหว่างไตกับตับ หัวใจประกอบด้วยเหนทรีเคลิหนึ่งอันและออรีเคลิหนึ่งอัน อวัยวะที่ใช้ในการแลกเปลี่ยนกําชีวคือเหงือก เหงือกบรรจุอยู่ในช่องแมนเทลประกอบด้วยเซลล์รูปสามเหลี่ยมจำนวนเฉลี่ย  $81.44 \pm 6.44$  อันเรียงต่อกัน (หอยเพศผู้มีจำนวนเฉลี่ย  $83.84 \pm 6.77$  และหอยเพศเมียมีจำนวนเฉลี่ย  $79.04 \pm 5.75$ ) เหงือกมีความยาวเฉลี่ย  $6.15 \pm 0.99$  มิลลิเมตร (หอยเพศผู้มีความยาวเฉลี่ย  $5.88 \pm 1.02$  และหอยเพศเมียมีความยาวเฉลี่ย  $6.42 \pm 0.98$ ) บริเวณใกล้ๆ กับเหงือกจะมีอสเพรเดิมที่มีลักษณะเป็นต่อมสำหรับทดสอบสารเคมีในน้ำก่อนผ่านเข้าสู่เหงือก ออสเพรเดิมมีความยาวเฉลี่ย  $1.95 \pm 0.31$  มิลลิเมตร (หอยเพศผู้มีความยาวเฉลี่ย  $2.11 \pm 0.22$  และหอยเพศเมียมีความยาวเฉลี่ย  $1.82 \pm 0.33$ ) นอกจากนี้ยังพบต่อมไฮโพแบรนเดียล (สีขาวชุ่น) ซึ่งเป็นต่อมสร้างเมือกอยู่ทางด้านขวาของเหงือก (อยู่ระหว่างเหงือกและเรกตัม) ด้วย

ระบบขับถ่าย อวัยวะที่ใช้ในการกำจัดของเสียคือไต ซึ่งมีอยู่หนึ่งอันทางด้านหน้าของอวัยวะภายใน โดยอยู่ติดกับตับและช่องรอบหัวใจ トイมีสีขาวครีมถึงสีส้มอ่อน ลักษณะคล้ายถุงผนังมีลักษณะเป็นคลื่น มีความยาวเฉลี่ย  $3.84 \pm 0.35$  มิลลิเมตร (หอยเพศผู้มีความยาวเฉลี่ย  $3.94 \pm 0.33$  และหอยเพศเมียมีความยาวเฉลี่ย  $3.74 \pm 0.38$ )

ระบบสืบพันธุ์ของหอยเพศผู้เริ่มจากเทสทิส (testis) ประกอบด้วยเซลล์ขนาดเล็ก (lobe) สีส้ม เรียงตัวแตกแขนงเป็นกิ่งก้านฝังอยู่ในตับ (สีน้ำตาล) แต่ละแขนงเชื่อมกันด้วยท่อสเปร์ม (vas efferens) ก่อนจะรวมเข้าสู่ท่อนำสเปร์ม (vas deferens) เทสทิสมีความยาวเฉลี่ย  $13.80 \pm 2.79$  มิลลิเมตร ตับมีความยาวเฉลี่ย  $16.12 \pm 2.55$  มิลลิเมตร ท่อนำสเปร์มมีลักษณะเป็นท่อสีขาวใสต่อจากเทสทิสไปยังท่อสืบพันธุ์แพล เลียด (pallial gonoduct)

ลักษณะของท่อสีบพันธุ์แพลงเกียลมีสีขาว ผนังบาง พบรอยแยกตามความยาวของเมนเทิล ทำให้ท่อแพลงเกียลประกอบด้วยเนื้อเยื่อ 2 ด้าน คือเนื้อเยื่อด้านซ้าย (medial lamina) เป็นแผ่นบางสีขาว ที่ผิวด้านล่างพบเนื้อเยื่อเรียงตัวกันเป็นแนว (gonoduct groove) ส่วนเนื้อเยื่อด้านขวา (lateral lamina) จะหนากว่าทางด้านซ้าย ที่ผิวด้านในมีลักษณะเป็นร่อง (ห่อพับไปมา) ผนังด้านขวา กับทางด้านซ้ายเชื่อมต่อกันที่บริเวณใกล้กับท่อสเปร์ม ทำให้มีลักษณะเป็นถุง ท่อสีบพันธุ์แพลงเกียล มีความยาวเฉลี่ย  $4.81 \pm 1.53$  มิลลิเมตร ด้านล่างซ้ายของท่อสีบพันธุ์แพลงเกียลจะพบท่ออยู่ในอกมา (pallial tentacle) และไม่พบเพนิสยืนยาวออกไปบริเวณส่วนคอ สเปร์มของหอยที่พบมีขนาดเล็ก แบ่งเป็น 2 ชนิดคือ สเปร์มที่มีหัวสั้นกว้างยาว 1 หาง และ สเปร์มที่มีหัวเป็นแบบกระสวยมีหางยาว 6 หาง ซึ่งมีขนาดใหญ่กว่าสเปร์มที่มี 1 หาง (รูปที่ 47)

ระบบสีบพันธุ์ของหอยเพศเมีย รังไข่ (ovary) มีสีเหลืองเขียวเรียงตัวแทรกแขนงฝังอยู่ในเตับ รังไข่แต่ละแขนงประกอบด้วยเซลล์ขนาดใหญ่กว่าในเพศผู้ รังไข่มีความยาวเฉลี่ย  $13.6 \pm 1.75$  มิลลิเมตร ตับมีความยาวเฉลี่ย  $15.98 \pm 1.36$  มิลลิเมตร ท่อนำไข่เป็นท่อสีขาว เชื่อมต่อจากรังไข่ไปยังท่อนำไข่แพลงเกียล (pallial oviduct) ท่อนำไข่แพลงเกียล มีสีสันถึงสีส้ม อ่อน พบรอยแยกตามความยาวของเมนเทิลและ ประกอบด้วยเนื้อเยื่อ 2 ด้านเช่นเดียวกับในหอยเพศผู้แต่มีขนาดใหญ่และยาวกว่า มีความยาวเฉลี่ย  $6.84 \pm 1.07$  มิลลิเมตร ที่ผิวนี้อุดตันในด้านในของผนังทั้ง 2 ด้านมีลักษณะของห่อพับไปมาตามความยาวของเมนเทิล ท่อนำไข่แพลงเกียลประกอบด้วยต่อมแอลบิวมิน (albumen gland = posterior pallial oviduct) และ ต่อมแคปซูล (capsule gland = anterior pallial oviduct) นอกจากนี้ยังมีอวัยวะรับสเปร์ม (copulatory bursa) ด้วย ต่อมแอลบิวมินอยู่ที่บริเวณส่วนปลายใกล้กับท่อนำไข่ มีผนังเนื้อเยื่อบาง ขยายใหญ่ เห็นเป็นร่องลักษณะคล้ายแผ่นเหล็กเรียงชั้อนกัน มีสีส้มอ่อน ส่วนต่อมแคปซูลอยู่ส่วนปลายทางด้านขอกเมนเทิล มีสีขาว ผนังด้านนอกไม่เรียบเห็นเป็นรอยย่น ที่ผิวด้านในหนาเป็นห่อพับไปมา

#### จุดสำรวจที่ 2 น้ำตกไทรโยคใหญ่

โครงสร้างภายนอกของหอย เริ่มจากส่วนหัวของหอย ส่วนหัวอยู่บริเวณด้านหน้าของหอย ส่วนหัวยื่นออกไปเล็กน้อยทำให้เห็นเป็นลักษณะขั้วสันเรียกสนธ์ ด้านหลังปากจะพบเหนเทเดล 1 คู่ และพบตาซึ่งมี 1 คู่ ที่บริเวณโคนเหนเทเดล ที่ส่วนหัวและเหนเทเดลพบรดค วัตถุสีเขียวเหลืองกระฉับกระชากอย่างสม่ำเสมอและมีร่องคราบถุเมลานินปักคลุมอยู่ทำให้เห็นเหนเทเดลมีลักษณะเหมือนเป็นข้อปล้อง (รูปที่ 43 ฯ) ส่วนคอเป็นส่วนที่อยู่ถัดจากส่วนหัวและอยู่

บริเวณหลังเหนเทเกิด ในหอยเพศผู้ไม่พบว่ามีเพนนิสยื่นออกมาที่บริเวณคอด้านบน ส่วนแผ่นเห้า เป็นส่วนที่อยู่ติดส่วนหัวไปทางด้านหลัง ด้านบนของแผ่นเห้าติดกับด้านข้างของลำตัว มีแผ่นโน เเพอร์คิวลัมอยู่ที่ด้านบนและท้ายของแผ่นเห้า แผ่นเห้าของหอยมีลักษณะกว้าง และเป็นกล้ามเนื้อหนา พบรุคตถุสีเขียวเหลือง กระჯัดกระจาวยอย่างสม่ำเสมอบนแผ่นเห้าของหอย ส่วนเมนเทล แม่นเทลจะปักคลุมส่วนหัวและคอ ส่วนสุดท้ายของแม่นเทลติดกับส่วนอวัยวะภายใน ได้ แม่นเทลมีช่องระหว่างแม่นเทลกับตัวหอยเรียกว่าช่องแม่นเทล ภายในแม่นเทลของหอยจะพับส่วนปลายของระบบสีบพันธุ์ ส่วนปลายของระบบทางเดินอาหาร ที่ขอบของแม่นเทลซึ่งอยู่บริเวณหน้าสุดมีลักษณะเป็นปุ่มยื่นออกมา พบรุคตถุสีเขียวกระจาวยอย่างสม่ำเสมอบนแม่นเทล แม่นเทลมีความยาวเฉลี่ย  $7.23 \pm 0.72$  มิลลิเมตร (แม่นเทลของหอยเพศผู้มีความยาวเฉลี่ย  $6.75 \pm 0.24$  และ หอยเพศเมีย มีความยาวเฉลี่ย  $7.87 \pm 0.64$ , ตารางที่ 8)

โครงสร้างภายในของหอย เมื่อผ่าตัวหอยในแนวยาวของลำตัวจะพบรอบอวัยวะภายใน เช่นระบบสีบพันธุ์ ระบบทางเดินอาหาร เป็นต้น (รูปที่ 45 ข, 46 ข) ระบบทางเดินอาหารของหอยเริ่มจากส่วนปากที่อยู่หน้าสุด จะพับปากอยู่ที่ปลายสเนาท์ รอบ ๆ ปากจะหนาเรียกริมฝีปาก ซองปากไปเบิดที่ซองบักคัล หรือฟาริงส์ ภายในฟาริงส์จะมีขากรรไกรและแรดคุลา ส่วนที่เวดลับรวมอยู่เรียกว่าบักคัลแมส ซึ่งมีความยาวเฉลี่ยประมาณ  $2.60 \pm 0.17$  มิลลิเมตร (หอยเพศผู้มีความยาวเฉลี่ย  $2.58 \pm 0.18$  และหอยเพศเมีย มีความยาวเฉลี่ย  $2.63 \pm 0.17$ ) บักคัลแมสต่อ กับหลอดอาหารซึ่งมีลักษณะเป็นหอยขาว ด้านข้างของหลอดอาหารพับต่อมน้ำลาย 1 ครู่ หลอดอาหารมีความยาวเฉลี่ย  $6.24 \pm 0.63$  มิลลิเมตร (หอยเพศผู้มีความยาวเฉลี่ย  $5.98 \pm 0.42$  และหอยเพศเมีย มีความยาวเฉลี่ย  $6.50 \pm 0.76$ ) ส่วนท้ายของหลอดอาหารต่อ กับกระเพาะอาหารซึ่งมีลักษณะคล้ายถุงสีส้มอ่อนอยู่ติดต่อกับตับ บริเวณส่วนท้ายของกระเพาะอาหารมีถุงสีตัวลักษณะในบรรจุภัณฑ์ลินต์สีตัวลักษณะเป็นแท่งไข่มีเนื้อไข่ขาวอยู่อย่างอาหาร กระเพาะอาหารส่วนนี้มีผนังกระเพาะที่หนาและมีผิวด้านในมันเรียก แกสตրิกชีล์ด์ บริเวณที่ต่อจากกระเพาะอาหารคือลำไส้ ซึ่งอยู่ที่ด้านหน้ากระเพาะอาหาร ลำไส้มีความยาวเฉลี่ย  $7.43 \pm 0.41$  มิลลิเมตร (หอยเพศผู้มีความยาวเฉลี่ย  $7.20 \pm 0.08$  และหอยเพศเมีย มีความยาวเฉลี่ย  $7.65 \pm 0.51$ ) บริเวณส่วนท้ายของลำไส้จะขยายขนาดขึ้นกล้ายเป็นเรกตัมและไปสิ้นสุดที่ขอบของแม่นเทลที่บริเวณเอ็นสีซึ่งเปิดออกสู่ภายนอก เรกตัมมีความยาวเฉลี่ยประมาณ  $6.89 \pm 1.52$  มิลลิเมตร (หอยเพศผู้มีความยาวเฉลี่ย  $6.08 \pm 0.90$  และหอยเพศเมีย มีความยาวเฉลี่ย  $7.70 \pm 1.68$ )

ระบบลำเลียงของหอยน้ำจืด *Paludomus spp.* ที่เก็บตัวอย่างจากจุดสำรวจนี้มีหัวใจบรรจุอยู่ในช่องรอบหัวใจใกล้กับเหงือก และอยู่ระหว่างไตกับตับ หัวใจประกอบด้วยเวนทริคิลหนึ่งอันและออริเดิลหนึ่งอัน อวัยวะที่ใช้ในการแลกเปลี่ยนก๊าซคือเหงือก เหงือกบรรจุอยู่ในช่องแม่นเทิดประกอบด้วยเซลล์รูปสามเหลี่ยมจำนวนเฉลี่ย  $94.96 \pm 14.72$  อันเรียงต่อกัน (หอยเพศผู้มีจำนวนเฉลี่ย  $97.06 \pm 16.12$  และหอยเพศเมียมีจำนวนเฉลี่ย  $92.86 \pm 14.72$ ) เหงือกมีความยาวเฉลี่ย  $6.05 \pm 0.39$  มิลลิเมตร (หอยเพศผู้มีความยาวเฉลี่ย  $6.00 \pm 0.37$  และหอยเพศเมียมีความยาวเฉลี่ย  $6.12 \pm 0.46$  บริเวณใกล้ ๆ กับเหงือกจะมีอสเพรเดียมที่มีลักษณะเป็นตอมายา ออสเพรเดียมมีความยาวเฉลี่ย  $1.94 \pm 0.32$  มิลลิเมตร (หอยเพศผู้มีความยาวเฉลี่ย  $1.93 \pm 0.30$  และหอยเพศเมียมีความยาวเฉลี่ย  $1.95 \pm 0.39$ ) นอกจากนี้ยังพบต่อมไฮโพเบรนเดียล (สีขาวนุ่ม) ซึ่งเป็นต่อมสร้างเมือกอยู่ทางด้านขวาของเหงือก (อยู่ระหว่างเหงือกและเกรตัม) ด้วย

ระบบขับถ่าย อวัยวะที่ใช้ในการกำจัดของเสียคือไต ซึ่งมีอยู่หนึ่งอันทางด้านหน้าของอวัยวะภายใน โดยอยู่ติดกับตับและช่องรอบหัวใจ ได้มีสีขาวครีมถึงสีส้มอ่อน ลักษณะคล้ายถุงผนังมีลักษณะเป็นคลื่น มีความยาวเฉลี่ย  $4.30 \pm 0.33$  มิลลิเมตร (หอยเพศผู้มีความยาวเฉลี่ย  $4.30 \pm 0.33$  และหอยเพศเมียมีความยาวเฉลี่ย  $4.30 \pm 0.40$ )

ระบบสืบพันธุ์ของหอยเพศผู้เริ่มจากเทสทิส ประกอบด้วยเซลล์ขนาดเล็ก (lobe) สีส้ม เรียงตัวแตกแขนงเป็นกิ่งก้านฝังอยู่ในตับ (sinusidal) แต่ละแขนงเชื่อมกันด้วยท่อสเปริม (vas efferens) ก่อนจะรวมเข้าสู่ท่อนำสเปริม (vas deferens) เทสทิสมีความยาวเฉลี่ย  $11.50 \pm 3.55$  มิลลิเมตร ตับมีความยาวเฉลี่ย  $15.80 \pm 2.18$  มิลลิเมตร ท่อนำสเปริมมีลักษณะเป็นท่อสีขาวใสต่อจากเทสทิสไปยังท่อสืบพันธุ์แพลเลียล (pallial gonoduct) ลักษณะของท่อสืบพันธุ์แพลเลียลมีสีขาว ผนังบาง พบรอยแยกตามความยาวของแม่นเทิด ทำให้ท่อแพลเลียลประกอบด้วยเนื้อเยื่อ 2 ด้าน คือเนื้อเยื่อด้านข้าง (medial lamina) เป็นแผ่นบางสีขาว ที่ผิวด้านล่างพับเนื้อเยื่อเรียงตัวกันเป็นแนว (gonoduct groove) ส่วนเนื้อเยื่อด้านขวา (lateral lamina) จะหนากว่าทางด้านข้าง ที่ผิวด้านในมีลักษณะเป็นร่อง (ท่อพับไปมา) ผนังด้านขวา กับทางด้านข้างเรื่อยๆ ต่อ กันที่บริเวณใกล้กับท่อสเปริม ท่อสืบพันธุ์แพลเลียลมีความยาวเฉลี่ย  $4.02 \pm 0.25$  มิลลิเมตร ด้านล่างข้างของท่อสืบพันธุ์แพลเลียลจะพับท่ออีนออกมานอกมา (pallial tentacle) และไม่พับเพนิสยืนยาวออกไปบริเวณส่วนคอ สเปริมของหอยที่พับมีขนาดเล็ก แบ่งเป็น 2 ชนิดคือ สเปริมที่มีหัวสั้นเมืองยาร 1 หาง และ สเปริมที่มีหัวเป็นแบบสวยงามเมืองยาร 6 หาง ซึ่งมีขนาดใหญ่กว่าสเปริมที่มี 1 หาง

ระบบสืบพันธุ์ของหอยเพศเมีย รังไช่ มีสีเหลืองเขียวเรียงตัวแทรก xenang ผงอู๋ในตับ รังไช่แต่ละ xenang ประกอบด้วยเซลล์ขนาดใหญ่กว่าในเพศผู้ รังไช่มีความยาวเฉลี่ย  $13.78 \pm 2.83$  มิลลิเมตร ตับมีความยาวเฉลี่ย  $16.33 \pm 2.23$  มิลลิเมตร ท่อน้ำไช่เป็นท่อสีขาวเชื่อมต่อจากรังไชไปยังท่อน้ำไช่แพลเลียด (pallial oviduct) ท่อน้ำไช่แพลเลียดมีสีขาวซุ่นถึงสีส้มอ่อน พบรอยแยกตามความยาวของแม่นทิลและประกอบด้วยเนื้อเยื่อ 2 ด้าน เช่นเดียวกับในหอยเพศผู้ แต่มีขนาดใหญ่และยาวกว่า มีความยาวเฉลี่ย  $5.00 \pm 0.91$  มิลลิเมตร ที่ผิวนี้อ่อนเยื่อด้านในของผังหั้ง 2 ด้านมีลักษณะของท่อพับไปมาตามความยาวของแม่นทิล ท่อน้ำไช่แพลเลียดประกอบด้วยต่อมแอลบิวิน และ ต่อมแคปซูล นอกจากนี้ยังมีอวัยวะรับสเปร์ม โคคูลาทอรีเบอร์ชาด้วย ต่อมแอลบิวินอู๋ที่บริเวณส่วนปลายใกล้กับท่อน้ำไช่ มีผังเนื้อเยื่อบาง ขยายใหญ่ เห็นเป็นร่องลักษณะคล้ายแผ่นเงินเจือกเรียงซ้อนกัน มีสีส้มอ่อน ส่วนต่อมแคปซูลอู๋ส่วนปลายทางด้านขอบแม่นทิล มีสีขาว ผังด้านนอกไม่เรียบเห็นเป็นรอยย่น ที่ผิวด้านในหนาเป็นท่อพับไปมา

### จุดสำรวจที่ 3 หัวยateada

โครงสร้างภายในอกของหอย เริ่มจากส่วนหัวของหอย ส่วนหัวอู๋บริเวณด้านหน้าของหอย ส่วนหัวยื่นออกไปเล็กน้อยทำให้เห็นเป็นลักษณะขั่วแน่นสันเรียกสนธิ ด้านหลังปากจะพบเทนเทเกิด 1 คู่ และพบตาซึ่งมี 1 คู่ ที่บริเวณโคนเทนเทเกิด ที่ส่วนหัวและเทนเทเกิดพบร่องคัวตุ้มลานินปักคุณอู๋อย่างสม่ำเสมอ และที่บริเวณรอบตาพบร่องคัวตุ้มสีขาวครีมกระจายอยู่โดยรอบ (รูปที่ 43 ค, 44 ฯ) ส่วนคอเป็นส่วนที่อู๋ถัดจากส่วนหัวและอู๋บริเวณหลังเทนเทเกิด ในหอยเพศผู้ไม่พบว่ามีเพนนิสยื่นออกมากที่บริเวณคอด้านบน ส่วนแผ่นเท้าเป็นส่วนที่อู๋ติดส่วนหัวไปทางด้านหลัง ด้านบนของแผ่นเท้าติดกับด้านข้างของลำตัว มีแผ่นโอบเรือริบวิล์มอยู่ที่ด้านบน และท้ายของแผ่นเท้า แผ่นเท้าของหอยมีลักษณะกร้าง และเป็นกล้ามเนื้อหนา พบร่องคัวตุ้มสีเหลืองเขียว กระჯัดกระจายอย่างสม่ำเสมอบนแผ่นเท้าของหอย มีส่วนแม่นทิลจะปักคุณส่วนหัวและคอ ส่วนสุดท้ายของแม่นทิลติดกับส่วนอวัยวะภายใน ใต้แม่นทิลมีช่องระหว่างแม่นทิล กับตัวหอยเรียกว่าช่องแม่นทิล ภายในแม่นทิลของหอยจะพบส่วนปลายของระบบสืบพันธุ์ ส่วนปลายของระบบทางเดินอาหาร ที่ขอบของแม่นทิลซึ่งอู๋บริเวณหน้าสุดมีลักษณะเป็นปุ่มยื่นออกมานะ พบร่องคัวตุ้มสีเขียวกระจายอย่างสม่ำเสมอบนแม่นทิล แม่นทิลมีความยาวเฉลี่ย  $6.45 \pm 1.44$  มิลลิเมตร (แม่นทิลของหอยเพศผู้มีความยาวเฉลี่ย  $6.30 \pm 1.59$  และ หอยเพศเมีย มีความยาวเฉลี่ย  $6.70 \pm 1.44$ , ตารางที่ 9)

โครงสร้างภายในของหอย เมื่อผ่าตัวหอยในแนวยาวของลำตัวจะพบระบบวัյવะภายใน เช่นระบบสีบพันธุ์ ระบบทางเดินอาหาร เป็นต้น (รูปที่ 45 ค, 46 ค) ระบบทางเดินอาหารของหอยเริ่มจากส่วนปากที่อยู่หน้าสุด จะพบปากอยู่ที่ปลายสเนาท์ รอบ ๆ ปากจะหนาเรียกวิริมีปาก ซองปากไปเปิดที่ซองบักคัล หรือฟาริงส์ ภายในฟาริงส์จะมีขากร้อกร้าและแครดูลา ส่วนที่แรดลับระหว่างอยู่เรียกวิบักคัลแมส ซึ่งมีความยาวเฉลี่ยประมาณ  $2.76 \pm 0.28$  มิลลิเมตร (หอยเพศผู้มีความยาวเฉลี่ย  $2.76 \pm 0.34$  และหอยเพศเมียมีความยาวเฉลี่ย  $2.77 \pm 0.21$ ) บักคัลแมสต่อ กับหลอดอาหารซึ่งมีลักษณะเป็นท่อยาว ด้านข้างของหลอดอาหารพบต่อมน้ำลาย 1 คู่ หลอดอาหารมีความยาวเฉลี่ย  $5.01 \pm 0.76$  มิลลิเมตร (หอยเพศผู้มีความยาวเฉลี่ย  $4.82 \pm 0.88$  และหอยเพศเมียมีความยาวเฉลี่ย  $5.34 \pm 0.47$ ) ส่วนท้ายของหลอดอาหารต่อ กับกระเพาะอาหารซึ่งมีลักษณะคล้ายถุงสีส้มอ่อนอยู่ติดต่อกับตับ บริเวณส่วนท้ายของกระเพาะอาหารมีถุงสไตล์ภายในบรรจุคริสทัลลีนส์สไตล์ลักษณะเป็นแท่งใส่มีเอนไซม์ช่วยย่อยอาหาร กระเพาะอาหารส่วนนี้มีผนังกระเพาะที่หนาและมีผิวด้านในมันเรียก แกสตրิกชีล์ด์ บริเวณที่ต่อจากกระเพาะอาหารคือลำไส้ ซึ่งอยู่ที่ด้านหน้ากระเพาะอาหาร ลำไส้มีความยาวเฉลี่ย  $5.81 \pm 1.17$  มิลลิเมตร (หอยเพศผู้มีความยาวเฉลี่ย  $5.30 \pm 1.19$  และหอยเพศเมียมีความยาวเฉลี่ย  $6.67 \pm 0.47$ ) บริเวณส่วนท้ายของลำไส้จะขยายขนาดขึ้นกลâyเป็นเรกตัมและไปสิ้นสุดที่ขอบของเมนเทลที่บริเวณโคนซึ่งเปิดออกสู่ภายนอก เรกตัมมีความยาวเฉลี่ยประมาณ  $6.63 \pm 1.43$  มิลลิเมตร (หอยเพศผู้มีความยาวเฉลี่ย  $6.62 \pm 1.82$  และหอยเพศเมียมีความยาวเฉลี่ย  $6.63 \pm 0.74$ )

ระบบลำเลียงของหอยน้ำจืด *Paludomus spp.* ที่เก็บตัวอย่างจากจุดสำรวจนี้มีหัวใจบรรจุอยู่ในซ่องรอบหัวใจใกล้กับเหงือก และอยู่ระหว่างไตกับตับ หัวใจประกอบด้วยเยนทริเคลล หนึ่งอันและออริเคลลหนึ่งอัน อวัยวะที่ใช้ในการแลกเปลี่ยนกําชีคือเหงือก เหงือกบรรจุอยู่ในซ่องเมนเทลประกอบด้วยเซลล์รูปสามเหลี่ยมจำนวนเฉลี่ย  $66.00 \pm 5.63$  อันเรียงต่อกัน (หอยเพศผู้มีจำนวนเฉลี่ย  $64.8 \pm 5.72$  และหอยเพศเมียมีจำนวนเฉลี่ย  $68.00 \pm 6.00$ ) เหงือกมีความยาวเฉลี่ย  $5.50 \pm 0.97$  มิลลิเมตร (หอยเพศผู้มีความยาวเฉลี่ย  $5.54 \pm 1.15$  และหอยเพศเมียมีความยาวเฉลี่ย  $5.43 \pm 0.80$  บริเวณใกล้ ๆ กับเหงือกจะมีอสเพรเดียมที่มีลักษณะเป็นต่อมยາ ออกเพรเดียมมีความยาวเฉลี่ย  $2.39 \pm 0.30$  มิลลิเมตร (หอยเพศผู้มีความยาวเฉลี่ย  $2.42 \pm 0.28$  และหอยเพศเมียมีความยาวเฉลี่ย  $2.34 \pm 0.40$ ) นอกจากนี้ยังพบต่อมไฮโพ

แบ่งเดียล (สีขาวขุ่น) ซึ่งเป็นต่อมสร้างเมือกอยู่ทางด้านขวาของเหงือก (อยู่ระหว่างเหงือกและรากตัวมัน) ด้วย

ระบบขับถ่าย อวัยวะที่ใช้ในการกำจัดของเสียคือไต ซึ่งมีอยู่หนึ่งอันทางด้านหน้าของอวัยวะภายใน โดยอยู่ติดกับตับและช่องรอบหัวใจ ไทด์สีขาวครีมถึงสีส้มอ่อน ลักษณะคล้ายถุงผนังมีลักษณะเป็นคลื่น มีความยาวเฉลี่ย  $3.09 \pm 0.74$  มิลลิเมตร (หอยเพศผู้มีความยาวเฉลี่ย  $3.28 \pm 0.84$  และหอยเพศเมียมีความยาวเฉลี่ย  $2.77 \pm 0.47$ )

ระบบสีบพันธุ์ของหอยเพศผู้เริ่มจากเทสทิส ประกอบด้วยเซลล์ขนาดเล็ก (lobe) สีส้ม เรียงตัวແຕກແ xenang เป็นกิ่งก้านฟังอยู่ในตับ (สีน้ำตาล) แต่ละແ xenang เชื่อมกันด้วยห้องสเปร์ม (vas efferens) ก่อนจะรวมเข้าสู่ท่อนำสเปร์ม (vas deferens) เทสทิสมีความยาวเฉลี่ย  $7.88 \pm 3.41$  มิลลิเมตร ตับมีความยาวเฉลี่ย  $9.14 \pm 3.66$  มิลลิเมตร ท่อนำสเปร์มมีลักษณะเป็นห้องสีบพันธุ์แพลเลียลเมสีขาว ผนังบาง พบรอยแยกตามความยาวของแม่นทิล ทำให้ห้องแพลเลียลประกอบด้วยเนื้อเยื่อ 2 ด้าน คือเนื้อเยื่อด้านซ้าย (medial lamina) เป็นแผ่นบางสีขาว ที่ผิวด้านล่างพบเนื้อเยื่อเรียงตัวกันเป็นแนว (gonoduct groove) ส่วนเนื้อเยื่อด้านขวา (lateral lamina) จะหนากว่าทางด้านซ้าย ที่ผิวด้านในมีลักษณะเป็นร่อง (ห้องพับไปมา) ผนังด้านขวา กับทางด้านซ้ายเชื่อมต่อกันที่บริเวณใกล้กับห้องสเปร์ม ห้องสีบพันธุ์แพลเลียลมีความยาวเฉลี่ย  $3.62 \pm 1.03$  มิลลิเมตร ด้านล่างซ้ายของห้องสีบพันธุ์แพลเลียลจะพับห้อยออกมานอก (pallial tentacle) และไม่พับเพนิสยืนยาวออกไปบริเวณส่วนคอ สเปร์มของหอยที่พับมีขนาดเล็ก แบ่งเป็น 2 ชนิดคือ สเปร์มที่มีหัวสั้นเมืองขาว 1 หาง และ สเปร์มที่มีหัวเป็นแบบกระสวยเมืองขาว 6 หาง ซึ่งมีขนาดใหญ่กว่าสเปร์มที่มี 1 หาง

ระบบสีบพันธุ์ของหอยเพศเมีย รังไข่ มีสีเหลืองเขียวเรียงตัวແຕກແ xenang ฝังอยู่ในตับ รังไข่แต่ละແ xenang ประกอบด้วยเซลล์ขนาดใหญ่กว่าในเพศผู้ รังไข่มีความยาวเฉลี่ย  $10.15 \pm 4.74$  มิลลิเมตร ตับมีความยาวเฉลี่ย  $12.85 \pm 3.75$  มิลลิเมตร ท่อนำไข่เป็นห้องสีขาวเชื่อมต่อจากรังไข่ไปยังห้องไข่แพลเลียล (pallial oviduct) ห้องนำไข่แพลเลียลเมสีขาวขุ่นถึงสีส้มอ่อน พบรอยแยกตามความยาวของแม่นทิลและ ประกอบด้วยเนื้อเยื่อ 2 ด้านซึ่งเดียวกันในหอยเพศผู้ แต่มีขนาดใหญ่และยาวกว่า มีความยาวเฉลี่ย  $4.45 \pm 0.47$  มิลลิเมตร ที่ผิวนี้อีกด้านในของผนังทั้ง 2 ด้านมีลักษณะของห้องพับไปมาตามความยาวของแม่นทิล ห้องนำไข่แพลเลียลประกอบด้วยต่อมแอลบิวิน และ ต่อมแคปซูล นอกจากนี้ยังมีอวัยวะรับสเปร์ม โคพุลาಥรีเบอร์ชาด้วย ต่อมแอลบิวินอยู่ที่บริเวณส่วนปลายใกล้กับห้องนำไข่ มีผนังเนื้อเยื่อบาง ขยาย

ใหญ่ เห็นเป็นร่องลักษณะคล้ายแผ่นเหล็กเรียงซ้อนกัน มีสีส้มอ่อน ส่วนต่อมแคปซูลอยู่ส่วนปลายทางด้านขอกวนแม่นเทิล มีสีขาว ผนังด้านนอกไม่เรียบเห็นเป็นรอยย่น ที่ผิวด้านในหนาเป็นท่อพับไปมา

#### จุดสำรวจที่ 4 ลำชารข้างปอน้ำพุร้อนหินดาด

โครงสร้างภายนอกของหอย เริ่มจากส่วนหัวของหอย ส่วนหัวอยู่บริเวณด้านหน้าของหอย ส่วนหัวยื่นออกไปเล็กน้อยทำให้เห็นเป็นลักษณะอ้วนสั้นเรียกสนธ์ ด้านหลังปากจะพบเหนเทเดล 1 คู่ และพบตาซึ่งมี 1 คู่ ที่บริเวณโคนเหนเทเดล ที่ส่วนหัวและเหนเทเดลพบวงค์วัตถุสีเขียวเหลืองกระჯัดกระจาดอย่างสม่ำเสมอและมีร่องคัตถุเมลานินปักคุณอยู่ทำให้เห็นเหนเทเดลมีลักษณะเหมือนเป็นข้อปล้อง (รูปที่ 43 ง) ส่วนคอเป็นส่วนที่อยู่ดัดจากส่วนหัวและอยู่บริเวณหลังเหนเทเดล ในหอยเพศผู้ไม่พบว่ามีเพนนิสอยู่ในอ ก า ที่บริเวณคอด้านบน ส่วนแผ่นเท้า เป็นส่วนที่อยู่ติดส่วนหัวไปทางด้านหลัง ด้านบนของแผ่นเท้าติดกับด้านข้างของลำตัว มีแผ่นໂเพอร์คิวลัมอยู่ที่ด้านบนและท้ายของแผ่นเท้า แผ่นเท้าของหอยมีลักษณะกว้าง และเป็นกล้ามเนื้อหนา พบร ง ค ว ต ถ ุ ส ี เ ร ย ว า เ ล ็ ง กระจัดกระจาดอย่างสม่ำเสมอบนแผ่นเท้าของหอย ส่วนแม่นเทิล แม่นเทิลจะปักคุณส่วนหัวและคอ ส่วนสุดท้ายของแม่นเทิลติดกับส่วนอวัยวะภายใน ได้ แม่นเทิลมีช่องระหว่างแม่นเทิลกับด้าวหอยเรียกช่องแม่นเทิล ภายในแม่นเทิลของหอยจะพบส่วนปลายของระบบสีบพันธุ์ ส่วนปลายของระบบทางเดินอาหาร ที่ข้อของแม่นเทิลซึ่งอยู่บริเวณหน้าสุดมีลักษณะเป็นปุ่มยื่นออกมາ พบร ง ค ว ต ถ ุ ส ี เ ร ย ว า กระจาดอย่างสม่ำเสมอบนแม่นเทิล แม่นเทิลมีความยาวเฉลี่ย  $7.27 \pm 0.50$  มิลลิเมตร (แม่นเทิลของหอยเพศผู้มีความยาวเฉลี่ย  $7.42 \pm 0.52$  และหอยเพศเมียมีความยาวเฉลี่ย  $7.12 \pm 0.50$ , ตารางที่ 10)

โครงสร้างภายในของหอย เมื่อผ่าตัวหอยในแนวยาวของลำตัวจะพบระบบอวัยวะภายใน เช่นระบบสีบพันธุ์ ระบบทางเดินอาหาร เป็นต้น (รูปที่ 45 ง, 46 ง) ระบบทางเดินอาหาร ของหอยเริ่มจากส่วนปากที่อยู่หน้าสุด จะพบปากอยู่ที่ปลายสนธ์ รอบ ๆ ปากจะหนาเรียกวิริมีปาก ซองปากไปเปิดที่ซองบักคัด หรือฟาริงส์ ภายในฟาริงส์จะมีขากรากและแกรดูลา ส่วนที่แกรดูลาบรรจุอยู่เรียกบักคัดแมส ซึ่งมีความยาวเฉลี่ยประมาณ  $2.28 \pm 0.24$  มิลลิเมตร (หอยเพศผู้มีความยาวเฉลี่ย  $2.40 \pm 0.29$  และหอยเพศเมียมีความยาวเฉลี่ย  $2.16 \pm 0.11$ ) บักคัดแมสต่อ กับหลอดอาหารซึ่งมีลักษณะเป็นท่อยาว ด้านข้างของหลอดอาหารพบต่อมน้ำลาย 1 คู่ หลอดอาหารมีความยาวเฉลี่ย  $6.38 \pm 0.68$  มิลลิเมตร (หอยเพศผู้มีความยาวเฉลี่ย  $6.58 \pm 0.53$  และหอยเพศเมียมีความยาวเฉลี่ย  $6.18 \pm 0.81$ ) ส่วนท้ายของหลอดอาหารต่อ กับกระเพาะอาหารซึ่งมีลักษณะคล้ายถุงสีส้มอ่อนอยู่ติดต่อกับตับ บริเวณส่วนท้ายของกระเพาะ

อาหารมีถุงสไตล์ภายในบรรจุคริสทัลลินส์ไทล์ลักษณะเป็นแท่งใส่มีเอนไซม์ช่วยย่อยอาหาร กระเพาะอาหารส่วนนี้มีผนังกระเพาะที่หนาและมีผิวด้านในมันเรียบ แกสตอริกซีล์ด์ บริเวณที่ต่อจากกระเพาะอาหารคือลำไส้ ซึ่งอยู่ที่ด้านหน้ากระเพาะอาหาร ลำไส้มีความยาวเฉลี่ย  $8.18 \pm 0.43$  มิลลิเมตร (หอยเพศผู้มีความยาวเฉลี่ย  $8.20 \pm 0.46$  และหอยเพศเมียมีความยาวเฉลี่ย  $8.16 \pm 0.44$ ) บริเวณส่วนท้ายของลำไส้จะขยายขนาดขึ้นกลายเป็นเรกัมและไปสิ้นสุดที่ขอบของแม่นเทลที่บริเวณเอ็นสีรึ่งเปิดออกสู่ภายนอก เรกัมมีความยาวเฉลี่ยประมาณ  $7.27 \pm 0.19$  มิลลิเมตร (หอยเพศผู้มีความยาวเฉลี่ย  $7.20 \pm 0.19$  และหอยเพศเมียมีความยาวเฉลี่ย  $7.34 \pm 0.19$ )

ระบบลำเลียงของหอยน้ำจืด *Paludomus* spp. ที่เก็บตัวอย่างจากจุดสำรวจนี้มีหัวใจบรรจุอยู่ในช่องรอบหัวใจใกล้กับเหงือก และอยู่ระหว่างไตกับตับ หัวใจประกอบด้วยเหนทริเดลหนึ่งอันและขอริเดลหนึ่งอัน อย่าว่าที่ใช้ในการแลกเปลี่ยนก้าซคือเหงือก เหงือกบรรจุอยู่ในช่องแม่นเทลประกอบด้วยเซลล์รูปสามเหลี่ยมจำนวนเฉลี่ย  $96.16 \pm 7.04$  อันเรียงต่อกัน (หอยเพศผู้มีจำนวนเฉลี่ย  $98.16 \pm 7.85$  และหอยเพศเมียมีจำนวนเฉลี่ย  $93.65 \pm 5.91$ ) เหงือกมีความยาวเฉลี่ย  $5.74 \pm 0.25$  มิลลิเมตร (หอยเพศผู้มีความยาวเฉลี่ย  $5.78 \pm 0.16$  และหอยเพศเมียมีความยาวเฉลี่ย  $5.70 \pm 0.36$  บริเวณใกล้ๆ กับเหงือกจะมีอสฟรเดียที่มีลักษณะเป็นต่อมยาวยอสฟรเดียมีความยาวเฉลี่ย  $2.19 \pm 0.12$  มิลลิเมตร (หอยเพศผู้มีความยาวเฉลี่ย  $2.20 \pm 0.14$  และหอยเพศเมียมีความยาวเฉลี่ย  $2.18 \pm 0.11$ ) นอกจากนี้ยังพบต่อมໄอโพแบบเดียล (สีขาวขุ่น) ซึ่งเป็นต่อมสร้างเมือกอยู่ทางด้านขวาของเหงือก (อยู่ระหว่างเหงือกและเรกัม) ด้วย

ระบบขับถ่าย อย่าว่าที่ใช้ในการกำจัดของเสียคือไต ซึ่งมีอยู่หนึ่งอันทางด้านหน้าของอย่าวาภายใน โดยอยู่ติดกับตับและช่องรอบหัวใจ ไม่มีสีเหลือง ลักษณะคล้ายถุง ผนังมีลักษณะเป็นคลื่น มีความยาวเฉลี่ย  $3.95 \pm 0.17$  มิลลิเมตร (หอยเพศผู้มีความยาวเฉลี่ย  $4.01 \pm 0.18$  และหอยเพศเมียมีความยาวเฉลี่ย  $3.87 \pm 0.15$ )

ระบบสีบพันธุ์ของหอยเพศผู้เริ่มจากเทสทิส ประกอบด้วยเซลล์ขนาดเล็ก (lobe) สีส้ม เรียงตัวແຕກແ xenang เป็นกิงก้านฝังอยู่ในตับ (สีน้ำตาล) แต่ละແ xenang เรื่อมกันด้วยห่อสเปริม (vas efferens) ก่อนจะรวมเข้าสู่ห่อนำสเปริม (vas deferens) เทสทิสมีความยาวเฉลี่ย  $13.13 \pm 2.89$  มิลลิเมตร ตับมีความยาวเฉลี่ย  $15.70 \pm 3.35$  มิลลิเมตร ห่อนำสเปริมมีลักษณะเป็นห่อสีขาวใสต่อจากเทสทิสไปยังห่อสีบพันธุ์แพลเลียล (pallial gonoduct) ลักษณะของห่อสีบ

พันธุ์แพลเลียลมีสีขาว ผนังบาง พบรอยแยกตามความยาวของแม่นทิล ทำให้ท่อแพลเลียล ประกอบด้วยเนื้อเยื่อ 2 ด้าน คือเนื้อเยื่อด้านซ้าย (medial lamina) เป็นแผ่นบางสีขาว ที่ผิว ด้านล่างพบเนื้อเยื่อเรียงตัวกันเป็นแนว (gonoduct groove) ส่วนเนื้อเยื่อด้านขวา (lateral lamina) จะหนากว่าทางด้านซ้าย ที่ผิวด้านในมีลักษณะเป็นร่อง (ท่อพับไปมา) ผนังด้านขวา กับทางด้านซ้ายเชื่อมต่อกันที่บริเวณใกล้กับห่อสเปร์ม ห่อสีบพันธุ์แพลเลียลมีความยาวเฉลี่ย  $4.80 \pm 0.39$  มิลลิเมตร ด้านล่างซ้ายของห่อสีบพันธุ์แพลเลียลจะพบทอยู่ในอกมา (pallial tentacle) และไม่พบนิสัยนิยาออกไปบริเวณส่วนคอ สเปร์มของหอยที่พบริมฝีมีขนาดเล็ก แบ่ง เป็น 2 ชนิดคือ สเปร์มที่มีหัวสั้นเมืองขาว 1 หาง และ สเปร์มที่มีหัวเป็นแบบกระสานเมืองขาว 6 หาง ซึ่งมีขนาดใหญ่กว่าสเปร์มที่มี 1 หาง

ระบบสีบพันธุ์ของหอยเพศเมีย รังไข่ มีสีเหลืองเขียวเรียงตัวแตกแขนงผ่องอยู่ในตับ รังไข่แต่ละแขนงประกอบด้วยเซลล์ขนาดใหญ่กว่าในเพศผู้ รังไข่มีความยาวเฉลี่ย  $11.73 \pm 3.39$  มิลลิเมตร ตับมีความยาวเฉลี่ย  $14.77 \pm 4.63$  มิลลิเมตร ท่อน้ำไข่เป็นห่อสีขาวเชื่อมต่อจาก รังไข่ไปยังท่อน้ำไข่แพลเลียล (pallial oviduct) ท่อน้ำไข่แพลเลียลมีสีขาวซุ่นถึงสีส้มอ่อน พบรอยแยกตามความยาวของแม่นทิลและ ประกอบด้วยเนื้อเยื่อ 2 ด้านเช่นเดียวกับในหอยเพศผู้ แต่มีขนาดใหญ่และยาวกว่า มีความยาวเฉลี่ย  $4.86 \pm 0.55$  มิลลิเมตร ที่ผิวนี้อีกด้านในของผนังทั้ง 2 ด้านมีลักษณะของห่อพับไปมาตามความยาวของแม่นทิล ห่อน้ำไข่แพลเลียล ประกอบด้วยต่อมแอลบิวิน และ ต่อมแคปซูล นอกจากนี้ยังมีอวัยวะรับสเปร์ม โคพุลาทอรี เบอร์ชาด้วย ต่อมแอลบิวินอยู่ที่บริเวณส่วนปลายใกล้กับห่อน้ำไข่ มีผนังเนื้อเยื่อบาง ขยายใหญ่ เห็นเป็นร่องลักษณะคล้ายแผ่นเหล็กเรียงชั้นกัน มีสีส้มอ่อน ส่วนต่อมแคปซูลอยู่ส่วนปลายทางด้านขوبแม่นทิล มีสีขาว ผนังด้านนอกไม่เรียบเห็นเป็นรอยย่น ที่ผิวด้านในหนาเป็นห่อพับไปมา

#### จุดสำรวจที่ 5 น้ำตกผาตาด

โครงสร้างภายนอกของหอย เริ่มจากส่วนหัวของหอย ส่วนหัวอยู่บริเวณด้านหน้าของหอย ส่วนหัวยื่นออกไปเล็กน้อยทำให้เห็นเป็นลักษณะอ้วนสั้นเรียกสนธิ ด้านหลังปากจะพับเทนเกเดล 1 ครี และพับตากซึ่งมี 1 ครี ที่บริเวณโคนเทนเกเดล ที่ส่วนหัวและเทนเกเดลพบรวงค์ วัตถุสีเขียวเหลืองกระเจดกระเจดอย่างสม่ำเสมอและมีร่องคัตถ์เมลานินปักคลุมอยู่ทำให้เห็นเทนเกเดลมีลักษณะเหมือนเป็นข้อปล้อง (รูปที่ 43 จ) ส่วนคอเป็นส่วนที่อยู่ติดจากส่วนหัวและอยู่บริเวณหลังเทนเกเดล ในหอยเพศผู้ไม่พบว่ามีเพนนิสยื่นออกมากที่บริเวณคอด้านบน ส่วนแผ่นเท้า เป็นส่วนที่อยู่ติดส่วนหัวไปทางด้านหลัง ด้านบนของแผ่นเท้าติดกับด้านซ้ายของลำตัว มีแผ่นโคล

เพื่อวิเคราะห์อย่างที่ด้านบนและท้ายของแผ่นเท้า แผ่นเท้าของหอยมีลักษณะกว้าง และเป็นกล้ามเนื้อหนา พบรุคตฤศีเขียวเหลือง กระดักระจาวยอย่างสม่ำเสมอบนแผ่นเท้าของหอย ส่วนแม่นเทิด แม่นเทิดจะปักคลุมส่วนหัวและคอ ส่วนสุดท้ายของแม่นเทิดติดกับส่วนอวัยวะภายใน ได้ แม่นเทิดมีช่องระหว่างแม่นเทิดกับด้านหอยเรียกว่าช่องแม่นเทิด ภายในแม่นเทิดของหอยจะพบส่วนปลายของระบบสีบพันธุ์ ส่วนปลายของระบบทางเดินอาหาร ที่ขอบของแม่นเทิดซึ่งอยู่บริเวณหน้าสุดมีลักษณะเป็นปุ่มยื่นออกมา พบรุคตฤศีเขียวกระจาวยอย่างสม่ำเสมอบนแม่นเทิด แม่นเทิดมีความยาวเฉลี่ย  $8.46 \pm 0.56$  มิลลิเมตร (แม่นเทิดของหอยเพศผู้มีความยาวเฉลี่ย  $8.60 \pm 0.48$  และหอยเพศเมียมีความยาวเฉลี่ย  $8.32 \pm 0.65$ , ตารางที่ 11)

โครงสร้างภายในของหอย เมื่อผ่าตัวหอยในแนวยาวของลำตัวจะพบระบบอวัยวะภายใน เช่นระบบสีบพันธุ์ ระบบทางเดินอาหาร เป็นต้น (รูปที่ 45 ฯ, 46 ฯ) ระบบทางเดินอาหารของหอยเริ่มจากส่วนปากที่อยู่หน้าสุด จะพบปากอยู่ที่ปลายส่วนที่ รอบ ๆ ปากจะหนาเรียกวิริมีปาก ซองปากไปเปิดที่ซองบักต์ หรือฟาริงส์ ภายในฟาริงส์จะมีข้ากรไกรและแกรดูดา ส่วนที่แกรดูดาบรรจุอยู่เรียกบักต์แมส ซึ่งมีความยาวเฉลี่ยประมาณ  $2.74 \pm 0.22$  มิลลิเมตร (หอยเพศผู้มีความยาวเฉลี่ย  $2.74 \pm 0.17$  และหอยเพศเมียมีความยาวเฉลี่ย  $2.73 \pm 0.29$ ) บักต์แมสต่อ กับหลอดอาหารซึ่งมีลักษณะเป็นท่อยาว ด้านข้างของหลอดอาหารพับต่อมน้ำลาย 1 ครู่ หลอดอาหารมีความยาวเฉลี่ย  $7.28 \pm 0.46$  มิลลิเมตร (หอยเพศผู้มีความยาวเฉลี่ย  $7.23 \pm 0.38$  และหอยเพศเมียมีความยาวเฉลี่ย  $7.32 \pm 0.58$ ) ส่วนท้ายของหลอดอาหารต่อ กับกระเพาะอาหารซึ่งมีลักษณะคล้ายถุงสีส้มอ่อนอยู่ติดต่อกับตับ บริเวณส่วนท้ายของกระเพาะอาหารมีถุงสตอร์ภายในบรรจุริสทัลลีนสตอร์ลักษณะเป็นแท่งใสเมื่อเอ็นไขม์ช่วยย่อยอาหาร กระเพาะอาหารส่วนนี้มีผนังกระเพาะที่หนาและมีผิวด้านในมันเรียก แกสตրิกชีลด์ บริเวณที่ต่อ จากระเพาะอาหารคือลำไส้ ซึ่งอยู่ที่ด้านหน้ากระเพาะอาหาร ลำไส้มีความยาวเฉลี่ย  $8.80 \pm 0.93$  มิลลิเมตร (หอยเพศผู้มีความยาวเฉลี่ย  $8.72 \pm 0.83$  และหอยเพศเมียมีความยาวเฉลี่ย  $8.88 \pm 1.12$ ) บริเวณส่วนท้ายของลำไส้จะขยายขนาดขึ้นกลาญเป็นเรกตัมและไปสิ้นสุดที่ขอบ ของแม่นเทิดที่บริเวณเอ็นสตอร์ซึ่งเปิดออกสู่ภายนอก เรกตัมมีความยาวเฉลี่ยประมาณ  $9.62 \pm 0.75$  มิลลิเมตร (หอยเพศผู้มีความยาวเฉลี่ย  $9.87 \pm 0.37$  และหอยเพศเมียมีความยาวเฉลี่ย  $9.37 \pm 0.99$ )

ระบบลำเลียงของหอยน้ำจืด *Paludomus* spp. ที่เก็บตัวอย่างจากจุดสำรวจนี้มีหัวใจบรรจุอยู่ในช่องรอบหัวใจใกล้กับเหงือก และอยู่ระหว่างไตกับตับ หัวใจประกอบด้วยเวนทริเคิล

หนึ่งอันและอวิเดลหนึ่งอัน อวัยวะที่ใช้ในการแลกเปลี่ยนกําชคือเหงือก เหงือกบรวมอยู่ในซ่องแม่นเทิดประกอบด้วยเซลล์รูปสามเหลี่ยมจำนวนเฉลี่ย  $91.80 \pm 4.08$  อัมเรียงต่อกัน (หอยเพศผู้มีจำนวนเฉลี่ย  $92.00 \pm 2.24$  และหอยเพศเมีย มีจำนวนเฉลี่ย  $91.60 \pm 5.68$ ) เหงือกมีความยาวเฉลี่ย  $8.22 \pm 0.61$  มิลลิเมตร (หอยเพศผู้มีความยาวเฉลี่ย  $7.94 \pm 0.63$  และหอยเพศเมีย มีความยาวเฉลี่ย  $8.57 \pm 0.43$  บริเวณใกล้ ๆ กับเหงือกจะมีอสเพรเดียมที่มีลักษณะเป็นต่อมยา ออกเพรเดียมมีความยาวเฉลี่ย  $2.79 \pm 0.30$  มิลลิเมตร (หอยเพศผู้มีความยาวเฉลี่ย  $2.92 \pm 0.31$  และหอยเพศเมีย มีความยาวเฉลี่ย  $2.66 \pm 0.26$ ) นอกจากนี้ยังพบต่อมไฮโพแบรงเกียล (สีขาวขุ่น) ซึ่งเป็นต่อมสร้างเมือกอยู่ทางด้านขวาของเหงือก (อยู่ระหว่างเหงือกและเรกตัรัม) ด้วย

ระบบขับถ่าย อวัยวะที่ใช้ในการกำจัดของเสียคือไต ซึ่งมีอยู่หนึ่งอันทางด้านหน้าของอวัยวะภายใน โดยอยู่ติดกับตับและซ่องรอบหัวใจ ได้มีสีขาวครีมถึงสีส้มอ่อน ลักษณะคล้ายถุงผนังมีลักษณะเป็นคลื่น มีความยาวเฉลี่ย  $4.12 \pm 0.73$  มิลลิเมตร (หอยเพศผู้มีความยาวเฉลี่ย  $4.38 \pm 0.84$  และหอยเพศเมีย มีความยาวเฉลี่ย  $3.80 \pm 0.47$ )

ระบบสืบพันธุ์ของหอยเพศผู้เริ่มจากเทสทิส ประกอบด้วยเซลล์ขนาดเล็ก (lobe) สีส้ม เรียงตัวแตกแขนงเป็นกิ่งก้านฝังอยู่ในตับ (สีน้ำตาล) เมต่อบริเวณเชื่อมกันด้วยท่อสเปริร์ม (vas efferens) ก่อนจะรวมเข้าสู่ท่อนำสเปริร์ม (vas deferens) เทสทิสมีความยาวเฉลี่ย  $15.23 \pm 1.09$  มิลลิเมตร ตับมีความยาวเฉลี่ย  $17.54 \pm 1.01$  มิลลิเมตร ท่อนำสเปริร์มมีลักษณะเป็นท่อสีขาวใสต่อจากเทสทิสไปยังท่อสืบพันธุ์แพลเลียล (pallial gonoduct) ลักษณะของท่อสืบพันธุ์แพลเลียลมีสีขาว ผนังบาง พบรอยแยกตามความยาวของแม่นเทิด ทำให้ท่อแพลเลียลประกอบด้วยเนื้อเยื่อ 2 ด้าน คือเนื้อเยื่อด้านข้าย (medial lamina) เป็นแผ่นบางสีขาว ที่ผิวด้านล่างพบเนื้อเยื่อเรียงตัวกันเป็นแนว (gonoduct groove) ส่วนเนื้อเยื่อด้านขวา (lateral lamina) จะหนากว่าทางด้านข้าย ที่ผิวด้านในมีลักษณะเป็นร่อง (ท่อพับไปมา) ผนังด้านขวา กับทางด้านข้ายเชื่อมต่อกันที่บริเวณใกล้กับท่อสเปริร์ม ท่อสืบพันธุ์แพลเลียลมีความยาวเฉลี่ย  $5.25 \pm 0.43$  มิลลิเมตร ด้านล่างข้ายของท่อสืบพันธุ์แพลเลียลจะพบท่ออินโภคมา (pallial tentacle) และไม่พบเพนิสยืนยาวออกไปบริเวณส่วนคอ สเปริร์มของหอยที่พับมีขนาดเล็ก แบ่งเป็น 2 ชนิดคือ สเปริร์มที่มีหัวสั้น มีหางยาว 1 หาง และ สเปริร์มที่มีหัวเป็นแบบกระสวย มีหางยาว 6 หาง ซึ่งมีขนาดใหญ่กว่าสเปริร์มที่มี 1 หาง

ระบบสีบพันธุ์ของหอยเพศเมีย รังไข่ มีสีเหลืองเขียวเรียงตัวแตกแขนงฝังอยู่ในตับ รังไข่แต่ละแขนงประกอบด้วยเซลล์ขนาดใหญ่กว่าในเพศผู้ รังไข่มีความยาวเฉลี่ย  $15.68 \pm 0.54$  มิลลิเมตร ตับมีความยาวเฉลี่ย  $18.19 \pm 0.55$  มิลลิเมตร ท่อน้ำไข่เป็นท่อสีขาวเชื่อมต่อจากรังไข่ไปยังท่อน้ำไข่แพลงเลียด (pallial oviduct) ท่อน้ำไข่แพลงเลียดมีสีขาวซุนถึงสีส้มอ่อน พบรอยแยกตามความยาวของเมนเทลและ ประกอบด้วยเนื้อเยื่อ 2 ด้านเช่นเดียวกับในหอยเพศผู้ แต่มีขนาดใหญ่และยาวกว่า มีความยาวเฉลี่ย  $5.90 \pm 0.63$  มิลลิเมตร ที่ผิวนอกเยื่อด้านในของผังทั้ง 2 ด้านมีลักษณะของท่อพับไปมาตามความยาวของเมนเทล ท่อน้ำไข่แพลงเลียดประกอบด้วยต่อมแคลบิวมิน และ ต่อมแคปซูล นอกจากนี้ยังมีอวัยวะรับสเปร์ม โคพุลาทอรีเบอร์ชาด้วย ต่อมแคลบิวมินอยู่ที่บริเวณส่วนปลายใกล้กับท่อน้ำไข่ มีผังเนื้อเยื่อบาง ขยายใหญ่ เห็นเป็นร่องลักษณะคล้ายแผ่นแห้งแห่งกอเรียงช้อนกัน มีสีส้มอ่อน ส่วนต่อหน้าแคปซูลอยู่ส่วนปลายทางด้านขอบเมนเทล มีสีขาว ผังด้านนอกไม่เรียบเห็นเป็นรอยย่น ที่ผิวด้านในหนาเป็นท่อพับไปมา

#### จุดสำรวจที่ 6 น้ำพุหัวยเขย่ง

โครงสร้างภายในอกของหอย เริ่มจากส่วนหัวของหอย ส่วนหัวอยู่บริเวณด้านหน้าของหอย ส่วนหัวยื่นออกไปเล็กน้อยทำให้เห็นเป็นลักษณะอ้วนสันเรียกสนธ์ ด้านหลังปากจะพบเหนเทเดล 1 คู่ และพบตาซึ่งมี 1 คู่ ที่บริเวณโคนเหนเทเดล ที่ส่วนหัวและเหนเทเดลพบร่องคัตตุสีเขียวเหลืองกระჯัดกระจาຍอย่างสมำเสมอและมีร่องคัตตุเมลานินปักคลุมอยู่ทำให้เห็นเหนเทเดลมีลักษณะเหมือนเป็นข้อปล้อง (รูปที่ 43 ช) ส่วนคอเป็นส่วนที่อยู่ติดจากส่วนหัวและอยู่บริเวณหลังเหนเทเดล ในหอยเพศผู้ไม่พบว่ามีเพนนิสยื่นออกมาที่บริเวณคอด้านบน ส่วนแผ่นเท้าเป็นส่วนที่อยู่ติดส่วนหัวไปทางด้านหลัง ด้านบนของแผ่นเท้าติดกับด้านข้างของลำตัว มีแผ่นไอเพอร์คิวลัมอยู่ที่ด้านบนและท้ายของแผ่นเท้า แผ่นเท้าของหอยมีลักษณะกว้าง และเป็นกล้ามเนื้อหนา พบร่องคัตตุสีเขียวเหลือง กระჯัดกระจาຍอย่างสมำเสมอบนแผ่นเท้าของหอย ส่วนเมนเทล เมนเทลจะปักคลุมส่วนหัวและคอของหอย ส่วนสุดท้ายของเมนเทลติดกับส่วนอวัยวะภายใน ใต้เมนเทลมีช่องระหว่างเมนเทลกับตัวหอยเรียกว่าช่องเมนเทล ภายในเมนเทลของหอยจะพบส่วนปลายของระบบสีบพันธุ์ ส่วนปลายของระบบทางเดินอาหาร ที่ขอบของเมนเทลซึ่งอยู่บริเวณหน้าสุดมีลักษณะเป็นปุ่มยื่นออกมา พบร่องคัตตุสีเขียวกระจาຍอย่างสมำเสมอบนเมนเทล เมนเทลมีความยาวเฉลี่ย  $7.16 \pm 0.42$  มิลลิเมตร (เมนเทลของหอยเพศผู้มีความยาวเฉลี่ย  $6.97 \pm 0.37$  และหอยเพศเมียมีความยาวเฉลี่ย  $7.35 \pm 0.40$ , ตารางที่ 12)

โครงสร้างภายในของหอย เมื่อผ่าตัวหอยในแนวยาวของลำตัวจะพบระบบอวัยวะภายใน เช่นระบบสีบพันธุ์ ระบบทางเดินอาหาร เป็นต้น (รูปที่ 45 และ 46 น) ระบบทางเดินอาหารของหอยเริ่มจากส่วนปากที่อยู่หน้าสุด จะพบปากอยู่ที่ปลายสเนาท์ รอบ ๆ ปากจะหนาเรียกริมปาก ซ่องปากไปเปิดที่ซองบักคัล หรือฟาริงส์ ภายในฟาริงส์จะมีขากรรไกรและแกรดูลา ส่วนที่แรดula บรรจุอยู่เรียกว่าบักคัลแมส ซึ่งมีความยาวเฉลี่ยประมาณ  $2.31 \pm 0.26$  มิลลิเมตร (หอยเพศผู้มีความยาวเฉลี่ย  $2.26 \pm 0.28$  และหอยเพศเมียมีความยาวเฉลี่ย  $2.36 \pm 0.26$ ) บักคัลแมสต่อ กับหลอดอาหารซึ่งมีลักษณะเป็นท่อยาว ด้านข้างของหลอดอาหารพบต่อมน้ำลาย 1 คู่ หลอดอาหารมีความยาวเฉลี่ย  $6.44 \pm 0.85$  มิลลิเมตร (หอยเพศผู้มีความยาวเฉลี่ย  $5.75 \pm 0.50$  และหอยเพศเมียมีความยาวเฉลี่ย  $7.13 \pm 0.44$ ) ส่วนท้ายของหลอดอาหารต่อ กับกระเพาะอาหารซึ่งมีลักษณะคล้ายถุงสีส้มชื่อน้อยติดต่อกับตับ บริเวณส่วนท้ายของกระเพาะอาหารมีถุงสีติดกับกระเพาะภายในบรรจุคริสตัลลีนส์ติดกับกระเพาะอาหาร สำหรับหอยเพศผู้มีความยาวเฉลี่ย  $7.26 \pm 0.53$  มิลลิเมตร (หอยเพศผู้มีความยาวเฉลี่ย  $7.00 \pm 0.42$  และหอยเพศเมียมีความยาวเฉลี่ย  $7.52 \pm 0.54$ ) บริเวณส่วนท้ายของลำไส้จะขยายขนาดขึ้นกล่าวเป็นเรกตัมและไปสิ้นสุดที่ขอบของเมนทิลที่บริเวณเอ็นซึ่งเปิดออกสู่ภายนอก เรกตัมมีความยาวเฉลี่ยประมาณ  $8.06 \pm 0.71$  มิลลิเมตร (หอยเพศผู้มีความยาวเฉลี่ย  $7.71 \pm 0.65$  และหอยเพศเมียมีความยาวเฉลี่ย  $8.40 \pm 0.66$ )

ระบบลำเลียงของหอยน้ำจืด *Paludomus* spp. ที่เก็บตัวอย่างจากจุดสำรวจนี้มีหัวใจบรรจุอยู่ในซองรอบหัวใจใกล้กับเหงือก และอยู่ระหว่างไต กับตับ หัวใจประกอบด้วย wen หรือคิล หนึ่งอันและออริคิลหนึ่งอัน อวัยวะที่ใช้ในการแลกเปลี่ยนกําชีคือเหงือก เหงือกบรรจุอยู่ในซองแมนเทลประกอบด้วยเซลล์รูปสามเหลี่ยมจำนวนเฉลี่ย  $97.50 \pm 2.88$  อันเรียงต่อกัน (หอยเพศผู้มีจำนวนเฉลี่ย  $97.40 \pm 2.30$  และหอยเพศเมียมีจำนวนเฉลี่ย  $97.60 \pm 3.65$ ) เหงือกมีความยาวเฉลี่ย  $6.27 \pm 0.52$  มิลลิเมตร (หอยเพศผู้มีความยาวเฉลี่ย  $6.09 \pm 0.47$  และหอยเพศเมียมีความยาวเฉลี่ย  $6.45 \pm 0.54$  บริเวณใกล้ ๆ กับเหงือกจะมีอสเตรเดียมที่มีลักษณะเป็นต่อมยາ ออสเตรเดียมมีความยาวเฉลี่ย  $2.23 \pm 0.16$  มิลลิเมตร (หอยเพศผู้มีความยาวเฉลี่ย  $2.22 \pm 0.08$  และหอยเพศเมียมีความยาวเฉลี่ย  $2.23 \pm 0.22$ ) นอกจากนี้ยังพบต่อม

ไฮโพแบรงเดียล (สีขาวขุ่น) ซึ่งเป็นต่อมสร้างเมือกอยู่ทางด้านขวาของเหงือก (อยู่ระหว่างเหงือกและรากตرم) ด้วย

ระบบขับถ่าย อวัยวะที่ใช้ในการกำจัดของเสียคือไต ซึ่งมีอยู่หนึ่งอันทางด้านหน้าของอวัยวะภายใน โดยอยู่ติดกับตับและซ่องรอบหัวใจ トイมีสีขาวครีมถึงสีส้มอ่อน ลักษณะคล้ายถุงผนังมีลักษณะเป็นคลื่น มีความยาวเฉลี่ย  $4.08 \pm 0.36$  มิลลิเมตร (หอยเพศผู้มีความยาวเฉลี่ย  $4.14 \pm 0.38$  และหอยเพศเมียมีความยาวเฉลี่ย  $4.02 \pm 0.37$ )

ระบบสืบพันธุ์ของหอยเพศผู้เริ่มจากเทสทิส ประกอบด้วยเซลล์ขนาดเล็ก (lobe) สีส้ม เรียงตัวแตกแขนงเป็นกิ่งก้านฝังอยู่ในตับ (สีน้ำตาล) แต่ละแขนงเชื่อมกันด้วยท่อสเปริร์ม (vas efferens) ก่อนจะรวมเข้าสู่ท่อนำสเปริร์ม (vas deferens) เทสทิสมีความยาวเฉลี่ย  $14.31 \pm 0.79$  มิลลิเมตร ตับมีความยาวเฉลี่ย  $15.68 \pm 0.45$  มิลลิเมตร ท่อนำสเปริร์มมีลักษณะเป็นท่อสีขาวใสต่อจากเทสทิสไปยังท่อสืบพันธุ์แพลเลียล (pallial gonoduct) ลักษณะของท่อสืบพันธุ์แพลเลียลมีสีขาว ผนังบาง พบรอยแยกตามความยาวของแม่นเทล ทำให้ท่อแพลเลียลประกอบด้วยเนื้อยื่นเรียงตัวกันเป็นแนว (gonoduct groove) ส่วนเนื้อยื่นด้านขวา (lateral lamina) จะหนากว่าทางด้านซ้าย ที่ผิวด้านในมีลักษณะเป็นร่อง (ห้อพับไปมา) ผนังด้านขวา กับทางด้านซ้ายเชื่อมต่อกันที่บริเวณใกล้กับท่อสเปริร์ม ท่อสืบพันธุ์แพลเลียลมีความยาวเฉลี่ย  $4.88 \pm 0.33$  มิลลิเมตร ด้านล่างซ้ายของท่อสืบพันธุ์แพลเลียลจะพบท่อยื่นออกมานอก (pallial tentacle) และไม่พบเพนิสยืนยาวออกไปบริเวณส่วนคอ สเปริร์มของหอยที่พบมีขนาดเล็ก แบ่งเป็น 2 ชนิดคือ สเปริร์มที่มีหัวสั้นมีหางยาว 1 หาง และ สเปริร์มที่มีหัวเป็นแบบสวยงามมีหางยาว 6 หาง ซึ่งมีขนาดใหญ่กว่าสเปริร์มที่มี 1 หาง

ระบบสืบพันธุ์ของหอยเพศเมีย รังไข่ มีสีเหลืองเขียวเรียงตัวแตกแขนงฝังอยู่ในตับ รังไข่แต่ละแขนงประกอบด้วยเซลล์ขนาดใหญ่กว่าในเพศผู้ รังไข่มีความยาวเฉลี่ย  $13.22 \pm 1.21$  มิลลิเมตร ตับมีความยาวเฉลี่ย  $15.04 \pm 0.73$  มิลลิเมตร ท่อนำไข่เป็นท่อสีขาวเชื่อมต่อจากรังไข่ไปยังท่อนำไข่แพลเลียล (pallial oviduct) ท่อนำไข่แพลเลียลมีสีขาวขุ่นถึงสีส้มอ่อน พบรอยแยกตามความยาวของแม่นเทลและ ประกอบด้วยเนื้อยื่นเรียงตัวกัน 2 ด้าน เช่นเดียวกับในหอยเพศผู้ แต่มีขนาดใหญ่และยาวกว่า มีความยาวเฉลี่ย  $4.81 \pm 1.08$  มิลลิเมตร ที่ผิวนี้อยู่ต่อหน้าในของผนังทั้ง 2 ด้านมีลักษณะของท่อพับไปมาตามความยาวของแม่นเทล ท่อนำไข่แพลเลียลประกอบด้วยต่อมแอลบิวมิน และ ต่อมแคปซูล นอกจากนี้ยังมีอวัยวะรับสเปริร์ม โคคูลาทอรี เปอร์ชาด้วย ต่อมแอลบิวมินอยู่ที่บริเวณส่วนปลายใกล้กับท่อนำไข่ มีผนังเนื้อยื่นบาง ขยาย

ใหญ่ เห็นเป็นร่องลักษณะคล้ายแผ่นเหล็กเรียงชั้อนกัน มีสีส้มอ่อน ส่วนต่อมแคปซูลอยู่ส่วนปลายทางด้านขอบแม่นเทิด มีสีขาว ผนังด้านนอกไม่เรียบเห็นเป็นรอยย่น ที่ผิวด้านในหนาเป็นท่อพับไปมา

#### จุดสำรวจที่ 7 ลำธารป่าชุมชนบ้านท่ามะเดื่อ

โครงสร้างภายนอกของหอย เริ่มจากส่วนหัวของหอย ส่วนหัวอยู่บริเวณด้านหน้าของหอย ส่วนหัวยื่นออกไปเล็กน้อยทำให้เห็นเป็นลักษณะอ้วนสั้นเรียกว่าสเนาท์ ด้านหลังปากจะพบเหนเทเดิล 1 คู่ และพบตาซึ่งมี 1 คู่ ที่บริเวณโคนเหนเทเดิล ที่ส่วนหัวและเหนเทเดิลพบวงศ์วัตถุสีเขียวเหลืองกระজัดกระจาดอย่างสมำเสมอและมีร่องคราบสูเมลานินปกคลุมอยู่ทำให้เห็นเหนเทเดิลมีลักษณะเหมือนเป็นข้อปล้อง (รูปที่ 43 ช) ส่วนคอเป็นส่วนที่อยู่ดัดจากส่วนหัวและอยู่บริเวณหลังเหนเทเดิล ในหอยเพศผู้ไม่พบว่ามีเพนนิสยื่นออกมาที่บริเวณคอด้านบน ส่วนแผ่นเท้าเป็นส่วนที่อยู่ติดส่วนหัวไปทางด้านหลัง ด้านบนของแผ่นเท้าติดกับด้านข้างของลำตัว มีแผ่นໂเพอร์คิวลัมอยู่ที่ด้านบนและท้ายของแผ่นเท้า แผ่นเท้าของหอยมีลักษณะกว้าง และเป็นกล้ามเนื้อหนา พบรังควัตถุสีเขียวเหลือง กระจัดกระจาดอย่างสมำเสมอบนแผ่นเท้าของหอย ส่วนแม่นเทิด แม่นเทิดจะปกคลุมส่วนหัวและคอ ส่วนสุดท้ายของแม่นเทิดติดกับส่วนอวัยวะภายใน ใต้แม่นเทิดมีช่องระหว่างแม่นเทิดกับด้านหอยเรียกว่าช่องแม่นเทิด ภายในแม่นเทิดของหอยจะพบส่วนปลายของระบบสืบพันธุ์ ส่วนปลายของระบบทางเดินอาหาร ที่ขอบของแม่นเทิดซึ่งอยู่บริเวณหน้าสุดมีลักษณะเป็นปุ่มยื่นออกมา พบรังควัตถุสีเขียวกระจาดอย่างสมำเสมอบนแม่นเทิด แม่นเทิดมีความยาวเฉลี่ย  $7.44 \pm 0.72$  มิลลิเมตร (แม่นเทิดของหอยเพศผู้มีความยาวเฉลี่ย  $7.66 \pm 0.83$  และหอยเพศเมียมีความยาวเฉลี่ย  $7.22 \pm 0.62$ , ตารางที่ 7)

โครงสร้างภายในของหอย เมื่อผ่าตัวหอยในแนวยาวของลำตัวจะพบระบบอวัยวะภายใน เช่นระบบสืบพันธุ์ ระบบทางเดินอาหาร เป็นต้น (รูปที่ 45 ช, 46 ช) ระบบทางเดินอาหารของหอยเริ่มจากส่วนปากที่อยู่หน้าสุด จะพบปากอยู่ที่ปลายสเนาท์ รอบ ๆ ปากจะหนาเรียกวิมีฟีปาก ซึ่งปากไปเปิดที่ซองบักคัด หรือฟาริงส์ ภายในฟาริงส์จะมีขากรหาระและแครดูลา ส่วนที่เร็วๆ ลับรวมอยู่เรียกว่าบักคัดแมส ซึ่งมีความยาวเฉลี่ยประมาณ  $2.72 \pm 0.15$  มิลลิเมตร (หอยเพศผู้มีความยาวเฉลี่ย  $2.72 \pm 0.19$  และหอยเพศเมียมีความยาวเฉลี่ย  $2.72 \pm 0.13$ ) บักคัดแมสต่อ กับหลอดอาหารซึ่งมีลักษณะเป็นท่อยาว ด้านข้างของหลอดอาหารพบต่อมน้ำลาย 1 คู่ หลอดอาหารมีความยาวเฉลี่ย  $7.02 \pm 0.41$  มิลลิเมตร (หอยเพศผู้มีความยาวเฉลี่ย  $6.91 \pm 0.50$  และหอยเพศเมียมีความยาวเฉลี่ย  $7.12 \pm 0.33$ ) ส่วนท้ายของหลอดอาหารต่อ กับกระเพาะอาหารซึ่งมีลักษณะคล้ายถุงสีส้มอ่อนอยู่ติดต่อกับตับ บริเวณส่วนท้ายของกระเพาะ

อาหารมีถุงสไตล์ภายในบรรจุคริสตัลลีนส์สไตล์ลักษณะเป็นแท่งใส่มีเข้มข่าวายย่อยอาหาร กระเพาะอาหารส่วนนี้มีผังกระเพาะที่หนาและมีผิวค้านในมันเรียก แกสตอริกซิลล์ บริเวณที่ต่อจากกระเพาะอาหารคือลำไส้ ซึ่งอยู่ที่ด้านหน้ากระเพาะอาหาร ลำไส้มีความยาวเฉลี่ย  $8.11 \pm 0.32$  มิลลิเมตร (หอยเพศผู้มีความยาวเฉลี่ย  $7.99 \pm 0.32$  และหอยเพศเมียมีความยาวเฉลี่ย  $8.24 \pm 0.31$ ) บริเวณส่วนท้ายของลำไส้จะขยายขนาดขึ้นกลับเป็นเรกตัมและไปสิ้นสุดที่ขอบของเมนเทลที่บริเวณเอ็นสูริ่งเปิดออกสู่ภายนอก เก้าตัมมีความยาวเฉลี่ยประมาณ  $8.35 \pm 0.28$  มิลลิเมตร (หอยเพศผู้มีความยาวเฉลี่ย  $8.33 \pm 0.31$  และหอยเพศเมียมีความยาวเฉลี่ย  $8.36 \pm 0.27$ )

ระบบลำเลียงของหอยน้ำจืด *Paludomus* spp. ที่เก็บตัวอย่างจากจุดสำรวจนี้มีหัวใจบรรจุอยู่ในช่องรอบหัวใจใกล้กับเหงือก และอยู่ระหว่างไตกับตับ หัวใจประกอบด้วยเนนทริเคิลหนึ่งอันและออริเคิลหนึ่งอัน อวัยวะที่ใช้ในการแลกเปลี่ยนกําชีคือเหงือก เหงือกบรรจุอยู่ในช่องแม่นเทลประกอบด้วยเซลล์รูปสามเหลี่ยมจำนวนเฉลี่ย  $89.76 \pm 2.35$  อันเรียงต่อกัน (หอยเพศผู้มีจำนวนเฉลี่ย  $89.32 \pm 2.50$  และหอยเพศเมียมีจำนวนเฉลี่ย  $90.20 \pm 2.39$ ) เหงือกมีความยาวเฉลี่ย  $6.85 \pm 0.36$  มิลลิเมตร (หอยเพศผู้มีความยาวเฉลี่ย  $6.88 \pm 0.31$  และหอยเพศเมียมีความยาวเฉลี่ย  $6.82 \pm 0.44$  บริเวณใกล้ๆ กับเหงือกจะมีอสเพรเดียบมีลักษณะเป็นต่อมยา水分อสเพรเดียบมีความยาวเฉลี่ย  $2.28 \pm 1.12$  มิลลิเมตร (หอยเพศผู้มีความยาวเฉลี่ย  $2.28 \pm 0.13$  และหอยเพศเมียมีความยาวเฉลี่ย  $2.28 \pm 0.13$ ) นอกจากนี้ยังพบต่อมໄอิพแบบเดียบ (ลีขารุ่น) ซึ่งเป็นต่อมสร้างเมือกอยู่ทางด้านขวาของเหงือก (อยู่ระหว่างเหงือกและเรกตัม) ด้วย

ระบบขับถ่าย อวัยวะที่ใช้ในการกำจัดของเสียคือไต ซึ่งมีอยู่หนึ่งอันทางด้านหน้าของอวัยวะภายใน โดยอยู่ติดกับตับและช่องรอบหัวใจ ไม่มีลักษณะเป็นรูปถ้วย มีลักษณะคล้ายถุงผังมีลักษณะเป็นคลื่น มีความยาวเฉลี่ย  $3.39 \pm 0.34$  มิลลิเมตร (หอยเพศผู้มีความยาวเฉลี่ย  $3.24 \pm 0.28$  และหอยเพศเมียมีความยาวเฉลี่ย  $3.54 \pm 0.35$ )

ระบบสีบพันธุ์ของหอยเพศผู้เริ่มจากเทสทิส ประกอบด้วยเซลล์ขนาดเล็ก (lobe) สีส้ม เรียงตัวแตกแขนงเป็นกิ่งก้านฝังอยู่ในตับ (สีน้ำตาล) แต่ละแขนงเชื่อมกันด้วยท่อสเปริม (vas efferens) ก่อนจะรวมเข้าสู่ท่อนำสเปริม (vas deferens) เทสทิสมีความยาวเฉลี่ย  $12.23 \pm 1.41$  มิลลิเมตร ตับมีความยาวเฉลี่ย  $14.24 \pm 1.32$  มิลลิเมตร ท่อนำสเปริมมีลักษณะเป็นท่อสีขาวใสต่อจากเทสทิสไปยังท่อสีบพันธุ์แพลเลียล (pallial gonoduct) ลักษณะของท่อสีบ

พันธุ์แพลเลียลมีสีขาว ผนังบาง พบรอยแยกตามความยาวของแม่นเทิล ทำให้ท่อแพลเลียล ประกอบด้วยเนื้อเยื่อ 2 ด้าน คือเนื้อเยื่อด้านซ้าย (medial lamina) เป็นแผ่นบางสีขาว ที่ผิว ด้านล่างพนเปื้อนเยื่อเรียงตัวกันเป็นแนว (gonoduct groove) ส่วนเนื้อเยื่อด้านขวา (lateral lamina) จะหนากว่าทางด้านซ้าย ที่ผิวด้านในมีลักษณะเป็นร่อง (ท่อพับไปมา) ผนังด้านขวา กับ ทางด้านซ้ายเชื่อมต่อกันที่บริเวณใกล้กับท่อสเปร์ม ท่อสีบพันธุ์แพลเลียล มีความยาวเฉลี่ย  $4.89 \pm 0.89$  มิลลิเมตร ด้านล่างซ้ายของท่อสีบพันธุ์แพลเลียลจะพบท่ออยู่นอกมา (pallial tentacle) และไม่พบเพนิสเยื่อยาวออกไปบริเวณส่วนคอ สเปร์มของหอยที่พบมีขนาดเล็ก แบ่ง เป็น 2 ชนิดคือ สเปร์มที่มีหัวสั้นเมืองขาว 1 หาง และ สเปร์มที่มีหัวเป็นแบบกระวยเมืองขาว 6 หาง ซึ่งมีขนาดใหญ่กว่าสเปร์มที่มี 1 หาง

ระบบสีบพันธุ์ของหอยเพศเมีย รังไข่ มีสีเหลืองเขียวเรียงตัวแทรกแขนงฝังอยู่ในตับ รังไข่แต่ละแขนงประกอบด้วยเซลล์ขนาดใหญ่กว่าในเพศผู้ รังไข่มีความยาวเฉลี่ย  $11.58 \pm 2.06$  มิลลิเมตร ตับมีความยาวเฉลี่ย  $13.37 \pm 2.21$  มิลลิเมตร ท่อน้ำไข่เป็นท่อสีขาวเชื่อมต่อจาก รังไข่ไปยังท่อน้ำไข่แพลเลียล (pallial oviduct) ท่อน้ำไข่แพลเลียล มีสีส้มอ่อน พบรอยแยกตามความยาวของแม่นเทิลและ ประกอบด้วยเนื้อเยื่อ 2 ด้านเช่นเดียวกับในหอยเพศผู้ แต่มีขนาดใหญ่และยาวกว่า มีความยาวเฉลี่ย  $4.23 \pm 0.62$  มิลลิเมตร ที่ผิวนี้อีกด้านใน ของผนังทั้ง 2 ด้านมีลักษณะของท่อพับไปมาตามความยาวของแม่นเทิล ท่อน้ำไข่แพลเลียล ประกอบด้วยต่อมแอลบิวิน และ ต่อมแคปซูล นอกจากนี้ยังมีอวัยวะรับสเปร์ม โคพุลาทอรี เบอร์ชาด้วย ต่อมแอลบิวินอยู่ที่บริเวณส่วนปลายใกล้กับท่อน้ำไข่ มีผนังเนื้อเยื่อบาง ขยาย ในญี่ เห็นเป็นร่องลักษณะคล้ายแผ่นเงินเงี้ยงเรียงช้อนกัน มีสีส้มอ่อน ส่วนต่อมแคปซูลอยู่ส่วน ปลายทางด้านขอกแม่นเทิล มีสีขาว ผนังด้านนอกไม่เรียบเห็นเป็นรอยย่น ที่ผิวด้านในหนาเป็น ท่อพับไปมา

#### จุดสำรวจที่ 8 น้ำตกเกริงกระเวีย

โครงสร้างภายนอกของหอย เริ่มจากส่วนหัวของหอย ส่วนหัวอยู่บริเวณด้านหน้าของ หอย ส่วนหัวยื่นออกไปเล็กน้อยทำให้เห็นเป็นลักษณะอ้วนสั้นเรียกว่าสเนาท์ ด้านหลังปากจะพบ เทนเทเดิล 1 คู่ และพบตาซึ่งมี 1 คู่ ที่บริเวณโคนเทนเทเดิล ที่ส่วนหัวและเทนเทเดิลพบรังค วัตถุสีเขียวเหลืองกระჯัดกระจายอย่างสม่ำเสมอและมีร่องคัวตุ่มล้านินปักคลุมอยู่ทำให้เห็นเทนเท เดิลมีลักษณะเหมือนเป็นข้อปล้อง (รูปที่ 43 ฯ) ส่วนคอเป็นส่วนที่อยู่เดียวกับส่วนหัวและอยู่ บริเวณหลังเทนเทเดิล ในหอยเพศผู้ไม่พบว่ามีเพนิสเยื่อนอกมาที่บริเวณคอด้านบน ส่วนแผ่นเท้า เป็นส่วนที่อยู่ติดส่วนหัวไปทางด้านหลัง ด้านบนของแผ่นเท้าติดกับด้านซ้ายของลำตัว มีแผ่นโคง

เพื่อรักษาลักษณะที่ด้านบนและท้ายของแผ่นเท้า แผ่นเท้าของหอยมีลักษณะกว้าง และเป็นกล้ามเนื้อหนา พบรุคตุสีเขียวเหลือง กระดักระยะอย่างสม่ำเสมอบนแผ่นเท้าของหอย ส่วนเมนเทล แม่นเทลจะปักคลุมส่วนหัวและคอของหอย ส่วนสุดท้ายของเมนเทลติดกับส่วนอวัยวะภายใน ใต้เมนเทลมีช่องระหว่างเมนเทลกับตัวหอยเรียกว่าช่องเมนเทล ภายในเมนเทลของหอยจะพบส่วนปลายของระบบสีบพันธุ์ ส่วนปลายของระบบทางเดินอาหาร ที่ขอบของเมนเทลซึ่งอยู่บริเวณหน้าสุดมีลักษณะเป็นปุ่มยื่นออกมา พบรุคตุสีเขียวกระชาวย่างสม่ำเสมอบนเมนเทล แม่นเทลมีความยาวเฉลี่ย  $7.77 \pm 0.78$  มิลลิเมตร (แม่นเทลของหอยเพศผู้มีความยาวเฉลี่ย  $7.96 \pm 0.43$  และหอยเพศเมียมีความยาวเฉลี่ย  $7.58 \pm 1.05$ , ตารางที่ 14)

โครงสร้างภายในของหอย เมื่อผ่าตัวหอยในแนวยาวของลำตัวจะพบรอบอวัยวะภายใน เช่นระบบสีบพันธุ์ ระบบทางเดินอาหาร เป็นต้น (รูปที่ 45 ณ, 46 ณ) ระบบทางเดินอาหารของหอยเริ่มจากส่วนปากที่อยู่หน้าสุด จะพับปากอยู่ที่ปลายสนาท์ รอบ ๆ ปากจะหนาเรียกวิมฝีปาก ซึ่งปากไปเบิดที่ซองบักคล หรือฟาริงส์ ภายในฟาริงส์จะมีขกรไวรัลและแอนดูลา ส่วนที่แอนดูลาบรรจุอยู่เรียกว่าบักคลสแมส ซึ่งมีความยาวเฉลี่ยประมาณ  $2.14 \pm 0.12$  มิลลิเมตร (หอยเพศผู้มีความยาวเฉลี่ย  $2.09 \pm 0.13$  และหอยเพศเมียมีความยาวเฉลี่ย  $2.18 \pm 0.08$ ) บักคลสแมสต่อ กับหลอดอาหารซึ่งมีลักษณะเป็นท่อยาว ด้านซ้ายของหลอดอาหารพับต่อมน้ำลาย 1 ครั้ง หลอดอาหารมีความยาวเฉลี่ย  $6.07 \pm 0.89$  มิลลิเมตร (หอยเพศผู้มีความยาวเฉลี่ย  $5.90 \pm 0.58$  และหอยเพศเมียมีความยาวเฉลี่ย  $6.24 \pm 1.17$ ) ส่วนท้ายของหลอดอาหารต่อ กับกระเพาะอาหารซึ่งมีลักษณะคล้ายถุงสีส้มอ่อนอยู่ติดต่อกับตับ บริเวณส่วนท้ายของกระเพาะอาหารมีถุงสีติดภายในบรรจุคริสตัลลีนส์ตีล์ลักษณะเป็นแท่งใสเมื่อเอ็นไทร์ช่วยย่อยอาหาร กระเพาะอาหารส่วนนี้มีผนังกระเพาะที่หนาและมีผิวด้านในมันเรียก แกสตրิกชีล์ด์ บริเวณที่ต่อจากกระเพาะอาหารคือลำไส้ ซึ่งอยู่ที่ด้านหน้ากระเพาะอาหาร ลำไส้มีความยาวเฉลี่ย  $5.95 \pm 0.74$  มิลลิเมตร (หอยเพศผู้มีความยาวเฉลี่ย  $6.38 \pm 0.49$  และหอยเพศเมียมีความยาวเฉลี่ย  $5.52 \pm 0.73$ ) บริเวณส่วนท้ายของลำไส้จะขยายขนาดขึ้นกล่าวเป็นเรกตัมและไปสิ้นสุดที่ขอบของเมนเทลที่บริเวณเอนส์ซึ่งเปิดออกสู่ภายนอก เรกตัมมีความยาวเฉลี่ยประมาณ  $7.95 \pm 1.06$  มิลลิเมตร (หอยเพศผู้มีความยาวเฉลี่ย  $7.80 \pm 0.68$  และหอยเพศเมียมีความยาวเฉลี่ย  $8.10 \pm 1.41$ )

ระบบลำเลียงของหอยน้ำจืด *Paludomus* spp. ที่เก็บตัวอย่างจากฤดูสำราญนี้มีหัวใจบรรจุอยู่ในช่องรอบหัวใจใกล้กับเหงือก และอยู่ระหว่างไตกับตับ หัวใจประกอบด้วยเวนทิริดิล

หนึ่งอันและอวิคีลหนึ่งอัน อวัยวะที่ใช้ในการแลกเปลี่ยนก้าซคือเหงือก เหงือกบรรจุอยู่ในช่องแม่นทิลประกอบด้วยเซลล์รูปสามเหลี่ยมจำนวนเฉลี่ย  $94.4 \pm 3.41$  อันเรียงต่อกัน (หอยเพศผู้มีจำนวนเฉลี่ย  $93.8 \pm 3.56$  และหอยเพศเมีย มีจำนวนเฉลี่ย  $95.00 \pm 3.54$ ) เหงือกมีความยาวเฉลี่ย  $6.16 \pm 0.63$  มิลลิเมตร (หอยเพศผู้มีความยาวเฉลี่ย  $6.29 \pm 0.78$  และหอยเพศเมีย มีความยาวเฉลี่ย  $6.04 \pm 0.50$  บริเวณใกล้ ๆ กับเหงือกจะมีอสเพรเดียมที่มีลักษณะเป็นต่อมยาา ออสเพรเดียมมีความยาวเฉลี่ย  $2.85 \pm 0.13$  มิลลิเมตร (หอยเพศผู้มีความยาวเฉลี่ย  $2.88 \pm 0.08$  และหอยเพศเมีย มีความยาวเฉลี่ย  $2.83 \pm 0.17$ ) นอกจากนี้ยังพบต่อมไฮโพแบรงเดียล (สืขาวขุ่น) ซึ่งเป็นต่อมสร้างเมื่อก่ออยู่ทางด้านขวาของเหงือก (อยู่ระหว่างเหงือกและรากตัว) ด้วย

ระบบขับถ่าย อวัยวะที่ใช้ในการกำจัดของเสียคือไต ซึ่งมีอยู่หนึ่งอันทางด้านหน้าของอวัยวะภายใน โดยอยู่ติดกับตับและซองรอบหัวใจ ได้มีสืขาวคริมถึงสีส้มอ่อน ลักษณะคล้ายถุงผนังมีลักษณะเป็นคลื่น มีความยาวเฉลี่ย  $3.28 \pm 0.43$  มิลลิเมตร (หอยเพศผู้มีความยาวเฉลี่ย  $3.38 \pm 0.16$  และหอยเพศเมีย มีความยาวเฉลี่ย  $3.19 \pm 0.60$ )

ระบบสืบพันธุ์ของหอยเพศผู้เริ่มจากเทสทิล ประกอบด้วยเซลล์ขนาดเล็ก (lobe) สีส้ม เรียงตัวแตกแขนงเป็นกิ่งก้านฝังอยู่ในตับ (สีน้ำตาล) แต่ละแขนงเริ่มกันด้วยห่อสเปริม (vas efferens) ก่อนจะรวมเข้าสู่ห้องนำสเปริม (vas deferens) เทสทิล มีความยาวเฉลี่ย  $13.20 \pm 0.42$  มิลลิเมตร ตับมีความยาวเฉลี่ย  $15.28 \pm 0.41$  มิลลิเมตร ห้องนำสเปริมมีลักษณะเป็นห่อสืขาวใสต่อจากเทสทิลไปยังห่อสืบพันธุ์แพลเลียล (pallial gonoduct) ลักษณะของห่อสืบพันธุ์แพลเลียล มีสีขาว ผนังบาง พบรอยแยกตามความยาวของแม่นทิล ทำให้ห่อแพลเลียลประกอบด้วยเนื้อเยื่อ 2 ด้าน คือเนื้อเยื่อด้านซ้าย (medial lamina) เป็นแผ่นบางสืขาว ที่ผิวด้านล่างพนเปื้อเยื่อเรียงตัวกันเป็นแนว (gonoduct groove) ส่วนเนื้อเยื่อด้านขวา (lateral lamina) จะหนากว่าทางด้านซ้าย ที่ผิวด้านในมีลักษณะเป็นร่อง (ห้อพับไปมา) ผนังด้านขวา กับทางด้านซ้ายเริ่มต่อ กันที่บริเวณใกล้กับห่อสเปริม ห่อสืบพันธุ์แพลเลียล มีความยาวเฉลี่ย  $4.58 \pm 0.79$  มิลลิเมตร ด้านล่างซ้ายของห่อสืบพันธุ์แพลเลียลจะพนห้อยื่นออกมานอกมา (pallial tentacle) และไม่พนเปนสีน้ำเงินมากไปบริเวณส่วนคอ สเปริมของหอยที่พนมีขนาดเล็ก แบ่งเป็น 2 ชนิดคือ สเปริมที่มีหัวสั้น มีหางยาว 1 หาง และ สเปริมที่มีหัวเป็นแบบกระสุย มีหางยาว 6 หาง ซึ่งมีขนาดใหญ่กว่าสเปริมที่มี 1 หาง

ระบบสีบพันธุ์ของหอยเพศเมีย รังໄใช มีสีเหลืองเขียวเรียงตัวแทรกแขนงฝังอยู่ในตับ รังໄใชแต่ละแขนงประกอบด้วยเซลล์ขนาดใหญ่กว่าในเพศผู้ รังໄใชมีความยาวเฉลี่ย  $12.48 \pm 2.58$  มิลลิเมตร ตับมีความยาวเฉลี่ย  $14.38 \pm 2.44$  มิลลิเมตร ท่อนำໄใชเป็นท่อสีขาวเชื่อมต่อจากรังໄใชไปยังท่อนำໄใชแพลเลียล (pallial oviduct) ท่อนำໄใชแพลเลียลมีสีขาวซุนถึงสีส้มอ่อน พบรอยแยกตามความยาวของแม่นเทิดและ ประกอบด้วยเนื้อเยื่อ 2 ด้าน เช่นเดียวกับในหอยเพศผู้ แต่มีขนาดใหญ่และยาวกว่า มีความยาวเฉลี่ย  $4.64 \pm 0.97$  มิลลิเมตร ที่ผิวนอกเยื่อด้านในของผังทั้ง 2 ด้านมีลักษณะของท่อพับไปมาตามความยาวของแม่นเทิด ท่อนำໄใชแพลเลียลประกอบด้วยต่อมแอลบิวามิน และ ต่อมแคปซูล นอกจากนี้ยังมีอวัยวะรับสเปร์ม โคพุลาทอรี เบอร์ชาร์ดด้วย ต่อมแอลบิวามินอยู่ที่บริเวณส่วนปลายใกล้กับท่อนำໄใช มีผังนังเนื้อเยื่อบาง ขยายใหญ่ เห็นเป็นร่องลักษณะคล้ายแผ่นเงินเงี้ยงซ้อนกัน มีสีส้มอ่อน ส่วนต่อมแคปซูลอยู่ส่วนปลายทางด้านขوبแม่นเทิด มีสีขาว ผังด้านนอกไม่เรียบเห็นเป็นรอยย่น ที่ผิวด้านในหนาเป็นท่อพับไปมา

#### จุดสำรวจที่ 9 น้ำตกไดซ่องถ่อง

โครงสร้างภายนอกของหอย เริ่มจากส่วนหัวของหอย ส่วนหัวอยู่บริเวณด้านหน้าของหอย ส่วนหัวยื่นออกไปเล็กน้อยทำให้เห็นเป็นลักษณะอ้วนสันเรียกสเนาท์ ด้านหลังปากจะพบเหนเทเดิล 1 คู่ และพบตาซึ่งมี 1 คู่ ที่บริเวณโคนเหนเทเดิล ที่ส่วนหัวและเหนเทเดิลพบวงค์วัตถุสีเขียวเหลืองกระজัดกระจาดอย่างสม่ำเสมอและมีร่องคราตุเมลานินปักคลุมอยู่ทำให้เห็นเหนเทเดิลมีลักษณะเหมือนเป็นข้อปล้อง (รูปที่ 43 ณ) ส่วนคอเป็นส่วนที่อยู่ถัดจากส่วนหัวและอยู่บริเวณหลังเหนเทเดิล ในหอยเพศผู้ไม่พบว่ามีเพนนิสยืนออกมากที่บริเวณคอด้านบน ส่วนแผ่นเท้า เป็นส่วนที่อยู่ติดส่วนหัวไปทางด้านหลัง ด้านบนของแผ่นเท้าติดกับด้านข้างของลำตัว มีแผ่นໂโคเพอร์คิวลัมอยู่ที่ด้านบนและท้ายของแผ่นเท้า แผ่นเท้าของหอยมีลักษณะกว้าง และเป็นกล้ามเนื้อหนา พบรังควัตถุสีเขียวเหลือง กระจัดกระจาดอย่างสม่ำเสมอบนแผ่นเท้าของหอย ส่วนแม่นเทิด แม่นเทิดจะปักคลุมส่วนหัวและคอ ส่วนสุดท้ายของแม่นเทิดติดกับส่วนอวัยวะภายใน ใต้แม่นเทิดมีช่องระหว่างแม่นเทิดกับด้านหอยเรียกช่องแม่นเทิด ภายในแม่นเทิดของหอยจะพบส่วนปลายของระบบสีบพันธุ์ ส่วนปลายของระบบทางเดินอาหาร ที่ขอบของแม่นเทิดซึ่งอยู่บริเวณหน้าสุดมีลักษณะเป็นปุ่มยื่นออกมาก พบรังควัตถุสีเขียวกระจัดกระจาดอย่างสม่ำเสมอบนแม่นเทิด แม่นเทิดมีความยาวเฉลี่ย  $7.98 \pm 0.36$  มิลลิเมตร (แม่นเทิดของหอยเพศผู้มีความยาวเฉลี่ย  $7.98 \pm 0.48$  และ หอยเพศเมียมีความยาวเฉลี่ย  $7.98 \pm 0.24$ , ตารางที่ 15)

โครงสร้างภายในของหอย เมื่อผ่าตัวหอยในแนวยาวของลำตัวจะพบระบบอวัยวะภายใน เช่นระบบสีบพันธุ์ ระบบทางเดินอาหาร เป็นต้น (รูปที่ 45 ๔, 46 ๕) ระบบทางเดินอาหารของหอยเริ่มจากส่วนปากที่อยู่หน้าสุด จะพบปากอยู่ที่ปลายสเนาท์ รอบ ๆ ปากจะหนาเรียกวิริมฝีปาก ซ่องปากไปเปิดที่ซ่องบักคัล หรือฟาริงส์ ภายในฟาริงส์จะมีขากรรไกรและแรดคุลา ส่วนที่เวดลับระหว่างรูปสีบพันธุ์และบักคัลแมส ซึ่งมีความยาวเฉลี่ยประมาณ  $2.18 \pm 0.63$  มิลลิเมตร (หอยเพศผู้มีความยาวเฉลี่ย  $2.20 \pm 0.07$  และหอยเพศเมียมีความยาวเฉลี่ย  $2.16 \pm 0.05$ ) บักคัลแมสต่อ กับหลอดอาหารซึ่งมีลักษณะเป็นท่อยาว ด้านข้างของหลอดอาหารพบต่อมน้ำลาย ๑ คู่ หลอดอาหารมีความยาวเฉลี่ย  $5.34 \pm 0.13$  มิลลิเมตร (หอยเพศผู้มีความยาวเฉลี่ย  $5.36 \pm 0.11$  และหอยเพศเมียมีความยาวเฉลี่ย  $5.32 \pm 0.15$ ) ส่วนท้ายของหลอดอาหารต่อ กับกระเพาะอาหารซึ่งมีลักษณะคล้ายถุงสีส้มอ่อนอยู่ติดต่อกับตับ บริเวณส่วนท้ายของกระเพาะอาหารมีถุงสีติดกับกระเพาะภายในบรรจุคริสทัลลีนส์ ติดกับกระเพาะอาหารเป็นแท่งใสเมื่อเอ็นไขม์ช่วยย่อยอาหาร กระเพาะอาหารส่วนนี้มีผนังกระเพาะที่หนาและมีผิวด้านในมันเรียก แกสตրิกชีล์ด์ บริเวณที่ต่อจากกระเพาะอาหารคือลำไส้ ซึ่งอยู่ที่ด้านหน้ากระเพาะอาหาร ลำไส้มีความยาวเฉลี่ย  $7.06 \pm 0.61$  มิลลิเมตร (หอยเพศผู้มีความยาวเฉลี่ย  $6.58 \pm 0.47$  และหอยเพศเมียมีความยาวเฉลี่ย  $7.54 \pm 0.21$ ) บริเวณส่วนท้ายของลำไส้จะขยายขนาดขึ้นกลايเป็นเรกตัมและไปสิ้นสุดที่ขอบของเมนเทลที่บริเวณเอ็นซึ่งเปิดออกสู่ภายนอก เรกตัมมีความยาวเฉลี่ยประมาณ  $7.44 \pm 0.75$  มิลลิเมตร (หอยเพศผู้มีความยาวเฉลี่ย  $7.04 \pm 0.90$  และหอยเพศเมียมีความยาวเฉลี่ย  $7.84 \pm 0.21$ )

ระบบลำเลียงของหอยน้ำจืด *Paludomus* spp. ที่เก็บตัวอย่างจากจุดสำรวจนี้มีหัวใจบรรจุอยู่ในซองรอบหัวใจใกล้กับเหงือก และอยู่ระหว่างไตกับตับ หัวใจประกอบด้วยเวนท์ริเคลล หนึ่งขั้นและออริเคลลหนึ่งขั้น อวัยวะที่ใช้ในการเดกเปลี่ยนก้าชคือเหงือก เหงือกบรรจุอยู่ในซองแมนเทลประกอบด้วยเซลล์รูปสามเหลี่ยมจำนวนเฉลี่ย  $95.50 \pm 2.51$  อันเรียงต่อกัน (หอยเพศผู้มีจำนวนเฉลี่ย  $96.20 \pm 1.30$  และหอยเพศเมียมีจำนวนเฉลี่ย  $94.80 \pm 3.35$ ) เหงือกมีความยาวเฉลี่ย  $6.59 \pm 0.26$  มิลลิเมตร (หอยเพศผู้มีความยาวเฉลี่ย  $6.58 \pm 0.31$  และหอยเพศเมียมีความยาวเฉลี่ย  $6.60 \pm 0.22$  บริเวณใกล้ ๆ กับเหงือกจะมีอสเพรเดียมที่มีลักษณะเป็นต่อมยາ ออสเพรเดียมมีความยาวเฉลี่ย  $2.44 \pm 0.16$  มิลลิเมตร (หอยเพศผู้มีความยาวเฉลี่ย  $2.42 \pm 0.18$  และหอยเพศเมียมีความยาวเฉลี่ย  $2.46 \pm 0.17$ ) นอกจากนี้ยังพบต่อม

ไฮโพเบรนเดียล (สีขาวซุน) ซึ่งเป็นต่อมสร้างเมือกอยู่ทางด้านขวาของเหงือก (อยู่ระหว่างเหงือกและเรกตัม) ด้วย

ระบบขับถ่าย อวัยวะที่ใช้ในการกำจัดของเสียคือไต ซึ่งมีอยู่หนึ่งอันทางด้านหน้าของอวัยวะภายใน โดยอยู่ติดกับตับและซ่องรอบหัวใจ トイมีสีขาวครีมถึงสีส้มอ่อน ลักษณะคล้ายถุงผนังมีลักษณะเป็นคลื่น มีความยาวเฉลี่ย  $3.66 \pm 0.39$  มิลลิเมตร (หอยเพศผู้มีความยาวเฉลี่ย  $3.68 \pm 0.53$  และหอยเพศเมียมีความยาวเฉลี่ย  $3.64 \pm 0.24$ )

ระบบสืบพันธุ์ของหอยเพศผู้เริ่มจากเทสทิส ประกอบด้วยเซลล์ขนาดเล็ก (lobe) สีส้ม เรียงตัวแตกแขนงเป็นกิ่งก้านฝังอยู่ในตับ (สีน้ำตาล) แต่ละแขนงเริ่มกันด้วยท่อสเปร์ม (vas efferens) ก่อนจะรวมเข้าสู่ท่อนำสเปร์ม (vas deferens) เทสทิสมีความยาวเฉลี่ย  $12.04 \pm 1.23$  มิลลิเมตร ตับมีความยาวเฉลี่ย  $13.94 \pm 1.18$  มิลลิเมตร ท่อนำสเปร์มมีลักษณะเป็นท่อสีขาวใสต่อจากเทสทิสไปยังท่อสืบพันธุ์แพลเลียล (pallial gonoduct) ลักษณะของท่อสืบพันธุ์แพลเลียลมีสีขาว ผนังบาง พบรอยแยกตามความยาวของเมนเทล ทำให้ท่อแพลเลียลประกอบด้วยเนื้อเยื่อ 2 ด้าน คือเนื้อเยื่อด้านซ้าย (medial lamina) เป็นแผ่นบางสีขาว ที่ผิวด้านล่างพบเนื้อเยื่อเรียงตัวกันเป็นแนว (gonoduct groove) ส่วนเนื้อเยื่อด้านขวา (lateral lamina) จะหากว่าทางด้านซ้าย ที่ผิวด้านในมีลักษณะเป็นร่อง (ท่อพับไปมา) ผนังด้านขวา กับทางด้านซ้ายเริ่มตอกันที่บริเวณใกล้กับท่อสเปร์ม ท่อสืบพันธุ์แพลเลียลมีความยาวเฉลี่ย  $5.06 \pm 0.29$  มิลลิเมตร ด้านล่างซ้ายของท่อสืบพันธุ์แพลเลียลจะพบท่อยื่นออกมานอก (pallial tentacle) และไม่พบรินส์ยีนยาวออกไปบริเวณส่วนคอ สเปร์มของหอยที่พบรีบามา แบ่งเป็น 2 ชนิดคือ สเปร์มที่มีหัวสั้นเมืองยาว 1 หาง และ สเปร์มที่มีหัวเป็นแบบกระสุนมีเมืองยาว 6 หาง ซึ่งมีขนาดใหญ่กว่าสเปร์มที่มี 1 หาง

ระบบสืบพันธุ์ของหอยเพศเมีย รังไข่ มีสีเหลืองเขียวเรียงตัวแตกแขนงฝังอยู่ในตับ รังไข่แต่ละแขนงประกอบด้วยเซลล์ขนาดใหญ่กว่าในเพศผู้ รังไข่มีความยาวเฉลี่ย  $11.90 \pm 1.41$  มิลลิเมตร ตับมีความยาวเฉลี่ย  $13.94 \pm 1.22$  มิลลิเมตร ท่อนำไข่เป็นท่อสีขาวเริ่มต่อจากรังไข่ไปยังท่อนำไข่แพลเลียล (pallial oviduct) ท่อนำไข่แพลเลียลมีสีขาวซุนถึงสีส้มอ่อน พบรอยแยกตามความยาวของเมนเทลและ ประกอบด้วยเนื้อเยื่อ 2 ด้าน เช่นเดียวกับในหอยเพศผู้ แต่มีขนาดใหญ่และยาวกว่า มีความยาวเฉลี่ย  $5.88 \pm 0.22$  มิลลิเมตร ที่ผิวนอกเยื่อด้านในของผนังทั้ง 2 ด้านมีลักษณะของท่อพับไปมาตามความยาวของเมนเทล ท่อนำไข่แพลเลียลประกอบด้วยต่อมแอลบิวมิน และ ต่อมแคปซูล นอกจากนี้ยังมีอวัยวะรับสเปร์ม โคคลาทอรี เบอร์ชาด้วย ต่อมแอลบิวมินอยู่ที่บริเวณส่วนปลายใกล้กับท่อนำไข่ มีผนังเนื้อเยื่อบาง ขยาย

ให้ญี่ เห็นเป็นร่องลักษณะคล้ายแผ่นเงินเรืองร่องกัน มีสีส้มอ่อน ส่วนต่อมแคปซูลอยู่ส่วนปลายทางด้านขอบแม่นเทิล มีสีขาว ผนังด้านนอกไม่เรียบเห็นเป็นรอยย่น ที่ผิวด้านในหนาเป็นพื้นปูไปมา

#### จุดสำรวจที่ 10 น้ำตกตะเคียนทอง

โครงสร้างภายนอกของหอย เริ่มจากส่วนหัวของหอย ส่วนหัวอยู่บริเวณด้านหน้าของหอย ส่วนหัวยื่นออกไปเล็กน้อยทำให้เห็นเป็นลักษณะอ้วนสันเรียกสนาร์ ด้านหลังปากจะพบเหนเทเดิล 1 คู่ และพบตาซึ่งมี 1 คู่ ที่บริเวณโคนเหนเทเดิล ที่ส่วนหัวและเหนเทเดิลพบร่องคัตตุสีเขียวเหลืองกระჯัดกระจาดอย่างส้ม่า semenum และมีร่องควัตตุเมตามนิปகคลุ่มอยู่ทำให้เห็นเหนเทเดิลมีลักษณะเหมือนเป็นข้อปล้อง (รูปที่ 43 ญ) ส่วนคอเป็นส่วนที่อยู่ดัดจากส่วนหัวและอยู่บริเวณหลังเหนเทเดิล ในหอยเพศผู้ไม่พบว่ามีเพนนิสอยู่ในอ กมาที่บริเวณคอด้านบน ส่วนแผ่นเท้า เป็นส่วนที่อยู่ดัดส่วนหัวไปทางด้านหลัง ด้านบนของแผ่นเท้าติดกับด้านข้างของลำตัว มีแผ่นไอเพอร์คิวลัมอยู่ที่ด้านบนและท้ายของแผ่นเท้า แผ่นเท้าของหอยมีลักษณะกว้าง และเป็นกล้ามเนื้อหนา พบร่องควัตตุสีเขียวเหลือง กระჯัดกระจาดอย่างส้ม่า semenum แผ่นเท้าของหอย ส่วนแม่นเทิล แม่นเทิลจะปักคลุ่มส่วนหัวและคอ ส่วนสุดท้ายของแม่นเทิลติดกับส่วนอวัยวะภายใน ได้แม่นเทิลมาซึ่งระหว่างแม่นเทิลกับตัวหอยเรียกซึ่งแม่นเทิล ภายในแม่นเทิลของหอยจะพบส่วนปลายของระบบสืบพันธุ์ ส่วนปลายของระบบทางเดินอาหาร ที่ขอบซึ่งแม่นเทิลซึ่งอยู่บริเวณหน้าสุดมีลักษณะเป็นปุ่มยื่นออกมา พบร่องควัตตุสีเขียวกระจาดอย่างส้ม่า semenum แม่นเทิลมีความยาวเฉลี่ย  $9.19 \pm 0.59$  มิลลิเมตร (แม่นเทิลของหอยเพศผู้มีความยาวเฉลี่ย  $9.03 \pm 0.70$  และหอยเพศเมียมีความยาวเฉลี่ย  $9.34 \pm 0.48$ , ตารางที่ 16)

โครงสร้างภายในของหอย เมื่อผ่าตัวหอยในแนวยาวของลำตัวจะพบระบบอวัยวะภายใน เช่นระบบสืบพันธุ์ ระบบทางเดินอาหาร เป็นต้น (รูปที่ 45 ญ, 46 ญ) ระบบทางเดินอาหารของหอยเริ่มจากส่วนปากที่อยู่หน้าสุด จะพบปากอยู่ที่ปลายสนาธ์ รอบ ๆ ปากจะหนา เรียกrimฝีปาก ซองปากไปเปิดที่ซองบักคัด หรือฟาริงส์ ภายในฟาริงส์จะมีชากธรไกรและแครดูลา ส่วนที่แครดูลาบรรจุอยู่เรียกบักคัดแมส ซึ่งมีความยาวเฉลี่ยประมาณ  $2.88 \pm 0.11$  มิลลิเมตร (หอยเพศผู้มีความยาวเฉลี่ย  $2.90 \pm 0.10$  และหอยเพศเมียมีความยาวเฉลี่ย  $2.86 \pm 0.13$ ) บักคัดแมสต่อ กับหลอดอาหารซึ่งมีลักษณะเป็นท่อยาว ด้านข้างของหลอดอาหารพบต่อมน้ำลาย 1 คู่ หลอดอาหารมีความยาวเฉลี่ย  $7.70 \pm 0.80$  มิลลิเมตร (หอยเพศผู้มีความยาวเฉลี่ย  $7.34 \pm 1.05$  และหอยเพศเมียมีความยาวเฉลี่ย  $8.06 \pm 0.13$ ) ส่วนท้ายของหลอดอาหารต่อ กับกระเพาะอาหารซึ่งมีลักษณะคล้ายถุงสีส้มอ่อนอยู่ดิดต่อกับตับ บริเวณส่วนท้ายของกระเพาะ

อาหารมีถุงสไตล์ภายในบรรจุภัณฑ์ลินสไต์ลักษณะเป็นแท่งใส่มีเอนไซม์ช่วยย่อยอาหาร กระเพาะอาหารส่วนนี้มีผนังกระเพาะที่หนาและมีผิวด้านในมันเรียบ แกสริกีล์ด์ บริเวณที่ต่อจากกระเพาะอาหารคือลำไส้ ซึ่งอยู่ที่ด้านหน้ากระเพาะอาหาร ลำไส้มีความยาวเฉลี่ย  $9.32 \pm 0.77$  มิลลิเมตร (หอยเพศผู้มีความยาวเฉลี่ย  $8.81 \pm 0.76$  และหอยเพศเมียมีความยาวเฉลี่ย  $9.83 \pm 0.34$ ) บริเวณส่วนท้ายของลำไส้จะขยายขนาดขึ้นกลایเป็นเรกตัมและไปสิ้นสุดที่ขอบของแมวนกีลที่บริเวณโคนสั้นซึ่งเปิดออกสู่ภายนอก เรกตัมมีความยาวเฉลี่ยประมาณ  $9.64 \pm 0.72$  มิลลิเมตร (หอยเพศผู้มีความยาวเฉลี่ย  $9.27 \pm 0.62$  และหอยเพศเมียมีความยาวเฉลี่ย  $10.01 \pm 0.67$ )

ระบบลำเลียงของหอยน้ำจืด *Paludomus* spp. ที่เก็บตัวอย่างจากจุดสำรวจนี้มีหัวใจบรรจุอยู่ในช่องรอบหัวใจใกล้กับเหงือก และอยู่ระหว่างไกกับตับ หัวใจประกอบด้วยเวนทริคิลหนึ่งขั้นและอวาริคิลหนึ่งขั้น อวัยวะที่ใช้ในการแลกเปลี่ยนกําชีวคือเหงือก เหงือกบรรจุอยู่ในช่องแมวนกีลประกอบด้วยเซลล์รูปสามเหลี่ยมจำนวนเฉลี่ย  $95.60 \pm 2.12$  อันเรียงต่อกัน (หอยเพศผู้มีจำนวนเฉลี่ย  $97.00 \pm 1.58$  และหอยเพศเมียมีจำนวนเฉลี่ย  $94.20 \pm 1.64$ ) เหงือกมีความยาวเฉลี่ย  $6.74 \pm 0.36$  มิลลิเมตร (หอยเพศผู้มีความยาวเฉลี่ย  $6.47 \pm 0.27$  และหอยเพศเมียมีความยาวเฉลี่ย  $7.00 \pm 0.19$  มิลลิเมตร) กับเหงือกจะมีอสเพรเดียมที่มีลักษณะเป็นต่อมยา ออกสู่เรเดียมมีความยาวเฉลี่ย  $2.54 \pm 0.38$  มิลลิเมตร (หอยเพศผู้มีความยาวเฉลี่ย  $2.36 \pm 0.11$  และหอยเพศเมียมีความยาวเฉลี่ย  $2.72 \pm 0.49$ ) นอกจากนี้ยังพบต่อมไขโพรงเดียล (สีขาวขุ่น) ซึ่งเป็นต่อมสร้างเนื้อกอญ่าทางด้านขวาของเหงือก (อยู่ระหว่างเหงือกและเรกตัม) ด้วย

ระบบขับถ่าย อวัยวะที่ใช้ในการกำจัดของเสียคือไต ซึ่งมีอยู่หนึ่งอันทางด้านหน้าของอวัยวะภายใน โดยอยู่ติดกับตับและช่องรอบหัวใจ ใต้มีสีขาวครีมถึงสีส้มอ่อน ลักษณะคล้ายถุงผนังมีลักษณะเป็นคลื่น มีความยาวเฉลี่ย  $4.16 \pm 0.46$  มิลลิเมตร (หอยเพศผู้มีความยาวเฉลี่ย  $4.00 \pm 0.19$  และหอยเพศเมียมีความยาวเฉลี่ย  $4.31 \pm 0.61$ )

ระบบสืบพันธุ์ของหอยเพศผู้เริ่มจากเทสทิส ประกอบด้วยเซลล์ขนาดเล็ก (lobe) สีส้ม เรียงตัวແຕກແ xenograft เป็นกิ่งก้านฝังอยู่ในตับ (สีน้ำตาล) แต่ละแขนงเรื่อมกันด้วยท่อสเปร์ม (vas efferens) ก่อนจะรวมเข้าสู่ท่อนำสเปร์ม (vas deferens) เทสทิสมีความยาวเฉลี่ย  $13.06 \pm 2.58$  มิลลิเมตร ตับมีความยาวเฉลี่ย  $15.95 \pm 2.97$  มิลลิเมตร ท่อนำสเปร์มมีลักษณะเป็นท่อสีขาวใสต่อจากเทสทิสไปยังท่อสืบพันธุ์แพลเลียล (pallial gonoduct) ลักษณะของท่อสืบ

พันธุ์แพลเลี่ยลมีสีขาว ผนังบาง พบรอยแยกตามความยาวของแม่น้ำทิศ ทำให้ห่อแพลเลี่ยลประกอบด้วยเนื้อเยื่อ 2 ด้าน คือเนื้อเยื่อด้านซ้าย (medial lamina) เป็นแผ่นบางสีขาว ที่ผิวด้านล่างพบเนื้อเยื่อเรียงตัวกันเป็นแนว (gonoduct groove) ส่วนเนื้อเยื่อด้านขวา (lateral lamina) จะหนากว่าทางด้านซ้าย ที่ผิวด้านในมีลักษณะเป็นร่อง (ห่อพับไปมา) ผนังด้านขวา กับทางด้านซ้ายเชื่อมต่อกันที่บริเวณใกล้กับห่อสเปร์ม ห่อสีบพันธุ์แพลเลี่ยลมีความยาวเฉลี่ย  $5.42 \pm 0.19$  มิลลิเมตร ด้านล่างซ้ายของห่อสีบพันธุ์แพลเลี่ยลจะพบท่อเยื่ออกรมา (pallial tentacle) และไม่พบเพนิสเยื่อยาวออกไปบริเวณส่วนคอ สเปร์มของหอยที่พบมีขนาดเล็ก แบ่งเป็น 2 ชนิดคือ สเปร์มที่มีหัวสั้นเมืองขาว 1 หาง และ สเปร์มที่มีหัวเป็นแบบกระสวยเมืองขาว 6 หาง ซึ่งมีขนาดใหญ่กว่าสเปร์มที่มี 1 หาง

ระบบสีบพันธุ์ของหอยเหศเมีย รังไข่ มีสีเหลืองเขียวเรียงตัวແຕກແ xenang ฝังอยู่ในตับ รังไข่แต่ละแท่งประกอบด้วยเซลล์ขนาดใหญ่กว่าในเหศผู้ รังไข่มีความยาวเฉลี่ย  $16.25 \pm 1.50$  มิลลิเมตร ตับมีความยาวเฉลี่ย  $18.98 \pm 2.17$  มิลลิเมตร ห่อนำไข่เป็นห่อสีขาวเชื่อมต่อจากรังไข่ไปยังห่อนำไข่แพลเลี่ยล (pallial oviduct) ห่อนำไข่แพลเลี่ยลมีสีขาวขุ่นถึงสีส้มอ่อน พบรอยแยกตามความยาวของแม่น้ำทิศและ ประกอบด้วยเนื้อเยื่อ 2 ด้านเช่นเดียวกับในหอยเหศผู้ แต่มีขนาดใหญ่และยาวกว่า มีความยาวเฉลี่ย  $5.16 \pm 0.19$  มิลลิเมตร ที่ผิวนี้อีกด้านในของผนังทั้ง 2 ด้านมีลักษณะของห่อพับไปมาตามความยาวของแม่น้ำทิศ ห่อนำไข่แพลเลี่ยลประกอบด้วยต่อมแอลบิวิน และ ต่อมแคปซูล นอกจากนี้ยังมีอวัยวะรับสเปร์ม โคพุลาทอรี เบอร์ชาด้วย ต่อมแอลบิวินอยู่ที่บริเวณส่วนปลายใกล้กับห่อนำไข่ มีผนังเนื้อเยื่อบาง ขยายใหญ่ เห็นเป็นร่องลักษณะคล้ายแผ่นเงินหรือเงินช้อนกัน มีสีส้มอ่อน ส่วนต่อมแคปซูลอยู่ส่วนปลายทางด้านขอบแม่น้ำทิศ มีสีขาว ผนังด้านนอกไม่เรียบเห็นเป็นรอยย่น ที่ผิวด้านในหนาเป็นห่อพับไปมา

#### ◆ ผลการศึกษารูปแบบทางพันธุกรรม

การศึกษารูปแบบทางพันธุกรรมของหอยน้ำจืด *Paludomus spp.* ที่เก็บจากจุดสำรวจทั้ง 10 ที่นี่ที่ด้วยเทคนิคօลิกโกรฟิชิต แล้วนำเฝ้าเจลมาอย่างเพื่อศึกษาเอกไซม์จำนวน 6 ชนิดคือ aldehyde oxidase (ALDOX), esterase (EST), leucine aminopeptidase (LAP), lactase dehydrogenase (LDH), malate dehydrogenase (MDH), และ xanthine dehydrogenase (XDH) ตรวจสอบรูปแบบของเอกไซม์ที่ได้จากการเฝ้าเท้าของหอยน้ำ

จีด พบร่วมกับโปรตีนที่ย้อมด้วยเอนไซม์ LAP, LDH และ XDH มีความเข้มของแถบเอนไซม์ที่ปรากฏน้อย สังเกตเห็นแถบเอนไซม์ได้ไม่ชัดเจน (weak enzyme activity) แต่เอนไซม์ ALDOX, MDH และ EST แสดงแถบเอนไซม์ที่มีความเข้ม (strong enzyme activity) สังเกตเห็นชัดเจนมากกว่า นอกจากนี้ยังพบว่าเอนไซม์ ALDOX, XDH และ MDH ถูกควบคุมโดยยีนเพียงหนึ่งตำแหน่ง (monomorphic loci) เอนไซม์ EST, LAP และ LDH ถูกควบคุมโดยยีนหลายตำแหน่ง (polymorphic loci)

จากการวิเคราะห์ไฮโซร์ 6 ระบบ และโปรตีน 1 ระบบ ในหอยน้ำจีด *Paludomus spp.* ที่เก็บจากจุดสำรวจ 10 พื้นที่ สามารถกำหนดยีนที่ควบคุมได้ทั้งสิ้น 12 ตำแหน่ง คือ Aldox, Est-1, Est-2, Est-3, Est-5, Lap-1, Lap-2, Ldh-1, Ldh-2, Mdh และ Xdh โดยยืนทั้ง 12 ตำแหน่ง จัดเป็นยีนในสภาพไฮโมไอกัส (ยีนตำแหน่งนั้นมีอัลลิสเพียงรูปเดียว) 6 ตำแหน่ง (Aldox, Eat-1, Est-2, Lap-1, Ldh-2 และ Xdh) ยีนที่มีความหลากหลาย ( $P_{95}$ ) 3 ตำแหน่ง (Est-3, Est-4 และ Est-5) และยีนที่อยู่ในสภาพไฮโมไอกัสที่อัลลิสต่างกัน 3 ตำแหน่ง (Lap-2, Ldh-1 และ Mdh) (ตารางที่ 18)

ยีนที่แสดงความแตกต่างระหว่างชนิดของหอยน้ำจีด *Paludomus spp.* ทั้ง 10 พื้นที่มี 6 ตำแหน่ง โดย Lap-2, Ldh-1 และ Mdh ปรากฏแถบเอนไซม์ที่อัลลิสต่างกัน ส่วนยีนอีก 3 ตำแหน่ง คือ Est-3, Est-4 และ Est-5 มีอัลลิสที่แตกต่างกันระหว่าง 10 พื้นที่ โดยแต่ละยีนอยู่ในสภาพหลากหลายแบบ

ลักษณะของแถบเอนไซม์ตำแหน่งต่างๆ เป็นดังนี้

#### เอนไซม์ที่ถูกควบคุมโดยยีนหนึ่งตำแหน่ง (Monomorphic Enzyme)

##### aldehyde oxidase (ALDOX)

ผลการย้อมแผ่นเจลเพื่อศึกษาเอนไซม์ ALDOX พบร่วมกับเอนไซม์ของตัวอย่างหอยทั้ง 10 พื้นที่ ที่ปรากฏบนแผ่นเจลแสดงผลเหมือนกันคือ ปรากฏแถบเอนไซม์ Aldox เกิดขึ้นเพียงแถบเดียวบนแผ่นเจล ที่ตำแหน่งเดียวกันในทุกพื้นที่ ซึ่งแถบเอนไซม์ที่ปรากฏเกิดจากยีนบนตำแหน่ง Aldox<sup>33</sup> ( $Rf = 0.33$ ) (รูปที่ 51) ดังนั้นแถบเอนไซม์บริเวณที่ปรากฏถูกควบคุมโดยยีนหนึ่งตำแหน่ง และยีนตำแหน่งนี้มีอัลลิสเพียงรูปเดียว (เกิดฟิกส์ในประชากร)

##### xanthine dehydrogenase (XDH)

ผลการย้อมแผ่นเจลเพื่อศึกษาเอนไซม์ XDH พบร่วมกับเอนไซม์ของตัวอย่างหอยทั้ง 10 พื้นที่ ที่ปรากฏบนแผ่นเจลแสดงผลเหมือนกันคือ ปรากฏแถบเอนไซม์ Xdh เกิดขึ้นเพียง

แบบเดียวนั้นแต่ละเจล ที่ตัวอย่างเดียวกันในทุกพื้นที่ ซึ่งแบบเอนไซม์ที่ปรากฏเกิดจากยีนบน  
ตัวอย่าง  $Xdh^{42}$  ( $Rf = 0.42$ ) (รูปที่ 52)

#### malate dehydrogenase (MDH)

ผลการย้อมแผ่นเจลเพื่อศึกษาเอนไซม์ MDH พบว่าในตัวอย่างแต่ละพื้นที่จะปรากฏ  
แบบเอนไซม์  $Mdh$  เพียงแบบเดียวนั้นแต่ละเจล แต่พิกส์ที่อัลลิลต่างกัน ลักษณะแบบเอนไซม์ที่  
ปรากฏแบ่งออกเป็น 3 แบบ เกิดขึ้นบนตัวอย่างต่างกัน คือ ปรากฏแบบเอนไซม์ 1 แบบที่  
ตัวอย่าง  $Mdh^{90}$  ( $Rf = 0.90$ ), ปรากฏแบบเอนไซม์ 1 แบบที่ตัวอย่าง  $Mdh^{82}$  ( $Rf = 0.82$ )  
หรือปรากฏแบบเอนไซม์ 1 แบบที่ตัวอย่าง  $Mdh^{77}$  ( $Rf = 0.77$ ) ซึ่งตัวอย่างหอยน้ำจืด  
*Paludomus spp.* ที่เก็บจากหัวแม่ลำ廷ต่างๆ น้ำตกไทรโยคใหญ่ และน้ำพุหัวแม่เหลืองแบบเอนไซม์ปรากฏที่  
 $Mdh^{82}$  และหอยที่เก็บจากลำ廷ข้างบ่อน้ำพร้อมหินคาด น้ำตกพาดาด ลำ廷ป่าชุมชนบ้านท่า  
มะเดื่อ น้ำตกเกิงกระเวีย น้ำตกไดซ่องถ่อง และน้ำตกตะเคียนทอง พบแบบเอนไซม์ปรากฏที่  
 $Mdh^{77}$  (รูปที่ 53)

#### เอนไซม์ที่ถูกควบคุมโดยยีนหลายตัวอย่าง (Polymorphic enzyme)

##### esterase (EST)

จากการย้อมแผ่นเจลเพื่อศึกษาเอนไซม์ EST พบว่ามีแบบเอนไซม์  $Est$  ปรากฏขึ้น  
5 ช่วง (five zone) คือ  $Est-1$  ( $Rf = 0.96$ ),  $Est-2$  ( $Rf = 0.68$ ),  $Est-3$  ( $Rf = 0.63$  และ  
0.54),  $Est-4$  ( $Rf = 0.49$ , 0.46 และ 0.44) และ  $Est-5$  ( $Rf = 0.42$  และ 0.35)

โดย  $Est-1^{96}$  และ  $Est-2^{68}$  จัดเป็นยีนในสภาพ homozygote ที่พิกส์อัลลิลเดียวกัน คือ  
ปรากฏแบบเอนไซม์เกิดขึ้นเพียงแบบเดียว (monomorphic) ที่ตัวอย่างเดียวกันทั้ง 10 พื้นที่

$Est-3$  เป็นยีนที่มีความหลากหลายรูปแบบ ปรากฏแบบเอนไซม์แบ่งออกเป็น 2 แบบ  
คือยีนที่เป็นแบบ homozygotes พบแบบเอนไซม์ปรากฏเพียงแบบเดียว (ตัวอย่าง  
 $Est-3^{63}$  หรือที่ตัวอย่าง  $Est-3^{54}$ ) หรือปรากฏยีนที่เป็นแบบ heterozygotes ( $Est-3^{63}, Est-3^{58}$  และ  $Est-3^{54}$ ) จากรูปแบบ heterozygote ที่  
ปรากฏแสดงว่าแบบเอนไซม์บริเวณนี้มีรูปแบบเป็นไดเมอริก โปรตีน (dimeric protein) ถูกควบ  
คุมโดยยีน 2 อัลลิล คือ  $Est-3^{63}$  และ  $Est-3^{54}$  จากตัวอย่างทั้ง 10 พื้นที่หอยที่เก็บตัวอย่าง  
จากน้ำตกไทรโยคใหญ่ น้ำตกไทรโยคใหญ่ น้ำตกไดซ่องถ่อง และน้ำตกตะเคียนทอง พบแบบ  
เอนไซม์เพียงแบบเดียวที่ตัวอย่าง  $Est-3^{54}$  หอยที่เก็บตัวอย่างจากลำ廷ข้างบ่อน้ำพร้อมหินคาด

น้ำพุหัวยง และถ้ารากป่าชุมชนบ้านท่ามะเดื่อ พบແດນເອນໄໝມແບນເດີວິທີຕຳແໜ່ງ Est-3<sup>63</sup> ส່ວນຫຍຸທີ່ເກັບຕົວຢ່າງຈາກຫ້າຍເຕົາດໍາ ນ້ຳຕົກພາຕາດ ແລະນ້ຳຕົກເກົງກະຮວຍ ພບແດນເອນໄໝມ ເປັນແບນເຂົດເທົ່ອໄຟໂກຕ

Est-4 ເປັນຍືນໃນສກວະຄວາມຫລາກຫລາຍງູປແບນ ປຣາກງູແບນເອນໄໝມແປ່ງອອກເປັນ 2 ແບນ ຄືອ ຍືນທີ່ເປັນແບນໂອມໄຟໂກຕພບແດນເອນໄໝມປຣາກງູຊື່ນ 1 ແບນ (Est-4<sup>49</sup>) ທີ່ຮີ້ອ ຍືນທີ່ເປັນເຂົດເທົ່ອໄຟໂກຕປຣາກງູແບນເອນໄໝມຊື່ນ 2 ແບນ (ທີ່ຕຳແໜ່ງ Est-4<sup>44</sup> ແລະ Est-4<sup>46</sup> ທີ່ຮີ້ອ Est-4<sup>46</sup> ແລະ Est-4<sup>49</sup>) ແສດວ່າແບນເອນໄໝມບົບຮົງເວນນີ້ຖືກຄວບຄຸມໂດຍຍືນ 3 ອັລລືລ ຄືອ Est-4<sup>49</sup>, Est-4<sup>46</sup> ແລະ Est-4<sup>44</sup> ຈາກຕົວຢ່າງພບວ່າໜ້ອຍທີ່ເກັບຕົວຢ່າງຈາກຫ້າຍເຕົາດໍາພບແດນເອນໄໝມ 1 ແບນ ຮອຍຈາກນ້ຳຕົກໄທຮົຍຄັນຍ້ອຍ ນ້ຳຕົກໄທຮົຍຄີ່ງຢູ່ ນ້ຳຕົກພາຕາດ ນ້ຳຕົກເກົງກະຮວຍ ນ້ຳຕົກໄດ້ ຊອງດ່ອງ ແລະນ້ຳຕົກຕະເຄີຍນຫອງ ພບແດນເອນໄໝມ 2 ແບນທີ່ຕຳແໜ່ງ Est-4<sup>46</sup> ແລະ Est-4<sup>49</sup> ຕົວຢ່າງໜ້ອຍຈາກນ້ຳພຸ້ຫ້າຍເຍິ່ງ ແລະລຳອາຮປ່າຊູມຊັນບ້ານທ່າມະເດືອ ພບແດນເອນໄໝມ 2 ແບນທີ່ຕຳແໜ່ງ Est-4<sup>44</sup> ແລະ Est-4<sup>46</sup> ສ່ວນຫຍຸທີ່ເກັບຕົວຢ່າງຈາກລຳອາຮ້າງບ່ອນ້ຳພຸ້ຮັນຫິນດາດໄມ ປຣາກງູແບນເອນໄໝມຊື່ນທີ່ບົບຮົງເວນນີ້ (null alleles)

Est-5 ເປັນຍືນໃນສກວະຫລາກຫລາຍງູປແບນ ປຣາກງູແບນເອນໄໝມແປ່ງອອກເປັນ 2 ແບນ ຄືອຍືນທີ່ເປັນແບນໂອມໄຟໂກຕ (homozygotes) ພບແດນເອນໄໝມປຣາກງູ 1 ແບນ (ຕຳແໜ່ງ Est-4<sup>42</sup> ທີ່ຮີ້ອທີ່ຕຳແໜ່ງ Est-4<sup>35</sup>) ທີ່ຮີ້ອປຣາກງູຍືນທີ່ເປັນແບນເຂົດເທົ່ອໄຟໂກຕ (heterozygotes) ພບແດນເອນໄໝມ 3 ແບນ (Est-3<sup>42</sup>, Est-3<sup>39</sup> ແລະ Est-3<sup>35</sup>) ຈາກງູປແບນເຂົດເທົ່ອໄຟໂກຕທີ່ປຣາກງູແສດງວ່າແບນເອນໄໝມບົບຮົງເວນນີ້ມີງູປແບນເປັນໄດ້ເມອຮົກ ໂປຣຕິນ (dimeric protein) ດັ່ງນັ້ນທີ່ບົບຮົງເວນນີ້ນ່າງຈະຖືກຄວບຄຸມໂດຍຍືນ 2 ອັລລືລ ຄືອ Est-4<sup>42</sup> ແລະ Est-4<sup>35</sup> ຈາກຕົວຢ່າງທັງ 10 ພັ້ນທີ່ໜ້ອຍທີ່ເກັບຕົວຢ່າງຈາກນ້ຳຕົກໄທຮົຍຄັນຍ້ອຍ ນ້ຳຕົກໄທຮົຍຄີ່ງຢູ່ ນ້ຳພຸ້ຫ້າຍເຍິ່ງ ລຳອາຮປ່າຊູມ ຊັນບ້ານທ່າມະເດືອ ນ້ຳຕົກໄດ້ຊອງດ່ອງ ແລະນ້ຳຕົກຕະເຄີຍນຫອງ ພບແດນເອນໄໝມເພີ່ມແບນເດີວິທີຕຳແໜ່ງ Est-4<sup>42</sup> ຮອຍທີ່ເກັບຕົວຢ່າງຈາກຫ້າຍເຕົາດໍາ ພບແດນເອນໄໝມແບນເດີວິທີຕຳແໜ່ງ Est-4<sup>35</sup> ສ່ວນຫຍຸທີ່ເກັບຕົວຢ່າງຈາກລຳອາຮ້າງບ່ອນ້ຳພຸ້ຮັນຫິນດາດ ແລະນ້ຳຕົກພາຕາດ ພບແດນເອນໄໝມ ເປັນແບນເຂົດເທົ່ອໄຟໂກຕ (ງູປທີ່ 54)

#### leucine aminopeptidase (LAP)

ຜລຈາກກາຮ້າມແຜ່ນເຈດເພື່ອສຶກຂາເອນໄໝມ LAP ພບວ່າມີແບນເອນໄໝມປຣາກງູຊື່ນ 2 ຕຳແໜ່ງ ຄືອ Lap-1 ( $R_f = 0.64$ ) ແລະ Lap-2 ( $R_f = 0.43$  ແລະ  $0.38$ )

Lap-1<sup>64</sup> ຈັດເປັນຍືນໃນສກວະໂອມໄຟກັສ ທີ່ຟິກສອລລືລືດີຍກັນ ປຣາກງູແບນເອນໄໝມ ກີດຊື່ນເພີ່ມແບນເດີວິທີ (monomorphic) ແນີ້ອນກັນທັງ 10 ພັ້ນທີ່

*Lap-2* จัดเป็นยีนในส่วนของไซม์ไม่ใช้กัส ที่พิการอัลลิลต่างกัน ปรากฏແນບເອນໄຊມชีน 2 ແນບ ສືບເກີດແນບເອນໄຊມชีน 1 ແລະທີ່ຕໍ່ມາແໜ່ງ *Lap-2<sup>43</sup>* ພົບເກີດແນບເອນໄຊມ 1 ແລະທີ່ *Lap-2<sup>38</sup>* (ແສດງວ່າຖຸກຄວບຄຸມໂດຍຍືນ 2 ອັດລືລື ສືບ *Lap-2<sup>43</sup>* ແລະ *Lap-2<sup>38</sup>*) ຈາກຕ້ວຍຢ່າງທັງ 10 ພື້ນທີ່ພົບວ່າຫຍອຍທີ່ເກີບຕ້ວຍຢ່າງຈາກຫ້ວຍເຕົາດໍາພັບແນບເອນໄຊມບັນດຳແໜ່ງ *Lap-2<sup>43</sup>* ສ່ວນຕ້ວຍຢ່າງ ພອຍອືກ 9 ພື້ນທີ່ພົບແນບເອນໄຊມບັນດຳແໜ່ງ *Lap-2<sup>38</sup>* (ຮູບທີ່ 55)

lactase dehydrogenase (LDH)

ຈາກກາຮົມແຜ່ນເຈລເພື່ອສຶກສາເອນໄຊມ LDH ພົບວ່າມີແນບເອນໄຊມປ່າກງົງ 2 ຕໍ່ມາແໜ່ງ ສືບ *Ldh-1* ( $R_f = 0.92$  ແລະ  $0.85$ ) ແລະ *Ldh-2* ( $R_f = 0.41$ )

ໂດຍພົບວ່າ *Ldh-1* ມີແນບເອນໄຊມປ່າກງົງ 2 ແນບ ສືບ ປ່າກງົງແນບເອນໄຊມ 1 ແລະທີ່ *Ldh-1<sup>92</sup>* ພົບປ່າກງົງແນບເອນໄຊມ 1 ແລະທີ່ *Ldh-1<sup>85</sup>* (ແສດງວ່າຖຸກຄວບຄຸມໂດຍຍືນ 2 ອັດລືລື ສືບ *Ldh-1<sup>92</sup>* ແລະ *Ldh-1<sup>85</sup>*) ຈາກຕ້ວຍຢ່າງທັງ 10 ພື້ນທີ່ພົບວ່າຫຍອຍທີ່ເກີບຕ້ວຍຢ່າງຈາກຫ້ວຍເຕົາ ດໍາພັບແນບເອນໄຊມບັນດຳແໜ່ງ *Ldh-1<sup>85</sup>* ສ່ວນຕ້ວຍຢ່າງ ພອຍອືກ 9 ພື້ນທີ່ພົບແນບເອນໄຊມບັນດຳແໜ່ງ *Ldh-1<sup>92</sup>*

*Ldh-2<sup>41</sup>* ປ່າກງົງແນບເອນໄຊມເກີດຂຶ້ນເພີ່ມແຕບເຕີຍວ (monomorphic) ແມ່ນອົນກັນທັງ 10 ພື້ນທີ່ (ຮູບທີ່ 56)

### ຄວາມໜາກໜາຍທາງພັນຖຸກຽມ

ຄວາມໜາກໜາຍທາງພັນຖຸກຽມກາຍໃນປະຊາກອນ

ຈຳນວນອັດລືລືເລີຍຕ່ອດໍາແໜ່ງຂອງທຸກພື້ນທີ່ມີຄ່າຮ່ວງ 1.00 ລົງ 1.250 ຈຶ່ງຄ່ອນຮ້າງຕໍ່າ (ຕາງໆທີ່ 19) ໂດຍມີຄ່າຕໍ່າສຸດໃນຫຍອຍທີ່ເກີບຕ້ວຍຢ່າງຈາກລຳຮາຮ້າງບ່ອນໜ້າພຸ້ວອນທິນດາດ (1.00) ເປົ້ອງເຫັນຕີຢືນໃນສປາວະໜາກຖຸປະບົບມີຄ່າສູງສຸດໃນຫຍອຍທີ່ເກີບຕ້ວຍຢ່າງຈາກນໍາຕົກໄທຮຍົມຄ້ອຍ ນໍ້າຕົກໄທຮຍົມຄ້ອຍ ຫ້ວຍເຕົາດໍາ ນໍ້າຕົກພາຕາດ ລຳຮາວປໍາຊຸມຊັນບ້ານທ່າມະເດືອ ແລະນໍ້າຕົກທະເຄີຍນອງ ໂດຍມີຄ່າເທົ່າກັນສືບ  $25\%$  ພອຍທີ່ເກີບຈາກລຳຮາຮ້າງບ່ອນໜ້າພຸ້ວອນທິນດາດ ນໍ້າພຸ້ຫ້ວຍເໝັ່ງ ນໍ້າຕົກເກົງກະຮະເວີຍ ແລະນໍ້າຕົກໄຕ້ຊອງຄ່ອງ ມີຄ່າເປົ້ອງເຫັນຕີຢືນໃນສປາວະໜາກຖຸປະບົບເທົ່າກັນ  $8.3\%$  ດ້ວຍເຫຼືອໄຣໄຊໂກຣີຕີຈາກຄ່າສັງເກຕ (H<sub>0</sub>) ມີຄ່າເລີຍ  $0.115 \pm 0.053$  ດ້ວຍເຫຼືອນີ້ມີຄ່າໄກລ໌ ເຄີຍກັບຄ່າເລີຍຂອງສັດວິໄມກະຊຸກສັນໜັງທີ່ໄປປິ່ງມີຄ່າ  $0.100$  (ອຸທິຍະກິດ ວິ. ນະຄອນ 2543 : 79) ໂດຍມີຄ່າສູງສຸດໃນຫຍອຍຈາກນໍາຕົກພາຕາດ ( $0.250$ ) ແລະຕໍ່າສຸດໃນປະຊາກອນຍ້າງຫ້ວຍເຕົາດໍາ ລຳຮາຮ້າງບ່ອນໜ້າພຸ້ວອນທິນດາດ ນໍ້າພຸ້ຫ້ວຍເໝັ່ງ ແລະລຳຮາວປໍາຊຸມຊັນບ້ານທ່າມະເດືອ ( $0.083$ ) ດ້ວຍ H<sub>0</sub> ທີ່ສູງແສດງວ່າມີຂະດປະຊາກອນ (effective population size) ໃນຫຼຸງ ສ່ວນດ້າເຫຼືອໄຣໄຊໂກຣີຕີຈາກ

ค่าทฤษฎี ( $H_e$ ) มีค่าเฉลี่ย  $0.076 \pm 0.027$  และมีค่าต่ำกว่าค่าสังเกตทุกพื้นที่ยกเว้นหอยจากห้วยเต่าดำ และประชากรหอยน้ำจืด *Paludomus spp.* ส่วนใหญ่ไม่อยู่ในสมดุลยาридี ไวน์เบอร์ก โดยเปลี่ยนแปลงไปในทิศทางที่มีโขโมไซโภตต่ำกว่าค่าทางทฤษฎี

ความหลากหลายระหว่างประชากร ค่าระยะห่างทางพันธุกรรม (Genetic distance, D) และค่าความเหมือนทางพันธุกรรม (Genetic Identity, I)

ค่าระยะห่างทางพันธุกรรมระหว่างหอยน้ำจืด *Paludomus spp.* ทั้ง 10 พื้นที่มีค่าระหว่าง  $0.000399$  ถึง  $0.451169$  ค่าความเหมือนทางพันธุกรรมมีค่าระหว่าง  $0.636883$  ถึง  $0.999959$  (ตารางที่ 20) โดยหอยที่เก็บจากน้ำตกไทรโยคน้อยและน้ำตกไทรโยคใหญ่มีค่าระยะห่างทางพันธุกรรมน้อยที่สุด ( $0.000399$ ) และมีค่าความเหมือนทางพันธุกรรมสูงสุด ( $0.999959$ ) รองลงมาคือหอยจากน้ำตกไดซองถ่องและน้ำตกตะเคียนทอง มีค่าระยะห่างทางพันธุกรรมและค่าความเหมือนทางพันธุกรรมเป็น  $0.000981$  และ  $0.999019$  ตามลำดับ ส่วนค่าระยะห่างทางพันธุกรรมมีค่าสูงสุดระหว่างหอยน้ำจืดที่เก็บจากห้วยเต่าดำกับพื้นที่อื่น โดยมีค่าเฉลี่ย  $0.361093 \pm 0.079454$

#### แผนผังความสัมพันธ์ทางพันธุกรรม

หอยน้ำจืด *Paludomus spp.* ทั้ง 10 พื้นที่ สามารถแยกออกได้เป็น 2 กลุ่มใหญ่ (รูปที่ 57) โดยมีความแตกต่างทางพันธุกรรมในระดับชนิดอย่าง ( $D = 0.190473$ ) กลุ่มแรกเป็นหอยจากห้วยเต่าดำ ในกลุ่มสองเป็นหอยที่เก็บตัวอย่างจาก 9 พื้นที่ (ค่าระยะห่างทางพันธุกรรมระหว่างประชากรกลุ่มนี้มีค่าสูง) ซึ่งสามารถแบ่งเป็น 3 กลุ่มประชากรอย่างในระดับเกือบเป็นชนิดอย่าง ( $D = 0.081965$  และ  $0.073220$ ) โดยหอยที่เก็บตัวอย่างจากน้ำตกไทรโยคน้อย น้ำตกไทรโยคใหญ่ และน้ำพุห้วยเขย่งจัดเป็นกลุ่มเดียวกัน หอยที่เก็บตัวอย่างจากลำธารริมน้ำ พร้อมหินคาดจัดอยู่ในกลุ่มเดียวกับน้ำตกผาลาด และหอยที่เก็บตัวอย่างจากน้ำตกเกริงกระดีย น้ำตกไดซองถ่อง และน้ำตกตะเคียนทองจัดอยู่ในกลุ่มเดียวกัน ซึ่งหอยน้ำจืด *Paludomus spp.* ใน 3 กลุ่มย่อยมีความแตกต่างกันในระดับประชากร (ค่า D ประมาณ 0.01)

#### ความสัมพันธ์ระหว่างหอยน้ำจืด *Paludomus spp.* โดยการตรวจสอบโดยตีน

จากศึกษาฐานแบบโปรดตีนจากแผ่นเท้าของหอยน้ำจืด *Paludomus spp.* ที่เก็บจากจุดสำรวจทั้ง 10 พื้นที่ด้วยเทคนิคโคลีเก็กไทรฟอร์ซ แล้วนำมาย้อมเพื่อศึกษาโดยตีนด้วยสี

Coomassie blue พบว่าทั้ง 10 พื้นที่ให้ผลเหมือนกัน คือ ปราการแอบโปรตีนชั้น 17 แบบ (รูปที่ 58) เมื่อเทียบกับ marker protein (bovine serum albumin และ chicken egg albumin) พบว่าแอบโปรตีนที่ปราการมีค่า分子นักไม่เลกุล (molecular weight) ระหว่าง 35,435 ถึง 235,128 (ตารางที่ 21)

#### ◆ ผลการตรวจสอบการติดเชื้อปรสิตในหอยน้ำจืด *Paludomus spp.*

การตรวจสอบการติดเชื้อปรสิตในหอยที่สูมได้ โดยการ shedding เมื่อได้ตัวอ่อนของปรสิตในระยะเชอร์คาเรียอกมา นำมาย้อมสีและทำการตรวจสอบชนิดของปรสิตที่พบ โดยการวัดขนาดและตรวจสอบรูปร่างและอวัยวะภายนอกและภายในของปรสิตนั้น ๆ ได้ผลดังนี้

##### จดจำว่าที่ 1 น้ำตกไทรโยคน้อย

พบตัวอ่อนระยะเชอร์คาเรียจำนวน 2 ชนิด ดังนี้

1.1 ตัวอ่อนระยะเชอร์คาเรียชนิดที่ 1 SN-C1 (รูปที่ 59)

เชอร์คาเรียมีลักษณะลำตัวรูปไข่ ที่ผิวลำตัวมีหนาม (spines) 2 แบบ คือขนาดเล็ก ปลายแหลม และขนาดเล็กปลายมนป้านปักคลุมรอบลำตัว บริเวณรูปากเปิดมีหนามเรียงเป็น列า 3 แถว คือ 4-6, 12-14 และ 22-24 ภายในลำตัวพบแกรนูลหมายบรจาดอยู่ทั่วลำตัว พบว่าเชอร์คาเรียชนิดนี้มีตา (eye spots) จำนวน 1 คู่ ซึ่งมี pigment หยาบคูปสีเหลี่ยม พบ pharynx ลักษณะกลมขนาดเล็กอยู่ตรงกลางระหว่างตา มี penetration gland 14 ก้อน เรียงตามความยาวลำตัว 4 แถว แต่ละ 3, 4, 4 และ 3 ก้อนตามลำดับ พบ ventral sucker ลักษณะเป็นกลุ่มเซลล์เล็ก ๆ พบ excretory bladder ลักษณะผนังหนา รูปตัววี ขนาดใหญ่ อยู่ส่วนท้ายของลำตัว และพบว่ามีทางยาวยาวกว่าส่วนของลำตัว ลักษณะตรงปลายทางแหลม บริเวณส่วนต้นของทางพบ lateral finfold แผ่นออกเล็กน้อย และ dorsoventral finfold อยู่บริเวณส่วนกลางด้านหลังทาง พาดยาวตลอดทาง โดยมีลักษณะอ้อมปลายทางกลับมาด้านห้องของทาง พบท่อเปิดออกของ excretory bladder ที่ปลายทาง และมี pigment อยู่เป็นกลุ่ม ๆ ละ 3-5 เซลล์ มีการเคลื่อนที่โดยการพลิกตัวข้าย-ขวา สลับไปมาอย่างรวดเร็ว แล้วพุ่งตัวไปข้างหน้า ประมาณ 7 วินาที และหยุดพักประมาณ 27 วินาที เวลาลอดอยตัวพักอยู่กับที่ปลายทางจะรีเข็นข้างบนผิวน้ำ ขนาดตัวอ่อนระยะเชอร์คาเรียเป็นดังนี้ (จากค่าเฉลี่ยของเชอร์คาเรียจำนวน 10 ตัว)

Body 95-115 (av. 109)  $\mu\text{m}$  x 235-387.5 (av. 264)  $\mu\text{m}$

Oral sucker 32.5-45 (av. 34)  $\mu\text{m}$  x 35-50 (av. 38)  $\mu\text{m}$

Ventral sucker	12.5-25 (av. 20) $\mu\text{m}$	$\times$	12.5-27.5 (av. 21) $\mu\text{m}$
Excretory bladder	57.5-95 (av. 73) $\mu\text{m}$	$\times$	60-95 (av. 71) $\mu\text{m}$
Pharynx	12.5-17.5 (av. 13) $\mu\text{m}$	$\times$	12.5-17.5 (av. 13) $\mu\text{m}$
Eye spots	7.5-12.5 (av. 11) $\mu\text{m}$	$\times$	5-12.5 (av. 9) $\mu\text{m}$
Tail	27.5-37.5 (av. 33) $\mu\text{m}$	$\times$	73.6-525 (av. 454) $\mu\text{m}$

1.2 ตัวอ่อนระยะเชอร์คารีย์ชนิดที่ 2 SN-C2 (รูปที่ 60)

เชอร์คารีย์มีลักษณะลำตัวรูปไข่ยาวรี บริเวณผิวลำตัวมีหนามสั้นขนาดเล็กปักคลุมรอบลำตัว และมีขนอยู่เป็นกลุ่มๆ ภายในลำตัวพบแกมนูดหมายบราวยทั่วลำตัว oral sucker มีลักษณะกล้ามเนื้อล้อมรอบ บริเวณตรงกลางเป็นช่องกลวงด้านบนมี stylet ที่ปลายแยกเป็น 2 แฉก ลักษณะของ oral sucker และ ventral sucker เมื่อมองด้านข้างจะเห็นเป็นรูปตัว C พบ prepharynx ยาวและมี pharynx อยู่ส่วนปลาย พน penetration gland จำนวน 3 คู่ ลักษณะ似อยู่ด้านข้างลำตัวเหนือ ventral sucker ซึ่งอยู่กลางลำตัวมีลักษณะกล้ามเนื้อล้อมรอบ และมีนูนสูงขึ้นจากผิวด้านท้องของลำตัว บริเวณผิว ventral sucker มี spine ขนาดเล็กจะเรียดอยู่รอบนอก และมี spine ยาวอยู่ขوبด้านใน excretory bladder มีผังหนารูปสี่เหลี่ยม พน flame cell ภายในลำตัวเป็น 2  $[(2+2)+(2+2)] = 16$  และพบทางลักษณะสั้นเป็นรูปถ้วย มี adhesive organ อยู่ภายในมีปลายห่อออก 2 ทางติดกับส่วนท้ายของลำตัว การเคลื่อนที่ของเชอร์คารีย์เป็นแบบตัวหนอน เวลาพักให้บริเวณทางเก้าที่พื้นที่ส่วนลำตัวขึ้นในแนวตั้ง ขนาดตัวอ่อนระยะเชอร์คารีย์เป็นดังนี้ (จากค่าเฉลี่ยของเชอร์คารีย์จำนวน 10 ตัว)

Body	67.5-132.5 (av. 100) $\mu\text{m}$	$\times$	200-320 (av. 246) $\mu\text{m}$
Oral sucker	35-50 (av. 43) $\mu\text{m}$	$\times$	37.5-45 (av. 40.5) $\mu\text{m}$
Ventral sucker	37.5-50 (av. 45.5) $\mu\text{m}$	$\times$	40-57.5 (av. 48) $\mu\text{m}$
Excretory bladder	37.5-62.5 (av. 54.6) $\mu\text{m}$	$\times$	35-87.5 (av. 57) $\mu\text{m}$
Pharynx	7.5-20 (av. 18) $\mu\text{m}$	$\times$	7.5-25 (av. 13) $\mu\text{m}$
Tail	30 - 52.5 (av. 37) $\mu\text{m}$	$\times$	7.5-25 (av. 13) $\mu\text{m}$
Stylet	10-12.5 (av. 12.25) $\mu\text{m}$	$\times$	3.75-7.5 (av. 6) $\mu\text{m}$

## จุดสำรวจที่ 2 น้ำตกไทรโยคในญี่

พบตัวอ่อนระยะเชอร์คาเรียจำนวน 3 ชนิด ดังนี้

### 2.1 ตัวอ่อนระยะเชอร์คาเรียชนิดที่ 1 SY-C1 (รูปที่ 61)

เชอร์คาเรียมีลักษณะลำตัวรูปไข่ มีหนามอยู่รอบลำตัว พับ ventral sucker มีลักษณะกลมมนออกมากจากลำตัว มีหนามอยู่โดยรอบ อุ้ยตรงกลางของลำตัว และมีขนาดใหญ่เท่ากับ oral sucker พับ excretory bladder มีขนาดเล็กกว่ามีห้องเปิดออกที่ปลายทางแยก 2 ห่อ มี pigment และแกรนูลกระจาบอยู่ทั่วตัว และพบทางแยกออกเป็น 2 แหก (หางส้อม) ลักษณะปลายทางอยู่มี cytoplasm มาก การเคลื่อนที่ของเชอร์คาเรียอาศัยส่วนทางสะบัดไปมาเพื่อเคลื่อนที่ไปข้างหน้าประมาณ 3-4 วินาที แล้วหยุดพักประมาณ 10 วินาที เวลาพักตัวจะลอยตัวพักอยู่กับที่ปลายทางจะหื้อขึ้นข้างบนผิวน้ำ ขนาดตัวอ่อนระยะเชอร์คาเรียเป็นดังนี้ (จากค่าเฉลี่ยของเชอร์คาเรียจำนวน 10 ตัว)

Body	45-100 (av. 64.5) $\mu\text{m}$	x	80-175 (av. 130.9) $\mu\text{m}$
Oral sucker	25-30 (av. 26.5) $\mu\text{m}$	x	25-30 (av. 26.4) $\mu\text{m}$
Ventral sucker	25-30 (av. 26.1) $\mu\text{m}$	x	25-32.5 (av. 26.6) $\mu\text{m}$
Excretory bladder	10-17.5 (av. 13.6) $\mu\text{m}$	x	12.5-22.5 (av. 17.1) $\mu\text{m}$
Pharynx	5-12.5 (av. 9.5) $\mu\text{m}$	x	10-20 (av. 12.9) $\mu\text{m}$
Tail stem	25-57.5 (av. 36.1) $\mu\text{m}$	x	125-190 (av. 157) $\mu\text{m}$
Tail furcal	12.5-20 (av. 17.8) $\mu\text{m}$	x	100-187.5 (av. 151.3) $\mu\text{m}$

### 2.2 ตัวอ่อนระยะเชอร์คาเรียชนิดที่ 2 SY-C2

เชอร์คาเรียมีลักษณะเหมือนกับเชอร์คาเรีย SN-C2 คือลำตัวรูปไข่ยาวรี บริเวณผิวลำตัวมีหนามสั้นขนาดเล็กปกคลุมรอบลำตัว และมีขนาดอยู่เป็นกลุ่มๆ ภายในลำตัวพบแกรนูลหมายกระจาบทั่วลำตัว oral sucker มีลักษณะกล้ามเนื้อล้อมรอบ บริเวณตรงกลางเป็นช่องกลวงด้านบนมี stylet ที่ปลายแยกเป็น 2 แหก ลักษณะของ oral sucker และ ventral sucker เมื่อมองด้านข้างจะเห็นเป็นรูปตัว C พับ prepharynx ยาวและมี pharynx อยู่ส่วนปลาย พับ penetration gland จำนวน 3 คู่ ลักษณะ似อยู่ด้านข้างลำตัวเหนือ ventral sucker ซึ่งอยู่กลางลำตัวมีลักษณะกล้ามเนื้อล้อมรอบ และนูนสูงขึ้นจากผิวด้านท้องของลำตัว บริเวณผิว ventral sucker มี spine ขนาดเล็กจะเขียวอยู่บนอก และมี spine ยาวอยู่ขอบด้านใน excretory bladder มีผิวนานรูปสี่เหลี่ยม และพบทางลักษณะสั้นเป็นรูปถ้วย มี adhesive

organ อยู่ภายในมีปลายท่อออก 2 ทางติดกับส่วนท้ายของลำตัว การเคลื่อนที่ของเซอร์คารีย เป็นแบบตัวหอน เวลาพกใช้บริเวณทางเก้าที่พื้นที่ส่วนลำตัวขึ้นในแนวตั้ง ขนาดตัวอ่อนระยะเซอร์คารียเป็นดังนี้ (จากค่าเฉลี่ยของเซอร์คารียจำนวน 10 ตัว)

Body	87.5-130 (av. 105.8) $\mu\text{m}$	$\times$	175-350 (av. 226.8) $\mu\text{m}$
Oral sucker	35-50 (av. 44.3) $\mu\text{m}$	$\times$	40-62.5 (av. 46.8) $\mu\text{m}$
Ventral sucker	37.5-57.5 (av. 49.3) $\mu\text{m}$	$\times$	42.5-57.5 (av. 49.6) $\mu\text{m}$
Excretory bladder	30-62.5 (av. 45.0) $\mu\text{m}$	$\times$	50-62.5 (av. 52.3) $\mu\text{m}$
Pharynx	7.5-20 (av. 15.0) $\mu\text{m}$	$\times$	10-15 (av. 12.5) $\mu\text{m}$
Tail	37.5-50 (av. 42.5) $\mu\text{m}$	$\times$	32.5-42.5 (av. 37.2) $\mu\text{m}$
Stylet	5-7.5 (av. 6.6) $\mu\text{m}$	$\times$	10-15 (av. 13.0) $\mu\text{m}$

### 2.3 ตัวอ่อนระยะเซอร์คารียชนิดที่ 3 SY-C3 (รูปที่ 62)

เซอร์คารียมีลักษณะลำตัวรูปไข่ บริเวณลำตัวมีหนามขนาดเล็กปักคลุมโดยรอบลำตัว ภายในลำตัวพบแกรนูลหมายกระจาดอยู่ทั่วลำตัว oral sucker มี vigulate gland 2 ก้อน และเห็น stylet ชัดเจน พบร่องรอยของ penetration gland จำนวน 4 ท่อ ด้านข้างของ stylet บริเวณ oral sucker มี pharynx ลักษณะกลมขนาดเล็กติดอยู่กับ oral sucker ด้านล่าง penetration gland แบ่งออกเป็น 2 ชนิด จำนวน 3 คู่ มี 1 คู่ ลักษณะ似 อีก 2 คู่มี แกรนูละเดียดอยู่ภายใน ventral sucker อยู่บริเวณกลางลำตัว มีขนาดเล็กกว่า oral sucker ต่ำลงมาก มี genital primordial รูปตัวซี มี excretory bladder ขนาดเล็กรูปถ้วยอยู่ด้านท้ายของลำตัว และพบทางติดต่อกับด้านท้องส่วนท้ายลำตัว ลักษณะทางตรงปลายทางแผลมสามารถยึด-หลุดได้ เพราะบริเวณด้านข้างมีกล้ามเนื้อ บริเวณผิวของทางมีหนามแผลมยาวปักคลุมรอบทาง พบร่องรอยของ excretory bladder ที่ปลายทางและมี pigment กระจายอยู่ การเคลื่อนที่อาศัยการพลิกตัวข้าย-ขางสับไปมาอย่างรวดเร็ว พร้อมกับเคลื่อนที่ไปข้างหน้า ขณะหยุดพักจะloyหมายท้องและปลายทางขึ้นบนผิวน้ำ ขนาดตัวอ่อนระยะเซอร์คารียเป็นดังนี้ (จากค่าเฉลี่ยของเซอร์คารียจำนวน 10 ตัว)

Body	38-55 (av. 43.9) $\mu\text{m}$	$\times$	68-87.5 (av. 76.0) $\mu\text{m}$
Oral sucker	20-30 (av. 23.1) $\mu\text{m}$	$\times$	20-30 (av. 23.1) $\mu\text{m}$
Ventral sucker	10-25 (av. 17.3) $\mu\text{m}$	$\times$	10-27.5 (av. 17.8) $\mu\text{m}$

Pharynx	5-8 (av. 6.8) $\mu\text{m}$ x 5-10 (av. 8.4) $\mu\text{m}$
Tail	12.5-18 (av. 16.0) $\mu\text{m}$ x 50-100 (av. 69.7) $\mu\text{m}$
Stylet	2-3 (av. 2.2) $\mu\text{m}$ x 7-15 (av. 10) $\mu\text{m}$

### จุดสำรวจที่ 3 หัวยเต่าดำ

พบตัวอ่อนระยะเชอร์คาเรีย 1 ชนิดคือ TD-C1 ซึ่งมีลักษณะเหมือนกับเชอร์คาเรีย ชนิด SY-C3 (รูปที่ 62) คือ เชอร์คาเรียมีลักษณะลำตัวรูปไข่ บริเวณลำตัวมีหนามขนาดเล็กปักคลุมโดยรอบลำตัว ภายในลำตัวพบแกนรูดหยาบกระจาดอยู่ทั่วลำตัว oral sucker มี vigulate gland 2 ก้อนและเห็น stylet ขัดเจน พบร่องเปิดออกของ penetration gland จำนวน 4 ท่อ ด้านข้างของ stylet บริเวณ oral sucker มี pharynx ลักษณะกลมขนาดเล็กติดอยู่กับ oral sucker ด้านล่าง penetration gland แบ่งออกเป็น 2 ชนิด จำนวน 3 คู่ มี 1 คู่ ลักษณะใส อีก 2 คู่มีแกนรูดหยาบอยู่ใน ventral sucker อยู่บริเวณกลางลำตัว มีขนาดเล็กกว่า oral sucker ต่ำลงมา มี genital primordial รูปตัวรี มี excretory bladder ขนาดเล็กรูปถ้วยอยู่ด้านท้ายของลำตัว และพบทางติดต่อกับด้านท้องส่วนท้ายลำตัว ลักษณะทางตรงปลายทางแหลม สามารถยืด-หดได้ เพราะบริเวณด้านข้างมีกล้ามเนื้อ บริเวณผิวของทางมีหนามแหลมยาวปักคลุมรอบทาง พบร่องเปิดของ excretory bladder ที่ปลายทางและมี pigment กระจายอยู่ การเคลื่อนที่อาศัยการพลิกตัวข้าย-ขวา ผลลัพท์มาอย่างรวดเร็ว พร้อมกับเคลื่อนที่ไปข้างหน้าขณะหยดพักจะลอยหมายท้องและปลายทางซึ่งบนผิวน้ำ ขนาดตัวอ่อนระยะเชอร์คาเรียเป็นดังนี้ (จากค่าเฉลี่ยของเชอร์คาเรียจำนวน 10 ตัว)

Body	39.5-54.1 (av. 50.8) $\mu\text{m}$ x 62.4-104.4 (av. 83.0) $\mu\text{m}$
Oral sucker	27.0-35.4 (av. 30.7) $\mu\text{m}$ x 25.0-35.4 (av. 30.1) $\mu\text{m}$
Ventral sucker	12.5-22 (av. 13.0) $\mu\text{m}$ x 10.4-23.5 (av. 12.4) $\mu\text{m}$
Pharynx	4.2-5.2 (av. 4.7) $\mu\text{m}$ x 5.2-6.3 (av. 5.7) $\mu\text{m}$
Tail	6.2-13.0 (av. 12.0) $\mu\text{m}$ x 47.8-82.4 (av. 59.4) $\mu\text{m}$
Stylet	2-3 (av. 2.2) $\mu\text{m}$ x 7-13 (av. 12) $\mu\text{m}$

### จุดสำรวจที่ 4 ลำธารข้างบ่อ่น้ำพุร้อนหินคาด

พบตัวอ่อนระยะเชอร์คาเรีย 2 ชนิด ดังนี้

4.1 ตัวอ่อนเชอร์คาเรียชนิดที่ 1 HD-C1

ເຫຼືອຮົມເຣີຍທີ່ພບມີລັກຜະນະແໜ່ອນກັບເຫຼືອຮົມເຣີຍ SY-C1 ຄືອ ເຫຼືອຮົມເຣີຍມີລັກຜະນະລຳຕັງກູປ໌ໄຊ ມີໜານມອຸ່ງຈອບລຳຕັ້ວ ພບ ventral sucker ມີລັກຜະນະກລມນູນອອກມາຈາກລຳຕັ້ວ ມີໜານມອຸ່ງໂດຍຮອບ ອຸ່ງຕຽງກລາງຂອງລຳຕັ້ວ ແລະມີໜາດໃໝ່ເຖິງກັບ oral sucker ພບ excretory bladder ມີໜາດເລື້ອກຍາວມີທີ່ເປີດອອກທີ່ປ່າຍຫາງແສກ 2 ທ່ອ ມີ pigment ແລະແກຣນູລກຮຈາຍອຸ່ງທີ່ວັດັກ ແລະພບຫາງແຍກອອກເປັນ 2 ແສກ (ຫາງສ້ອມ) ລັກຜະນະປ່າຍຫາງອັ້ມ ມີ cytoplasm ມາກ ການເຄື່ອນທີ່ຂອງເຫຼືອຮົມເຣີຍຈາກສ້ວນຫາງສະບັດໄປມາເພື່ອເຄື່ອນທີ່ໄປໜ້າຫັ້ນປະມານ 3-4 ວິນາທີ ແລ້ວໝຸດພັກປະມານ 10 ວິນາທີ ເວລາພັກຕັ້ງຈະລອຍຕັ້ວພັກອຸ່ງກັບທີ່ປ່າຍຫາງຈະຫົ້ວ່າ ຮັ້ງບນົມົວ້າ ຂາດຕັ້ວອ່ອນຮະຍະເຫຼືອຮົມເຣີຍເປັນດັ່ງນີ້ (ຈາກຄ່າເລື່ອຍ່າງເຫຼືອຮົມເຣີຍຈຳນວນ 10 ຕັ້ວ)

Body	37.5–85 (av. 63.8) $\mu\text{m}$	$\times$	120–150 (av. 130.8) $\mu\text{m}$
Oral sucker	20–30 (av. 29.8) $\mu\text{m}$	$\times$	20–30 (av. 23.5) $\mu\text{m}$
Ventral sucker	20–30 (av. 24.0) $\mu\text{m}$	$\times$	17.5–27.5 (av. 24.5) $\mu\text{m}$
Excretory bladder	10–25 (av. 14.5) $\mu\text{m}$	$\times$	10–30 (av. 17.5) $\mu\text{m}$
Pharynx	10–30 (av. 14.5) $\mu\text{m}$	$\times$	7.5–3.0 (av. 13.8) $\mu\text{m}$
Tail stem	15–45 (av. 28) $\mu\text{m}$	$\times$	130–170 (av. 148) $\mu\text{m}$
Tail furcal	5–25 (av. 16.5) $\mu\text{m}$	$\times$	117.5–167.5 (av. 151.5) $\mu\text{m}$

#### 4.2 ຕັ້ວອ່ອນເຫຼືອຮົມເຣີຍຫຼິດທີ່ 2 HD-C2

ເຫຼືອຮົມເຣີຍມີລັກຜະນະແໜ່ອນກັບເຫຼືອຮົມເຣີຍ SN-C2 (ກູປ໌ 60) ແລະ SY-C2 ຄືລຳຕັ້ງກູປ໌ໄຊຢາວີ ບຣິເວນພິວລຳຕັ້ວມີໜານສັ້ນໜາດເລື້ອກປົກຄຸມຮອບລຳຕັ້ວ ແລະມີໜາດໃໝ່ເປັນກຸ່ມາກາຍໃນລຳຕັ້ວພບແກຣນູລໝາຍກຮຈາຍທີ່ວັດັກ ອົາລັກຕັ້ງກຳລຳມານີ້ເລື້ອມຮອບ ບຣິເວນຕຽງກລາງເປັນຫຼືອກລົງດ້ານບນມີ stylet ທີ່ປ່າຍແຍກເປັນ 2 ແສກ ລັກຜະນະຂອງ oral sucker ແລະ ventral sucker ເມື່ອມອງດ້ານຫັ້ງຈະເຫັນເປັນກູປ໌ຕົວ C ພບ prepharynx ຍາວແລະມີ pharynx ອຸ່ງສ່ວນປ່າຍ ພບ penetration gland ຈຳນວນ 3 ຄູ່ ລັກຜະນະໄສອຸ່ງດ້ານຫັ້ງລຳຕັ້ວ ເນື້ອ ventral sucker ຊຶ່ງອຸ່ງກລາງລຳຕັ້ວມີລັກຜະນະກໍລຳມານີ້ເລື້ອມຮອບ ແລະນູນສູງຫຼືຈາກພິວດ້ານທ້ອງຂອງລຳຕັ້ວ ບຣິເວນພິວ ventral sucker ມີ spine ຂາດເລື້ອກລະເອີຍດອຸ່ງຮອບນອກ ແລະມີ spine ຍາວອຸ່ງຂອບດ້ານໃນ excretory bladder ມີຜັນຫາກູປ໌ສີເໜີຍມ ແລະພບຫາງລັກຜະນະສັ້ນເປັນກູປ໌ດ້ວຍ ມີ adhesive organ ອຸ່ງກາຍໃນມີປ່າຍທີ່ອອກ 2 ຖາງຕິດກັບສ່ວນທ້າຍຂອງລຳຕັ້ວ

การเคลื่อนที่ของเชื้อร์คารีย์เป็นแบบตัวหนอน เวลาพักใช่บริเวณทางเก้าที่พื้นที่ส่วนลำตัวขึ้นในแนวตั้ง ขนาดตัวอ่อนระยะเชื้อร์คารีย์เป็นดังนี้ (จากค่าเฉลี่ยของเชื้อร์คารีย์จำนวน 10 ตัว)

Body	82.5–132.5 (av. 99.7) $\mu\text{m}$	$\times$	200–320 (av. 247.2) $\mu\text{m}$
Oral sucker	35–47.5 (av. 42.8) $\mu\text{m}$	$\times$	37.5–45 (av. 40.8) $\mu\text{m}$
Ventral sucker	37.5–50 (av. 45.0) $\mu\text{m}$	$\times$	32.5–57.5 (av. 46.1) $\mu\text{m}$
Excretory bladder	37.5–62.5 (av. 55.0) $\mu\text{m}$	$\times$	35–87.5 (av. 56.1) $\mu\text{m}$
Pharynx	7.5–20 (av. 17.8) $\mu\text{m}$	$\times$	7.5–25 (av. 13.3) $\mu\text{m}$
Tail	32.5–50 (av. 42.8) $\mu\text{m}$	$\times$	30–52.5 (av. 36.9) $\mu\text{m}$
Stylet	3.75–7.5 (av. 6.3) $\mu\text{m}$	$\times$	10–12.5 (av. 12.2) $\mu\text{m}$

#### จุดสำรวจที่ 5 น้ำตกผาตาด

พบตัวอ่อนระยะเชื้อร์คารีย์ 6 ชนิด ดังนี้

##### 5.1 ตัวอ่อนระยะเชื้อร์คารีย์ชนิดที่ 1 PT-C1

เชื้อร์คารีย์ชนิดนี้มีลักษณะเหมือนกับเชื้อร์คารีย์ SN-C2 (รูปที่ 60), SY-C2 และ HD-C2 คือลำตัวรูปไข่ยาวรี บริเวณผิวลำตัวมีหนามสั้นขนาดเล็กปุกคลุมรอบลำตัว และมีขนอยู่เป็นกลุ่มๆ ภายในลำตัวพบแกรนูลอย่างกระจายทั่วลำตัว oral sucker มีลักษณะกล้ามเนื้อล้อมรอบ บริเวณตรงกลางเป็นช่องกลางด้านบนมี stylet ที่ปลายแยกเป็น 2 แฉก ลักษณะของ oral sucker และ ventral sucker เมื่อมองด้านข้างจะเห็นเป็นรูปตัว C พบ prepharynx ยาวและมี pharynx อยู่ส่วนปลาย พบ penetration gland จำนวน 3 คู่ ลักษณะ似อยู่ด้านข้างลำตัวเหนือ ventral sucker ซึ่งอยู่กลางลำตัวมีลักษณะกล้ามเนื้อล้อมรอบ และมีนูนสูงขึ้นจากผิวด้านท้องของลำตัว บริเวณผิว ventral sucker มี spine ขนาดเล็กละเอียดอยู่รอบอก และมี spine ยาวอยู่ขอบด้านใน excretory bladder มีผังหนานรูปสี่เหลี่ยม และพบทางลักษณะสั้นเป็นรูปถ้วย มี adhesive organ อยู่ภายใต้มีปลายห่อออก 2 ทางติดกับส่วนท้ายของลำตัว การเคลื่อนที่ของเชื้อร์คารีย์เป็นแบบตัวหนอน เวลาพักใช่บริเวณทางเก้าที่พื้นที่ส่วนลำตัวขึ้นในแนวตั้ง ขนาดตัวอ่อนระยะเชื้อร์คารีย์เป็นดังนี้ (จากค่าเฉลี่ยของเชื้อร์คารีย์จำนวน 10 ตัว)

Body	73–106 (av. 89) $\mu\text{m}$	$\times$	266–333 (av. 298) $\mu\text{m}$
Oral sucker	42–51 (av. 45) $\mu\text{m}$	$\times$	35.5–45.0 (av. 43.0) $\mu\text{m}$
Ventral sucker	40.5–55 (av. 46.0) $\mu\text{m}$	$\times$	42–62 (av. 50) $\mu\text{m}$

Excretory bladder	41.6–56.2 (av. 54.1) $\mu\text{m}$	$\times$	40–52.5 (av. 52.0) $\mu\text{m}$
Pharynx	8.0–22.9 (av. 18.7) $\mu\text{m}$	$\times$	7.5–20.8 (av. 16.6) $\mu\text{m}$
Tail	44–52 (av. 47) $\mu\text{m}$	$\times$	42–52 (av. 46) $\mu\text{m}$
Stylet	3.8–7.5 (av. 6.4) $\mu\text{m}$	$\times$	12–17 (av. 14.0) $\mu\text{m}$

### 5.2 ตัวอ่อนระยะเชอร์คารีย์ชนิดที่ 2 PT-C2

เชอร์คารีย์ชนิดนี้มีลักษณะ เหมือนกับเชอร์คารีย์ SY-C3 (รูปที่ 62) และ TD-C1 คือ คือเชอร์คารีย์มีลักษณะลำตัวรูปไข่ บริเวณลำตัวมีหนามขนาดเล็กปุกคลุมโดยรอบลำตัว ภายในลำตัวพบแกรนูลหมายกระจาดอยู่ทั่วลำตัว oral sucker มี vigulate gland 2 ก้อน และเห็น stylet ชัดเจน ventral sucker อยู่บริเวณกลางลำตัว มีขนาดเล็กกว่า oral sucker มี excretory bladder ขนาดเล็กรูปถ้วยอยู่ด้านท้ายของลำตัว และพบทางติดต่อกันด้านท้องส่วนท้ายลำตัว ลักษณะทางตรงปลายทางแผลม สามารถยืด-หดได้ เพราะบริเวณด้านข้างมีกล้ามเนื้อ บริเวณผิวของทางมีหนามแผลมยาวปุกคลุมรอบทาง การเคลื่อนที่อาศัยการพลิกตัวซ้าย-ขวา ลับไปมาอย่างรวดเร็ว พร้อมกับเคลื่อนที่ไปข้างหน้า ขณะหยุดพักจะลอยหมายห้องและปลายทางซึ่งบนผิวน้ำ ขนาดตัวอ่อนระยะเชอร์คารีย์เป็นดังนี้ (จากค่าเฉลี่ยของเชอร์คารีย์จำนวน 10 ตัว)

Body	44-60 (av. 51) $\mu\text{m}$	$\times$	71-114 (av. 105) $\mu\text{m}$
Oral sucker	22.8-33.3 (av. 23.3) $\mu\text{m}$	$\times$	21-29 (av. 25) $\mu\text{m}$
Ventral sucker	20.8-27 (av. 22.5) $\mu\text{m}$	$\times$	20.8-27 (av. 22.8) $\mu\text{m}$
Excretory bladder	22.5-29.1 (av. 25) $\mu\text{m}$	$\times$	20.8-27 (av. 24.9) $\mu\text{m}$
Tail	13-21 (av. 17.0) $\mu\text{m}$	$\times$	44-91 (av. 80) $\mu\text{m}$
Stylet	1-3 (av. 2) $\mu\text{m}$	$\times$	2-6 (av. 4) $\mu\text{m}$

### 5.3 ตัวอ่อนระยะเชอร์คารีย์ชนิดที่ 3 PT-C3

เชอร์คารีย์มีลักษณะเหมือนกับเชอร์คารีย์ SN-C1 (รูปที่ 59) คือ เชอร์คารีย์มีลักษณะลำตัวรูปไข่ ที่ผิวลำตัวมีหนาม (spins) 2 แบบ คือขนาดเล็กปลายแผลม และขนาดเล็กปลายมนป้านปุกคลุมรอบลำตัว บริเวณรูปากเปิดมีหนามเรียงเป็น列 3 แถว คือ 4-6, 12-14 และ 22-24 ภายในลำตัวพบแกรนูลหมายกระจาดอยู่ทั่วลำตัว พบร่องเชอร์คารีย์ชนิดนี้มีตา (eye spots) จำนวน 1 คู่ ซึ่งมี pigment หมายรูปสี่เหลี่ยม พบร่อง pharynx ลักษณะกลม

ขนาดเล็กอยู่ตรงกลางระหว่างตัว มี penetration gland 14 ก้อน เรียงตามความยาวลำตัว 4 แฉะ แฉะ 3, 4, 4 และ 3 ก้อนตามลำดับ พน ventral sucker ลักษณะเป็นกลุ่มเซลล์เล็กๆ พน excretory bladder ลักษณะผนังหนา รูปตัววี ขนาดใหญ่ อยู่ส่วนท้ายของลำตัว และพบร่วมกันมากกว่าส่วนของลำตัว ลักษณะตรงปลายทางแหลม บริเวณส่วนต้นของทางพน lateral finfold แผ่นออกเด็กน้อย และ dorsoventral finfold อยู่บริเวณส่วนกลางด้านหลังทางพาราไดยาฟลอดด้านหลัง โดยมีลักษณะอ้อมปลายทางกลับมาด้านท้องของทาง พนท่อเปิดออกของ excretory bladder ที่ปลายทาง และมี pigment อยู่เป็นกลุ่มๆ ละ 3-5 เซลล์ มีการเคลื่อนที่โดยการพลิกตัวข้าง-ขวา ลับไปมาอย่างรวดเร็ว แล้วพุ่งตัวไปข้างหน้า ประมาณ 7 วินาที และหยุดพักประมาณ 27 วินาที เวลาลอดตัวพักอยู่กับที่ปลายทางจะซึ้งข้างบนผิวน้ำ ขนาดตัวตัวอ่อนระยะเชอร์คารีย์เป็นดังนี้ (จากค่าเฉลี่ยของเชอร์คารีย์จำนวน 10 ตัว)

Body	141-166 (av. 154) $\mu\text{m}$	$\times$	258-316 (av. 285) $\mu\text{m}$
Oral sucker	45.8-47.8 (av. 46.8) $\mu\text{m}$	$\times$	40-50 (av. 44) $\mu\text{m}$
Ventral sucker	24.9-29 (av. 27)	$\mu\text{m}$	$\times$ 24.9-27 (av. 26) $\mu\text{m}$
Excretory bladder	52-75 (av. 72.8) $\mu\text{m}$	$\times$	60-68.6 (av. 62.4) $\mu\text{m}$
Eye spots	24.9-31.2 (av. 28.1) $\mu\text{m}$	$\times$	16.6-18.7 (av. 17.7) $\mu\text{m}$
Tail	48-54 (av. 51) $\mu\text{m}$	$\times$	366-416 (av. 391) $\mu\text{m}$

#### 5.4 ตัวอ่อนระยะเชอร์คารีย์ชนิดที่ 4 PT-C4

เชอร์คารีย์ชนิดนี้มีลักษณะเหมือนกับเชอร์คารีย์ SY-C1 (รูปที่ 61) และ HD-C1 คือ เชอร์คารีย์มีลักษณะลำตัวรูปไข่ มีหนามอยู่รอบลำตัว พน ventral sucker มีลักษณะกลมมนออกมายาวๆ ขนาดเล็กยาวมีท่อเปิดออกที่ปลายทางแยก 2 ห่อ มี pigment และแกนรูลกระจาดอยู่ทั่วตัว และพบทางแยกออกเป็น 2 แรก (ทางส้อม) ลักษณะปลายทางอุ้ม มี cytoplasm มาก การเคลื่อนที่ของเชอร์คารีย์อาศัยส่วนทางสะบัดไปมาเพื่อเคลื่อนที่ไปข้างหน้าประมาณ 1 นาที แล้วหยุดพักประมาณ 3-4 วินาที เวลาพักตัวจะลอดตัวพักอยู่กับที่ปลายทางจะซึ้งข้างบนผิวน้ำ ขนาดตัวตัวอ่อนระยะเชอร์คารีย์เป็นดังนี้ (จากค่าเฉลี่ยของเชอร์คารีย์จำนวน 10 ตัว)

Body	64-94 (av. 75) $\mu\text{m}$	$\times$	129-181 (av. 149) $\mu\text{m}$
Oral sucker	25-33.3 (av. 29.1) $\mu\text{m}$	$\times$	24.9-31.2 (av. 28.6) $\mu\text{m}$

Ventral sucker	25–32.2 (av. 28.1) $\mu\text{m}$	$\times$	24.9–31.2 (av. 27.2) $\mu\text{m}$
Excretory bladder	10–15 (av. 13.6) $\mu\text{m}$	$\times$	10–16.6 (av. 14.6) $\mu\text{m}$
Pharynx	6.2–10.4 (av. 9.5) $\mu\text{m}$	$\times$	7.5–13.0 (av. 13.8) $\mu\text{m}$
Tail stem	31–52 (av. 40) $\mu\text{m}$	$\times$	146–193 (av. 171) $\mu\text{m}$
Tail furcal	12–17 (av. 14) $\mu\text{m}$	$\times$	104–208 (av. 155) $\mu\text{m}$

### จุดสำรวจที่ 6 น้ำพุห้วยเขย่าง

พบตัวอ่อนระยะเชอร์คารีย 3 ชนิด ดังนี้

#### 6.1 ตัวอ่อนระยะเชอร์คารียชนิดที่ 1 HY-C1

เชอร์คารียมีลักษณะเหมือนกับเชอร์คารีย SN-C2 (รูปที่ 60), SY-C2 และ HD-C2, PT-C1 คือลำตัวรูปไข่ยาวรี บริเวณผิวลำตัวมีหนามสั้นขนาดเล็กปักคลุมรอบลำตัว และมีขันอยู่เป็นกลุ่มๆ ภายในลำตัวพบแกรนูลหมายกระจายทั่วลำตัว oral sucker มีลักษณะกล้ามเนื้อต้อมรอบ บริเวณตรงกลางเป็นช่องกลวงด้านบนมี stylet ที่ปลายแยกเป็น 2 แรก ลักษณะของ oral sucker และ ventral sucker เมื่อมองด้านข้างจะเห็นเป็นรูปตัว C พบ prepharynx ยาวและมี pharynx อยู่ส่วนปลาย พบ penetration gland จำนวน 3 คู่ ลักษณะ似อยู่ด้านข้างลำตัวเหนือ ventral sucker ซึ่งอยู่กลางลำตัวมีลักษณะกล้ามเนื้อต้อมรอบ และมีนูนสูงขึ้นจากผิวด้านท้องของลำตัว บริเวณผิว ventral sucker มี spine ขนาดเล็กจะเรียกว่าบนอก และมี spine ยาวอยู่ขอบด้านใน excretory bladder มีผนังหนารูปสี่เหลี่ยม และพบทางลักษณะสั้นเป็นรูปถ้วย มี adhesive organ อยู่ภายใต้มีปลายนท่อออก 2 ทางติดกับส่วนท้ายของลำตัว การเคลื่อนที่ของเชอร์คารียเป็นแบบตัวหนอน เวลาพักใช่บริเวณทางเก้าะที่พื้นฐานส่วนลำตัวขึ้นในแนวตั้ง ขนาดตัวอ่อนระยะเชอร์คารียเป็นดังนี้ (จากค่าเฉลี่ยของเชอร์คารียจำนวน 10 ตัว)

Body	70-120 (av. 94.0) $\mu\text{m}$	$\times$	225-320 (av. 257.0) $\mu\text{m}$
Oral sucker	35-65 (av. 44.0) $\mu\text{m}$	$\times$	27.5-60 (av. 45.0) $\mu\text{m}$
Ventral sucker	37.5-75 (av. 50.0) $\mu\text{m}$	$\times$	40-52.5 (av. 45) $\mu\text{m}$
Excretory bladder	40-75 (av. 52.0) $\mu\text{m}$	$\times$	37.5-87.5 (av. 61.0) $\mu\text{m}$
Pharynx	7.5-20 (av. 18.0) $\mu\text{m}$	$\times$	7.5-20 (av. 13.0) $\mu\text{m}$
Tail	32.5-50 (av. 36.0) $\mu\text{m}$	$\times$	32.5-50 (av. 36.0) $\mu\text{m}$
Stylet	5-7.5 (av. 5.3) $\mu\text{m}$	$\times$	7.5-15 (av. 12) $\mu\text{m}$

### 6.2 ตัวอ่อนระยะเชอร์คารียชนิดที่ 2 HY-C2

เชอร์คารียชนิดนี้มีลักษณะเหมือนกับเชอร์คารีย SY-C3 (รูปที่ 62), TD-C1 และ PT-C2 คือเชอร์คารียมีลักษณะลำตัวรูปไข่ บริเวณลำตัวมีหนามขนาดเล็กปุกคลุมโดยรอบลำตัว ภายในลำตัวพบแกรนูลหมายบริจายอยู่ทั่วลำตัว oral sucker มี vigulate gland 2 ก้อน และหิน stylet ชัดเจน พบร่องเปิดออกของ penetration gland จำนวน 4 ท่อ ด้านข้างของ stylet บริเวณ oral sucker มี pharynx ลักษณะกลมขนาดเล็กติดอยู่กับ oral sucker ด้านล่าง penetration gland แบ่งออกเป็น 2 ชนิด จำนวน 3 คู่ มี 1 คู่ ลักษณะ似 อีก 2 คู่มี แกรนูละเอียดอยู่ภายใน ventral sucker อยู่บริเวณกลางลำตัว มีขนาดเล็กกว่า oral sucker ต่ำลงมา มี genital primordial รูปตัวรี มี excretory bladder ขนาดเล็กรูปถ้วยอยู่ด้านท้าย ของลำตัว และพบร่องติดต่อ กับด้านท้องส่วนท้ายลำตัว ลักษณะทางตรงปลายทางแหลม สามารถยึด-หลุดได้ เพราะบริเวณด้านข้างมีกล้ามเนื้อ บริเวณผิวของหางมีหนามแหลมยาวปุก คลุมรอบหาง พบร่องเปิดของ excretory bladder ที่ปลายหางและมี pigment กระจายอยู่ การเคลื่อนที่อาศัยการพลิกตัวข้าง-ขวา แล้วลับไปมาอย่างรวดเร็ว พร้อมกับเคลื่อนที่ไปข้างหน้า ขณะนั้นพักจะลอดอยหมายห้องและปลายหางซึ่งนับผิวน้ำ ขนาดตัวอ่อนระยะเชอร์คารียเป็นดังนี้ (จากค่าเฉลี่ยของเชอร์คารียจำนวน 10 ตัว)

Body	55-80 (av. 62.0) $\mu\text{m}$	$\times$	60-95 (av. 82.0) $\mu\text{m}$
Oral sucker	5.0-7.5 (av. 6.0) $\mu\text{m}$	$\times$	5.0 (av. 5.0) $\mu\text{m}$
Ventral sucker	10-15 (av. 12.0) $\mu\text{m}$	$\times$	10-15 (av. 13.0) $\mu\text{m}$
Excretory bladder	22.5-30 (av. 26.0) $\mu\text{m}$	$\times$	12.5 (av. 12.5) $\mu\text{m}$
Tail	17.5-22.5 (av. 19.0) $\mu\text{m}$	$\times$	30-42.5 (av. 33.0) $\mu\text{m}$
Stylet	2.5-5 (av. 2.8) $\mu\text{m}$	$\times$	12.5-15 (av. 13) $\mu\text{m}$

### 6.3 ตัวอ่อนระยะเชอร์คารียชนิดที่ 3 HY-C3

เชอร์คารียชนิดนี้มีลักษณะเหมือนกับเชอร์คารีย SN-C1 (รูปที่ 59) และ PT-C3 คือ เชอร์คารียมีลักษณะลำตัวรูปไข่ ที่ผิวลำตัวมีหนาม (spins) 2 แบบ คือขนาดเล็กปลายแหลม และขนาดเล็กปลายมนปานปุก คลุมรอบลำตัว บริเวณรูปปากเปิดมีหนามเรียงเป็น列 3 แถว คือ 4-6, 12-14 และ 22-24 ภายในลำตัวพบแกรนูลหมายบริจายอยู่ทั่วลำตัว พบร่องเชอร์คารียชนิดนี้มีตา (eye spots) จำนวน 1 คู่ ซึ่งมี pigment หยาบๆ สีเหลือง พบร่อง

pharynx ลักษณะกลมขนาดเล็กอยู่ตรงกลางระหว่างตัว มี penetration gland 14 ก้อน เรียงตามความยาวลำตัว 4 แฉว แฉวละ 3, 4, 4 และ 3 ก้อนตามลำตัว พบร belly ventral sucker ลักษณะเป็นกลุ่มเซลล์เล็ก ๆ พบ excretory bladder ลักษณะผนังหนา รูปตัววี ขนาดใหญ่ ส่วนหัวของลำตัว และพบว่ามีทางยาวกว่าส่วนของลำตัว ลักษณะตรงปลายทางแผลมบริเวณส่วนต้นของทางพบ lateral finfold แผ่นออกเล็กน้อย และ dorsoventral finfold อยู่บริเวณส่วนกลางด้านหลังทาง พาดยาวตลอดทาง โดยมีลักษณะอ้อมปลายทางกลับมาด้านท้องของทาง พบท่อเปิดออกของ excretory bladder ที่ปลายทาง และมี pigment อยู่เป็นกลุ่ม ๆ ละ 3-5 เซลล์ มีการเคลื่อนที่โดยการพลิกตัวข้าย-ขวา สรับไปมากอย่างรวดเร็ว แล้วพุ่งตัวไปข้างหน้า ประมาณ 7 วินาที และหยุดพักประมาณ 27 วินาที เวลาถอยตัวพกอยู่กับที่ปลายทางจะรีชี้นิ้วงานผิวน้ำ ขนาดตัวอ่อนระยะเชอร์คารีย์เป็นดังนี้ (จากค่าเฉลี่ยของเชอร์คารีย์จำนวน 10 ตัว)

Body	95-115 (av. 109.0) $\mu\text{m}$	$\times$	235-287.5 (av. 264.0) $\mu\text{m}$
Oral sucker	32.5-45 (av. 34.0) $\mu\text{m}$	$\times$	35-50 (av. 38.0) $\mu\text{m}$
Ventral sucker	12.5-25 (av. 20.0) $\mu\text{m}$	$\times$	12.5-27.5 (av. 21.0) $\mu\text{m}$
Excretory bladder	57.5-95 (av. 73.0) $\mu\text{m}$	$\times$	60-95 (av. 71.0) $\mu\text{m}$
Pharynx	12.5-17.5 (av. 13.0) $\mu\text{m}$	$\times$	12.5-17.5 (av. 13.0) $\mu\text{m}$
Eye spots	7.5-12.5 (av. 11.0) $\mu\text{m}$	$\times$	5-12.5 (av. 9.0) $\mu\text{m}$
Tail	27.5-37.5 (av. 33.0) $\mu\text{m}$	$\times$	73.6-525 (av. 454.0) $\mu\text{m}$

#### จุดสำรวจที่ 7 ลำธารป่าชุมชนบ้านท่ามะเดื่อ

พบตัวอ่อนระยะเชอร์คารีย์ 2 ชนิด ดังนี้

##### 7.1 ตัวอ่อนระยะเชอร์คารีย์ชนิดที่ 1 TM-C1

เชอร์คารีย์ชนิดนี้มีลักษณะเหมือนกับเชอร์คารีย์ SN-C2 (รูปที่ 60), SY-C2, HD-C2, PT-C1 และ HY-C1 คือ ลำตัวรูปไข่ยาวรี บริเวณผิวลำตัวมีหนามสั้นขนาดเล็กปกคลุมรอบลำตัว และมีขนาดอยู่เป็นกลุ่ม ๆ ภายในลำตัวพบแกรนูลหมายกระจาดที่ลำตัว oral sucker มีลักษณะกล้ามเนื้อคล้มรอบ บริเวณตรงกลางเป็นช่องกลางด้านบนมี stylet ที่ปลายแยกเป็น 2 แหก ลักษณะของ oral sucker และ ventral sucker เมื่อมองด้านข้างจะเห็นเป็นรูปตัว C พบร prepharynx ยาวและมี pharynx อยู่ส่วนปลาย พบร penetration gland จำนวน 3 คู่ ลักษณะ似อยู่ด้านข้างลำตัวเหนือ ventral sucker ซึ่งอยู่กลางลำตัวมีลักษณะกล้ามเนื้อคล้ม

รอบ และนูนสูงขึ้นจากผิวด้านท้องของลำตัว บริเวณผิว ventral sucker มี spine ขนาดเล็ก ละเอี้ดอยู่รอบนอก และมี spine ยาวอยู่ขอบด้านใน excretory bladder มีผังหนาๆปิด เหลี่ยม และพบทางลักษณะสันเป็นรูปถ้วย มี adhesive organ อยู่ภายในมีปลายห่อออก 2 ทางติดกับส่วนท้ายของลำตัว การเคลื่อนที่ของเชอร์คารีย์เป็นแบบตัวหนอน เวลาพักใช้บริเวณ ทางเก้าที่พื้นที่ส่วนลำตัวขึ้นในแนวตั้ง ขนาดตัวอ่อนจะเชอร์คารีย์เป็นดังนี้ (จากค่าเฉลี่ยของ เชอร์คารีย์จำนวน 10 ตัว)

Body	71–104 (av. 83) $\mu\text{m}$	$\times$	259–345 (av. 288) $\mu\text{m}$
Oral sucker	40–49 (av. 41) $\mu\text{m}$	$\times$	37.5–47.5 (av. 44.3) $\mu\text{m}$
Ventral sucker	44–65 (av. 53) $\mu\text{m}$	$\times$	45–62.5 (av. 50.3) $\mu\text{m}$
Tail	42–56 (av. 47) $\mu\text{m}$	$\times$	39–49 (av. 42) $\mu\text{m}$
Stylet	5–6.24 (av. 5.3) $\mu\text{m}$	$\times$	13–18 (av. 15) $\mu\text{m}$

## 7.2 ตัวอ่อนจะเชอร์คารีย์ชนิดที่ 2 TM-C2

เชอร์คารีย์ชนิดนี้มีลักษณะเหมือนกับเชอร์คารีย์ SN-C1 (รูปที่ 59), PT-C3 และ HY-C3 คือ เชอร์คารีย์มีลักษณะลำตัวรูปไข่ ที่ผิวลำตัวมีหนาม (spins) 2 แบบ คือขนาดเล็ก ปลายแหลม และขนาดเล็กปลายมนป้านปักคลุมรอบลำตัว บริเวณรูปปากเปิดมีหนามเรียงเป็น แฉว 3 แฉว คือ 4-6, 12-14 และ 22-24 ภายในลำตัวพบแกรนูลสยามกระจายอยู่ทั่วลำตัว พบร่องว่าเชอร์คารีย์ชนิดนี้มีตา (eye spots) จำนวน 1 คู่ ซึ่งมี pigment หมายรูปสี่เหลี่ยม พบร่อง pharynx ลักษณะกลมขนาดเล็กอยู่ตรงกลางระหว่างตา มี penetration gland 14 ก้อน เรียงตามความยาวลำตัว 4 แฉว แฉวละ 3, 4, 4 และ 3 ก้อนตามลำดับ พบร่อง ventral sucker ลักษณะเป็นกลุ่มเซลล์เล็ก ๆ พบร่อง excretory bladder ลักษณะผังหนา รูปตัววี ขนาดใหญ่ อยู่ส่วนท้ายของลำตัว และพบว่ามีทางยาวกว่าส่วนของลำตัว ลักษณะตรงปลายทางแหลม บริเวณส่วนด้านหลังทาง lateral finfold แผ่นออกเล็กน้อย และ dorsoventral finfold อยู่บริเวณส่วนด้านหลังทาง พาดยาวตลอดทาง โดยมีลักษณะอ้อมปลายทางกลับมาด้านท้อง ของทาง พบร่องที่เปิดออกของ excretory bladder ที่ปลายทาง และมี pigment อยู่เป็นกลุ่ม ๆ ละ 3-5 เซลล์ มีการเคลื่อนที่โดยการพลิกตัวซ้าย-ขวา สร้างไปมาอย่างรวดเร็ว แล้วพุ่งตัวไปข้างหน้า ประมาณ 7 วินาที และหยุดพักประมาณ 27 วินาที เวลาลอดตัวพักอยู่กับที่ปลายทางจะ

รั้งข้างบนผิวน้ำ ขนาดตัวอ่อนระยะเชอร์คารีย์เป็นดังนี้ (จากค่าเฉลี่ยของเชอร์คารีย์จำนวน 10 ตัว)

Body	143–167 (av. 156) $\mu\text{m}$	$\times$	260–318 (av. 287) $\mu\text{m}$
Oral sucker	42–56. (av. 47) $\mu\text{m}$	$\times$	42–52 (av. 46) $\mu\text{m}$
Ventral sucker	12.5–20 (av. 19.5) $\mu\text{m}$	$\times$	12.5–25 (av. 20) $\mu\text{m}$
Excretory bladder	57.5–93.3 (av. 74.0) $\mu\text{m}$	$\times$	58.2–95 (av. 72.0) $\mu\text{m}$
Pharynx	12.5–16.5 (av. 13.0) $\mu\text{m}$	$\times$	12.5–17.5 (av. 14.3) $\mu\text{m}$
Eye spots	8.32–12.5 (av. 12.5) $\mu\text{m}$	$\times$	7.5–12.5 (av. 9.4) $\mu\text{m}$
Tail	50–56 (av. 53) $\mu\text{m}$	$\times$	368–418 (av. 393) $\mu\text{m}$

#### จุดสำรวจที่ 8 น้ำตกเกิงกระเวีย

สำรวจไม่พบการติดเชื้อปรสิตในหอยน้ำจืด *Paludomus* spp. ที่เก็บตัวอย่างจากจุดสำรวจบริเวณนี้

#### จุดสำรวจที่ 9 น้ำตกไดซ่องต่อง

สำรวจไม่พบการติดเชื้อปรสิตในหอยน้ำจืด *Paludomus* spp. ที่เก็บตัวอย่างจากจุดสำรวจบริเวณนี้

#### จุดสำรวจที่ 10 น้ำตกตะเคียนทอง

พบตัวอ่อนระยะเชอร์คารีย์ 3 ชนิด ดังนี้

##### 10.1 ตัวอ่อนระยะเชอร์คารีย์ชนิดที่ 1 TK-C1

เชอร์คารีย์ชนิดนี้มีลักษณะเหมือนกับเชอร์คารีย์ SN-C1 (รูปที่ 59), PT-C3, HY-C3 และ TM-C2 คือเชอร์คารีย์มีลักษณะลำตัวรูปไข่ ที่ผิวลำตัวมีหนาม (spins) ปกคลุมรอบลำตัว บริเวณรูปปากเปิดมีหนามเรียงเป็นแถบ ภายในลำตัวพบแกรนูลสยามกระจายอยู่ทั่วลำตัว พบว่าเชอร์คารีย์ชนิดนี้มีตา (eye spots) จำนวน 1 คู่ ซึ่งมี pigment หมายบลูปสีเหลือง พบรหิน pharynx ลักษณะกลมขนาดเล็กอยู่ตรงกลางระหว่างตัว มี penetration gland 14 ก้อน เรียงตามความยาวลำตัว 4 แถว แต่ละ 3, 4, 4 และ 3 ก้อนตามลำดับ พบรหิน ventral sucker ลักษณะเป็นกลุ่มเซลล์เล็ก ๆ พบรหิน excretory bladder ลักษณะผนังหนา รูปตัววี ขนาดใหญ่ อยู่ส่วนท้ายของลำตัว และพบว่ามีทางยาวกว่าส่วนของลำตัว ลักษณะตรงปลายทางแหลม

บริเวณส่วนต้นของหางพบ lateral finfold แผ่นออกเล็กน้อย และ dorsoventral finfold อยู่บริเวณส่วนกลางด้านหลังหาง พาดยาวตลอดหาง โดยมีลักษณะอ้อมปลายหางกลับมาด้านท้องของหาง พบท่อเปิดออกของ excretory bladder ที่ปลายหาง และมี pigment อยู่เป็นกลุ่ม ๆ ละ 3-5 เซลล์ มีการเคลื่อนที่โดยการพลิกตัวซ้าย-ขวา สลับไปมาอย่างรวดเร็ว แล้วพุ่งตัวไปข้างหน้า ประมาณ 7 วินาที และหยุดพักประมาณ 27 วินาที เวลาลอยตัวพักอยู่กับที่ปลายหางจะรีบเข้าห้องบนผิวน้ำ ขนาดตัวอ่อนระยะเชอร์คารีย์เป็นดังนี้ (จากค่าเฉลี่ยของเชอร์คารีย์จำนวน 10 ตัว)

Body	60.32-115 (av. 110) $\mu\text{m}$	$\times$	145.7-387 (av. 224) $\mu\text{m}$
Oral sucker	27-33.3 (av. 31.2) $\mu\text{m}$	$\times$	35-45 (av. 38) $\mu\text{m}$
Ventral sucker	14.5-23 (av. 20.8) $\mu\text{m}$	$\times$	14.5-23 (av. 21) $\mu\text{m}$
Excretory bladder	29-49.9 (av. 46.8) $\mu\text{m}$	$\times$	35.4-52 (av. 45.7) $\mu\text{m}$
Pharynx	8.3-10.4 (av. 9.4) $\mu\text{m}$	$\times$	8.3-10.4 (av. 9.4) $\mu\text{m}$
Eye spots	10.4-12.5 (av. 11.1) $\mu\text{m}$	$\times$	12.5-14.6 (av. 13.2) $\mu\text{m}$
Tail	20.8-22.9 (av. 21.8) $\mu\text{m}$	$\times$	353.6-416 (av. 384.8) $\mu\text{m}$

## 10.2 ตัวอ่อนระยะเชอร์คารีย์ชนิดที่ 2 TK-C2

เชอร์คารีย์ชนิดนี้มีลักษณะเหมือนกับเชอร์คารีย์ SN-C2 (รูปที่ 60), SY-C2, HD-C2, PT-C1, HY-C1 และ TM-C1 คือ ลำตัวรูปไข่ยาวรี บริเวณผิวลำตัวมีหนามสั้นขนาดเล็กปักคลุมรอบลำตัว และมีขนอยู่เป็นกลุ่มๆ ภายในลำตัวพบแกรนูลยาบกระจายทั่วลำตัว oral sucker มีลักษณะกล้ามเนื้อคล้มรอบ บริเวณตรงกลางเป็นช่องกลวงด้านบนมี stylet ที่ปลายแยกเป็น 2 แฉก ลักษณะของ oral sucker และ ventral sucker เมื่อมองด้านข้างจะเห็นเป็นรูปตัว C พบ prepharynx ยาวและมี pharynx อยู่ส่วนปลาย พบ penetration gland จำนวน 3 คู่ ลักษณะ似อยู่ด้านข้างลำตัวเหนือ ventral sucker ซึ่งอยู่กลางลำตัวมีลักษณะกล้ามเนื้อคล้มรอบ และนูนสูงขึ้นจากผิวด้านท้องของลำตัว บริเวณผิว ventral sucker มี spine ขนาดเล็กคละเคลียดอยู่รอบนอก และมี spine ยาวอยู่ขอบด้านใน excretory bladder มีผนังหนารูปสี่เหลี่ยม และพบทางลักษณะสั้นเป็นรูปถ้วย มี adhesive organ อยู่ภายใต้มีปลายท่อออก 2 ทางติดกับส่วนท้ายของลำตัว การเคลื่อนที่ของเชอร์คารีย์เป็นแบบตัวหนอน เวลาพักให้บริเวณหางเกาะที่พื้นฐานลำตัวขึ้นในแนวตั้ง ขนาดตัวอ่อนระยะเชอร์คารีย์เป็นดังนี้ (จากค่าเฉลี่ยของเชอร์คารีย์จำนวน 10 ตัว)

Body	83-118 (av. 115.0) $\mu\text{m}$ x 230-306 (av. 299.0) $\mu\text{m}$
Oral sucker	35-56 (av. 54.0) $\mu\text{m}$ x 38-60 (av. 58.0) $\mu\text{m}$
Ventral sucker	44-56 (av. 52) $\mu\text{m}$ x 42-58 (av. 55.0) $\mu\text{m}$
Excretory bladder	38-52 (av. 45.0) $\mu\text{m}$ x 50-62 (av. 52) $\mu\text{m}$
Tail	45-56 (av. 53) $\mu\text{m}$ x 56-68 (av. 60) $\mu\text{m}$
Stylet	5-6.2 (av. 5.3) $\mu\text{m}$ x 12-15 (av. 13) $\mu\text{m}$

### 10.3 ตัวอ่อนระยะเชอร์คารีเยชนิดที่ 3 TK-C3

เชอร์คารีเยชนิดนี้มีลักษณะเหมือนกับเชอร์คารีเย SY-C1 (รูปที่ 61) และ HD-C1

คือ เชอร์คารีเยมีลักษณะลำตัวรูปไข่ มีหนามอยู่รอบลำตัว พบ ventral sucker มีลักษณะกลม ผนูออกมายาวจากลำตัว มีหนามอยู่โดยรอบ อยู่ตรงกลางของลำตัว และมีขนาดใหญ่เท่ากับ oral sucker พบ excretory bladder มีขนาดเล็กกว่ามีห้องเปิดออกที่ปลายทางแยก 2 ห้อง มี pigment และแกรนูละกระจายอยู่ทั่วตัว และพบทางแยกออกเป็น 2 แฉก (ทางส้อม) ลักษณะปลายทางของรูมี cytoplasm มาก การเคลื่อนที่ของเชอร์คารีอาศัยส่วนทางสะบัดไปมาเพื่อเคลื่อนที่ไปข้างหน้าประมาณ 3-4 วินาที และหยุดพักประมาณ 10 วินาที เวลาพักตัวจะลอยตัวพักอยู่กับที่ปลายทางจะซึ้งขึ้นข้างบนผิวน้ำ ขนาดตัวอ่อนระยะเชอร์คารีเยเป็นดังนี้ (จากค่าเฉลี่ยของเชอร์คารีเยจำนวน 10 ตัว)

Body	39.5-62.4 (av. 61) $\mu\text{m}$ x 93.6-150 (av. 122) $\mu\text{m}$
Oral sucker	16.6-35.4 (av. 31) $\mu\text{m}$ x 16.6-37.4 (av. 31) $\mu\text{m}$
Ventral sucker	14.6-27 (av. 25.0) $\mu\text{m}$ x 14.6-27.5 (av. 24.5) $\mu\text{m}$
Excretory bladder	16.6-18.7 (av. 17.5) $\mu\text{m}$ x 18.7-20.8 (av. 19.2) $\mu\text{m}$
Pharynx	7.3-10.4 (av. 8.7) $\mu\text{m}$ x 7.3-11 (av. 10.4) $\mu\text{m}$
Tail stem	27-35.4 (av. 30.4) $\mu\text{m}$ x 104-145.6 (av. 117.8) $\mu\text{m}$
Tail furcal	12.5-20.8 (av. 17.1) $\mu\text{m}$ x 110-166.4 (av. 133.5) $\mu\text{m}$
Stylet	2-2.1 (av. 2.1) $\mu\text{m}$ x 4.2-6.2 (av. 4.9) $\mu\text{m}$

## บทที่ 5

### การวิเคราะห์และสรุปผล

จากการศึกษาในอดีตหอยน้ำจืดสกุล *Paludomus* spp. จัดอยู่ใน Phylum Mollusca, Class Gastropoda, Subclass Prosobranchia, Order Mesogastropoda, Family Paludomidae เปลือกมีรูปร่างยาว หรือค่อนข้างกลม โดยทั่วไปมีແບสีพาดตามยาว หรือตามแนวเวิร์ลของเปลือก โอบเพอร์คิวลัมบาง เป็นมัน และเป็นแบบคอนเซนทริกมีสไปรล นิวเคลียส ในประเทศไทย Brandt (1974) ได้จัดจำแนกหอยน้ำจืด *Paludomus* spp. ออกเป็น 2 ชนิดคือ *Paludomus petrosus* และ *Paludomus siamensis* โดยอาศัยลักษณะผิวของเปลือกหอย

ลักษณะของ *Paludomus petrosus* เปลือกหอยสูตรร่างค่อนข้างกลม ปลายยอดมักสีกรุ่น หรือมีประมาณ 2 – 3 เวิร์ล ผิวเปลือกเรียบ ยกเว้นมีเส้นตามแนวตั้งของเปลือก (growth line) ส่วนใหญ่พบร่องตามแนวซูเซอร์ 2 – 3 ร่อง ส่วนของบอดีเวิร์ลมีขนาดใหญ่ ไม่มีอัมบิลิคัส ปากเปลือกกว้าง มีແບสีสันน้ำตาลพาดตามยาวประมาณ 2 – 3 ແບ คอสูเมลลา ค่อนข้างกว้าง มีสูตรฟันเป็นแบบทินโนกลอซชา (2 : 1 : 1 : 1 : 2) พังกลางมีหยักตรงกลางใหญ่ 1 หยัก มีหยักเล็ก ๆ ด้านข้าง 5 หยัก ส่วนริมของพังกลางมีลักษณะปีกม้วงอ พันข้างมีหยัก 1 – 4 หยัก พันหยาบมีหยัก 6 – 7 หยัก และมีพันละเบียดประมาณ 21 หยัก ในหอยเหตุเมีย มีร่องนำไข่ (egg transfer groove) ส่วนหอยเหตุผู้ชายดอวยะในการผสมพันธุ์ (intromittent organ) พบระยะอยู่ตามลำหัวยับริเวณเทือกเขาในจังหวัดชุมพร รวมถึง นครศรีธรรมราช พังกลาง นอกจากรูปแบบที่ยังถูกสันนิษฐานว่าเป็นไฮสต็อกกิ้งกลางของพยาธิใบไม้ *Paragonimus westermani* ที่ก่อโรคในสัตว์ ส่วน *Paludomus siamensis* มีลักษณะต่างจากชนิดแรกคือ เปลือกรูปร่างไม่กลมเท่าชนิดแรก มีสไปรล (spire) สูง ผิวเปลือกพบเส้นในแนวราขดวนของหอย (spiral line) ขึ้นเฉพาะ ແບสีพาดตามยาวของเปลือกมีสูตรเป็นแบบ 0034 หรือ 1034 น้อยมากที่จะเป็นแบบ 0030, 0230 หรือ 0000 และส่วนริมของพังกลางที่มีลักษณะปีก จะหดสั้นคล้ายรูปสามเหลี่ยม มีแหล่งกระจายอยู่ในจังหวัด แพร่ ลำปาง พิษณุโลก เลย และกาญจนบุรี

ในการศึกษานี้ทำการศึกษาสภาพแวดล้อมของพื้นที่สำรวจ ลักษณะทางสัณฐานวิทยา ลักษณะกายวิภาค และรูปแบบทางพันธุกรรมของหอยน้ำจืด *Paludomus spp.* เพื่อตรวจสอบชนิดพันธุ์ของหอยน้ำจืด *Paludomus spp.* ในลุ่มแม่น้ำแควน้อย ซึ่งผลที่ได้สรุปได้ดังนี้

### 1. สภาพแวดล้อมของพื้นที่สำรวจ

สภาพแวดล้อมบริเวณที่เก็บตัวอย่างเป็นน้ำตก หรือลำธาร ที่มีต้นไม้ขนาดเล็ก และใหญ่ขึ้นปกคลุม เช่น ตะไคร่ เฟร์น ต้นไผ่ ต้นมะเดื่อ และต้นสัก ใต้ห้องน้ำเป็นทราย มีก้อนหินขนาดเล็ก หรือเป็นตะกอนดิน น้ำใสสะอาดและมีการไหลของน้ำตลอด กระแสน้ำไหลปานกลาง ถึงไหลแรง (ตารางที่ 1)

การศึกษาทางกายภาพ อันได้แก่ คุณสมบัติทางกายภาพของน้ำ เช่น การไหล ความชื้น อุณหภูมิและแสงแดดที่ได้รับ และคุณสมบัติทางเคมี ซึ่งได้แก่สารเคมีต่าง ๆ ในจุดสำรวจทั้ง 10 พื้นที่ไม่แตกต่างกันมากนัก สำหรับทางเคมีนั้นเนื่องจากการวิเคราะห์ได้ใช้เครื่องมือภาคสนาม ซึ่งไม่สามารถวิเคราะห์ให้ละเอียดได้ดีเท่ากับการวิเคราะห์ในห้องปฏิบัติการ ดังนั้น ข้อมูลที่สำรวจครั้งนี้จึงใช้ได้เป็นเพียงข้อมูลเบื้องต้นที่แสดงให้เห็นความแตกต่างของปริมาณสารเคมีบางชนิด เพื่อเป็นแนวทางในการศึกษาโดยละเอียดต่อไป การศึกษาทางกายภาพและทางเคมีของจุดสำรวจที่พบรอยน้ำจืด *Paludomus spp.* สรุปได้ดังนี้

1. อุณหภูมิ (temperature) อุณหภูมิของจุดสำรวจทั้ง 10 พื้นที่ ไม่แตกต่างกัน มีค่าประมาณ 25 องศาเซลเซียส เมื่อเปรียบเทียบอุณหภูมิของน้ำกับอุณหภูมิอากาศไม่มีความแตกต่างกันมากซึ่งมีผลมาจากการป่าที่มีความสมบูรณ์ดี อุณหภูมิจึงไม่ผันแปรมาก

2. กระแสน้ำ (water velocity) การศึกษาการไหลของน้ำโดยการวัดค่าการไหลด้วยเครื่องมือ Flowmeter นี้มีความคลาดเคลื่อนสูงมากเนื่องจากกระแสน้ำในแหล่งพื้นที่จะมีอัตราการไหลแตกต่างกันในแต่ละจุดของชารน้ำแม้จะเป็นเวลาเดียวกัน ดังนั้นการวัดค่ากระแสน้ำเป็นการตรวจสอบแบบคร่าว ๆ เท่านั้น อย่างไรก็ตามได้มีการศึกษาถึงกระแสน้ำที่มีอิทธิพลต่อน้อยบางชนิดและพบว่า หอย *Biomphalaria glabrata* ซึ่งเป็น寄生ตึ่งกลางของพยาธิใบไม้เลือด *Schistosoma mansoni* ในแอฟริกามิสามารถทนต่อกระแสน้ำมีความเร็วสูงกว่า 0.33 m/sec (Jobin and Ippen, 1964) สำหรับกระแสน้ำที่วัดได้จากจุดสำรวจทั้ง 10 พื้นที่มีค่า 0.5-23.36 (ตารางที่ 1) ซึ่งพบว่าหอยน้ำจืด *Paludomus spp.* ยังสามารถเจริญพันธุ์ได้โดยที่ภาวะอยู่บนหิน หรือภาวะอยู่กับด้านล่างของก้อนหินที่ฝังอยู่ในพื้นน้ำ สามารถวิเคราะห์ได้ถึงความแตกต่างของสภาพนิเวศของหอยต่างชนิดกัน รวมทั้งความต้องการปริมาณออกซิเจนที่แตกต่างกัน เมื่อจากกระแสน้ำที่ไหลแรงสามารถเพิ่มค่าออกซิเจนในน้ำได้

3. Conductivity เป็นการวัดสภาพการนำไฟฟ้า หรือค่า Total Dissolved Solid (TDS) เป็นตัวเลขที่บอกรถึงความสามารถของตัวอย่างน้ำในการนำกระแสไฟฟ้า จะมากหรือน้อยขึ้นอยู่กับความเข้มข้นทั้งหมดของสารที่มีประจุที่ละลายอยู่ในน้ำ และอุณหภูมิที่ทำการวัด (อนิดความเข้มข้น และจำนวนประจุของสาร) ซึ่งมีนักวิจัยบางคนพบว่าค่า conductivity มีอิทธิพลต่อการเจริญพันธุ์ของหอย (Jennings, 1973) และพบว่าเป็นตัวแปรในการจำกัดการกระจายของหอย *Biomphalaria pfeifferi* พาหะกิงกลางของพยาธิ Schistosome ในแอฟริกา (Appleton, 1978) จากการศึกษาในจุดสำรวจทั้ง 10 พื้นที่พบว่ามี conductivity (289-730  $\mu\text{mhos}/\text{cm}$ ) สูง ยกเว้นหัวยเหต่าคำมีค่าต่ำ ( $20 \mu\text{mhos}/\text{cm}$ ) ทำให้ไม่สามารถสรุปได้ว่าค่า conductivity มีความสำคัญอย่างไรกับหอยน้ำจืด *Paludomus spp.*

4. pH เป็นค่าที่แสดงปริมาณความเข้มข้นของอนุภาคไฮโดรเจนในน้ำ แสดงความเป็นกรดหรือด่างของน้ำ โดยปกติสิ่งมีชีวิตสามารถดำรงชีวิตอยู่ได้سبายที่ pH เหมาะสมคือ ในช่วงที่เป็นกลางประมาณ 6-9 ถ้าค่า pH สูงหรือต่ำไปจะสร้างความเครียดให้กับสิ่งมีชีวิตในน้ำได้ ในการศึกษาสิ่งมีชีวิตในน้ำพบว่าสิ่งมีชีวิตขนาดเล็กไม่สามารถขยายพันธุ์ได้ที่ pH ต่ำกว่า 6 และปลาหลายชนิดวางแผนให้น้อยลงเมื่อ pH มากกว่า 8.5 (มันสิน และคณะ, 2539) จากการศึกษาพบว่าค่า pH ของจุดสำรวจมีค่า 7.50-8.97 ซึ่งเป็นช่วง pH ที่สิ่งมีชีวิตสามารถเจริญเติบโตได้ดีในแหล่งน้ำธรรมชาติทั่วไป

5. Iron จากการวิเคราะห์พบว่าในแหล่งน้ำทั้ง 10 พื้นที่มีค่า 0.00-0.77 ซึ่งปริมาณ Iron ที่พบไม่สูงกว่า criteria ของ European Inland Fisheries Advisory Commission (1970) ที่ได้กำหนดไว้ว่าถ้าสูงกว่า  $1 \text{ mg/l}$  จะมีอันตรายต่อสัตว์น้ำทั่ว ๆ ไป เพราะอาจเกิดสารละลายที่เป็นพิษได้

6. Chromium การวิเคราะห์ปริมาณของ chromium ในน้ำของแหล่งน้ำ 10 พื้นที่พบว่ามีค่าอยู่ระหว่าง  $0.00-0.07 \text{ mg/l}$  ยกเว้นหัวยเหต่าคำมีค่าค่อนข้างสูง  $0.24 \text{ mg/l}$  และสูงกว่า criteria ที่กำหนดไว้ว่าถ้ามีค่าเกิน  $0.1 \text{ mg/l}$  และจะมีอันตรายต่อสัตว์น้ำ แต่อย่างไรก็ตาม chromium จะเกิดอันตรายต้องขึ้นอยู่กับปัจจัยอื่น ๆ ด้วย เช่น pH Hardness และ alkalinity ของน้ำด้วย

7. Phosphate ฟอสเฟตมีบทบาทสำคัญในการกำหนดความสมบูรณ์ของพืชน้ำ ซึ่งเป็นอาหารของสัตว์น้ำในแหล่งน้ำ โดยทั่วไปฟอสเฟตควรมีค่าอยู่ระหว่าง  $0.1-0.5 \text{ mg/l}$  (มันสิน และคณะ, 2539) จากการวิเคราะห์ที่พบปริมาณฟอสเฟตในหัวยเหต่าคำมีค่า  $0.10 \text{ mg/l}$  ซึ่งอยู่ในช่วงที่เหมาะสม แต่ปริมาณฟอสเฟตในแหล่งอื่นมีค่าสูง โดยเฉพาะที่ลำธารข้างบ่อ่น้ำพร้อมหิน

คาดมีค่า  $46.4 \text{ mg/l}$  (ตารางที่ 1) แสดงว่าแหล่งน้ำมีการเจริญเติบโตของวัชพืชมากและรวดเร็ว

8. ออกรชีเจนในน้ำ ค่าออกรชีเจนเป็นปัจจัยอย่างหนึ่งสำหรับสิ่งมีชีวิตในน้ำ ตัวอย่างค่าออกรชีเจนที่ละลายน้ำที่บริสุทธิ์ที่อุณหภูมิ  $20^\circ\text{C}$  ของชาเซลเรียส มีค่าการละลายที่  $8.84 \text{ mg/l}$  ใกล้เคียงกับปริมาณออกรชีเจนที่วัดได้จากจุดสำรวจ ( $7.34-8.62$ ) ซึ่งเป็นปริมาณออกรชีเจนที่เหมาะสมสำหรับการเจริญเติบโตและการขยายพันธุ์ของสิ่งมีชีวิต ยกเว้นที่ลักษณะข้างบ่อน้ำพุร้อนหินคาดมีค่า  $4.60 \text{ mg/l}$  เป็นช่วงปริมาณออกรชีเจนที่สิ่งมีชีวิตสามารถอยู่ได้ แต่ถ้าเกิดขึ้นอย่างต่อเนื่องสิ่งมีชีวิตในน้ำจะเจริญเติบโตช้าและไม่สามารถขยายพันธุ์ได้

## 2. ลักษณะทางสัณฐานวิทยาของเปลือก

จากการศึกษาลักษณะสัณฐานวิทยาของเปลือกหอยน้ำจืด *Paludomus spp.* ที่สุนเก็บตัวอย่างบริเวณลุ่มแม่น้ำแควน้อย จ. กาญจนบุรี ทั้ง 10 พื้นที่นั้น พบว่าหอยน้ำจืด *Paludomus spp.* มีขนาดเล็ก การวนของเปลือกเป็นแบบวนขวา เปลือกมีสีน้ำตาลอ่อนถึงสีน้ำตาลเข้ม และมีแบบสีพาดตามขวางของเปลือกหอย ฝาปิดปากเปลือกเป็นแบบคอนเซนทริกมีสไปรลินิวเคลียล

หอยน้ำจืดที่เก็บจากหัวยเหต่าดามีลักษณะเปลือกค่อนข้างกลม (size index 87.10) ปลายยอดตัด ผิวเปลือกไม่มี spiral line (รูปที่ 63ก) คล้ายคลึงกับ *Paludomus petrosus* หอยน้ำจืดที่เก็บจากน้ำตกผาลาด น้ำพุหัวยเหย่ง น้ำตกไดซ่องถ่อง น้ำตกเกริงกระเวีย และน้ำตกตะเคียนทอง มีลักษณะเปลือกคล้ายคลึงกับ *Paludomus siamensis* คือเปลือกกฎร่างไม่กลม มีสไปรลินิวเคลียล ผิวเปลือกมี spiral line (รูปที่ 63ข) และหอยที่เก็บจากน้ำตกไทรโยคน้อย น้ำตกไทรโยคใหญ่ ลักษณะข้างบ่อน้ำพุร้อนหินคาด และลักษณะป่าชุมชนบ้านท่ามะเดื่อ มีลักษณะเปลือกคล้ายกับหอยน้ำจืด *Paludomus spp.* ทั้ง 2 ชนิด คือผิวเปลือกเรียบไม่มี spiral line คล้ายกับ *Paludomus petrosus* แต่เปลือกมีรูร่างไม่กลม และมีสไปรลินิวเคลียลกับ *Paludomus siamensis* (รูปที่ 63ค)

รูปแบบของแบบสีพาดตามขวางของเปลือกจากจุดสำรวจ 9 พื้นที่ (ยกเว้นหัวยเหต่าดาม) ส่วนใหญ่เป็นแบบ 0034 (ตารางที่ 3) ซึ่งคล้ายกับรายงานของ Brandt (1974 : 160 - 161) ที่พบว่าแบบสีพาดตามขวางของเปลือกหอย *Paludomus siamensis* มีสูตรเป็นแบบ 0034 หรือ 1034

ดังนั้นจากผลลักษณะทางสัณฐานวิทยาของเปลือกหอยน้ำจืด *Paludomus* spp. สามารถแบ่งหอยที่เก็บตัวอย่างจาก 10 พื้นที่ออกได้เป็น 3 กลุ่มใหญ่ คือ กลุ่มแรกมีรูปปั่งคล้ายหอย *Paludomus petrosus* กลุ่มที่สองมีรูปปั่งคล้ายกับหอย *Paludomus siamensis* และกลุ่มที่มีลักษณะคล้ายคลึงกับหอยทั้งสองชนิด

### 3. ลักษณะทางสัณฐานวิทยาของฟัน

ผลการศึกษาลักษณะฟัน (แกรดูลา) ของหอยทั้ง 10 พื้นที่ พบว่ามีลักษณะฟันเป็นแบบทินโอกลอกชา (TaenioGLOSSA) มีสูตรฟัน (dentition formula) เป็น 2:1:1:1:2 คือมีฟันกลาง (central, rachidian teeth) 1 ชี ปลายฟันกลางประกอบด้วยหยัก (cusp) มากมายแต่หยักที่ใหญ่ที่สุดอยู่ตรงกลาง ฟันข้าง (lateral teeth) ด้านละ 1 ชี และฟันริม (marginal teeth) ด้านละ 2 ชี เป็นฟันหยาบ (inner marginal teeth) 1 ชี และฟันละเอียด (outer marginal teeth) 1 ชี ส่วนความกว้างของฟันและจำนวนหยักของฟันหอยทั้ง 10 พื้นที่มีความแตกต่างกัน (ตารางที่ 5 และ 6) และแม้ว่าจะเป็นฟันอันเดียวกันก็มีความแตกต่างกันเล็กน้อยด้วย

ลักษณะฟันของหอยน้ำจืดที่เก็บจากหัวยเหต่าดำเนินน้ำ ฟันกลางมีจำนวนหยักเป็น 5-1-5 ฟันข้าง 5-1-5 และมีรอยหยักตรงกลางป้านและใหญ่กว่าหยักของฟันกลางของหอยในแหล่งอื่นมาก (รูปที่ 37, 39) โดยฟันหยาบมี 7 หยัก และฟันละเอียดมีประมาณ 24 หยัก ซึ่งมีความคล้ายคลึงกับพันหอยน้ำจืด *Paludomus petrosus* ส่วนลักษณะฟันของหอยที่เก็บจากแหล่งพื้นที่อื่นมีจำนวนหยักของฟันแตกต่างกันไปและส่วนใหญ่มีจำนวนหยักฟันกลาง หยักของฟันละเอียด และความกว้างของฟันกลางน้อยกว่าหอยที่เก็บจากหัวยเหต่าดำเนินน้ำ (ตารางที่ 5, 6)

### 4. ลักษณะทางกายวิภาค

ลักษณะทางกายวิภาคของหอยน้ำจืด *Paludomus* spp. ทั้ง 10 พื้นที่ส่วนใหญ่มีระบบโครงสร้างลำตัวภายนอก และโครงสร้างลำตัวภายในเหมือนกัน อาจมีลักษณะบางอย่างแตกต่างกันบ้างในบางพื้นที่

โครงสร้างลำตัวภายนอก พบร่วมหัวอยู่บริเวณด้านหน้าของตัวหอย และยื่นออกไปเล็กน้อยทำให้เห็นเป็นลักษณะอ้วนสันเรียก សเนาท์ ด้านหลังปากพบเทนเทเดล 1 คู่ และพบตา 1 คู่บริเวณโคนเทนเทเดล ที่ส่วนหัวและเทนเทเดลพบรองควัตถุสีเขียวเหลืองกระჯัดกระจาดอย่างสม่ำเสมอและมีร่องควัตถุเมล็ดนินปกคลุมอยู่ทำให้เห็นเทนเทเดลมีลักษณะเหมือนเป็นข้อปล้อง ยก

เว่นหอยน้ำจืด *Paludomus* spp. จากหัวยเด่าดำที่ส่วนหัวและเทนเทกิลพบรควัตถุเมลานิน ปกคลุมอย่างสม่ำเสมอ จึงไม่เห็นเทนเทกิลมีลักษณะเป็นข้อปล้องและทิบบริเวณรอบตากอยพบรควัตถุสีเหลืองครีมกระจายอยู่โดยรอบต่างจากหอยที่เก็บตัวอย่างจากบริเวณอื่น (รูปที่ 43, 44)

แผ่นเท้าเป็นส่วนที่อยู่ติดส่วนหัวไปทางด้านหลัง ด้านบนของแผ่นเท้าติดกับด้านข้างของลำตัว มีแผ่นโอลิฟริกวัลเมอยู่ที่ด้านบนและท้ายของแผ่นเท้า แผ่นเท้าของหอยมีลักษณะ กว้าง และเป็นกล้ามเนื้อหนา พบรควัตถุสีเขียวเหลืองกระจายอย่างสม่ำเสมออบนแผ่นเท้า ของหอย ยกเว้นหอยจากหัวยเด่าดำพบรควัตถุสีเหลืองกระจายอย่างสม่ำเสมออบนแผ่นเท้าหอย

ส่วนแม่นเทลที่ปกคลุมส่วนหัวและคอของหอยพบรควัตถุสีเขียวกระจายอย่างสม่ำเสมออบนแม่นเทล ที่ขอบของแม่นเทลซึ่งอยู่บริเวณหน้าสุดมีลักษณะเป็นปุ่มยื่นออกมานอก (fringe of processes) (รูปที่ 41, 42n) ต่างจากจีนัส *Cleopatra* ซึ่งเป็นหอยในชั้บแฟมิลีเดียวกัน ที่ไม่พบลักษณะปุ่มยื่นออกมานอกจากขอบแม่นเทล (Brown, 1980)

โครงสร้างลำตัวภายใน ระบบทางเดินอาหารของหอยน้ำจืด *Paludomus* spp. เริ่มจากส่วนปากที่อยู่หน้าสุดบริเวณปลาย สเนาท์ รอบ ๆ ปากจะหนาเรียกวิมฝีปาก ซองปากไปเบิด ภายในมีขากรรไกรและแครดูลา ส่วนที่แครดูลาบรูอยู่เรียกวักคัลสแมต บักคัลสแมตต่อ กับหลอดอาหารซึ่งมีลักษณะเป็นท่อยาว ด้านข้างของหลอดอาหารมีต่อ้มน้ำลาย 1 คู่ ส่วนท้ายของหลอดอาหารต่อ กับกระเพาะอาหาร กระเพาะอาหารของหอยน้ำจืด *Paludomus* spp. ทั้ง 10 พื้นที่แบ่งออกเป็น 2 ส่วนขั้ดเจน (กระเพาะอาหารส่วนหน้า และกระเพาะอาหารส่วนท้าย) และมีถุงสตีลส์ยื่นออกมานอกจากกระเพาะอาหารส่วนท้ายภายในบรูคริสทัลลีนส์ตีล์ลักษณะเป็นแท่งใสมีเอนไซม์ช่วยย่อยอาหาร (รูปที่ 50)

หอยน้ำจืด *Paludomus* spp. เป็นหอยที่กินพืชขนาดเล็กเป็นอาหาร กินอาหารตามชา กไปไม้ ตามก้อนหิน กินสาหร่าย และได้อะตอนขนาดเล็กเป็นอาหาร อาหารจะผ่านทางลำไส้ไปยังกระเพาะอาหาร Malek และ Cheng (1974) รายงานว่าหอยในชั้บคลาสโพธิไซเบรนเดีย ที่กินพืชขนาดเล็กเป็นอาหารจะมีแท่งคริสทัลลีนส์ตีล์หลังเอนไซม์ amylolytic ช่วยย่อยอาหาร Dazo (1965) รายงานว่าหลอดอาหาร และกระเพาะอาหารของหอยชูปเปอร์แฟมิลีเชอริทิอาเซีย (Cerithiacea) จะได้รับเอนไซม์ cellulase จากต่ออมน้ำลาย และตับมาช่วยย่อยอาหาร อาหารที่ยังย่อยไม่หมดจะถูกย่อยอย่างสมบูรณ์ด้วยโพโรโลสตีล์ บริเวณที่ต่อจากกระเพาะอาหารคือลำไส้ซึ่งอยู่ที่ด้านหน้ากระเพาะอาหาร ส่วนท้ายของลำไส้จะขยายขนาดขึ้นกล้ายเป็นเรกตัมและไปสิ้นสุดที่ขอบของแม่นเทลที่บริเวณเอนส์ซึ่งเปิดออกสู่ภายนอก

เมื่อเปรียบเทียบระบบทางเดินอาหารของหอยน้ำจืด *Paludomus spp.* กับหอยที่อยู่ในแฟมิลีไกล์เคียงกัน เช่น หอย *Lepyrum showalteri* แฟมิลีไฮdroบีดี (Hydrobiidae) แฟมิลีโมดูริดี (Thompson, 1984), หอยในแฟมิลีไทอาริดี (Thiaridae) (Klinhom, 1989) และหอย *Modulus modulus* (Houbrick, 1981) พบร่วมกับอาหารคล้ายกัน ยกเว้นส่วนถุงสตีล์ที่ส่วนถุงสตีล์ของหอย *Paludomus spp.* จะยื่นออกมาจากกระเพาะไม่เหมือนหอยในแฟมิลีอื่น ความยาวของหลอดอาหารกับลำไส้ในหอย *Paludomus spp.* ไม่แตกต่างกันมากคล้ายกับหอยไทอาริดี แต่ในหอย *Pila sp.* (Keawjam, 1986) พบร่วมกับลำไส้ยาวกว่าหลอดอาหารมาก

ระบบลำเลียงของหอยน้ำจืด *Paludomus spp.* มีหัวใจบรรจุอยู่ในช่องรอบหัวใจไกล์กับเหงือก และอยู่ระหว่างไตกับตับ หัวใจประกอบด้วยเรนทริเดลหนึ่งอันและออริเดลหนึ่งอัน อวัยวะที่ใช้ในการแลกเปลี่ยนก๊าซคือเหงือก เหงือกบรรจุอยู่ในช่องแม่นเทลประกอบด้วยเซลล์รูปสามเหลี่ยมเรียงต่อ กัน บริเวณไกล์ ๆ กับเหงือกจะมีอสเพรเดียมที่มีลักษณะเป็นต่อมสำหรับทดสอบสารเคมีในน้ำก่อนผ่านเข้าสู่เหงือก นอกจากนี้ยังพบต่อมไฮโพแบรังเคียลซึ่งเป็นต่อมสร้างเมือกอยู่ทางด้านขวาของเหงือก (อยู่ระหว่างเหงือกและรากตัว)

ระบบขับถ่าย อวัยวะที่ใช้ในการกำจัดของเสียคือไต มีลักษณะคล้ายถุง ผนังมีลักษณะเป็นคลื่นซึ่งมีอยู่หนึ่งอันทางด้านหน้าของอวัยวะภายใน โดยอยู่ติดกับตับและช่องรอบหัวใจ

ระบบสืบพันธุ์ ในหอยทั้งเพศผู้ และเพศเมียของหอยน้ำจืด *Paludomus spp.* มีระบบสืบพันธุ์ทั้งระบบปิด และระบบเปิด คือท่อน้ำสเปร์มจากเทสทิล หรือท่อน้ำไข่จากรังไข่เข้ามาในบริเวณแม่นเทลจะเป็นระบบปิด ส่วนท่อสืบพันธุ์แพลเลียล (pallial gonoducts) เป็นแบบเปิด (ท่อแพลเลียลมีรอยแยกเป็นช่องตามความยาวของแม่นเทล) ท่อสืบพันธุ์แพลเลียลประกอบด้วยเนื้อเยื่ออัมโนนок (outer lamina) และอัมโนนใน (inner lamina) ในหอยเพศเมียท่อสืบพันธุ์แพลเลียล (pallial oviduct) มีขนาดใหญ่กว่าหอยเพศผู้ เช่นเดียวกับหอย *Modulus modulus* (Houbrick, 1980) และหอย *Melanoides tuberculata* (Klinhom, 1989)

ระบบสืบพันธุ์ของหอยเพศผู้ ลักษณะท่อสืบพันธุ์แพลเลียล (pallial gonoduct) มีสีขาว ผนังบาง พบรอยแยกตามความยาวของแม่นเทล ทำให้ท่อแพลเลียลประกอบด้วยเนื้อเยื่อ 2 ด้าน คือเนื้อเยื่อด้านข้าง (medial lamina) เป็นแผ่นบางสีขาว ที่ผิวด้านล่างพับเนื้อเยื่อเรียงตัวกันเป็นแนว (gonoduct groove) ส่วนเนื้อเยื่อด้านขวา (lateral lamina) จะหนากว่าทางด้านข้าง ที่ผิวด้านในมีลักษณะเป็นร่อง (ท่อพับไปมา) ผนังด้านขวา กับทางด้านข้างเชื่อมต่อกันที่บริเวณไกล์กับท่อสเปร์ม ในหอยเพศผู้ไม่พบเพนิสเช่นเดียวกับหอยแฟมิลีไทอาริดี (Klinhom,

1989) และหอยแฟมิลีโมดูริดี (Houbrick, 1980) แต่จะพบว่ามีท่อนำสเปร์ม (pallial tentacle) ยื่นออกมาทางด้านข้างของท่อสืบพันธุ์แพลเลียลแทน (รูปที่ 48) สเปร์มของหอยที่พับมีขนาดเล็ก แบ่งเป็น 2 ชนิดคือ สเปร์มหัวสั้นมีหางยาว 1 หาง และ สเปร์มที่หัวเป็นแบบกระสวยมีหางยาว 6 หาง ขนาดใหญ่กว่า สเปร์มที่มี 1 หาง (รูปที่ 47) สอดคล้องกับการศึกษาของ Houbrick (1980) และ Klinhom (1989) Houbrick รายงานว่าพบ สเปร์มในหอย *Modulus modulus* 2 ชนิดคือ eupyrene spermatozoa รูปทรงกระบอก ตัวนคือคอดเล็กลงมีหางยาว 1 - 5 หางและ apyrene spermatozoa ขนาดใหญ่กว่า มีหางยาว 6 หาง Klinhom รายงานว่าพบสเปร์ม 2 ชนิดเด่นเดียวกัน สเปร์มขนาดใหญ่มี 6 หาง และสเปร์มขนาดเล็กมี 1 หาง หัวของสเปร์มมีรูปร่างเป็นแบบกระสวย

ระบบสืบพันธุ์ของหอยเพศเมีย ลักษณะท่อนำไข่แพลเลียล (pallial oviduct) ท่อนำไข่แพลเลียลมีสีขาวซุนถึงสีส้มอ่อน พบรอยแยกตามความยาวของเมนเทลและ ประกอบด้วยเนื้อเยื่อ 2 ด้านเช่นเดียวกับในหอยเพศผู้แต่มีขนาดใหญ่และยาวกว่า ที่ผิวนี้อีกด้านในของผนังทั้ง 2 ด้านมีลักษณะของท่อพับไปตามความยาวของเมนเทล ท่อนำไข่แพลเลียลประกอบด้วยต่อมแอลบิวมิน (albumen gland = posterior pallial oviduct) และ ต่อมแคปซูล (capsule gland = anterior pallial oviduct) นอกจากนี้ยังมีอวัยวะรับสเปร์ม (copulatory bursa) ด้วย ต่อมแอลบิวมินอยู่ที่บริเวณส่วนปลายใกล้กับท่อนำไข่ มีผนังเนื้อเยื่อบาง ขยายใหญ่ เห็นเป็นร่องลักษณะคล้ายแผ่นเหล็กเรียงชั้อนกัน มีสีส้มอ่อน ส่วนต่อมแคปซูลอยู่ส่วนปลายทางด้านขอบเมนเทล มีสีขาว ผนังด้านนอกไม่เรียบเห็นเป็นรอยย่น ที่ผิวด้านในหนาเป็นท่อพับไปมา (รูปที่ 49)

Brandt (1974) รายงานว่าพบ egg transfer groove และ pit ในหอย *Paludomus* spp. เพศเมีย และไม่พบอวัยวะที่ใช้ในการผสมพันธุ์ (intromittant organ) ในหอยเพศผู้ คล้ายกับหอย *Modulus modulus* (Houbrick 1980) ที่อยู่ในแฟมิลีไกล์เดียกัน ดังนั้นจึงเป็นไปได้ว่าการผสมพันธุ์ในหอย *Paludomus* spp. น่าจะเป็นเหมือนหอย *Modulus Modulus* คือหอยเพศผู้ใช้แผ่นเหล็กเรียงกับเปลือกหอยเพศเมียเพื่อให้ช่องว่างเมนเทลอยู่ใกล้กันแล้วปล่อย สเปอร์มมาให้ฟอร์ (spermatophore) ออกรมาเข้าสู่ช่องว่างเมนเทลของหอยเพศเมียไปยังอวัยวะรับสเปอร์มมาให้ฟอร์ (spermatophore receptor) ที่เนื้อเยื่อด้านข้าง (mediant lamina) ของท่อนำไข่แพลเลียลต่อไป เนื่องจากหอยเพศผู้ไม่มีpenis หรืออวัยวะอื่นที่ใช้ในการผสมพันธุ์

จากลักษณะทางกายวิภาคของหอยน้ำจืด *Paludomus* spp. สามารถแยกหอยน้ำจืด *Paludomus* spp. ออกได้เป็น 2 กลุ่มใหญ่ ๆ โดยอาศัยความแตกต่างของลักษณะเหง雷 เคิล และรังควัตถุบริเวณส่วนหัวของหอย พบว่าหอยน้ำจืด *Paludomus* spp. ที่เก็บตัวอย่างจากหัวย์เต่าดำแตกต่างจากหอยจากแหล่งพื้นที่อื่น

## 5. รูปแบบทางพันธุกรรม

เนื่องจากลักษณะทางสัณฐานวิทยาและลักษณะทางกายวิภาคของหอยอาจมีปัจจัยเกี่ยวกับสภาพแวดล้อมและอายุของหอยมาเกี่ยวข้อง ซึ่งอาจมีผลต่อลักษณะขนาด และรูปร่าง อวัยวะต่าง ๆ ของหอย การศึกษาครั้งนี้จึงได้ทำการศึกษาเกี่ยวกับรูปแบบทางพันธุกรรมของหอย ร่วมด้วย โดยใช้วิธีแยกโมเลกุลของโปรตีนด้วยเทคนิคโอลิ哥เล็กโพรไฟเรซิส ซึ่งเป็นการศึกษาทางโมเลกุล (molecular marker) อย่างหนึ่งเพื่อปั่นชีความแตกต่างหลักหลายทางพันธุกรรม (genetic diversity) ของสิ่งมีชีวิตทั้งทางปริมาณและคุณภาพอาจเป็นการจำแนกความแตกต่าง ในระหว่างและภายในสปีชีส์ (between and within species) ระหว่างและภายในประชากร (between and within populations) หรือระหว่างแต่ละตัว (between individuals) ได้ (สุรินทร์, 2545)

ในปี 1949 เริ่มมีการใช้เทคนิคโอลิโกเล็กโพรไฟเรซิสศึกษาในหอยเป็นครั้งแรกโดย Deutsch และ McShan ทำการศึกษาจากเลือดของหอยทากบก (Chung, 1984) ตั้งแต่นั้น เป็นต้นมา ก็เริ่มมีการใช้เทคนิคโอลิโกเล็กโพรไฟเรซิสตรวจสอบรูปแบบของเอนไซม์ในหอยกันอย่างแพร่หลาย (Kitikoon, 1981; Chung, 1984; Kewjam, 1990; Klinhom, 1989; Monzon, 1994)

การศึกษาครั้งนี้ใช้เทคนิคโอลิโกเล็กโพรไฟเรซิสตรวจสอบรูปแบบเอนไซม์จากแผ่นแท่นหอยน้ำจืด *Paludomus* spp. ที่เก็บตัวอย่างจากจุดสำรวจ 10 พื้นที่ ผลการศึกษาด้วยเอนไซม์ 6 ชนิด พบว่าเอนไซม์ EST, LAP, LDH และ MDH แสดงให้เห็นความแตกต่างของແตอบเอนไซม์ จากตัวอย่างหอย 10 พื้นที่ (ตารางที่ 18) โดยยืนที่แสดงความแตกต่างมี 6 ตำแหน่ง คือ *Lap-2*, *Ldh-1* และ *Mdh* ปรากฏที่อัลลิลต่างกัน ยืน *Est-3*, *Est-4* และ *Est-5* มียืนอยู่ในสภาพหลักรูปแบบ

ผลของเอนไซม์ LAP, LDH และ MDH พบว่าอัลลิล *Lap-2*<sup>43</sup> และ *Ldh-1*<sup>85</sup> เป็น อัลลิลที่แสดงลักษณะเฉพาะในหอยที่เก็บตัวอย่างจากหัวย์เต่าดำ ส่วนในยืน *Mdh* พบว่า อัลลิล *Mdh*<sup>90</sup> เป็นอัลลิลที่พบในหอยที่เก็บตัวอย่างจากหัวย์เต่าดำ สำหรับชุมชนบ้านท่ามะเดื่อ น้ำ

ตอกเกิงกระเวีย น้ำตกไดซ่องต่อง และน้ำตกตะเคียนทอง  $Math^{82}$  น้ำตกไทรโยคน้อย น้ำตกไทรโยคใหญ่ และน้ำพุหัวยาย弄 และ  $Math^{77}$  ลำธารข้างบ่อน้ำพร้อมหินดัด และ น้ำตกผาตาด

ผลของเอนไซม์ EST พบร่วมหอยจากหัวยเต่าดำ น้ำตกผาตาด และน้ำตกเกิงกระเวีย พบແດບเอนไซม์  $Est-3$  เป็นແບບເختເທໂຣໄໃໂກຕ (3 ແແບ) ສ່ວນອຶກ 7 ພື້ນທີ່ພບແດບ ເຄນໄໝມເປັນແບບໂໂສມໄໃໂກຕ (1 ແແບ) ມອຍຈາກຫ້ວຍເຕົາດຳພັບແດບເຄນໄໝມ  $Est-4$  ເປັນແບບໂໂສມໄໃໂກຕ (1 ແແບ) ແລະ ມອຍຈາກລຳຮາງຂ້າງບ່ອນໜ້າພຽວອິນດາດໄມ່ພບແດບເຄນໄໝມທີ່ບົວເວລັນນີ້ (ນັດອັລລືລື) ນ້ຳຕົກຫິນດາດ ນ້ຳຕົກຜາຕາດ ແລະ ນ້ຳຕົກເກີງກະເວີຍ ພບແດບເຄນໄໝມ  $Est-5$  ເປັນແບບເຂົດເທໂຣໄໃໂກຕ (3 ແແບ) ສ່ວນຫອຍອຶກ 7 ພື້ນທີ່ພບແດບເຄນໄໝມເປັນແບບໂໂສມໄໃໂກຕ (1 ແແບ) ເມື່ອພິຈາລະນາຈາກຄ່າຄວາມດີຢືນພບວ່າຍືນ  $Est-3$  ໃນຫອຍທີ່ເກີບຕ້ວອຍຢ່າງຈາກລຳຮາງຂ້າງບ່ອນໜ້າພຽວອິນດາດ ນ້ຳພຸ້ຫ້ວຍເຂົຍ ແລະ ລຳຮາວປໍາຊຸມໜັນທ່າມະເດືອ ປຣາກງູແບບເຄນໄໝມທີ່ອັລລືລື  $Est-3$ <sup>63</sup> ແລະ ຍືນ  $Est-5$  ໃນຫອຍທີ່ເກີບຕ້ວອຍຢ່າງຈາກນ້ຳພຸ້ຫ້ວຍເຂົຍ ແລະ ລຳຮາວປໍາຊຸມໜັນທ່າມະເດືອ ປຣາກງູແບບເຄນໄໝມທີ່ອັລລືລື  $Est-5$ <sup>42</sup>

ຄວາມໜາກໜາຍທາງພັນຖຸກຽມຂອງຫອຍນ້ຳຈີດ *Paludomus* spp. ທີ່ເກີບຕ້ວອຍຢ່າງຈາກຈຸດສໍາຮັງທັ້ງ 10 ພື້ນທີ່ ພບວ່າຄ່າເຂົດເທໂຣໄໃໂກຕີ່ມີຄ່າຄ່ອນຂ້າງສູງ ແສດງໃຫ້ເຫັນວ່າປະກາງຫອຍນ້ຳຈີດ *Paludomus* spp. ໃນທັ້ງ 10 ພື້ນທີ່ ຍັງມີຄວາມໜາກໜາຍທາງພັນຖຸກຽມສູງ ເມື່ອ ພິຈາລະນາຄ່າຮະຍະໜ່າງທາງພັນຖຸກຽມ (D) ແລະ ຄ່າຄວາມເໝືອນທາງພັນຖຸກຽມ (I) ຈາກການສຶກໜາ ຄວັງນີ້ພົບວ່າສາມາດແປ່ງຫອຍນ້ຳຈີດ *Paludomus* spp. ອອກເປັນ 2 ກລຸ່ມໃໝ່ທີ່ມີຄວາມແຕກຕ່າງທາງພັນຖຸກຽມໃນຮະດັບໜີນີດຍ່ອຍ (ມີຄ່າ  $D \geq 0.1$ ) ໂດຍຫອຍທີ່ເກີບຕ້ວອຍຢ່າງຈາກຫ້ວຍເຕົາດຳແຍກຈາກພື້ນທີ່ອື່ນຍ່າງຫັດເຈັນ (ອຸທີຍົກຕົນ, 2544 ແລະ Chung, 1984) ຫອຍທີ່ເກີບຕ້ວອຍຢ່າງຈາກອຶກ 9 ພື້ນທີ່ ຄ່າຮະຍະໜ່າງທາງພັນຖຸກຽມຮະວ່າງປະກາກກລຸ່ມນີ້ມີຄ່າສູງ ສິ່ງສາມາດແປ່ງເປັນ 3 ກລຸ່ມປະກາງຮ່ອຍໃນຮະດັບກີບເປັນໜີນີດຍ່ອຍ (ມີຄ່າ  $D$  ໄກລືດີ່ຍ 0.1) ກລຸ່ມທີ່ໜຶ່ງຫອຍຈາກລຳຮາງຂ້າງບ່ອນໜ້າພຽວອິນດາດ ແລະ ນ້ຳຕົກຜາຕາດ ກລຸ່ມທີ່ສອງຫອຍຈາກລຳຮາວປໍາຊຸມໜັນທ່າມະເດືອ ນ້ຳຕົກເກີງກະເວີຍ ນ້ຳຕົກໄດ້ສອງຕ່ອງ ແລະ ນ້ຳຕົກຕະເຄີນທອງ ກລຸ່ມສຸດທ້າຍໄດ້ແກ່ ຫອຍຈາກນ້ຳຕົກໄທຣົຍຄນ້ອຍ ນ້ຳຕົກໄທຣົຍໃໝ່ ແລະ ນ້ຳພຸ້ຫ້ວຍເຂົຍ ໂດຍທີ່ຫອຍຈາກນ້ຳຕົກໄທຣົຍຄນ້ອຍກັບນ້ຳຕົກໄທຣົຍໃໝ່ມີຄວາມສົມພັນຮັກທາງພັນຖຸກຽມໄກລ໌ຊີດກັນນາກທີ່ສຸດ (ຮູບທີ່ 57)

ผลການສຶກໜາປີປະຕິບັດຈາກກາງຍ້ອມແຜ່ນເຈລດ້ວຍ coomassie blue ພບວ່າແດບປີປະຕິບັດທັ້ງ 10 ພື້ນທີ່ປຣາກງູແບບເໝືອນກັນ ຜົດທີ່ໄດ້ສອດຄລ້ອງກັບການສຶກໜາຂອງ Chung (1984) ທີ່ກຳກັນກັນຫອຍໃນກລຸ່ມ *Bithyniidae* 3 ຊັນດີ (*Parafossarulus manchouricus*, *Gabbia*

*misella* และ *Bithynia teneacalata*) และไม่พบความแตกต่างของแแกบโปรตีนที่ปราศจากเช่นเดียวกัน แสดงว่าการศึกษาระดับโปรตีนด้วย coomassie blue ไม่สามารถแยกความแตกต่างระหว่างประชากรสิ่งมีชีวิตที่มีความแตกต่างระดับชนิดย่อยได้

## 6. การติดเชื้อปรสิตในหอยน้ำจืด *Paludomus spp.*

การตรวจสอบการติดเชื้อปรสิตหอยน้ำจืดนั้นจะเป็นประโยชน์ในการเป็นข้อมูลต้านงานสาธารณสุข และงานปรสิตวิทยา โดยที่หอยน้ำจืดเป็น寄生虫ที่สำคัญของพยาธิใบไม้

การศึกษาการติดเชื้อปรสิตในหอยน้ำจืด *Paludomus spp.* จะช่วยให้ทราบถึงกลุ่มของเชื้อปรสิตที่สามารถอาศัยอยู่ในหอยน้ำจืด *Paludomus spp.* เป็น寄生虫 และช่วยให้ทราบถึงกลุ่มของสัตว์ที่ติดโรคพยาธิในบริเวณจุดสำรวจได้ จากจุดสำรวจทั้ง 10 พื้นที่ ยกเว้นน้ำตกเกิ่งกระดีย และน้ำตกไดซ่องต่องที่ไม่พบการติดเชื้อปรสิต พบรูปสิ่ง 4 กลุ่มคือ

### 1. Parapleurolophocercous cercaria

ตัวอ่อนระยะเชื้อร์คารีย์มีลักษณะลำตัวกลมรี ภายในลำตัวพบ penetration gland มี ventral sucker เป็นกลุ่มเซลล์เล็กๆ พบร eye spots จำนวน 1 คู่ ที่มี pigment อยู่ภายใน และพบ excretory bladder ลักษณะผนังหนา อยู่ส่วนท้ายของลำตัว บริเวณส่วนหนาที่ติดกับลำตัวพบ finfold แผ่นออกทางด้านข้างเล็กน้อย (lateral finfold) และพบ finfold บริเวณส่วนกลางด้านหลังทาง พาดยาวตลอดทางโดยมีลักษณะอ้อมปลายทางกลับมาทางด้านห้องของทาง (dorsoventral finfold) (รูปที่ 59) ตัวอ่อนระยะเชื้อร์คารีย์ที่พบว่ามีรูปร่างแบบนี้ได้แก่ SN-C1, PT-C3, HY-C3, TM-C2 และ TK-C1 รูปร่างลักษณะตัวอ่อนระยะเชื้อร์คารีย์ที่พบจัดอยู่ในกลุ่ม *Pleurolophocercous cercariae* บริเวณด้านหนามี lateral finfold จึงจัดแยกเป็นกลุ่มย่อย *Parapleurolophocercous cercaria* (Schell, 1970) ซึ่งส่วนใหญ่เป็นตัวอ่อนพยาธิใบไม้ใน Family Heterophidae ที่ก่อโรคในสัตว์มีกระดูกสันหลังและพบว่าเชื้อร์คารีย์ชนิดนี้มีลักษณะคล้ายกับเชื้อร์คารีย์ *Stictodora tridactyla* Martin et Kuntz, 1955 (Yamaguti, 1975) ที่เป็นตัวอ่อนของพยาธิใบไม้ในนก

### 2. Cotylomicrocercous cercaria

ตัวอ่อนระยะเชื้อร์คารีย์มีลักษณะลำตัวยาว ที่บริเวณผิวลำตัวมีหนามสั้นขนาดเล็กปักคุณรอบลำตัว และมีขนอยู่เป็นกลุ่มๆ ภายในลำตัวพบเกราะนูดหมายบายกระจายทั่วลำตัว มี oral sucker ด้านบนมี stylet ที่ปลายแยกเป็น 2 แรก พบร prepharynx ยาวและมี pharynx อยู่ส่วนปลาย พบร penetration gland จำนวน 3 คู่ มี excretory bladder มีผนังหนารูปสี่

เหลี่ยม พับ flame cell ภายในลำตัวเป็น 2 [(2+2)+(2+2)] = 16 ส่วนหางสันเป็นรูปถ้วย มี adhesive organ อยู่ภายนอก (รูปที่ 60) ตัวอ่อนจะระยะเซอร์คารีที่พบว่ามีรูปร่างแบบนี้ได้แก่ SN-C2, SY-C2, HD-C2, PT-C1, HY-C1, TM-C1 และ TK-C2 จากรูปร่างลักษณะตัวอ่อนระยะเซอร์คารีมีส่วนหางสันเป็นรูปถ้วย จุดอยู่ในกลุ่ม *Microcercous cercariae* ภายในหางมี adhesive organ อยู่ภายนอก จึงจัดแยกเป็นเซอร์คารีชนิด *Cotylomicrocercous cercaria* (Schell, 1970) พับว่าเซอร์คารีชนิดนี้มีลักษณะคล้ายกับเซอร์คารี *Coitocaeum anaspidis* ที่พบในหอย *Potamopyrgus antipodum* ซึ่งเป็นเซอร์คารีที่จะพบตัวอ่อนระยะเมตาเซอร์คารีในสัตว์พวง crustacean เช่น พากกุ้ง, ปู และพบตัวเต็มวัยใน平原สำโคดเล็ก (Yamaguti, 1975)

### 3. Strigea cercaria

ตัวอ่อนระยะเซอร์คารีมีลักษณะลำตัวรูปร่างทรงกระบอก พับหนามอยู่รอบลำตัว มี pharynx พับ ventral sucker มีขนาดใหญ่เท่ากับ oral sucker มี excretory bladder ขนาดเล็ก ส่วนหางเป็นหางแข็ง หรือหางส้อม ความยาวหางแข็งใกล้เคียงกับความยาวส่วนต้นหาง ตัวอ่อนระยะเซอร์คารีที่พบว่ามีลักษณะแบบนี้ได้แก่ SY-C1, HD-C1, PT-C4 และ TK-C3 (รูปที่ 61) จากลักษณะความยาวหางแข็งใกล้เคียงกับความยาวส่วนต้นหางและ excretory มีขนาดเล็กจึงจัดอยู่ในกลุ่ม Longifurcate-pharyngeate cercariae (Schell, 1962) เซอร์คารีชนิดนี้พบ ventral sucker ขัดเจน จึงจัดแยกเป็นเซอร์คารีชนิด *Strigea cercaria* ซึ่งเป็นเซอร์คารีของพยาธิใบไม้ในแฝมิลี *Diplostomatidae* และ *Strigeidae* (Yamaguti, 1975) ที่ก่อโรคพยาธิใบไม้ในนก

### 4. Virgulate cercaria

ตัวอ่อนระยะเซอร์คารีมีลักษณะลำตัวรูปไข่ ภายในลำตัวพับแกรนูลหมายบกระจายอยู่ทั่วลำตัว oral sucker มี virgulate gland 2 ก้อนและเห็น stylet ขัดเจน ภายในลำตัวมี penetration gland มี pharynx ลักษณะกลมขนาดเล็กติดอยู่กับ oral sucker พับ excretory bladder ขนาดเล็กรูปถ้วยอยู่ด้านท้ายของลำตัว ส่วนหางติดต่อกับด้านท้องส่วนท้ายลำตัว ลักษณะหางตรงปลายแหลม บริเวณผิวของหางพับหนามแหลมยาวไปคลุมรอบหาง ตัวอ่อนระยะเซอร์คารีที่พบว่ามีรูปร่างแบบนี้ได้แก่ SY-C3, TD-C1, PT-C2 และ HY-C2 (รูปที่ 62) จากลักษณะเซอร์คารีที่พบ stylet จึงจัดอยู่ในกลุ่ม *Xiphidiocercariae* และที่ oral sucker มี virgulate gland จึงแยกเป็นเซอร์คารีชนิด *Virgulate cercaria* (Schell, 1970) ซึ่งเป็นเซอร์คารีของพยาธิในแฝมิลี *Lecithodendriidae* และพบว่ามีลักษณะคล้ายกับเซอร์คารีที่

*Loxogenoides bicolor* Kaw, 1945 (Yamaguti, 1975) ที่พบริเวณหอย *Goniobasis depygis* ซึ่งเป็นเชื้อโรคเรียของพยาธิใบไม้ที่ก่อโรคในสัตว์มีกระดูกสันหลังพากสัตว์สะเทินน้ำสะเทินบก (Schell, 1970)

## 7. สรุปผลการศึกษา

การศึกษาหอยน้ำจืด *Paludomus* spp. บริเวณลุ่มแม่น้ำแควน้อย มีวัตถุประสงค์เพื่อจะทราบความหลากหลายชนิดพันธุ์และการกระจายพันธุ์ รวมทั้งความสามารถในการติดเชื้อปรสิตของหอยน้ำจืด *Paludomus* spp. เพื่อกำหนดรักษาระบบน้ำตามความหลากหลายชนิดพันธุ์ของสิ่งมีชีวิต โดยสำรวจในจุดสำรวจบริเวณลุ่มแม่น้ำแควน้อย 10 พื้นที่ ผลการศึกษาทางด้านสภาพแวดล้อมพบว่าคุณสมบัติทางกายภาพของน้ำ เช่น การไฟล, อุณหภูมิและแสงแดดที่ได้รับ และคุณสมบัติทางเคมี ซึ่งได้แก่สารเคมีต่าง ๆ ที่คาดว่าจะมีผลอิทธิพลต่อการเจริญพันธุ์ของหอยในแหล่งสำรวจทั้ง 10 พื้นที่ไม่มีความแตกต่างกัน ยกเว้นหัวยเหต่าดำเนินค่า conductivity ต่ำกว่าแหล่งสำรวจอื่น จึงไม่สามารถสรุปได้ว่าค่า conductivity มีความสำคัญต่อการเจริญของหอย *Paludomus* spp. อย่างไร

ผลการศึกษาลักษณะทางสัณฐานวิทยา ลักษณะทางกายวิภาค และรูปแบบทางพันธุกรรมของหอยน้ำจืด *Paludomus* spp. จากแหล่งสำรวจทั้ง 10 พื้นที่พบว่ามีลักษณะบางอย่างแตกต่างกัน เมื่อทำการเปรียบเทียบความสัมพันธ์ของหอยน้ำจืด *Paludomus* spp. จากลักษณะทางสัณฐานวิทยา ลักษณะทางกายวิภาค และรูปแบบโอนไซม์ของหอยทั้ง 10 พื้นที่ ที่แตกต่างกัน 20 ลักษณะ (ตารางที่ 22) (Davis, 1985 และ Davis, 1990) โดยใช้โปรแกรม Phylogenetic Analysis Using Parsimony (PAUP) จัดกลุ่มความสัมพันธ์ทางวิถีวนนาการ (phylogenetic relationship) ด้วยวิธี Unweighted Pair Group Method with Arithmetic Average (UPGMA) พบว่าหอยน้ำจืด *Paludomus* spp. จากจุดสำรวจทั้ง 10 พื้นที่มีจำนวนลักษณะที่แตกต่างกันตั้งแต่ 0 – 17 ลักษณะ (ตารางที่ 23) โดยหอยที่เก็บตัวอย่างจากน้ำตกเกริงกระเบียง น้ำตกได้ซองถ่อง และน้ำตกตะเคียนทอง มีวิถีวนนาการใกล้เคียงกันมากที่สุด อาจจัดเป็นชนิดย่อยเดียวกัน และหอยที่เก็บตัวอย่างจากหัวยเหต่าดำเนินค่าความแตกต่างจากแหล่งน้ำทั้ง 10 พื้นที่ออกเป็น 8 กลุ่ม มีความสัมพันธ์ทางพันธุกรรมตามลำดับ (รูปที่ 64) คือ

1. น้ำตกไทรโยคน้อย
2. น้ำตกไทรโยคใหญ่

3. น้ำตอกเกวิงกระเดีย น้ำตอกไดซ์องถ่อง และน้ำตอกตะเคียนทอง
4. น้ำตอกผาตาด
5. ล้ำชาเรข้างบ่อน้ำพุร้อนหินดาด
6. น้ำพุหัวยเขย่ง
7. ล้ำชาเรป่าชุมชนบ้านท่ามะเดื่อ
8. หัวยเต่าดำ

ผลการศึกษาความสามารถในการติดเชื้อปรสิต พบร่วมอยู่น้ำจืด *Paludomus* spp.

สามารถเป็น寄生ตัวอ่อนระยะเซอร์คาราเรีย 4 ชนิดคือ *Parapleurolophocercous cercaria* และ *Strigea cercaria* เป็นตัวอ่อนพยาธิใบไม้ที่ก่อโรคในนก *Cotylomicrocercus cercaria* เป็นตัวอ่อนพยาธิใบไม้ที่ก่อโรคในปลาบ้านน้ำจืดขนาดเล็ก และ *Virgulate cercaria* เป็นตัวอ่อนพยาธิใบไม้ที่ก่อโรคในสัตว์มีกระดูกสันหลังพวกสัตว์สะเทินน้ำสะเทินบก

จากการศึกษารังนี้แสดงว่าหอยน้ำจืด *Paludomus* spp. บริเวณลุ่มแม่น้ำแควน้อย จังหวัดกาญจนบุรีน่าจะมีความหลากหลายทางชนิดพันธุ์มากกว่า 1 ชนิด เนื่องจากหอย *Paludomus* spp. จากหัวยเต่าดำแตกต่างจากพื้นที่อื่นอย่างชัดเจน และในทางนิเวศวิทยาหอยน้ำจืดเป็นสิ่งมีชีวิตหนึ่งในระบบสายพันธุ์อาหาร ดังนั้นผลการศึกษาการติดเชื้อปรสิตในหอยน้ำจืด *Paludomus* spp. สามารถนำไปใช้ประโยชน์ในการเฝ้าระวังโรคในสัตว์เพื่อช่วยในการอนุรักษ์พันธุ์สิ่งมีชีวิตในระบบนิเวศได้

## บรรณานุกรม

### ภาษาไทย

ดวงเดือน ไกรลาศ และคณะ 2544. การศึกษาความหลากหลายของหอยน้ำจีดในเขตพื้นที่ป่าเตาดำ อำเภอไทรโยค จังหวัดกาญจนบุรี. รายงานการวิจัยฉบับสมบูรณ์โครงการพัฒนาองค์ความรู้และศึกษานโยบายการจัดการทรัพยากรีวิวภาพในประเทศไทย (โครงการ BRT), 37 หน้า

มั่นสิน ตันทูลเวศร์ และไพบูลย์ พรประภา 2539. การจัดการคุณภาพน้ำและการบำบัดน้ำเสียในป่าเลี้ยงปลาและสัตว์น้ำอื่น ๆ. พิมพ์ครั้งที่ 3. สำนักพิมพ์มหาวิทยาลัยธรรมศาสตร์. กรุงเทพฯ, หน้า 10-22

ฤทธา ผลโภค และคณะ 2546. หลักพันธุศาสตร์ สมาคมพันธุศาสตร์แห่งประเทศไทย. กรุงเทพฯ, หน้า 258-286.

วิสุทธิ์ ใบไม้ 2532. ความหลากหลายทางชีวภาพ. ใน การสัมมนาชีววิทยาครั้งที่ 7 เรื่องความหลากหลายทางชีวภาพในประเทศไทย. สิริวัฒน์ วงศ์ศิริ และศุภารักษ์ หล่อโลหะการบรรณาธิการ บริษัทประชาชนจำกัด. กรุงเทพมหานคร, หน้า 1-13

วิสุทธิ์ ใบไม้ 2538. สถานภาพความหลากหลายทางชีวภาพในประเทศไทย. สำนักงานกองทุนสนับสนุนการวิจัย (สกอ.). กรุงเทพฯ, หน้า 28-31.

สุชาติ อุปถัมภ์ และคณะ 2538. สังขวิทยา. พิมพ์ครั้งที่ 1. ศักดิ์สิ加การพิมพ์. กรุงเทพฯ, 517 หน้า

สุรินทร์ ปียะโชคนาภูล 2545. จีโนมและเครื่องหมายดีเอ็นเอ : ปฏิบัติการอาร์เอฟดีและเอกอพ แอลพี, สำนักพิมพ์มหาวิทยาลัยเกษตรศาสตร์. กรุงเทพฯ, หน้า 41-47

อุทัยรัตน์ ณ นคร 2543. พันธุศาสตร์สัตว์น้ำ. พิมพ์ครั้งที่ 2. มหาวิทยาลัยเกษตรศาสตร์. กรุงเทพฯ, หน้า 66-91

อุทัยรัตน์ ณ นคร 2544. การศึกษาความแตกต่างทางพันธุกรรมของปลาสกุล *Clarias* และ *Prophagorus* ในประเทศไทยโดยใช้เทคนิค Protein Electrophoresis และ RAPD-PCR. ใน รายงานการวิจัยโครงการ BRT. โครงการ BRT. กรุงเทพฯ, หน้า 326-350

### ភាសាខ្មែរ

- Andrews RH and Chilton NB. 1999. Multilocus enzyme electrophoresis : a valuable technique for providing Answers to problems in parasite systematics. *Inter J Parasitol*, 29: 213-253.
- Appleton C. 1978. Review of literature on abiotic factors influencing the distribution and life cycle of Bilharziasis intermediate hosts snails. *Malacol Rev*, 11: 1-25.
- Armengol ML. 1996. Taxonomic revision of *Potamolithus Agapetus* Pilsbry, 1911, and *Potamolithus buschii* (Frauenfeld, 1865) (Gastropoda : Hydrobiidae). *Malacologia*, 38(1-2): 1-17.
- Ayala FJ and others. 1972. Enzyme variability in the *Drosophila willistoni* group IV Genic variation in natural populations of *Drosophila willistoni*. *Genetics*, 70: 113-139.
- Ayala FJ and King JA. 1980. Gel Electrophoresis. *Modern Genetics*, The Benjamin Cummings Publishing Company, Inc., California. 612-627.
- Brandt AM. 1974. *The non-marine aquatic Mollusca of Thailand*. Arch. Moll. Band 105, I-IV, 1-423.
- Brown DS. 1980. *Freshwater snails of Africa and their medical importance*. British Library Cataloguing in Publication Data, London. 464 pp.
- Buth DG and Suloway JJ. 1983. Biochemical genetics of the snail genus *Physa* : a comparison of populations of two species. *Malacologia*. 23(2): 351-359.
- Chiu Y, Chen HC, Lee SC and Chen CA. 2002. Morphometric of shell and operculum variations in the Viviparid snail, *Cipangopaludina chinensis* (Mollusca : Gastropoda), in Taiwan. *Zoological studies*, 41(3): 321-331.
- Chung P. 1984. A comparative study of three species of Bithynidae (Mollusca : Prosobranchia) : *Parafossarulus manchouricus*, *Gabbia misella* and *Bithynia tentaculata*. *Malacol Rev*, 17: 1-66.

- Davis GM. 1981. Different modes of evolution and adaptive radiation in the Pomatiopsidae (Prosobranchia : Mesogastropoda). 21(1-2): 209-262.
- Davis GM. 1985. *Erhaia*, A new genus and new species of Pomatiopsidae from China (Gastropoda : Rissoacea). *Proc Acad Nat Sci Phila*, 137: 48-78.
- Davis GM. 1990. New genus of Triculinæ (Prosobranchia : Pomatiopsidae) from China : Phylogenetic relationships. *Proc of Acad Nat Sci Phila*, 142: 143-165.
- Dazo BC. 1965. The morphology and natural history of *Pleurocera acuta* and *Goniobasis livescens* (Gastropoda: Cerithiacea: Pleuroceridae). *Malacologia*, 3: 1-80.
- Faust EC. 1924. Notes on larval flukes from Chaina II Studies on some larval flukes from the central and south cost provinces of China. *Amer. J. Hyg*, 4: 241-301.
- Hoefer Scientific Instruments. *Protein electrophoresis : Applications guide*. Hoefer Scientific Instruments, San Francisco, 18-43.
- Houbrick RS. 1980. Observations on the anatomy and life history of *Modulus modulus* (Prosobranchia : Modulidae). *Malacologia*, 20: 117-142.
- Houbrick RS. 1981. Anatomy, biology and systematics of *Campanile symbolicum* with reference of adaptive radiation of the cerithiacea (Gastropoda: Prosobranchia). *Malacologia*, 21: 263-289.
- Jenning C, Kock N and Vaneeden A. 1973. The effect of the total dissolved salts in water on the biology of the freshwater snail *Biomphalaria pfeifferi*. *Wet. Bydrae P.U.C.H.O. Reeks B. Natuurwet*. 50: 26.
- Jobin R and Ippen T. 1964. Ecological design of irrigation canals for snail control. *Science*, 145: 1324-1326.
- Keawjam RS. 1986. The apple snails of Thailand : distribution, habitats and shell morphology. *Malacol Rev*, 19: 61-81.
- Keawjam RS. 1987. The apple snails of Thailand : aspects of comparative anatomy. *Malacol Rev*, 20: 69-89.

- Keawjam RS. and Upatum SE. 1990. Shell morphology, reproductive anatomy and genetic patterns of three species of apple snails of the genus *Pomacea* in Thailand. *J Med & Appl Malacol*, 2: 45-57.
- Kitikoon V. 1981. Studies on *Tricula aperta* and related taxa, the snail intermediate hosts of *Schistoma mekongi*. III Susceptibility studies. *Malacol Rev*, 14: 37.
- Klinhom U. 1989. The Thiaridae (Prosobranchia : Gastropoda) of Thailand : their morphology, anatomy, allozymes and systematic relationships. Ph D Dissertation, Mahidol University, 266 pages
- Kraillas D et al. 2003. Cercarial infection in *Paludomus petrosus*, freshwater snail in Pa La-U waterfall. *Southeast Asian J Trop Med Pub Hlth*, 34 (2): 286-290.
- Malex EA. 1922. *Snail-transmitted parasitic diseases*. CRC Press, Inc., Florida, vol.1, 51-70.
- Malex EA. 1922. *Snail-transmitted parasitic diseases*. CRC Press, Inc., Florida, vol.2, 203-204.
- Malex EA and Cheng TC. 1974. *Medical and economic malacology*. Academic Press, New York. 398 pages.
- Monzon RB, Thammapalerd N, Kitikoon V, Temcharoen P, Sornmani N and Viyanant V. 1993. Comparative radular morphology of *Lymnaea* (*Bullastra*) *cumingiana* (Pulmonata : Lymnaeidae) and related taxa in the Indo-Pacific region. *Southeast Asian J Trop Med Pub Hlth*, 24(3): 549-543.
- Monzon RB, Thammapalerd N, Kitikoon V, Temcharoen P, Sornmani N and Viyanant V. 1993. Comparative shell morphology of *Lymnaea* (*Bullastra*) *cumingiana* (Pulmonata : Lymnaeidae) and related taxa in the Indo-Pacific region. *Southeast Asian J Trop Med Pub Hlth*, 24(3): 554-562.
- Monzon RB, Thammapalerd N, Kitikoon V, Temcharoen P, Sornmani N and Viyanant V. 1994. Comparative horizontal starch gel isoenzyme

- electrophoresis of *Lymnaea* (Bullastra) *cumingiana* (Pulmonata : Lymnaeidae) and related taxa in the Indo-Pacific region. *Southeast Asian J Trop Med Pub Hlth*, 25(1): 181-185.
- Oliver LJ and Schneiderman M. 1956. A method for estimating the density of aquatic snail population. *Exp Parasitol*, 5:109-117.
- Schell SC. 1962. *Parasitology laboratory manual*. John Wiley and sons, New York, 19-26.
- Schell SC. 1970. *How to know the trematode*. Wm. C. Brown Publishers, Iowa, 1-43.
- Schmidt GD and Roberts LS. 1981. *Foundations of parasitology*. 2<sup>nd</sup> ed. The C.V. Mosby Company, London, 254-266.
- Simone LL. 1995. Anatomical study on *Tonna galea* (Linne, 1758) and *Tonna maculosa* (Dillwyn, 1817) (Mesogastropoda, Tonoidea, Tonnidae) from Brazilian region. 37(1): 23-32.
- Steiner WWM and Joslyn DJ. 1979. Electrophoretic techniques for the genetic study of mosquitoes. *Mosquitoes*. 1(39): 39-50.
- Thompson FG. 1984. North american freshwater snail genera of the Hydrobiid subfamily Lithoglyphinae. *Malacologia*, 25(1): 109-141.
- Thompson TE. 1973. Euthyneuran and other molluscan spermatozoa. *Malacologia*, 14: 167-206.
- Tsukamoto M, Nakajima Y and Chuang C. 1988. Zymogram comparison in three taxa of *Oncomelania*, vector snails of schistosomiasis. *J. UOEH*, 10(4): 381-390.
- Tsukamoto M. 1989. Enhancement of Staining Intensity of Mosquito larva Zymograms after Electrophoresis. *J. UOEH*, 11(4): 461-479.
- Viyanant V, Upatham ES and Siriteramongkol S. 1985. Enzyme analysis of *Bithynia* (Mollusca : Bithyniidae) by Isoelectricfocusing. *Malacological Review*, 18: 15-20.

- Weaver, Robert F., and Hedrick, Philip W. "An Introduction of Population Genetics." In Basic Genetics. 413-426. Wm. C. Brown Publishers, 1991.
- Yamaguti S. 1975. *A synoptical review of life historieds of digenetic trematodes of vertebrates*. Kyoto, 345-361.

**ภาคผนวก ก**  
**ตารางประกอบผลการวิจัย**

ตารางที่ 1 แสดงคุณภาพพื้นเมืองของน้ำ บริเวณชุมชนสำราญ ในเดือนตุลาคม 2545

คุณสมบัติ	น้ำตาล ไฮโดรเจน	น้ำตาล ไฮโดรเจน	น้ำตาล ไฮโดรเจน	น้ำตาล น้ำแข็ง	น้ำตาล ผักกาด	น้ำตาล หินดาด	น้ำตาล น้ำแข็ง	น้ำตาล โซเดียมฟอฟฟ์	น้ำตาล เกลือกรวด	น้ำตาล ไดซูกิฟ่อง	น้ำตาล น้ำแข็ง	น้ำตาล โซเดียมฟอฟฟ์
Physical properties												
Air temperature (°C)	27	26	24	26	25	24.5	28	25	27	24	24	24
Water temperature (°C)	25	26	22	25	24	24	26	24	25	24	24	24
Water velocity (m/sec)	3.64	11.18	0.5	16.1	13.58	17.43	4.38	6.91	12.00	23.36		
Chemical properties												
pH	8.51	8.28	7.50	7.95	8.67	8.36	8.97	7.90	8.10	8.22		
Chromium hexavalent (mg/L)	0.01	0.00	0.24	0.07	0.01	0.00	0.01	0.01	0.00	0.00		
Iron (mg/L)	0.05	0.06	0.06	0.77	0.02	0.06	0.00	0.00	0.01	0.02		
Nitrate (mg/L) NO <sub>3</sub> -N	0.44	0.03	0.6	0.18	0.11	0.25	0.05	0.11	0.14	0.07		
Oxygen dissolved (mg/L)	8.18	7.99	8.7	4.60	7.83	8.36	7.34	10.5	8.62	8.11		
Manganese (mg/L)	0.00	0.00	0.20	12.5	0.10	0.50	0.00	0.00	0.00	0.00		
Sulfate (mg/L)	17.7	8.03	4.00	23.6	10.9	9.14	7.30	7.16	7.98	13.4		
Nitrite (mg/L)	0.012	0.005	0.02	0.032	0.008	0.004	0.002	0.004	0.002	0.004		
Alkalinity (mg/L) as CaCO <sub>3</sub>	398	400	15	227	171	353	212	200	222	166		
Chloride (mg/L)	1.77	1.20	5.00	2.95	0.89	1.04	0.00	1.10	1.74	0.00		
Total-Hardness(mg/L)asCaCO <sub>3</sub>	412	394	20.0	329	176	321	278	154	188	138		
Phosphate reactive (mg/L)	5.08	15.7	0.10	46.4	15.2	12.2	5.75	10.1	12.8	3.86		
Conductivity ( $\mu$ mhos/cm)	730	642	20.0	310	289	580	383	350	320	290		

## ตารางที่ 2 เปรียบเทียบสิ่งแวดล้อมและขนาดของเปลือกหอยสำหรับ *Pallidium spp.* ที่ในปัจจุบันได้พบ (ค่าเฉลี่ย ± SD)

	น้ำตาล ไทรโคโนม	น้ำตาล ไทรโยคใหญ่	หัวเป็ดดำ	ลำกรังช้าง พิโนเดด	น้ำตาล น้ำพุร้อน	ผักต้า	น้ำตาล น้ำพุ	หัวเผยย่าง	น้ำตาล หมาดีบู	น้ำตาล เกรียงไกรเดย์	น้ำตาล โคลอฟอง	น้ำตาล	ตะเสียนหอย
การนกประสงค์สีอก	น้ำตาล กรวยปูน น้ำตาล	น้ำตาล กรวยกลม น้ำตาล	น้ำตาล กรวยปูน น้ำตาลเขียว										
ไข่ร่าง	68	70	81	68	67	67	75	65	75	74	74	77	
สเปรี้ยว	6.0–6.75	5.5–7.0	Eroded	6.0–7.5	6.0–7.0	5.5–7.25	6.0–7.0	6.5–7.0	6.0–7.0	6.75–7.25	6.25–7.5		
ขนาดมมส์บีร์(องศา)	9.5±1.96	8.94±1.73	6.3±1.75	10.3±1.7	10.5±2.1	9.25±1.76	7.9±1.92	9.63±1.17	8.6±1.01	11.09±1.87			
จำนวนเม็ดสีอก (น.m.)	6.2±1.16	6.38±1.10	5.5±1.69	6.8±1.03	6.8±1.24	6.57±1.10	4.9±0.89	6.89±0.86	6.38±0.79	8.10±1.32			
ความยาวงับสีอก (น.m.)	6.08±0.5	5.79±2.58	6.1±1.68	6.0±0.39	5.89±0.95	5.97±1.04	4.3±0.94	5.82±0.76	5.05±0.99	6.73±0.70			
ความกว้างงับสีอก (น.m.)	5.4±0.42	5.03±0.84	6.55±1.7	5.23±0.33	5.24±0.85	5.21±0.94	3.89±0.84	4.77±0.53	4.43±0.63	6.02±0.84			
ความกว้างปากเปลือก (น.m.)	3.29±0.25	3.18±0.61	4.2±1.37	3.37±0.23	3.42±0.59	3.46±0.67	2.45±0.57	3.18±0.38	3.09±0.39	3.93±0.69			
$LBW \div L^*$	0.64	0.649	0.968	0.58	0.56	0.645	0.54	0.604	0.6245	0.587	0.606		
Size index**	64.93	71.32	87.10	65.70	64.76	71.01	71.62	74.13	73.04				

หมายเหตุ

\*  $LBW \div L =$  ความยาวของเปลือก ÷ ความยาวของเปลือก

\*\* size index = ( $(\text{ความกว้างของเปลือก} \div \text{ความยาวของเปลือก}) \times 100$  )  
เพิ่มขึ้น

ପ୍ରାଚୀନ ହିନ୍ଦୁ

ที่เก็บตัวอย่างจากจุดสำหรับประเมินค่าพันธุ์พืชในที่ต่างๆ ที่ 3 แสดงค่าเบอร์เชิงร่องจำแนกถ่ายแบบสังเคราะห์ทั่วไปของแมลงสาบ Paludomus spp. ที่เก็บตัวอย่างจากจุดสำหรับประเมินค่าพันธุ์พืชในที่ต่างๆ (N=

ຕາງປານທີ 3 (ຕໍ່ອ)

ຈຳນວນລາຍ	ສັກເນົະນະສາຍ	ນ້ຳຕາ	ນ້ຳຕາ	ຫ້ວຍເຕີເດຳ	ຫ້ວຍເຕີເດຳ	ລຳອຽນຫຼັງ ບ່ອນໝັ້ງຂອງ ທຶນຄາດ	ນ້ຳຕາ	ນ້ຳພູ	ລຳອຽນຫຼັງ ມະເດືອນ	ນ້ຳຕາ	ໄດ້ຮອງເຂົ້າ ໃຈ	ນ້ຳຕາ	ນ້ຳຕາ
3 ລາຍ	87.356	12.530	81.119			35.060	22.897	52.529	67.767	3.448	7.317	22.472	
0234	66.092	12.530	67.133			34.462	18.925	52.140	67.767	3.448	7.317	22.472	
1034	21.264	-		2.797		0.598	3.972	0.389	-	-	-	-	
1204	-	-		11.189		-	-	-	-	-	-	-	
1230	-	-		-		-	-	-	-	-	-	-	
4 ລາຍ	1234	2.586	-	9.790		18.127	9.346	1.506	-	-	-	-	
N		348	415	50		502	428	394	129	30	41	41	89

ตารางที่ 4 แสดงรูปแบบรากซึ่งจำแนกไว้เป็นหอยสัตว์ Paludomus spp. ที่เก็บข้อมูลจากในแม่น้ำเจ้าพระยา

ตารางที่ ๕ เปรียบเทียบขนาดตัวอ่อนพันธุ์ของไข่ตัว *Palaemonus spp.* ที่ได้จากการดักจับในแม่น้ำแม่กลองพัง (ค่าเฉลี่ย  $\pm$  SD) (ลักษณะพิเศษ ๑๐ แบบตัว พันธุ์คงอยู่ ๑ ตัว)

	น้ำตาล ไก่ไข่ตัวเมีย	น้ำตาล ไข่ตัวเมีย	หัวใจตัวเมีย	ลำไส้รักษาปก น้ำพุร้อน	น้ำตาล ผีเสื้อดำ	น้ำตาล หัวใจเมีย	ลำไส้รักษาสมู หัวใจเมีย	น้ำตาล เกรียงกระเบี้ย	น้ำตาล ไครช่องต่อตัว	น้ำตาลตัวเมีย%
จำนวนหน่วย (ตัว)	5	10	5	10	15	15	5	5	5	5
จำนวนแมลง雄พันธุ์ หลอย	117 $\pm$ 5 (112-122)	120 $\pm$ 5 (115-125)	118 $\pm$ 6 (112-124)	106 $\pm$ 8 (98-114)	117 $\pm$ 5 (112-122)	122 $\pm$ 6 (118-128)	116 $\pm$ 5 (111-121)	120 $\pm$ 5 (115-125)	122 $\pm$ 5 (118-127)	113 $\pm$ 9 (104-122)
ความยาวแมลง雄พันธุ์ (มม.)	1.61 $\pm$ 0.01 (1.60 – 1.62)	1.53 $\pm$ 0.04 (1.49 – 1.57)	1.60 $\pm$ 0.01 (1.59 – 1.61)	1.67 $\pm$ 0.02 (1.65-1.69)	1.78 $\pm$ 0.03 (1.75-1.81)	1.68 $\pm$ 0.02 (1.66-1.70)	1.87 $\pm$ 0.06 (1.81-1.93)	1.81 $\pm$ 0.03 (1.78-1.84)	1.81 $\pm$ 0.01 (1.80-1.82)	1.81 $\pm$ 0.01 (1.80-1.82)
ความกว้างแมลง雄พันธุ์ (มม.)	0.52 $\pm$ 0.02 (0.50-0.54)	0.46 $\pm$ 0.01 (0.45-0.47)	0.47 $\pm$ 0.03 (0.44-0.50)	0.54 $\pm$ 0.02 (0.52-0.56)	0.52 $\pm$ 0.01 (0.51-0.53)	0.54 $\pm$ 0.02 (0.52-0.56)	0.46 $\pm$ 0.01 (0.45-0.47)	0.40 $\pm$ 0.01 (0.39-0.41)	0.42 $\pm$ 0.02 (0.40-0.44)	0.49 $\pm$ 0.03 (0.47-0.52)
ความกว้างแมลง雄พันธุ์ ก粒 (μm)	33.7 $\pm$ 1.96 (31.7-35.66)	34.3 $\pm$ 2.31 (31.99-36.6)	38.2 $\pm$ 3.18 (35.8-42.2)	39.0 $\pm$ 3.16 (35.8-42.2)	40.47 $\pm$ 2.4 (38.07-42.87)	41.4 $\pm$ 1.1 (40.3-42.5)	30.75 $\pm$ 2.65 (28.1-33.4)	34.9 $\pm$ 1.34 (33.6-36.24)	36.0 $\pm$ 0.6 (35.4-36.6)	46.7 $\pm$ 3.9 (42.8-50)
จำนวนแมลง雌พันธุ์ หอยท่อญี่ปุ่น	9.4 $\pm$ 1.07 (8-10)	9.5 $\pm$ 1.02 (8-10)	8.2 $\pm$ 1.2 (7-9)	9.7 $\pm$ 1.25 (8-10)	9.8 $\pm$ 0.82 (9-11)	9.5 $\pm$ 1.02 (8-10)	9.8 $\pm$ 0.42 (9-10)	8.7 $\pm$ 0.58 (8-9)	8.5 $\pm$ 1.6 (7-10)	8.6 $\pm$ 1.5 (7-10)

ពាក្យរាងទី 6 នៃគត់សតវត្ថុ (dentition formula) និងគោលការណ៍សម្រាប់អេកាបី (Cusps formula) ទូទៅអំពីរាង សំខាន់ខាងក្រោមនេះ។

*Paludomus spp.* ពីកំបងការុតសំរាប់ឈ្មោះពី (សម្រាប់ពេលចាប់ពី 10 ឆ្នាំទៅជានេះទៅមេដី 1 ឆ្នាំ)

ជាមួយអីឡូ	ឯកតាក ក្រុងគោលការណ៍	ឯកតាក ក្នុងការុតសំរាប់	ថវិកពេតាតា	តារាវាគាយបំផុត នៃការុតសំរាប់	ឯកតាក ដាក់	ឯកតាក ដីនាកាត់	ឯកតាក ដីរាយទេស	ឯកតាក ដីរាយទេស	តារាវាគាយបំផុត នៃការុតសំរាប់	ឯកតាក បានប្រាក់បាន	ឯកតាក បានប្រាក់បាន	ឯកតាក បានប្រាក់បាន
ជាមួយអីឡូ (តឹក)	5	10	5	10	15	15	5	5	5	5	5	5
ឯកតាក ស្អាតរហូង	2:1:1:1:2	2:1:1:1:2	2:1:1:1:2	2:1:1:1:2	2:1:1:1:2	2:1:1:1:2	2:1:1:1:2	2:1:1:1:2	2:1:1:1:2	2:1:1:1:2	2:1:1:1:2	2:1:1:1:2
ឯកតាក ស្អាតរហូង	4-1-4 (3.16%) 3-1-4(10.53%) 3-1-3(45.26%) 2-1-2(41.05%) 4-1-4 (8.34%) 4-1-3(17.71%) 4-1-2(17.71%) 3-1-3(30.20%) 3-1-2(26.04%) 3-1-1(12.83%)	3-1-3(23.53%) 2-1-2(76.47%) 5-1-5 (100%) 5-1-5 (100%) 4-1-3(10.25%) 4-1-2(43.59%) 4-1-1(7.69%) 3-1-3 (5.13%) 3-1-2(20.51%) 7 (100%)	5-1-5 (100%) 2-1-2 (70.0%) 3-1-3 (30.0%) 2-1-2 (70.0%) 5-1-2 (10.0%) 5-1-1 (10.0%) 4-1-2 (30.0%) 4-1-1 (40.0%) 3-1-2 (10.0%) 7 (100%)	3-1-3 (100%) 3-1-2 (34.45%) 3-1-3 (65.55%) 2-1-2(34.45%) 6-1-2(11.48%) 5-1-3 (3.27%) 5-1-2(32.79%) 4-1-1 (6.56%) 4-1-2(39.34%) 3-1-3 (1.64%) 3-1-2 (4.92%)	3-1-3 (100%) 3-1-2 (60.0%) 4-1-4 (40.0%) 3-1-1 (60.0%) 4-1-2 (20.0%) 5-1-1 (10.0%) 4-1-1 (10.0%) 4-1-2 (30.0%) 3-1-2 (30.0%) 8 (70.0%) 10 (30.0%)	3-1-3 (100%) 3-1-2 (60.0%) 4-1-4 (40.0%) 3-1-1 (60.0%) 4-1-2 (20.0%) 5-1-1 (10.0%) 4-1-1 (10.0%) 4-1-2 (30.0%) 3-1-2 (30.0%) 8 (70.0%) 9 (75.0%)	3-1-3 (75.0%) 2-1-2 (25.0%) 3-1-4 (40.0%) 3-1-1 (60.0%) 4-1-2 (55.56%) 3-1-3 (10.0%) 4-1-2 (30.0%) 3-1-2 (44.44%) 4-1-2 (87.5%) 7 (80.0%) 8 (20.0%)	3-1-3 (80.0%) 2-1-2 (20.0%) 3-1-3 (80.0%) 2-1-2 (20.0%) 5-1-2 (40.0%) 4-1-2 (50.0%) 3-1-2 (12.5%) 3-1-2 (10.0%) 5-1-2 (40.0%) 7 (30.0%) 8 (70.0%)				
ឯកតាក ស្អាតរហូង	7 (43.75%) 8 (56.25%)	7 (60.00%) 8 (40.00%)	7 (100%)	7 (100%)	8 (70.00%) 10 (30.00%)	7 (100%)	8 (75.0%) 9 (25.0%)	7 (60.0%) 8 (40.0%)	7 (80.0%) 8 (20.0%)	7 (80.0%) 8 (20.0%)	7 (30.0%) 8 (70.0%)	7 (30.0%) 8 (70.0%)

ຕາງໝາດ 6 (ຕ່ອມ)

	ນໍາທາກ ໄກໂຮຍຄນ້ຳຂອຍ	ນໍາທາກ ໄກໂຮຍຄໃຫງງ	ທີ່ກະເປົາຕຳ	ລົກຮັບສຳເນົາ	ນໍາທາກ	ນໍາພຸ	ລົກຮັບສຳເນົາ	ນໍາທາກ	ໄຕ່ຈຳກົງ	ນໍາທາກ	ຕະເຄີຍນ້ອງ
ພົນສິມ	11 (27.30%)	11 (100%)	24 (100%)	11 (100%)	11 (50.00%)	11 (100%)	14 (100%)	11 (10.0%)	11 (50.0%)	11 (12.0%)	
ລະເສືອດ	12 (13.60%)				13 (20.00%)			12 (40.0%)	12 (50.0%)	12 (88.0%)	
	13 (59.10%)				16 (30.00%)			13 (50.0%)			

ตารางที่ 7 แสดงความยาวอวัยวะภายในของหอยน้ำจืด *Paludomus spp.* เพศผู้และเพศเมีย ที่เก็บตัวอย่างจากน้ำตกไทรโยคน้อย (ค่าเฉลี่ย  $\pm$  SD) (จำนวนตัวหอย, N = 5)

	เพศเมีย	เพศผู้	ค่าความแตกต่างทางสถิติ ( $P = 0.05$ )
ความยาวลำตัว	23.16 $\pm$ 3.84 (18.39 – 27.93)	20.30 $\pm$ 1.52 (18.41 - 22.19)	0.160
ความยาวตับ	15.98 $\pm$ 1.36 (14.29 – 17.67)	16.12 $\pm$ 2.55 (12.96 – 19.28)	0.461
ความยาวรังไข่หรือเทสทิส	13.60 $\pm$ 1.75 (11.43 – 15.77)	13.80 $\pm$ 2.79 (10.34 – 17.26)	0.895
ความยาวแม่นทิล	6.86 $\pm$ 1.32 (5.47 – 8.24)	7.43 $\pm$ 0.43 (6.75 – 8.11)	0.432
ความยาวอสเพรเดียม	1.82 $\pm$ 0.33 (1.40 – 2.24)	2.11 $\pm$ 0.22 (1.76 – 2.46) N=4	0.180
ความยาวเหงือก	6.42 $\pm$ 0.98 (5.20 – 7.64)	5.88 $\pm$ 1.02 (4.61 – 7.15)	0.421
จำนวนเซลล์เหงือก	79.04 $\pm$ 5.75 (71.90 – 86.18)	83.84 $\pm$ 6.77 (75.43 – 92.25)	0.262
ความยาวบักคั้สแมส	2.08 $\pm$ 0.26 (1.81 – 2.35)	2.20 $\pm$ 0.19 (1.97 – 2.43)	0.406
ความยาวหลอดอาหาร	7.88 $\pm$ 1.46 (6.06 – 9.69)	8.28 $\pm$ 1.44 (6.49 – 10.07)	0.673
ความยาวลำไส้	8.40 $\pm$ 1.61 (6.40 – 10.40)	8.64 $\pm$ 1.45 (6.84 – 10.44)	0.810
ความยาวเรกตัรัม	6.95 $\pm$ 1.04 (5.66 – 8.24)	8.48 $\pm$ 1.34 (6.81 – 10.15)	0.079
ความยาวไต	3.74 $\pm$ 0.38 (3.13 – 4.35) N=4	3.94 $\pm$ 0.33 (3.41 – 4.47) N=4	0.461
ความยาวท่อน้ำไข่แพลเลี่ยล	6.84 $\pm$ 1.07 (5.72 – 7.96)	-	-
ความยาวท่อสีบพันธุ์แพลเลี่ยล	-	4.81 $\pm$ 1.53 (2.91 – 6.71)	-

ตารางที่ 8 แสดงความยาวอวัยวะภายในของหอยน้ำจืด *Paludomus spp.* เพศผู้และเพศเมีย ที่เก็บตัวอย่างจากน้ำตกไทรโยคในญี่ (จำนวนตัวหอย, N = 5)

	เพศเมีย	เพศผู้	ค่าความแตกต่างทางสถิติ ( $P = 0.05$ )
ความยาวลำตัว	20.80 ± 0.44 (19.72 – 21.88)	18.74 ± 3.47 (14.43 – 23.05)	0.464
ความยาวตับ	16.33 ± 2.23 (12.78 – 19.87)	15.80 ± 2.18 (12.33 – 19.27)	0.748
ความยาวรังไข่หรือเทสทิส	13.78 ± 2.83 (9.28 – 18.27)	11.50 ± 3.55 (5.85 – 17.15)	0.355
ความยาวเมนเทล	7.87 ± 0.64 (6.27 – 9.46)	6.75 ± 0.24 (6.37 – 7.13)	0.022*
ความยาวอสเพรอเดียม	1.95 ± 0.39 (1.33 – 2.57)	1.93 ± 0.30 (1.45 – 2.40)	0.922
ความยาวเหงือก	6.12 ± 0.46 (5.55 – 6.69)	6.00 ± 0.37 (5.61 – 6.39)	0.459
จำนวนเซลล์เหงือก	92.86 ± 14.72 (74.58 – 111.14)	97.06 ± 16.12 (77.05 – 117.07)	0.634
ความยาวบักกั้สแมส	2.63 ± 0.17 (2.35 – 2.89)	2.58 ± 0.18 (2.36 – 2.80)	1.00
ความยาวหลอดอาหาร	6.50 ± 0.76 (5.29 – 7.71)	5.98 ± 0.42 (5.31 – 6.64)	0.273
ความยาวลำไส้	7.65 ± 0.51 (6.84 – 8.46)	7.20 ± 0.08 (7.07 – 7.33)	0.130
ความยาวเรกตัรัม	7.70 ± 1.68 (5.03 – 10.37)	6.08 ± 0.90 (4.64 – 7.51)	0.139
ความยาวไต	4.30 ± 0.40 (3.31 – 5.29)	4.30 ± 0.33 (3.78 – 4.82)	1.00
ความยาวท่อน้ำไปแพลเลียล	5.00 ± 0.91 (3.56 – 6.44)	-	-
ความยาวท่อสีบพันธุ์แพลเลียล	-	4.02 ± 0.25 (3.40 – 4.63)	-

\* มีความแตกต่างอย่างมีนัยสำคัญทางสถิติ ที่ระดับความเชื่อมั่น 95 % ( $p < 0.05$ )

ตารางที่ 9 แสดงความยาวอวัยวะภายในของหอยน้ำจืด *Paludomus spp.* เพศผู้และเพศเมีย  
ที่เก็บตัวอย่างจากห้วยเต่าดำ (จำนวนตัวหอย, N = 5)

	เพศเมีย	เพศผู้	ค่าความแตกต่างทางสถิติ ( $P = 0.05$ )
ความยาวลำตัว	15.43 ± 1.55 (11.58 – 19.28)	15.64 ± 1.69 (13.54 – 17.74)	0.869
ความยาวตัวบ	12.85 ± 3.75 (9.1 – 16.6)	9.14 ± 3.66 (4.60 – 13.68)	0.282
ความยาวรังไข่หรือเทสทิส	10.15 ± 4.74 (5.41 – 14.89)	7.88 ± 3.42 (3.64 – 12.12)	0.498
ความยาวแม่นเพล	6.70 ± 1.44 (3.12 – 10.28)	6.30 ± 1.59 (4.33 – 8.27)	0.734
ความยาวอโศฟเวเดียม	2.33 ± 0.40 (1.33 – 3.34)	2.42 ± 0.28 (2.08 – 2.76)	0.728
ความยาวเหงือก	5.43 ± 0.80 (3.44 – 7.43)	5.54 ± 1.15 (4.12 – 6.96)	0.893
จำนวนเซลล์เหงือก	68.00 ± 6.00 (53.09 – 82.90)	64.80 ± 5.72 (57.70 – 71.90)	0.480
ความยาวบักคัสแมส	2.77 ± 0.21 (2.25 – 3.28)	2.76 ± 0.34 (2.34 – 3.18)	0.977
ความยาวหลอดอาหาร	5.33 ± 0.47 (4.16 – 6.51)	4.82 ± 0.88 (3.73 – 5.91)	0.396
ความยาวลำไส้	6.67 ± 0.47 (5.49 – 7.84)	5.30 ± 1.19 (3.82 – 6.78)	0.113
ความยาวเรกตัรัม	6.63 ± 0.74 (4.80 – 8.46)	6.62 ± 1.82 (4.36 – 8.88)	0.991
ความยาวไต	2.77 ± 0.47 (1.59 – 3.94)	3.28 ± 0.84 (2.23 – 4.33)	0.379
ความยาวท่อน้ำไข่แพลเลียล	4.45 ± 0.46 (3.71 – 5.19)	-	-
ความยาวท่อสีบพันธุ์แพลเลียล	-	43.62 ± 1.03 (2.34 – 4.90)	-

ตารางที่ 10 แสดงความยาวอวัยวะภายในของหอยน้ำจืด *Paludomus spp.* เพศผู้และเพศเมีย ที่เก็บตัวอย่างจากลำธารข้างบ่อน้ำพุร้อนหินดาด (จำนวนตัวหอย, N = 5)

	เพศเมีย	เพศผู้	ค่าความแตกต่างทางสถิติ ( $P = 0.05$ )
ความยาวลำตัว	20.12 ± 1.02 (18.86 – 21.38)	20.02 ± 1.20 (18.53 – 21.51)	0.891
ความยาวตับ	14.77 ± 4.63 (3.26 – 26.27)	15.70 ± 3.35 (10.37 – 21.03)	0.767
ความยาวรังไข่หรือเทสทิส	11.73 ± 3.39 (6.33 – 17.12)	13.13 ± 2.89 (8.53 – 17.72)	0.553
ความยาวแม่นเทล	7.12 ± 0.50 (6.50 – 7.74)	7.42 ± 0.52 (6.78 – 8.06)	0.377
ความยาวอสเพรเดียม	2.18 ± 0.11 (2.04 – 2.32)	2.20 ± 0.14 (2.02 – 2.38)	0.809
ความยาวเหงือก	5.70 ± 0.36 (5.13 – 6.27)	5.78 ± 0.16 (5.58 – 5.98)	0.665
จำนวนเซลล์เหงือก	93.65 ± 5.91 (84.25 – 103.05) N=4	98.16 ± 7.85 (88.41 – 107.91)	0.374
ความยาวบักคัสแมส	2.16 ± 0.11 (2.02 – 2.30)	2.40 ± 0.29 (2.04 – 2.76)	0.125
ความยาวหลอดอาหาร	6.18 ± 0.81 (5.17 – 7.19)	6.58 ± 0.53 (5.92 – 7.24)	0.384
ความยาวลำไส้	8.16 ± 0.44 (7.61 – 8.71)	8.20 ± 0.46 (7.62 – 8.78)	0.892
ความยาวเรกตรัม	7.34 ± 0.19 (7.10 – 7.58)	7.20 ± 0.19 (6.97 – 7.43)	0.280
ความยาวไต	3.87 ± 0.15 (3.49 – 4.25)	4.00 ± 0.18 (3.73 – 4.28) N=4	0.327
ความยาวท่อนำไข่แพลงเลี้ยล	4.86 ± 0.55 (4.18 – 5.54)	-	-
ความยาวท่อสืบพันธุ์แพลงเลี้ยล	-	4.80 ± 0.39 (4.31 – 5.29)	-

ตารางที่ 11 แสดงความยาวอวัยวะภายในของหอยน้ำจืด *Paludomus spp.* เพศผู้และเพศเมีย ที่เก็บตัวอย่างจากน้ำตักพาตاد (จำนวนตัวหอย, N = 5)

	เพศเมีย	เพศผู้	ค่าความแตกต่างทางสถิติ ( $P = 0.05$ )
ความยาวลำตัว	22.60 ± 1.01 (21.35 – 23.85)	22.22 ± 0.86 (21.15 – 23.29)	0.539
ความยาวตัวบ	18.19 ± 0.55 (17.31 – 19.07)	17.54 ± 1.01 (15.93 – 19.16)	0.303
ความยาวรังไข่หรือเทสทิส	15.68 ± 0.54 (14.82 – 16.53)	15.23 ± 1.09 (13.50 – 16.96)	0.488
ความยาวแม่นเทล	8.32 ± 0.65 (7.51 – 9.13)	8.60 ± 0.48 (8.00 – 9.19)	0.464
ความยาวอโสเฟรเดียม	2.66 ± 0.26 (2.34 – 2.98)	2.92 ± 0.31 (2.53 – 3.30)	0.195
ความยาวเหงือก	8.57 ± 0.43 (7.89 – 9.24)	7.94 ± 0.63 (7.16 – 8.71)	0.131
จำนวนเซลล์เหงือก	91.60 ± 5.68 (84.54 – 98.66)	92.00 ± 2.24 (89.22 – 94.78)	0.887
ความยาวบักคัสแมส	2.73 ± 0.29 (2.37 – 3.10)	2.74 ± 0.17 (2.54 – 2.95)	0.949
ความยาวหลอดอาหาร	7.32 ± 0.58 (6.61 – 8.04)	7.23 ± 0.38 (6.76 – 7.71)	0.773
ความยาวลำไส้	8.88 ± 1.12 (7.49 – 10.27)	8.72 ± 0.83 (7.70 – 9.75)	0.806
ความยาวเรกตัรัม	9.37 ± 0.99 (8.14 – 10.61)	9.87 ± 0.37 (9.40 – 10.33)	0.328
ความยาวไต	3.80 ± 0.47 (3.05 – 4.55)	4.38 ± 0.84 (3.33 – 5.43)	0.261
ความยาวท่อนำไข่แพลเลียล	5.90 ± 0.63 (4.90 – 6.90)	-	-
ความยาวท่อสีบพันธุ์แพลเลียล	-	5.25 ± 0.43 (4.72 – 5.79)	-

ตารางที่ 12 แสดงความยาวอวัยวะภายในของหอยน้ำจืด *Paludomus spp.* เพศผู้และเพศเมียที่เก็บตัวอย่างจากน้ำพุห้วยเขย่ง (จำนวนตัวหอย, N = 5)

	เพศเมีย	เพศผู้	ค่าความแตกต่างทางสถิติ ( $P = 0.05$ )
ความยาวลำตัว	19.34 ± 1.35 (17.66 – 21.02)	17.28 ± 1.47 (15.46 – 19.10)	0.050
ความยาวต้น	15.04 ± 0.73 (13.87 – 16.20)	15.68 ± 0.45 (14.95 – 16.40)	0.187
ความยาวรังไข่หรือเทสทิส	13.22 ± 1.21 (11.71 – 14.72)	14.31 ± 0.79 (13.06 – 15.56)	0.164
ความยาวแม่นเทลิล	7.35 ± 0.40 (6.85 – 7.84)	6.97 ± 0.37 (6.50 – 7.43)	0.155
ความยาวอโศฟเฟรเดียม	2.23 ± 0.22 (1.96 – 2.51)	2.22 ± 0.08 (2.12 – 2.32)	0.897
ความยาวเหงือก	6.45 ± 0.54 (5.78 – 7.13)	6.09 ± 0.47 (5.51 – 6.67)	0.292
จำนวนเซลล์เหงือก	97.60 ± 3.65 (93.07 – 102.13)	97.40 ± 2.30 (94.54 – 100.26)	0.920
ความยาวบักคัสแมส	2.36 ± 0.26 (2.04 – 2.68)	2.26 ± 0.28 (1.92 – 2.61)	0.582
ความยาวหลอดอาหาร	7.13 ± 0.44 (6.59 – 7.67)	5.75 ± 0.50 (5.13 – 6.37)	0.02*
ความยาวลำไส้	7.52 ± 0.54 (6.84 – 8.19)	7.00 ± 0.42 (6.47 – 7.53)	0.132
ความยาวเรกตัรัม	8.40 ± 0.66 (7.58 – 9.22)	7.72 ± 0.65 (6.91 – 8.52)	0.137
ความยาวไต	4.02 ± 0.37 (3.56 – 4.47)	4.14 ± 0.38 (3.67 – 4.61)	0.613
ความยาวท่อน้ำไข่แพลงเลียล	4.81 ± 1.08 (3.47 – 6.15)	-	-
ความยาวท่อสีบพันธุ์แพลงเลียล	-	4.88 ± 0.33 (4.35 – 5.40)	-

\* มีความแตกต่างอย่างมีนัยสำคัญทางสถิติ ที่ระดับความเชื่อมั่น 95 % ( $p < 0.05$ )

ตารางที่ 13 แสดงความยาวอวัยวะภายในของหอยน้ำจืด *Paludomus spp.* เพศผู้และเพศเมีย ที่เก็บตัวอย่างจากลำธารป่าชุมชนบ้านท่ามะเดื่อ (จำนวนหอย 5 ตัว)

	เพศเมีย	เพศผู้	ค่าความแตกต่างทางสถิติ ( $P = 0.05$ )
ความยาวลำตัว	19.44 ± 2.16 (16.76 – 22.12)	18.44 ± 1.06 (17.12 – 19.76)	0.380
ความยาวตัวบ	13.37 ± 2.21 (9.86 – 16.88)	14.24 ± 1.32 (12.61 – 15.87)	0.485
ความยาวรังไข่หรือเทสทิส	11.58 ± 2.06 (8.31 – 14.86)	12.23 ± 1.41 (10.47 – 13.98)	0.594
ความยาวแม่นเพลล	7.22 ± 0.62 (6.45 – 7.99)	7.66 ± 0.83 (6.63 – 8.68)	0.372
ความยาวอโศฟเรเดียม	2.28 ± 0.13 (2.12 – 2.44)	2.28 ± 0.13 (2.12 – 2.44)	1.000
ความยาวเหงือก	6.82 ± 0.44 (6.27 – 7.37)	6.88 ± 0.31 (6.46 – 7.26)	0.810
จำนวนเซลล์เหงือก	90.20 ± 2.39 (87.24 – 91.16)	89.32 ± 2.49 (86.23 – 92.41)	0.584
ความยาวบักค์แซมส	2.72 ± 0.13 (2.56 – 2.88)	2.72 ± 0.19 (2.48 – 2.96)	1.000
ความยาวหลอดอาหาร	7.12 ± 0.33 (6.71 – 7.53)	6.91 ± 0.50 (6.30 – 7.53)	0.461
ความยาวลำไส้	8.24 ± 0.30 (7.86 – 8.62)	7.99 ± 0.32 (7.59 – 8.38)	0.232
ความยาวเจกตั้ม	8.36 ± 0.27 (8.02 – 8.70)	8.33 ± 0.31 (7.94 – 8.71)	0.875
ความยาวไต	3.54 ± 0.35 (3.10 – 3.98)	3.24 ± 0.28 (2.89 – 3.59)	0.180
ความยาวท่อนำไข่แพลเลียล	4.23 ± 0.62 (3.46 – 4.99)	-	-
ความยาวท่อสีบพันธุ์แพลเลียล	-	4.89 ± 0.89 (3.79 – 6.00)	-

ตารางที่ 14 แสดงความยาวอวัยวะภายในของหอยน้ำจืด *Paludomus spp.* เพศผู้และเพศเมีย ที่เก็บตัวอย่างจากน้ำตกริบกระเบียง (จำนวนตัวหอย, N = 5)

	เพศเมีย	เพศผู้	ค่าความแตกต่างทางสถิติ (P = 0.05)
ความยาวลำตัว	19.34 ± 4.10 (14.25 – 24.43)	19.52 ± 0.83 (18.48 – 20.56)	0.926
ความยาวตับ	14.38 ± 2.44 (11.35 – 17.41)	15.28 ± 0.41 (14.77 – 15.79)	0.439
ความยาวรังไข่หรือเทสทิส	12.48 ± 2.58 (9.27 – 15.69)	13.20 ± 0.42 (12.68 – 13.72)	0.556
ความยาวแม่นเทล	7.58 ± 1.05 (6.28 – 8.88)	7.96 ± 0.43 (7.42 – 8.50)	0.475
ความยาวอสเพรอเดียม	2.83 ± 0.17 (2.55 – 3.10)	2.88 ± 0.08 (2.74 – 3.02)	0.572
ความยาวเหงือก	6.04 ± 0.50 (5.42 – 6.65)	6.29 ± 0.78 (5.32 – 7.26)	0.569
จำนวนเซลล์เหงือก	95.00 ± 3.54 (90.61 – 99.39)	93.80 ± 3.56 (89.38 – 98.22)	0.608
ความยาวบักคัสแมส	2.18 ± 0.08 (2.08 – 2.28)	2.09 ± 0.13 (1.93 – 2.26)	0.260
ความยาวหลอดอาหาร	6.24 ± 1.17 (4.79 – 7.69)	5.90 ± 0.58 (5.18 – 6.62)	0.576
ความยาวลำไส้	5.52 ± 0.73 (4.80 – 7.69)	6.38 ± 0.49 (5.78 – 6.98)	0.060
ความยาวเรกตัรัม	8.10 ± 1.41 (6.35 – 9.85)	7.80 ± 0.68 (6.95 – 8.65)	0.680
ความยาวไต	3.19 ± 0.60 (2.45 – 3.93)	3.38 ± 0.16 (3.18 – 3.58)	0.506
ความยาวท่อน้ำไข่แพลเลียล	4.64 ± 0.97 (3.43 – 5.85)	-	-
ความยาวท่อสีบพันธุ์แพลเลียล	-	4.58 ± 0.79 (3.31 – 5.84)	-

ตารางที่ 15 แสดงความยาวอวัยวะภายในของหอยน้ำจืด *Paludomus spp.* เพศผู้และเพศเมีย ที่เก็บตัวอย่างจากน้ำตกรได้ซ่องถ่อง (จำนวนตัวหอย, N = 5)

	เพศเมีย	เพศผู้	ค่าความแตกต่างทางสถิติ ( $P = 0.05$ )
ความยาวลำตัว	18.56 ± 0.60 (17.81 – 19.31)	14.88 ± 1.28 (13.29 – 16.47)	0.00*
ความยาวตับ	13.94 ± 1.22 (12.43 – 15.45)	13.94 ± 1.18 (12.47 – 15.41)	1.000
ความยาวรังไข่หรือเทสทิส	11.90 ± 1.41 (10.15 – 13.65)	12.04 ± 1.23 (10.51 – 13.57)	0.871
ความยาวแม่นเทล	7.98 ± 0.24 (7.68 – 8.28)	7.98 ± 0.48 (7.38 – 8.58)	1.000
ความยาวอสเพรเดียม	2.46 ± 0.17 (2.25 – 2.67)	2.42 ± 0.18 (2.20 – 2.64)	0.724
ความยาวเหงือก	6.60 ± 0.22 (6.26 – 6.94)	6.58 ± 0.31 (6.19 – 6.97)	0.917
จำนวนเซลล์เหงือก	94.80 ± 3.35 (90.64 – 98.96)	96.20 ± 1.30 (94.58 – 97.82)	0.409
ความยาวบักคัสแมส	2.16 ± 0.05 (2.09 – 2.23)	2.20 ± 0.07 (2.20 – 2.64)	0.347
ความยาวหลอดอาหาร	5.32 ± 0.15 (5.14 – 5.50)	5.36 ± 0.11 (5.22 – 5.50)	0.645
ความยาวลำไส้	7.54 ± 0.21 (7.28 – 7.79)	6.58 ± 0.47 (6.00 – 7.16)	0.003*
ความยาวเรกตัม	7.84 ± 0.21 (7.58 – 8.10)	7.04 ± 0.90 (7.38 – 8.58)	0.089
ความยาวไต	3.64 ± 0.24 (3.34 – 3.94)	3.68 ± 0.53 (3.03 – 4.33)	0.881
ความยาวท่อน้ำไข่แพลเลียล	5.88 ± 0.22 (5.52 – 6.23)	-	-
ความยาวท่อสีบพันธุ์แพลเลียล	-	5.06 ± 0.29 (4.70 – 5.42)	-

\* มีความแตกต่างอย่างมีนัยสำคัญทางสถิติ ที่ระดับความเชื่อมั่น 95 % ( $p < 0.05$ )

ตารางที่ 16 แสดงความยาวอวัยวะภายในของหอยน้ำจืด *Paludomus spp.* เพศผู้และเพศเมีย ที่เก็บตัวอย่างจากน้ำตักตะเคียนทอง (จำนวนตัวหอย, N = 5)

	เพศเมีย	เพศผู้	ค่าความแตกต่างทางสถิติ ( $P = 0.05$ )
ความยาวลำตัว	21.77 ± 1.30 (20.16 – 23.39)	19.32 ± 1.32 (17.68 – 20.8-96)	0.018*
ความยาวตัวบ	18.97 ± 2.17 (15.52 – 22.43)	15.95 ± 2.97 (11.21 – 20.68)	0.151
ความยาวรังไข่หรือเทสทิส	16.25 ± 1.50 (13.86 – 18.64)	13.06 ± 2.58 (8.96 – 17.16)	0.076
ความยาวแม่นทีล	9.34 ± 0.48 (8.74 – 9.94)	9.03 ± 0.70 (8.16 – 9.90)	0.445
ความยาวอสเพรอเดียม	2.72 ± 0.49 (2.12 – 3.32)	2.36 ± 0.11 (2.22 – 2.50)	0.146
ความยาวเหงือก	7.00 ± 0.19 (6.76 – 7.24)	6.47 ± 0.27 (6.13 – 6.81)	0.007*
จำนวนเซลล์เหงือก	94.20 ± 1.64 (92.16 – 96.24)	97.00 ± 1.58 (95.04 – 98.96)	0.025*
ความยาวบักค์แสมส	2.86 ± 0.13 (2.69 – 3.03)	2.90 ± 0.10 (2.78 – 3.02)	0.608
ความยาวหลอดอาหาร	8.06 ± 0.13 (7.90 – 8.22)	7.34 ± 1.05 (6.03 – 8.64)	0.162
ความยาวลำไส้	9.83 ± 0.34 (9.41 – 10.26)	8.81 ± 0.76 (7.87 – 9.75)	0.025*
ความยาวเรกตัรัม	10.01 ± 0.67 (9.18 – 10.84)	9.27 ± 0.62 (8.50 – 9.75)	0.108
ความยาวไต	4.31 ± 0.61 (3.55 – 5.07)	4.00 ± 0.19 (3.77 – 4.23)	0.308
ความยาวท่อน้ำไข่แพลเลียล	5.16 ± 0.19 (4.93 – 5.40)	-	-
ความยาวท่อสีบพันธุ์แพลเลียล	-	5.42 ± 0.19 (5.18 – 5.66)	-

\* มีความแตกต่างอย่างมีนัยสำคัญทางสถิติ ที่ระดับความเชื่อมั่น 95 % ( $p < 0.05$ )

ตารางที่ 17 ปริมาณเพียงชานดอวยะภัยในน้ำของหอยนางรม *Paludomus spp.* ที่เป็นจากถล้ารากในแม่น้ำแม่กลอง (ค่าเฉลี่ย ± SD)

	น้ำตื้น หลังโคลนดอย	น้ำตื้น แหล่งน้ำใหม่	ห้องน้ำตื้น	น้ำที่มีน้ำ	น้ำตื้น พื้นดิน	น้ำตื้น แม่น้ำ	น้ำตื้น ห้วยแม่น้ำ	น้ำตื้น แม่น้ำแม่น้ำแม่น้ำ	น้ำตื้น แม่น้ำแม่น้ำแม่น้ำ	น้ำตื้น แม่น้ำแม่น้ำแม่น้ำ	น้ำตื้น แม่น้ำแม่น้ำแม่น้ำ	น้ำตื้น แม่น้ำแม่น้ำแม่น้ำ
จำนวนเน不由 (ตัว)	10	10	10	10	10	10	10	10	10	10	10	10
ความยาวลำตัว	21.73 ± 31.40 (19.48–23.97)	19.51 ± 2.84 (17.14–21.88)	15.56 ± 1.53 (14.28–16.84)	20.07 ± 1.05 (19.32–20.82)	22.41 ± 0.91 (21.76–23.06)	18.31 ± 1.72 (17.08–19.54)	18.94 ± 1.69 (17.73–20.15)	19.43 ± 2.78 (17.44–21.42)	16.72 ± 2.16 (15.18–18.26)	20.55 ± 1.79 (19.27–21.83)		
ความยาวท่อ	16.13 ± 1.90 (14.77–17.49)	16.06 ± 2.06 (14.34–17.79)	10.20 ± 3.81 (6.67–13.72)	15.30 ± 3.60 (11.96–18.64)	17.87 ± 0.83 (17.17–18.56)	15.36 ± 0.66 (14.80–15.91)	13.85 ± 1.70 (12.55–15.17)	14.83 ± 1.71 (13.60–16.06)	13.94 ± 1.13 (13.13–14.75)	17.46 ± 2.90 (15.03–19.89)		
ความยาวรากที่รากเหง้า	13.70 ± 2.20 (12.13–15.27)	12.64 ± 3.21 (9.95–15.32)	8.53 ± 3.57 (5.23–11.83)	12.43 ± 3.01 (9.91–14.94)	15.45 ± 0.83 (14.76–16.14)	13.70 ± 1.14 (12.83–14.58)	11.94 ± 1.64 (10.68–13.20)	12.84 ± 1.79 (11.56–14.12)	11.97 ± 1.25 (11.08–12.86)	14.66 ± 2.59 (12.49–16.82)		
หัส	7.09 ± 1.06 (6.33–7.84)	7.23 ± 0.72 (6.56–7.90)	6.45 ± 1.44 (5.25–7.65)	7.27 ± 0.50 (7.13–7.41)	8.46 ± 0.56 (8.06–8.86)	7.16 ± 0.42 (6.86–7.46)	7.44 ± 0.72 (6.92–7.96)	7.77 ± 0.78 (7.21–8.33)	7.98 ± 0.36 (7.72–8.24)	9.19 ± 0.59 (8.76–9.61)		
ความยาวแมมพิต	1.95 ± 0.31 (1.71–2.19)	1.94 ± 0.32 (1.67–2.21)	2.39 ± 0.30 (2.13–2.64)	2.19 ± 0.12 (2.10–2.28)	2.79 ± 0.30 (2.57–3.00)	2.23 ± 0.16 (2.11–2.34)	2.28 ± 0.12 (2.19–2.37)	2.85 ± 0.13 (2.75–2.96)	2.44 ± 0.16 (2.32–2.56)	2.54 ± 0.38 (2.27–2.81)		
ความยาวของฟาร์บีนม	6.15 ± 0.99 (5.44–6.85)	6.05 ± 0.40 (5.79–6.32)	5.50 ± 0.97 (5.23–11.83)	5.74 ± 0.25 (5.55–5.94)	8.22 ± 0.61 (7.75–8.69)	6.27 ± 0.52 (5.90–6.64)	6.85 ± 0.36 (6.59–7.11)	6.16 ± 0.63 (5.71–6.61)	6.59 ± 0.26 (6.39–6.79)	6.74 ± 0.36 (6.48–6.99)		
จำนวนเรือนห้อง	81.44 ± 6.44 (76.83–86.35)	94.96 ± 14.72 (84.43–105.4)	66.00 ± 5.63 (61.29–70.71)	96.16 ± 7.04 (90.74–101.6)	91.80 ± 4.08 (88.88–94.72)	97.50 ± 2.88 (95.44–99.56)	89.76 ± 2.35 (88.03–91.44)	94.40 ± 3.41 (91.96–96.84)	95.50 ± 2.51 (93.71–97.29)	95.60 ± 2.12 (94.08–97.12)		
ความยาวปากคัตส์แมด	2.13 ± 0.23 (1.98–2.29)	2.60 ± 0.17 (2.47–2.73)	2.76 ± 0.28 (2.53–2.99)	2.28 ± 0.24 (2.11–2.45)	2.74 ± 0.22 (2.58–2.90)	2.31 ± 0.26 (2.13–2.50)	2.72 ± 0.15 (2.61–2.83)	2.14 ± 0.12 (2.05–2.22)	2.18 ± 0.06 (2.13–2.23)	2.88 ± 0.11 (2.80–2.96)		
ความยาวหลอดอาหาร	8.08 ± 1.39 (7.09–9.07)	6.24 ± 0.63 (4.38–5.65)	5.01 ± 0.76 (5.71–6.77)	6.38 ± 0.68 (5.89–6.87)	7.28 ± 0.46 (6.95–7.61)	6.44 ± 0.85 (5.83–7.05)	7.02 ± 0.41 (6.72–7.31)	5.95 ± 0.74 (5.42–6.48)	5.34 ± 0.13 (5.25–5.43)	7.70 ± 0.80 (7.13–8.27)		
ความยาวสำลัก	8.52 ± 1.45 (7.48–9.56)	7.43 ± 0.41 (7.08–7.77)	5.81 ± 1.17 (4.83–6.79)	8.18 ± 0.43 (7.88–8.46)	8.80 ± 0.93 (8.14–9.47)	7.26 ± 0.53 (6.88–7.64)	8.11 ± 0.32 (7.88–8.34)	6.07 ± 0.89 (5.43–6.71)	7.06 ± 0.61 (6.62–7.50)	9.32 ± 0.77 (8.77–9.87)		

	นำพา “ทรัพยากรัฐ”	นำพา “ทรัพย์สินบุญ	ผู้เยี่ยมตาม	นำพาทุกชน	นำพา	นำพา	นำพาทุกชน	นำพา	นำพาทุกชน
ความหมายของรัฐ	7.72 ± 1.39 (6.72 – 8.71)	6.89 ± 1.52 (5.62 – 8.16)	6.63 ± 1.43 (5.43 – 7.82)	7.27 ± 0.19 (7.13 – 7.41)	9.62 ± 0.75 (9.08 – 10.16)	8.06 ± 0.71 (7.55 – 8.57)	8.35 ± 0.28 (8.15 – 8.54)	7.95 ± 1.06 (7.19 – 8.71)	7.44 ± 0.75 (6.91 – 7.97) (9.13 – 10.16)
ความหมาย	3.84 ± 0.35 (3.55 – 4.13)	4.30 ± 0.33 (4.00 – 4.60)	3.09 ± 0.74 (2.47 – 3.70)	3.95 ± 0.17 (3.79 – 4.10)	4.12 ± 0.73 (3.56 – 4.68)	4.08 ± 0.36 (3.82 – 4.33)	3.39 ± 0.34 (3.15 – 3.63)	3.28 ± 0.43 (2.98 – 3.59)	3.66 ± 0.39 (3.38 – 3.93) 4.16 ± 0.46 (3.83 – 4.48)
ความหมายของนำพาและ	6.84 ± 1.07 (5.72 – 7.96)	5.00 ± 0.91 (3.56 – 6.44)	4.45 ± 0.46 (3.71 – 5.19)	4.86 ± 0.55 (4.18 – 5.54)	5.90 ± 0.63 (4.90 – 6.90)	4.81 ± 1.08 (3.47 – 6.15)	4.23 ± 0.62 (3.46 – 4.99)	5.88 ± 0.22 (5.52 – 6.23)	4.64 ± 0.97 (3.43 – 5.85) 5.16 ± 0.19 (4.93 – 5.40)
เสียง	4.81 ± 1.53 (2.91 – 6.71)	4.02 ± 0.25 (3.40 – 4.63)	43.62 ± 1.03 (2.34 – 4.90)	4.80 ± 0.39 (4.31 – 5.29)	5.25 ± 0.43 (4.72 – 5.79)	4.87 ± 0.33 (4.35 – 5.40)	4.89 ± 0.89 (3.79 – 6.00)	5.06 ± 0.29 (4.70 – 5.42)	4.58 ± 0.79 (3.31 – 5.84) 5.42 ± 0.19 (5.18 – 5.66)

ตารางที่ 18 แสดงค่าความถี่อัลลีล (Allele frequencies) ของหมอน้ำจืด *Paludomus* spp. ที่เก็บตัวอย่างจากจุดสำรวจ 10 พื้นที่ 1 : ไทรโยคน้อย, 2 : ไทรโยคใหญ่, 3 : หัวยเตาดำ, 4 : ลำธารข้างปอน้ำพุร้อนหินดาด, 5 : น้ำตกผาตาด, 6 : น้ำพุห้วยเขย่ง, 7 : ลำธารป่าชุมชนบ้านท่ามะเดื่อ, 8 : น้ำตกเกริงกระเตียง, 9 : น้ำตกไดซ่องถ่อง, 10 : น้ำตกตะเคียนทอง ( $n$  = จำนวนตัวอย่าง,  $h$  = ค่าเขตเทอร์โซโกซิตีต่อสิ่งมีชีวิต)

ชนิด	จุดสำรวจ									
	1	2	3	4	5	6	7	8	9	10
<i>Aldox</i>										
.32	1.000	1.000	1.000	1.000	1.000	1.000	1.000	1.000	1.000	1.000
$n$	30	30	30	30	30	30	30	30	30	30
$h$	0.0	0.0	0.0	0.0	0.0	0.0	0.0	0.0	0.0	0.0
<i>Est-1</i>										
.96	1.000	1.000	1.000	1.000	1.000	1.000	1.000	1.000	1.000	1.000
$n$	35	30	30	30	35	30	35	30	35	30
$h$	0.0	0.0	0.0	0.0	0.0	0.0	0.0	0.0	0.0	0.0
<i>Est-2</i>										
.68	1.000	1.000	1.000	1.000	1.000	1.000	1.000	1.000	1.000	1.000
$n$	35	30	30	30	35	30	35	30	35	30
$h$	0.0	0.0	0.0	0.0	0.0	0.0	0.0	0.0	0.0	0.0
<i>Est-3</i>										
.63	0.071	0.083	0.500	1.000	0.50	1.000	1.000	0.333	0.143	0.167
.54	0.929	0.914	0.500	0.0	0.50	0.0	0.0	0.667	0.857	0.833
$n$	35	30	30	30	35	30	35	30	35	30
$h$	0.132	0.158	0.500	0.0	0.500	0.0	0.0	0.444	0.245	0.278
<i>Est-4</i>										
.49	0.571	0.583	0.666		0.50	0.333	0.417	0.833	0.643	0.583
.46	0.429	0.417	0.0	Null	0.50	0.167	0.083	0.167	0.357	0.417
.44	0.0	0.0	0.334		0.0	0.500	0.500	0.0	0.0	0.0
$n$	35	30	30	30	35	30	35	30	35	30
$h$	0.490	0.486	0.445	-	0.500	0.611	0.569	0.278	0.459	0.486
<i>Est-5</i>										
.42	0.929	0.917	0.167	0.50	0.50	1.000	1.000	0.583	0.917	0.833
.35	0.071	0.083	0.833	0.50	0.50	0.0	0.0	0.417	0.083	0.167
$n$	35	30	30	30	35	30	35	30	35	30
$h$	0.132	0.152	0.278	0.500	0.500	0.0	0.0	0.486	0.152	0.278

ตารางที่ 18 (ต่อ)

ตารางที่ 19 แสดงค่าจำนวนอัลลีลเฉลี่ยต่อตำแหน่ง (Mean allele per locus) และเบอร์เชินต์สัดส่วนของยีนในสภาวะหลักรูปแบบ (Percent polymorphic loci) ค่าเขตเทอโรไชโกริไซโกริตี (heterozygosity) ทั้งค่าจริง ( $H_0$ ) และค่าตามทฤษฎี ( $H_e$ ) และค่าสัมประสิทธิ์ – F ( $F_{is}$ ) ของหอยน้ำจืด *Paludomus spp.*

ชุดสำรวจ	จำนวน อัลลีล เฉลี่ยต่อ ตำแหน่ง	เบอร์เชินต์สัด ส่วนยีนใน สภาวะหลัก รูปแบบ	ค่าเขตเทอโรไชโกริ		ค่า $F_{is}$
			ค่าจริง ( $H_0$ )	ค่าตามทฤษฎี ( $H_e$ )	
น้ำตกไทรโยคน้อย	1.250	0.250	0.095	0.063	-0.508
น้ำตกไทรโยคใหญ่	1.250	0.250	0.097	0.066	-0.469
หัวยเลเตาดำ	1.250	0.250	0.083	0.102	0.186
ลำหารข้างบ่อน้ำพุร้อนพินดาด	1.000	0.083	0.083	0.042	-0.976
น้ำตกพادาด	1.250	0.250	0.250	0.125	-1.00
น้ำพุหัวยแซยং	1.167	0.083	0.083	0.051	-0.627
ลำหารป่าซูมชนบ้านท่ามะเดื่อ	1.167	0.250	0.083	0.047	-0.766
น้ำตกเกริงกระเวีย	1.250	0.083	0.153	0.101	-0.515
น้ำตกไดซ่องถ่อง	1.250	0.083	0.095	0.071	-0.338
น้ำตกตะเคียนทอง	1.250	0.250	0.125	0.087	-0.437
ค่าเฉลี่ย	1.208	0.183	0.115	0.0755	-0.582

ตารางที่ 20 เสตดองค่าความเห็นอ่อนทางพัฒนวิถีกรรม (Genetic identity, I) (ตัวแบบ) และค่าระยะทางพัฒนวิถีกรรม (Genetic distance, D) (ตัวแบบ)  
 ชื่อชนิด Paludomus spp. ที่เก็บตัวอย่างจากจุดสำรวจ 10 ที่นี่ที่ 1 : ไฮโภคเนื้อย, 2 : ไฮโภคใหญ่, 3 : หัวใจเต้าดำ, 4 : สำราญ  
 ข้าวป่าอนุรักษ์ชนิดเดียว, 5 : นาฬิกผาตาด, 6 : นาพุหวยเชียง, 7 : ลิ้นกระปานป่าเขียว, 8 : นาตาเกรี้ยวตะเคียน, 9 : นาตาเกรี้ยว  
 ข้อคงอยู่, 10 : นาตาเกรี้ยวเตียนและ

จุดสำรวจ	1	2	3	4	5	6	7	8	9	10
1	-	0.999959	0.644431	0.788739	0.874229	0.906736	0.817923	0.886110	0.909745	0.908328
2	0.000399	-	0.646966	0.791336	0.875744	0.908626	0.819823	0.887785	0.90988	0.908559
3	0.439390	0.435461	-	0.65/046	0.689351	0.636883	0.730851	0.788151	0.743749	0.751514
4	0.237330	0.234033	0.418480	-	0.952381	0.868741	0.867144	0.829804	0.799022	0.808019
5	0.134413	0.132681	0.372005	0.048791	-	0.845879	0.844324	0.892466	0.878248	0.885680
6	0.097904	0.095811	0.451169	0.140710	0.167379	-	0.911739	0.831792	0.828524	0.829273
7	0.200987	0.198667	0.313546	0.142550	0.169219	0.092401	-	0.925357	0.911732	0.918347
8	0.120914	0.119026	0.238066	0.186566	0.113767	0.184173	0.077597	-	0.983373	0.986000
9	0.094591	0.094443	0.296052	0.224369	0.129827	0.188110	0.085850	0.016767	-	0.999019
10	0.096149	0.095898	0.285665	0.213170	0.121399	0.187206	0.085180	0.014099	0.000981	-

ตารางที่ 21 แสดงระยะทางการเคลื่อนที่และน้ำหนักโมเลกุลของແບປປຣີນມາຕຽ້ານ ແລະ ແບປປຣີນຂອຍນໍ້າຈືດ *Paludomus spp.*

ແບປປຣີນ	ຮະຍະທາງ (ມມ.)	ຮະຍະທາງການເຄລືອນທີ່	ນ້ຳໜັກໂມເລກຸລ
<b>ປປຣີນມາຕຽ້ານ</b>			
Albumin, Bovine Serum	4.1	0.465	132,000
	6.4	0.787	66,000
Albumin, Chicken Egg	6.4	0.787	66,000
	7.1	0.807	45,000
<b>ປປຣີນຂອຍນໍ້າຈືດ</b>			
1	0.5	0.057	253,128
2	0.7	0.079	229,456
3	1.0	0.125	217,854
4	1.4	0.159	209,087
5	1.6	0.181	203,415
6	2.0	0.227	191,813
7	2.4	0.272	180,469
8	2.6	0.295	174,794
9	3.4	0.386	152,109
10	3.9	0.443	137,671
11	4.9	0.557	108,797
12	5.3	0.602	97,453
13	5.8	0.659	83,023
14	6.4	0.727	66,000
15	7.9	0.806	45,000
16	8.2	0.932	37,965
17	8.6	0.977	35,435

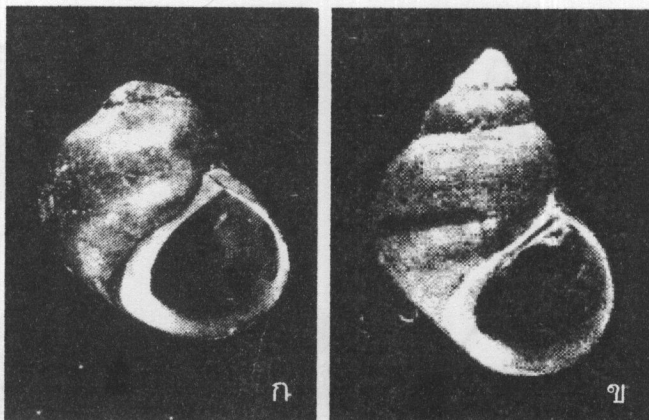
ตารางที่ 22 แสดงลักษณะของหอยน้ำจืด *Paludomus* spp. ทั้ง 10 พื้นที่ ที่แตกต่างกัน 20 ลักษณะ 1 : ไทรโยคน้อย, 2 : ไทรโยคใหญ่, 3 : หัวยเต่าดำ, 4 : ลำ嘲รข้างบ่อหน้าพุร้อนหินดาด, 5 : น้ำตกผาตาด, 6 : น้ำพุหัวยเขย่ง, 7 : ลำ嘲รป่าชุมชนบ้านท่ามะเดื่อ, 8 : น้ำตกเกวิงกระเวีย 9 : น้ำตกไดซ่องถ่อง, 10 : น้ำตกตะเคียนทอง

ลักษณะ	1	2	3	4	5	6	7	8	9	10
ลักษณะเปลือกเป็นกรวยรูปไข่ (0), รูปกรวยกลม (1)	0	1	1	0	0	1	0	1	1	1
ปลายยอดไม่ตัด (0), ปลายยอดตัด (1)	0	0	1	0	0	0	0	0	0	0
ผิวเปลือกมี spiral line (0), ผิวเปลือกเรียบ (1)	1	1	1	1	0	0	1	0	0	0
ชูเซอร์เป็นร่องลึก (0), ชูเซอร์ไม่เป็นร่องลึก (1)	0	0	1	0	0	0	0	0	0	0
ขอบปากเปลือกด้านในแคบ (0), ขอบด้านในกว้าง (1)	0	0	1	0	0	0	0	0	0	0
มุมสไปร์ < 70 (0), มุมสไปร์ > 70 (1)	0	1	1	0	0	1	0	1	1	1
สไปร์เวิร์ลสูง (0), สไปร์เวิร์ลต่ำ (1)	0	0	1	0	0	0	0	0	0	0
พื้นข้างมีหยักตรงกลางแคบ (0), หยักกลางกว้าง (1)	0	0	1	0	0	0	0	0	0	0
หยักพื้นริมละเอี้ยดมี < 20 (0), หยักพื้นมี > 20 (1)	0	0	1	0	0	0	0	0	0	0
หยักพื้นริมหยาบมี < 8 (0), หยักพื้มี > 8 (1)	0	0	0	1	0	1	0	0	0	0
หยักพื้นกลางมี < 5 (0), หยักพื้นกลางมี > 5 (1)	0	0	1	0	0	0	0	0	0	0
เหนเทเดลิมมีลายเป็นข้อปล้อง (0), ไม่มีลาย (1)	0	0	1	0	0	0	0	0	0	0
รอบตามีเมืองค์วัตถุ (0), รอบตามีเมืองค์วัตถุ (1)	0	0	1	0	0	0	0	0	0	0
ปราภูอัลลิต $Lap-2^{38}$ (0), อัลลิต $Lap-2^{43}$ (1)	0	0	1	0	0	0	0	0	0	0
ปราภูอัลลิต $Ldh^{92}$ (0), อัลลิต $Ldh^{85}$ (1)	0	0	1	0	0	0	0	0	0	0
ปราภูอัลลิต $Mdh-1^{82}$ (0), อัลลิต $Mdh-1^{90}$ (1)	0	0	1	?	?	0	1	1	1	1
ไม่ปราภูอัลลิต $Mdh-2$ (0), ปราภูอัลลิต $Mdh-2^{77}$ (1)	0	0	0	1	1	0	0	0	0	0
ยืน <i>Est-3</i> เป็นเขตเทโพໄiziigoit (0), เป็นโขโนໄiziigoit (1)	0	0	0	1	0	1	1	0	0	0
ยืน <i>Est-4</i> เป็นเขตเทโพໄiziigoit (0), เป็นโขโนໄiziigoit (1)	1	1	1	?	1	0	0	1	1	1
ยืน <i>Est-5</i> เป็นเขตเทโพໄiziigoit (0), เป็นโขโนໄiziigoit (1)	0	0	0	0	0	1	1	0	0	0

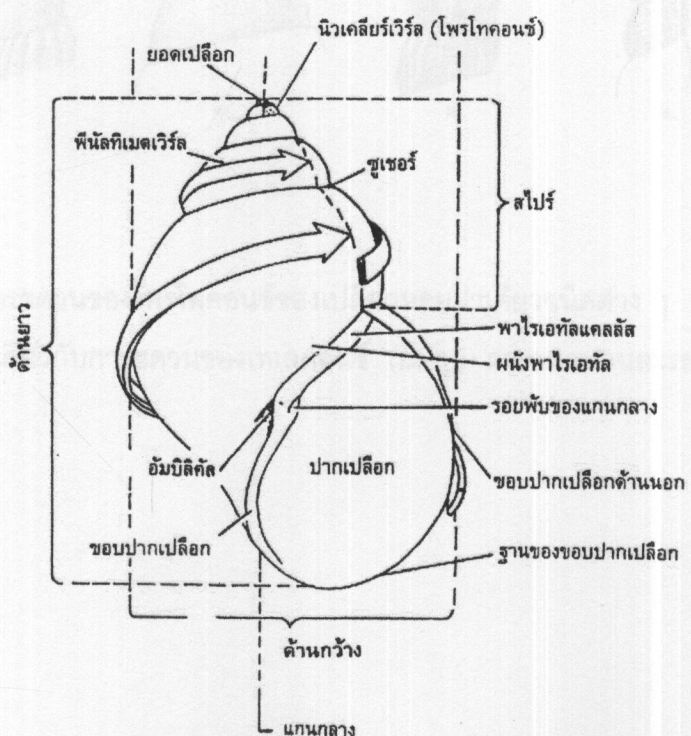
ตารางที่ 23 แสดงจำนวนลักษณะของชนิด *Paludomus* spp. ที่แตกต่าง (Total character differences) (ต้านทาน) และค่าเฉลี่ยของจำนวนลักษณะที่แตกต่างกัน (Mean character differences) (ต้านทาน) 1 : ไม่โดยคุณอย, 2 : ให้โดยคุณอย, 3 : หัวแยกสำเภา, 4 : ลำธาร้ำงปากน้ำพุรุษหนวดตาด, 5 : น้ำตกผาตาด, 6 : น้ำทุ่งเขย่ง, 7 : ลำธารป่าดงดูนบ้านท่ามະเดือน, 8 : น้ำตกเกริงกระ徽, 9 : น้ำตกไทรห้อง, 10 : น้ำตกตะเคียนหอก

จุดสำรวจ	1	2	3	4	5	6	7	8	9	10
1	-	0.10000	0.70000	0.15667	0.10526	0.35000	0.20000	0.20000	0.20000	0.20000
2	2	-	0.60000	0.27778	0.21053	0.25000	0.30000	0.10000	0.10000	0.10000
3	14	12	-	0.77778	0.78947	0.85000	0.80000	0.60000	0.60000	0.60000
4	3	5	14	-	0.16667	0.38889	0.16667	0.33333	0.33333	0.33333
5	2	4	15	3	-	0.36842	0.26316	0.15789	0.15789	0.15789
6	7	5	17	7	7	-	0.25000	0.25000	0.25000	0.25000
7	4	6	16	3	5	5	-	0.30000	0.30000	0.30000
8	4	2	12	6	3	5	6	-	0.00000	0.00000
9	4	2	12	6	3	5	6	0	-	0.00000
10	4	2	12	6	3	5	6	0	0	-

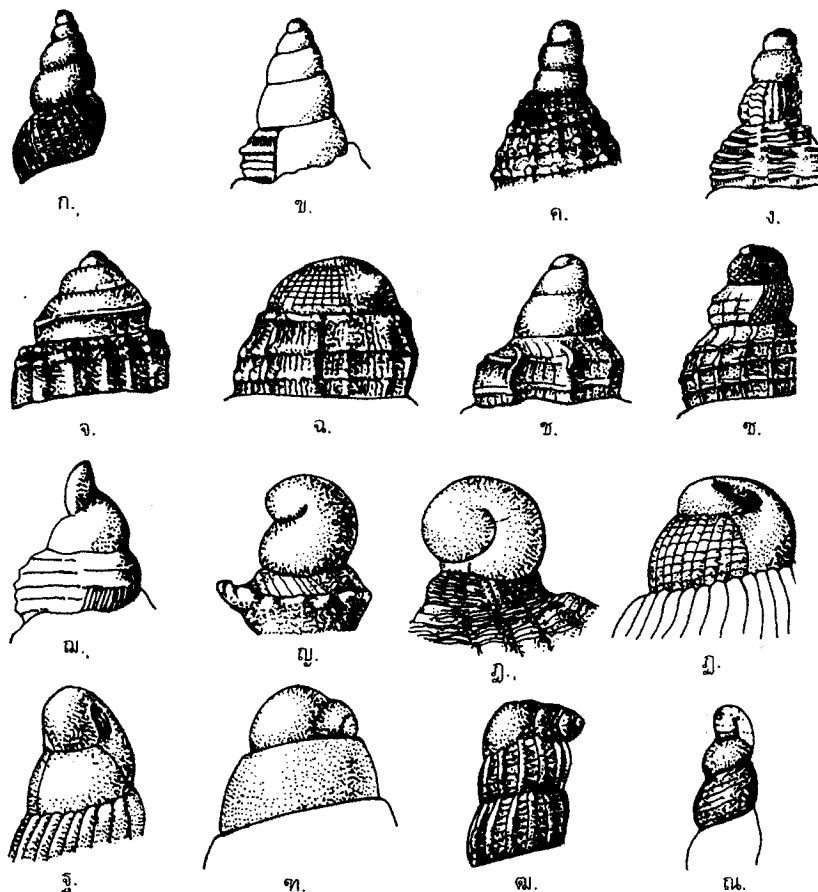
**ภาคผนวก ๖**  
**ภาพประกอบการวิจัย**



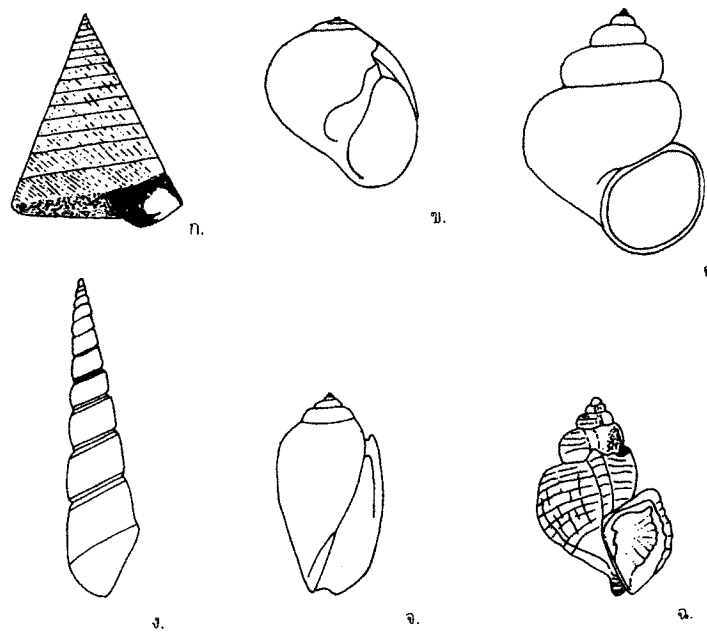
รูปที่ 1 แสดงภาพเปลือกหอยน้ำจืด *Paludomus* spp. (ก) *Paludomus petrosus* (ข)  
*Paludomus siamensis* (Brandth, 1974)



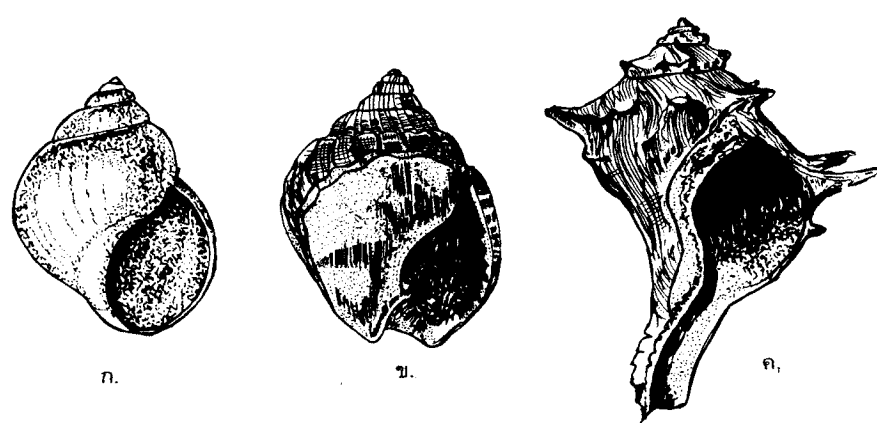
รูปที่ 2 แสดงโครงสร้างต่าง ๆ ของเปลือกหอยฝ่าเดียว (สุชาติ, 2538)



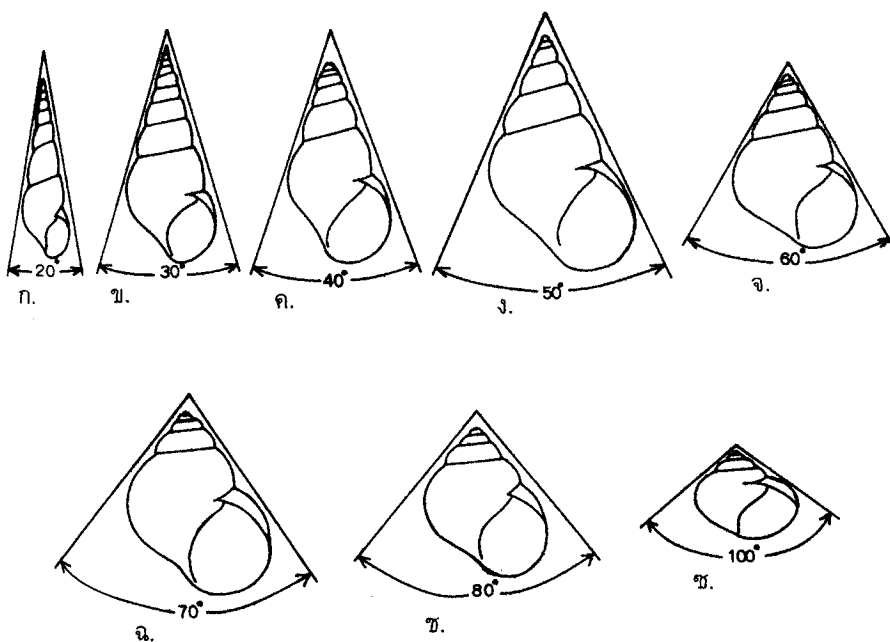
รูปที่ 3 ลักษณะการขดวนของโพรงหินซึ่งเปลือกหอยฝ่าเดียวชนิดต่าง ๆ (ก-ช) การขดวนในระบบเดียวกับการขดวนของเทเลคอนซ์ (ณ-ญ) การขดวนคนละระบบกัน (สุชาติ, 2538)



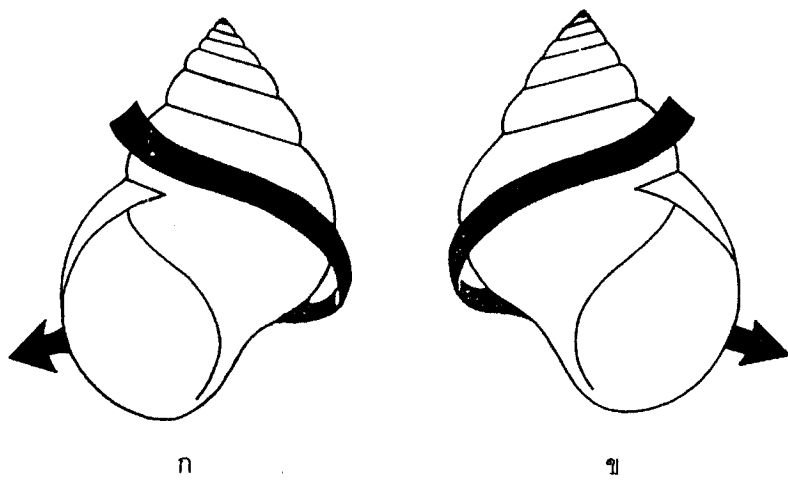
รูปที่ 4 ลักษณะของหูเชอร์ในหอยฝ่าเดียวแบบต่าง ๆ (ก) หูเชอร์แบบฟลัช (ข) หูเชอร์แบบแอด เพรสต์ (ค) หูเชอร์แบบลีก (จ) หูเชอร์แบบเป็นร่อง (ฉ,ธ) หูเชอร์แบบเป็นร่องยาวและ ลีก (สุชาติ, 2538)



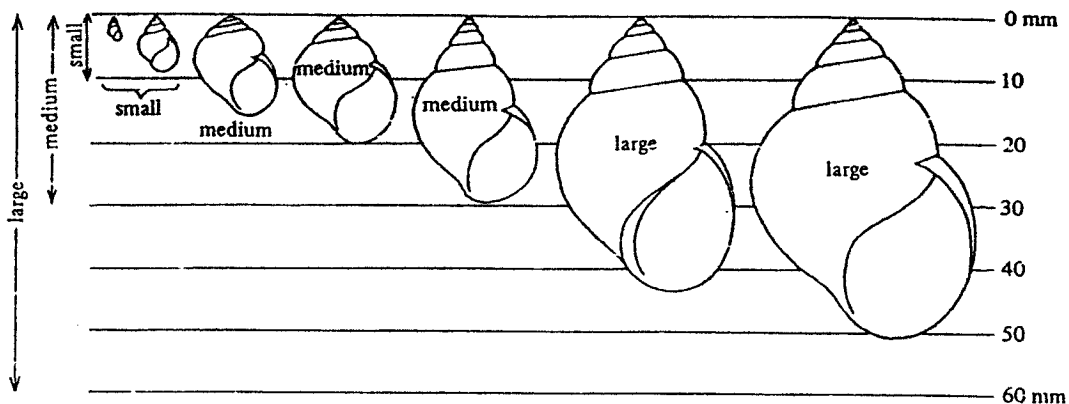
รูปที่ 5 เปล็อกหอยฝ่าเดียวลักษณะต่าง ๆ (ก) ลักษณะไฮโลสโตร์มาทัส (ข, ค) ลักษณะไซโพ โนสโตร์มาทัส



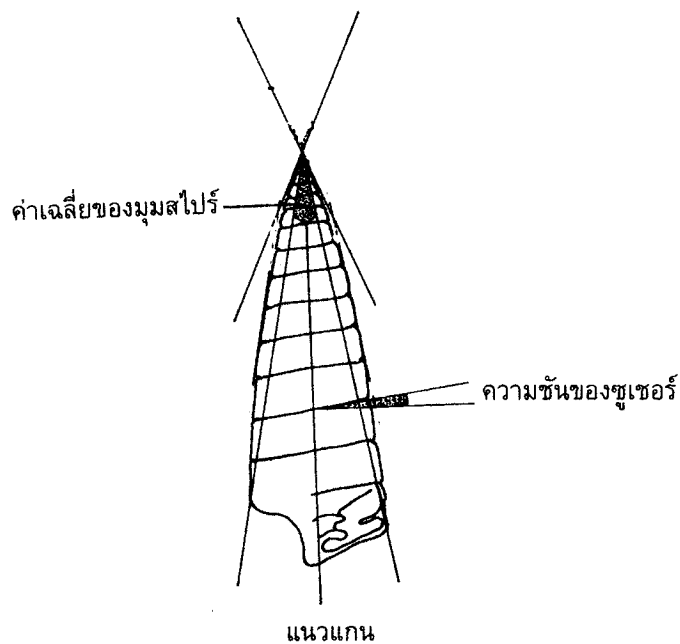
รูปที่ 6 แสดงเปลือกหอยรูปทรงกรวยแบบต่าง ๆ พิจารณาจากขนาดของมุนส์ไบร์ (ก, ช) รูปกรวยยาว (ค-จ) รูปกรวยรูปไข่ (ฉ, ช) รูปกรวยกลม (ซ) รูปกรวยเตี้ย (สุชาติ, 2538)



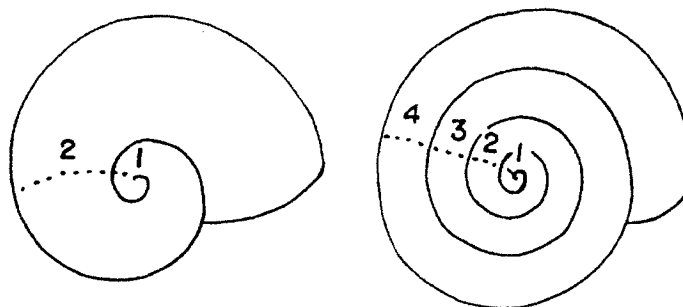
รูปที่ 7 แสดงลักษณะการขดวนของเปลือกหอยรูปทรงกรวย (ก) แบบชนิสทรัล หรือวนซ้าย (ช) แบบเด็กซ์ทรัล หรือวนขวา (สุชาติ, 2538)



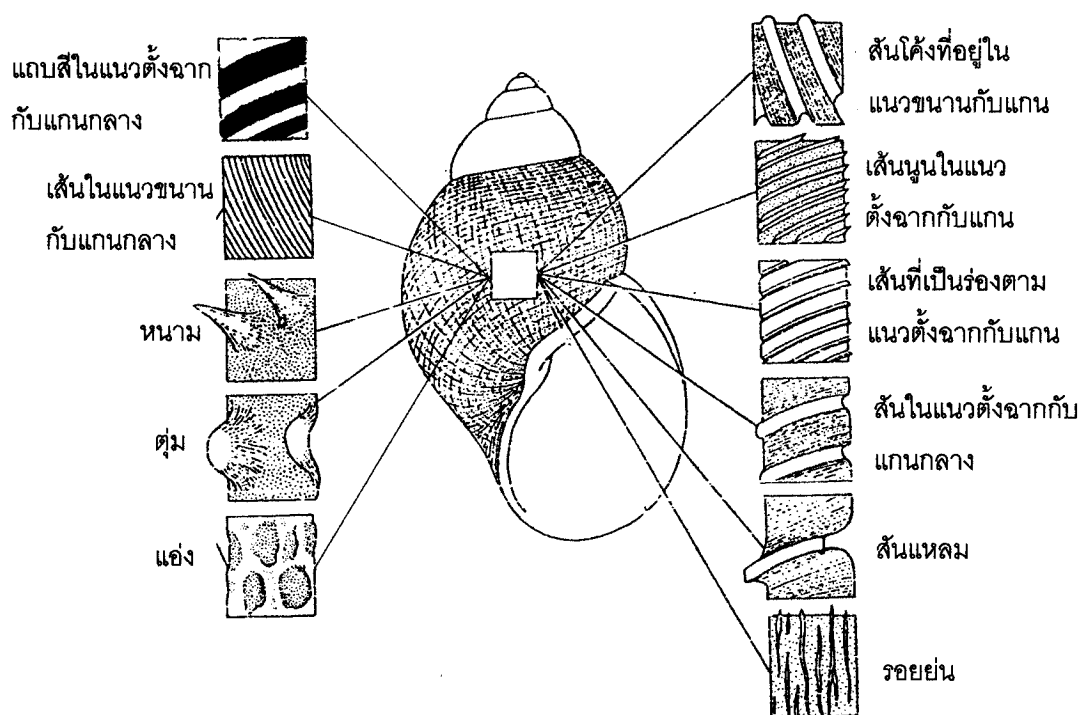
รูปที่ 8 แสดงการจำแนกเปลือกหอยที่มีขนาดต่าง ๆ กัน ขนาดเล็กมาก (<2 มิลลิเมตร) ขนาดเล็ก (2-10 มิลลิเมตร) ขนาดกลาง (11-30 มิลลิเมตร) ขนาดใหญ่ (>30 มิลลิเมตร)



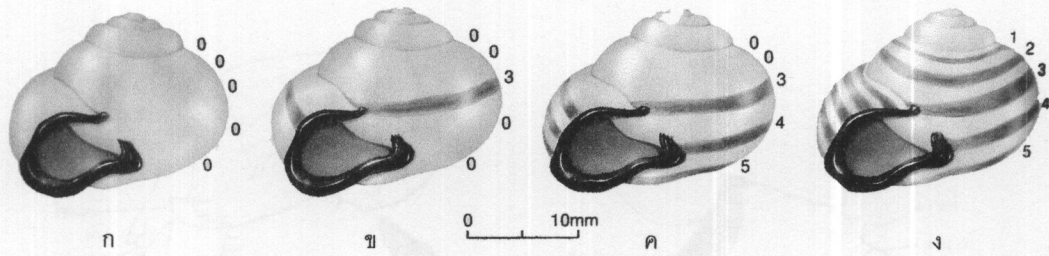
รูปที่ 9 แสดงการวัดมุ้งส์ไปร์ ในหอยทรงกรวยที่มีการขดวนอย่างปกติ (สุชาติ, 2538)



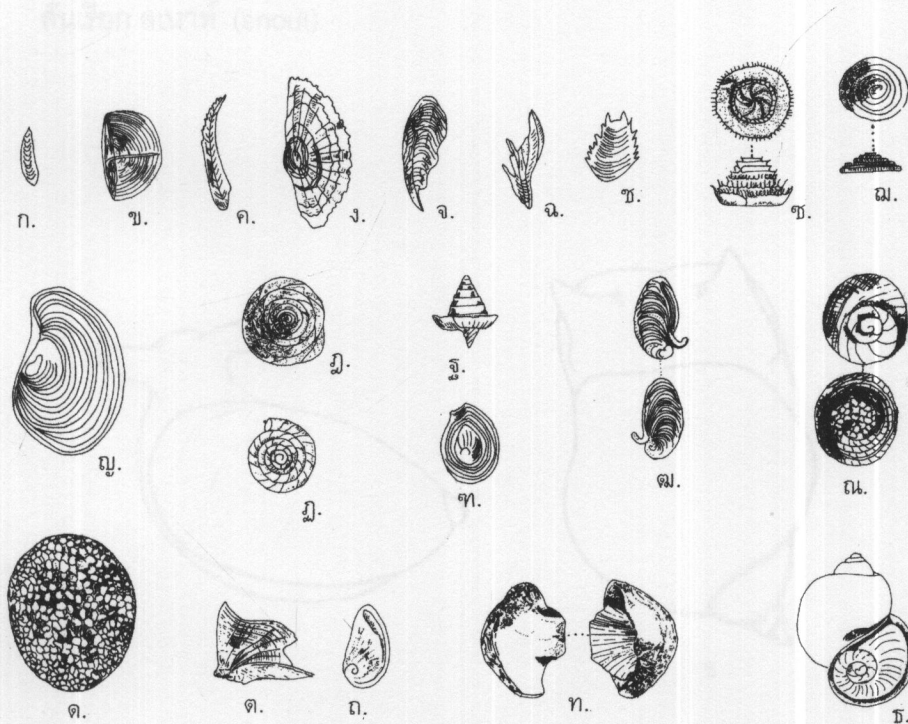
รูปที่ 10 แสดงลักษณะการนับจำนวนเวิร์ล (whorl) (สุชาติ, 2538)



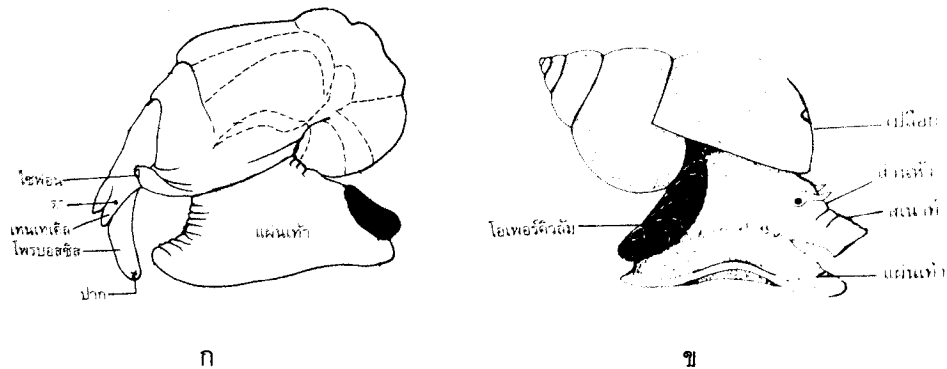
รูปที่ 11 แสดงลักษณะลวดลายแบบต่าง ๆ บนเปลือกหอย



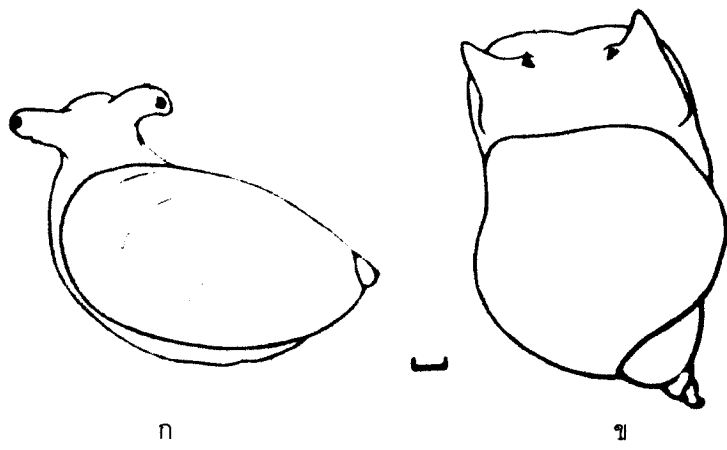
รูปที่ 12 แสดงลักษณะลายเปลือกหอยที่เป็นแบบสี่ในแนวการขดวนของเปลือกหอย (ก) เปลือกหอยที่ไม่มีลายແบสี (ข) เปลือกหอยมีลายແบสี 1 แบบ ตรงกลางเปลือก (ค) เปลือกหอยมีลายແบสี 3 แบบ (ง) เปลือกหอยมีลายແบสีจำนวน 5 แบบ (Weaver and Hendrick, 1991)



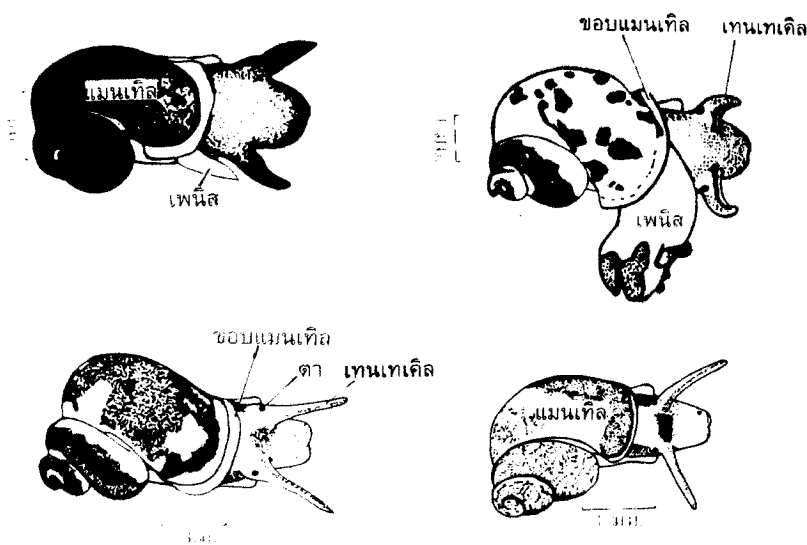
รูปที่ 13 แสดงลักษณะผ้าปิดปากเปลือก (operculum) (ก-ท) แสดงผ้าปิดปากเปลือกแบบต่างๆ (ช) แสดงหอยแบบเด็กซ์ทรัลที่มีผ้าปิดปากเปลือกแบบสไปรลทิวนทิศทางทวนเข็มนาฬิกา (สุชาติ, 2538)



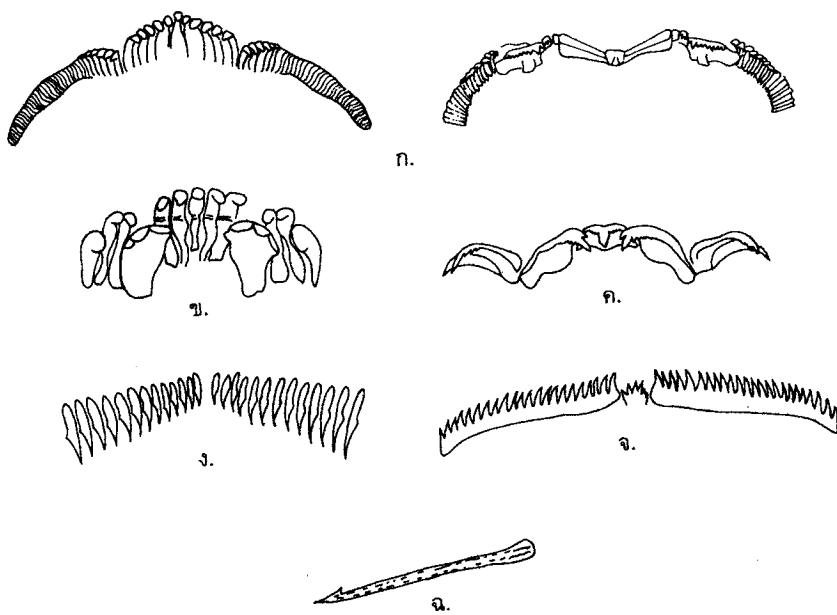
รูปที่ 14 แสดงลักษณะส่วนหัวของหอย (ก) ส่วนหัวของหอยที่ยื่นยาวเรียกว่ากามากรียกพรบคอสซิส (proboscis) (ข) ส่วนหัวหอยที่ยื่นออกไปเล็กน้อยทำให้เห็นเป็นลักษณะอ้วนสันเรียก سنเอาท์ (snout)



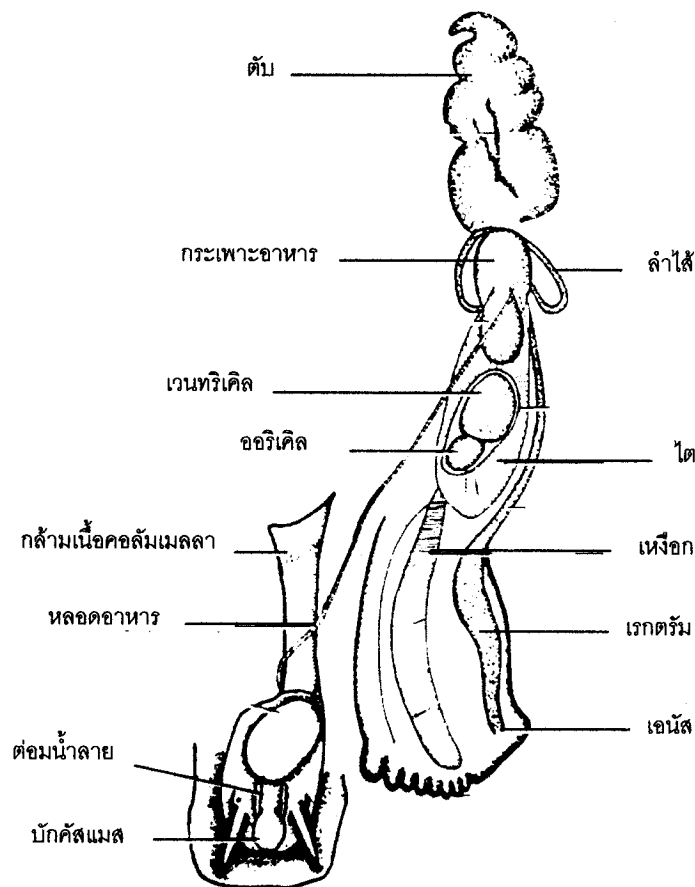
รูปที่ 15 แสดงตำแหน่งตาที่บริเวณเหนเทเดิล (ก) ตำแหน่งตาอยู่ที่ปลายเหนเทเดิล (ข) ตำแหน่งตาอยู่ที่โคนเหนเทเดิล (Brown, 1980)



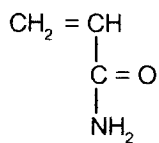
รูปที่ 16 แสดงลักษณะต่างๆ บนลำตัวหอยที่เปลือกหอย และแสดงตำแหน่งเวิร์จหรือเพนนิส  
ที่บีเวณคอด้านบนของหอยเพศผู้ (สุชาติ, 2538)



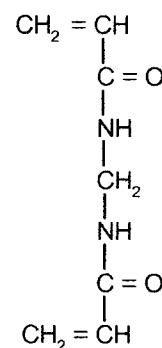
รูปที่ 17 แสดงพื้นฐานต่าง ๆ (ก) แบบไวร์จกลอชชา (ข) แบบไดโคลอชชา (ค) แบบทินโน  
กลอชชา (ง) แบบทีในกลอชชา (จ) แบบราคิกกลอชชา (ฉ) แบบโภเชกกลอชชา (สุชาติ,  
2538)



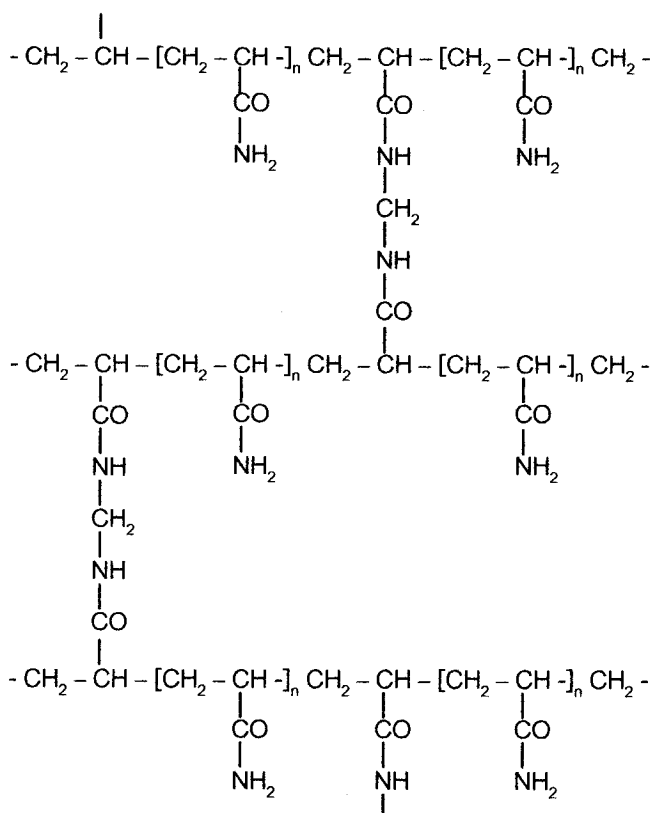
รูปที่ 18 แสดงอวัยวะภายในต่าง ๆ ของหอย ในระบบทางเดินอาหาร ระบบลำดิ่ง และระบบหายใจ (Malek and Cheng, 1974)



### Acrylamide

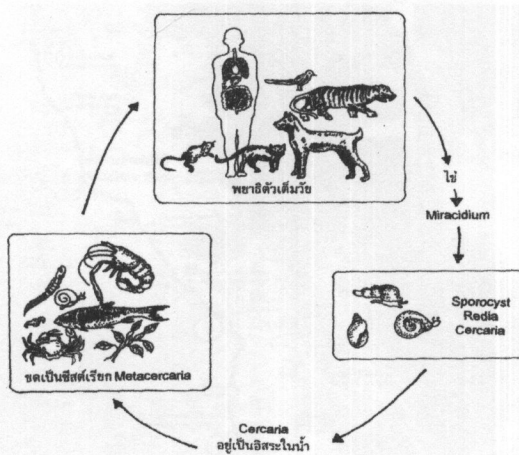


### N,N'-methylene bisacrylamide

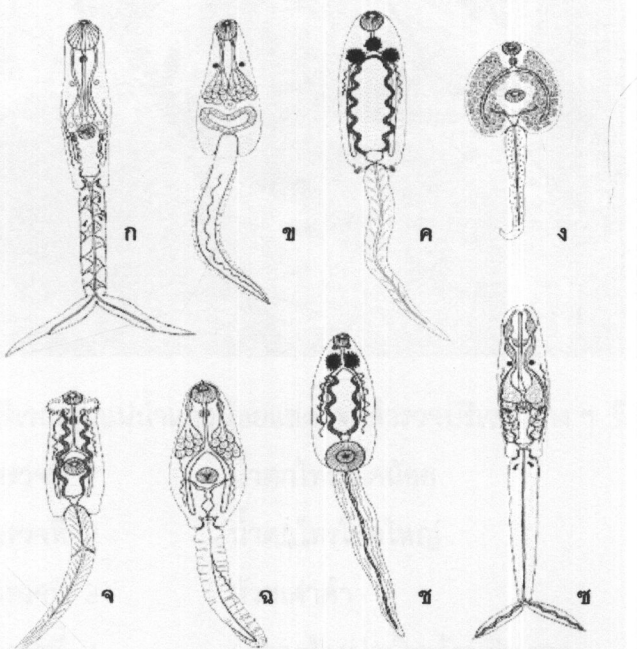


### Polyacrylamide gel

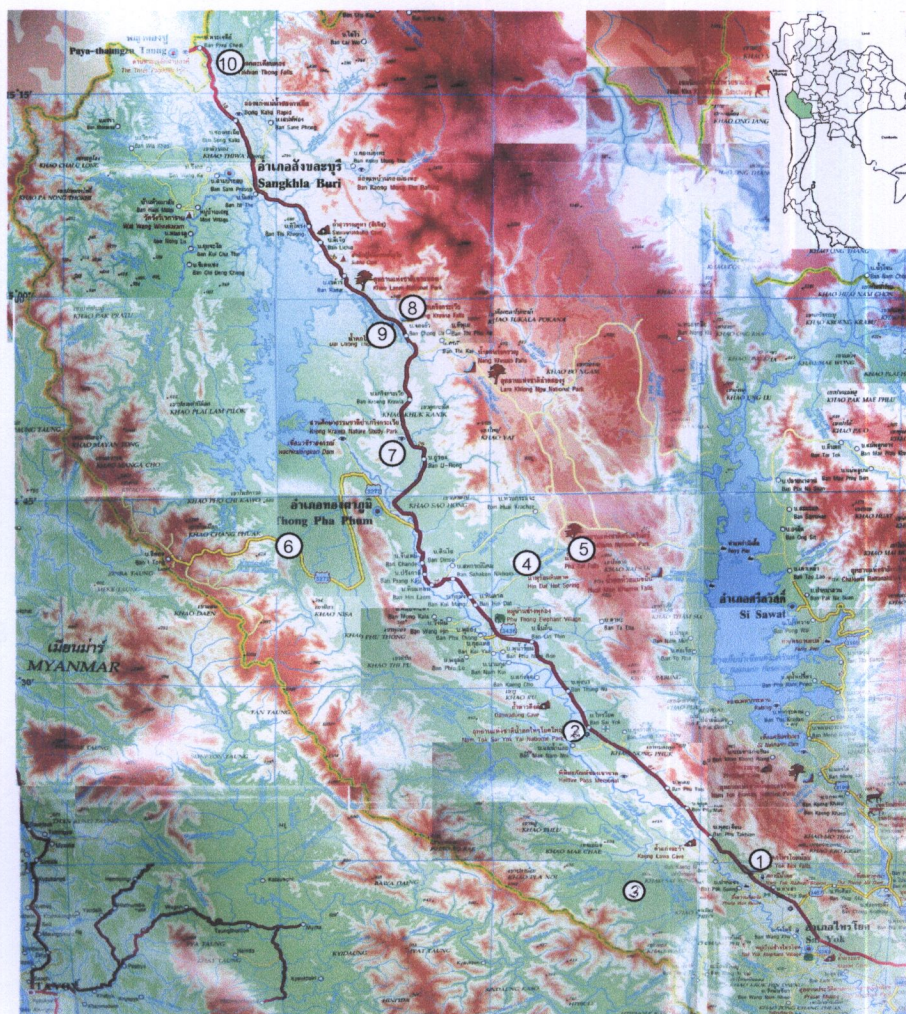
รูปที่ 19 แสดงโครงสร้างทางเคมีของอะคริลามีด บิสอะคริลามีด และโพลีอะคริลามีดเจล (สุรินทร์, 2545)



รูปที่ 20 แสดงวงจรชีวิตของพยาธิใบไม้ (กรมควบคุมโรคติดต่อ, 2541)



รูปที่ 21 แสดงรูปปัจจุบันลักษณะตัวอ่อนระยะเชื้อโรคเรียก (ก) Longifurcate cercariae  
 (ข) Pleurolophocercous cercariae (ก) Monostome cercariae  
 (ง) Gymnocephalous cercariae (จ) Echinostome cercariae  
 (น) Xiphidiocercariae (ก๙) Amphistome cercariae (ก๙) Brevifurcate  
 cercariae (Schell, 1962)

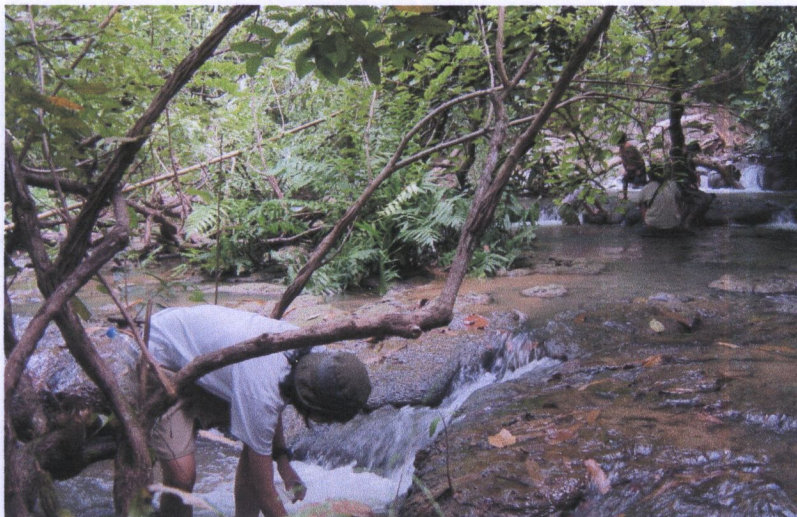


รูปที่ 22 ภาพแผนที่บริเวณลุ่มแม่น้ำแควน้อยแสดงจุดสำรวจบริเวณต่าง ๆ ที่กำหนดไว้

- |                |                             |
|----------------|-----------------------------|
| จุดสำรวจที่ 1  | น้ำตกไทรโยคน้อย             |
| จุดสำรวจที่ 2  | น้ำตกไทรโยคใหญ่             |
| จุดสำรวจที่ 3  | ห้วยเต่าดำ                  |
| จุดสำรวจที่ 4  | ลำธารข้างบ่อน้ำพุร้อนหินดาด |
| จุดสำรวจที่ 5  | น้ำตกผาดาด                  |
| จุดสำรวจที่ 6  | น้ำพุห้วยเขย่ง              |
| จุดสำรวจที่ 7  | ลำธารป่าชุมชนบ้านท่ามะเดื่อ |
| จุดสำรวจที่ 8  | น้ำตกเกริงกระเวียง          |
| จุดสำรวจที่ 9  | น้ำตกไดซ่องถ่อง             |
| จุดสำรวจที่ 10 | น้ำตกตะเคียนทอง             |



รูปที่ 23 แสดงสภาพแวดล้อมบริเวณน้ำตกไทรโยคน้อย อ. ไทรโยค จ. กาญจนบุรี



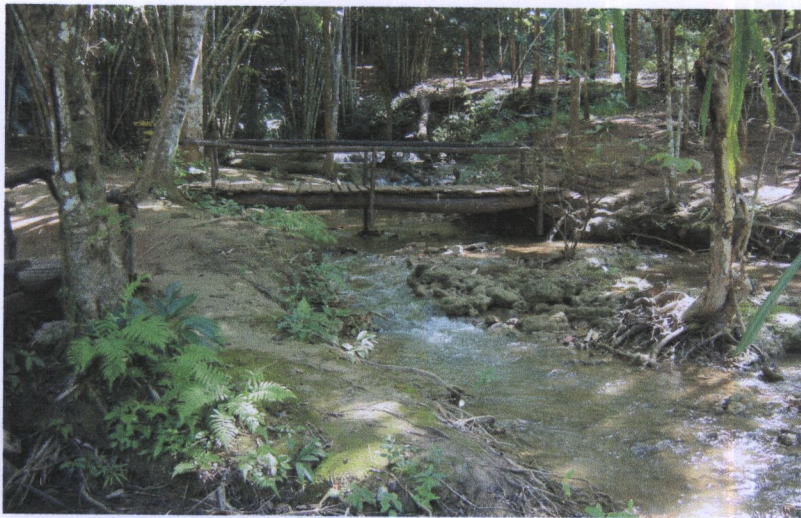
รูปที่ 24 แสดงสภาพแวดล้อมบริเวณน้ำตกไทรโยคใหญ่ อ. ไทรโยค จ. กาญจนบุรี



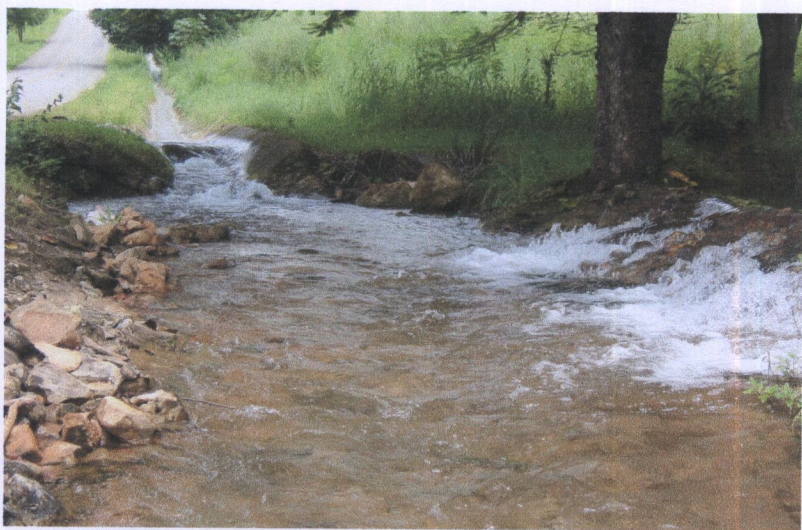
รูปที่ 25 แสดงสภาพแวดล้อมบริเวณหัวยเห่าดำเน อ. ไทรโยค จ. กาญจนบุรี



รูปที่ 26 แสดงสภาพแวดล้อมลำธารบริเวณบ่ออน้ำพุร้อนหินดาด อ. ทองผาภูมิ จ. กาญจนบุรี



รูปที่ 27 แสดงสภาพแวดล้อมบริเวณน้ำตกพาตาด อ. ทองผาภูมิ จ. กาญจนบุรี



รูปที่ 28 แสดงสภาพแวดล้อมบริเวณน้ำพุห้วยเขย่ง อ. ทองผาภูมิ จ. กาญจนบุรี



รูปที่ 29 แสดงสภาพแวดล้อมบริเวณลำธารป่าชุมชนบ้านท่ามะเดื่อ อ. ทองผาภูมิ จ. กาญจนบุรี



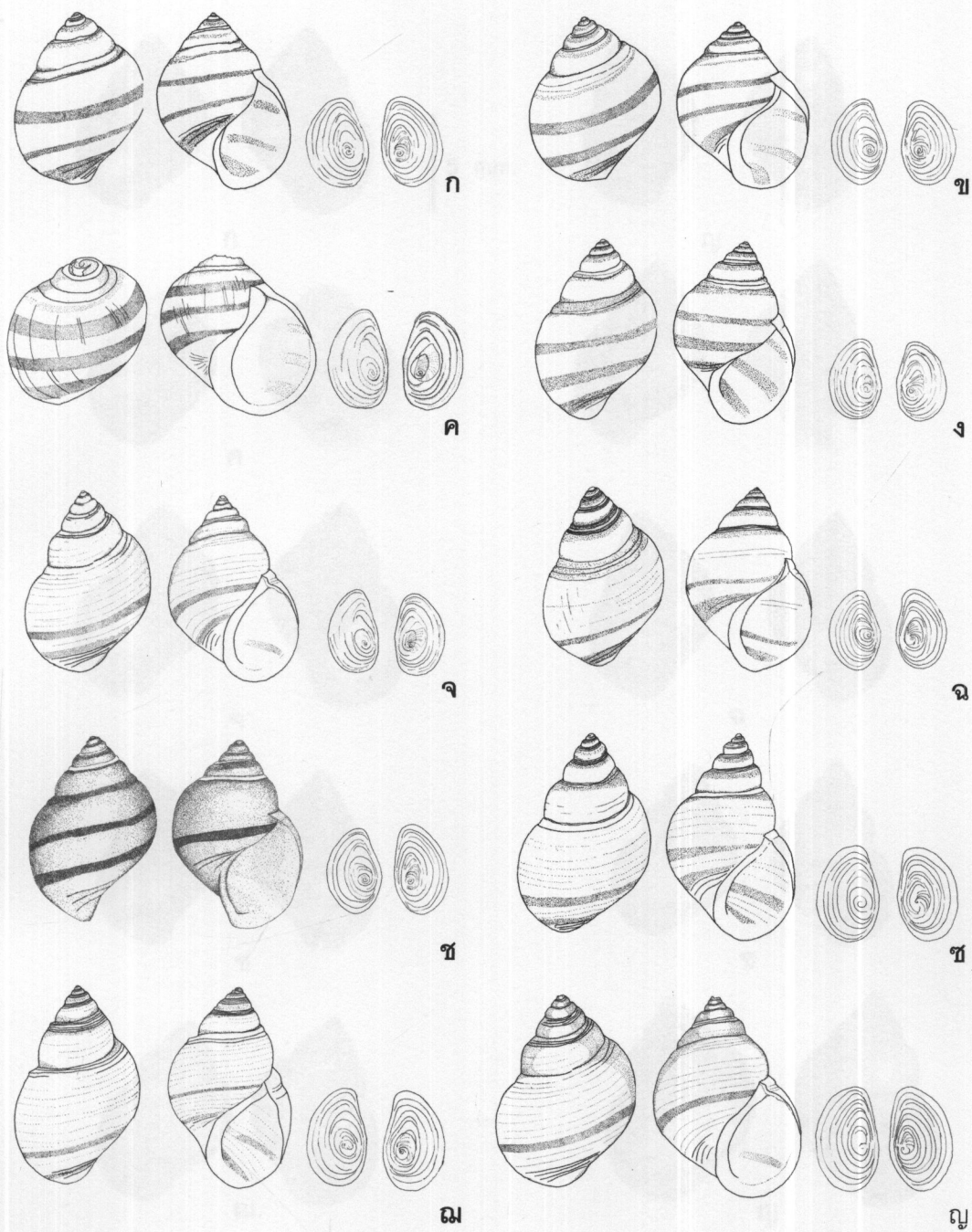
รูปที่ 30 แสดงสภาพแวดล้อมบริเวณน้ำตกเกริงกระเรีย อ. ทองผาภูมิ จ. กาญจนบุรี



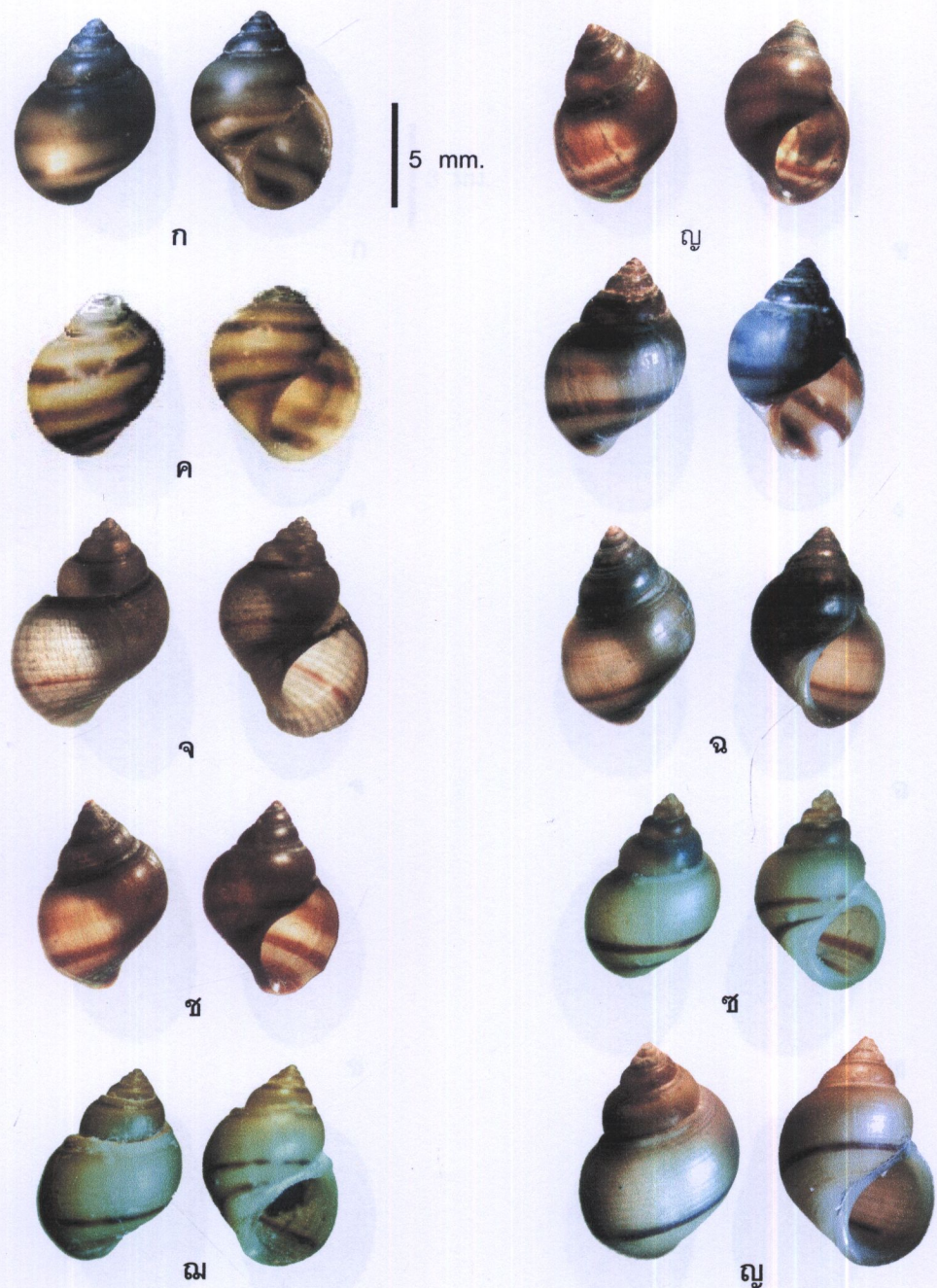
รูปที่ 31 แสดงสภาพแวดล้อมบริเวณน้ำตกได้ช่องถ่อง อ. ทองผาภูมิ จ. กาญจนบุรี



รูปที่ 32 แสดงสภาพแวดล้อมบริเวณน้ำตกตะเคียนทอง อ. สังขละบุรี จ. กาญจนบุรี



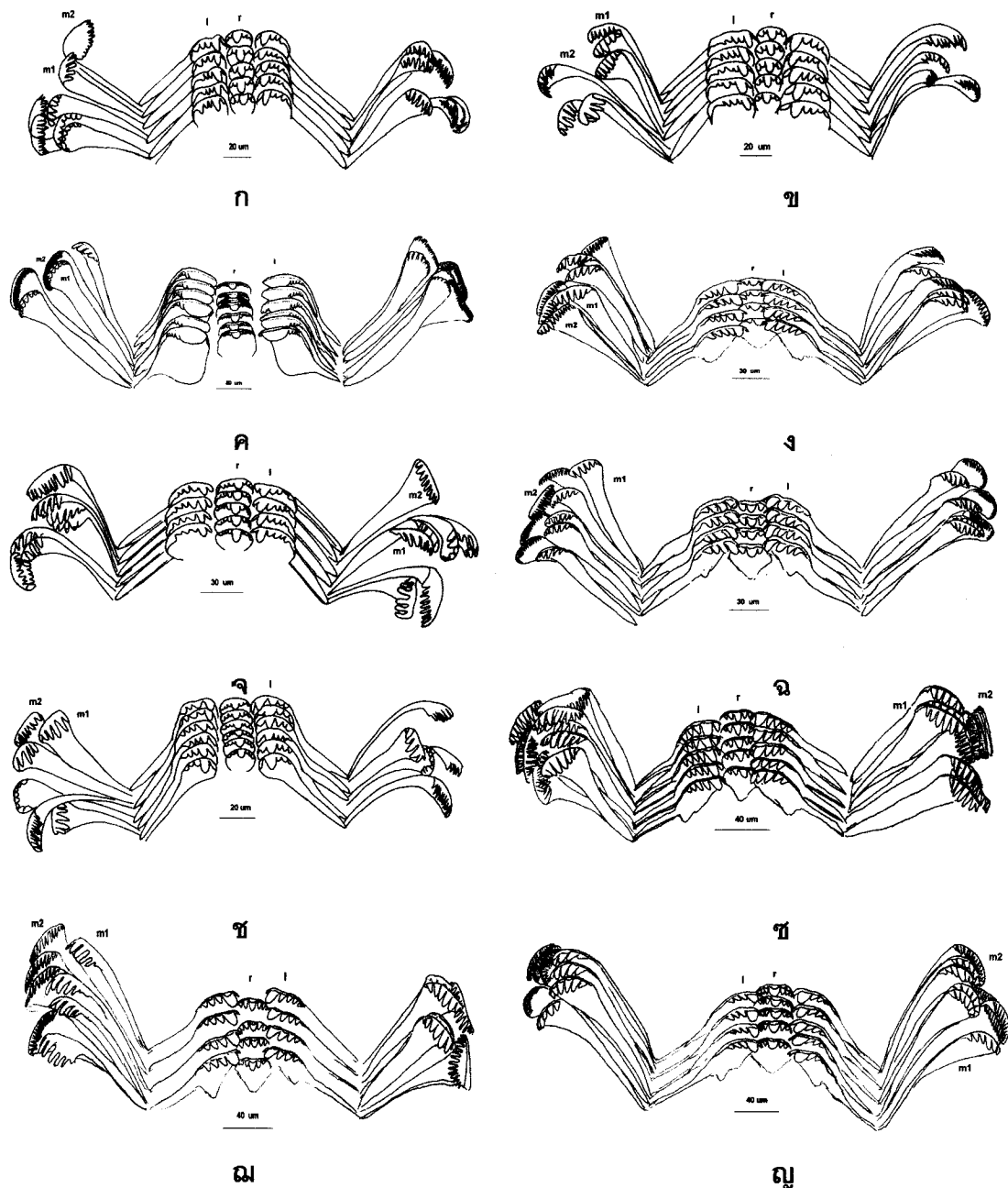
รูปที่ 33 แสดงภาพวาดเปลือกและฝาปิดปากเปลือกหอยน้ำจืด *Paludomus* spp. ที่เก็บจาก จุดสำรวจทั้ง 10 พื้นที่ (ก) น้ำตกไทรโยคน้อย (ข) น้ำตกไทรโยคใหญ่ (ค) หัวยเต่า คำ (จ) ลำธารข้างบ่อน้ำพุร้อนหินดาด (ฉ) น้ำตกพาตาด (ฉ) น้ำพุหัวยเขย่ง (ช) ลำธารป่าชุมชนบ้านท่ามะเดื่อ (ช) น้ำตกเกริงกระเวีย (ณ) น้ำตกไดซ่องต่อง และ (กุ) น้ำตกตะเคียนทอง



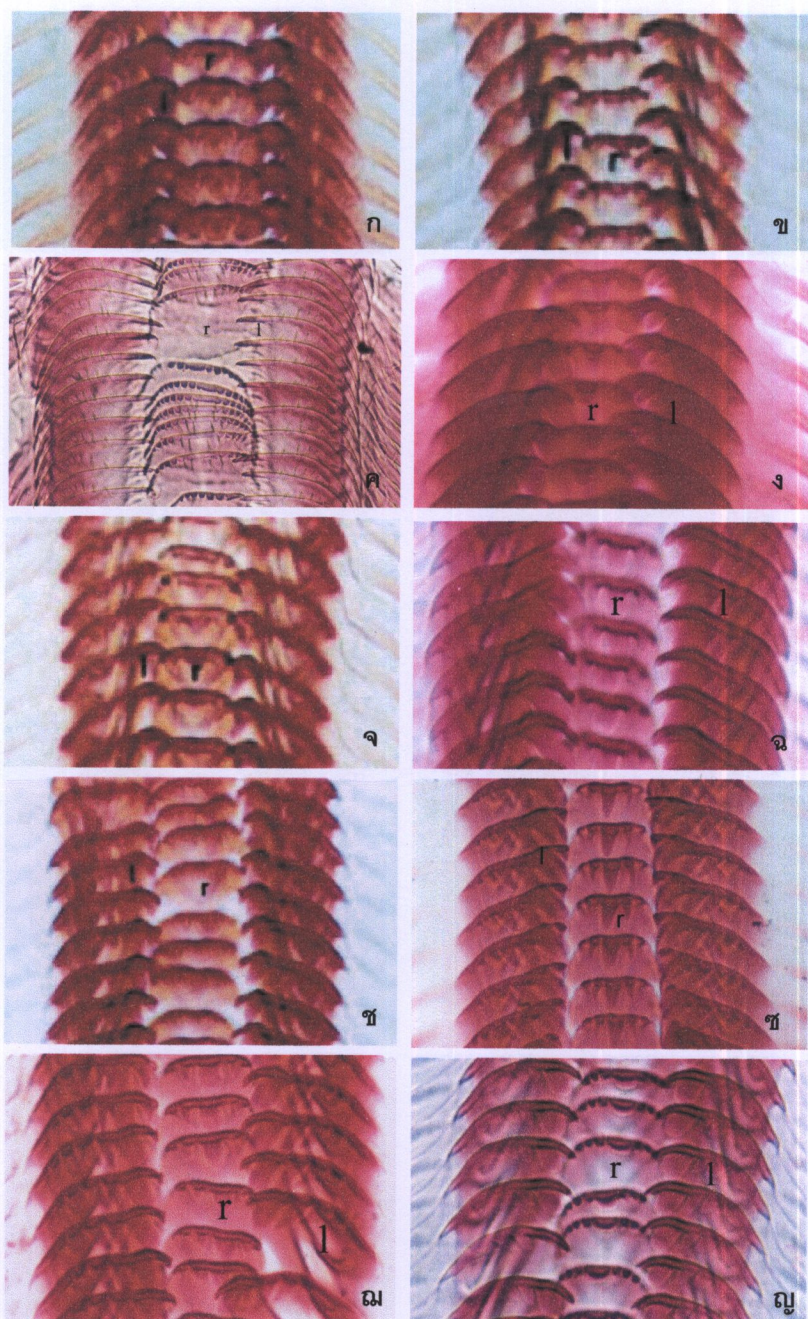
รูปที่ 34 แสดงเปลือกหอยน้ำจืด *Paludomus* spp. ที่เก็บจากจุดสำรวจทั้ง 10 พื้นที่ (ก) น้ำตากไทรโยคหอยน้ำจืด (ข) น้ำตากไทรโยคใหญ่ (ค) ห้วยเต่าดำ (ง) ลำธารข้างบ่อ่น้ำพุร้อน หินดาด (จ) น้ำตากผาลาด (ฉ) น้ำพุห้วยเขย่ง (ช) ลำธารป่าชุมชนบ้านท่ามะเดื่อ (ซ) น้ำตากเกริงกระเรีย (ณ) น้ำตากไดซ่องถ่อง และ (ญ) น้ำตากตะเคียนทอง



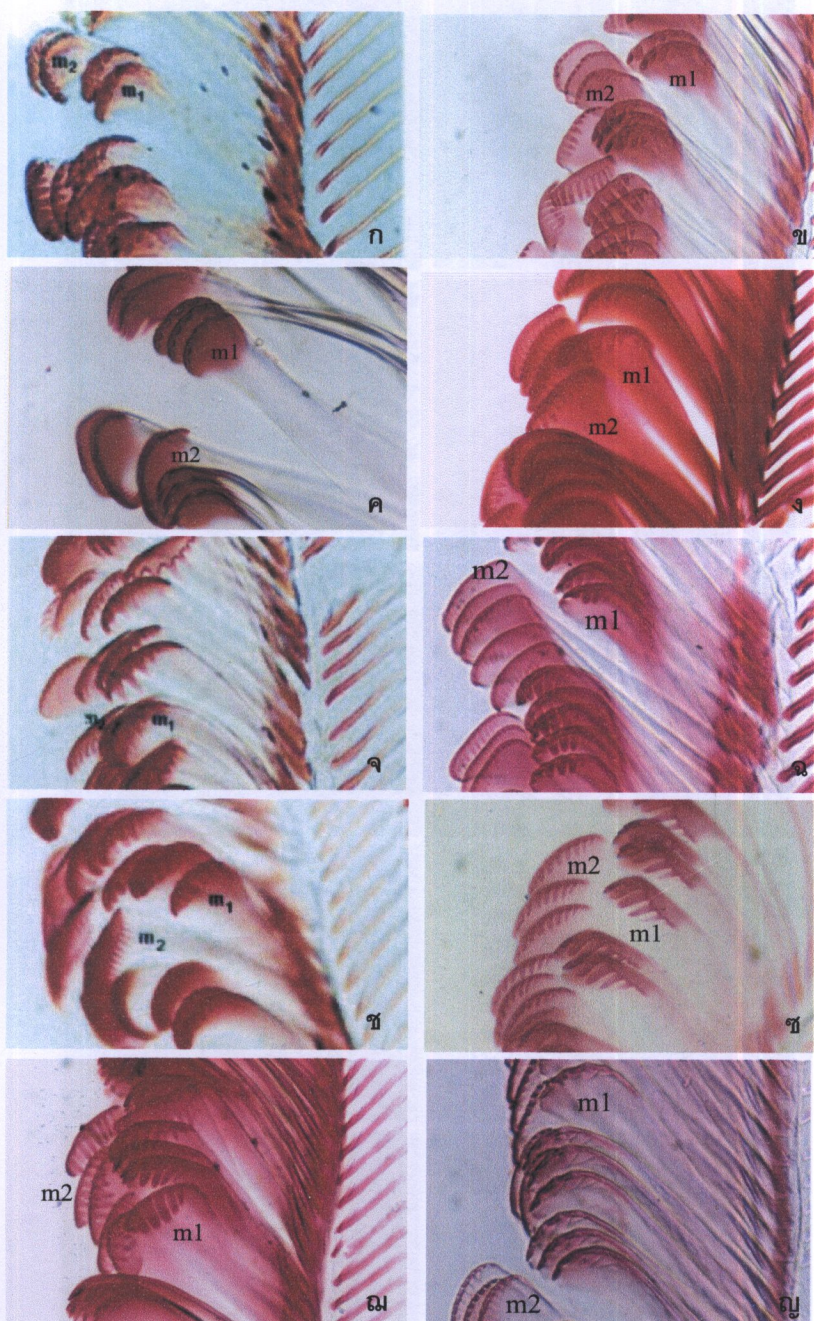
รูปที่ 35 แสดงฝาปิดปากเปลือกหอยน้ำจืด *Paludomus* spp. ที่เก็บจากจุดสำรวจทั้ง 10 พื้นที่  
 (ก) น้ำตกไทรโยคน้อย (ข) น้ำตกไทรโยคใหญ่ (ค) หัวยเต่าคำ (ง) ลำธารข้างบ่อ่นน้ำ  
 พุรีบนหินดาด (จ) น้ำตกพาตาด (ฉ) น้ำพุหัวยเขียง (ช) ลำธารป่าซุมชนบ้านท่า  
 มะเดื่อ (ซ) น้ำตกเกริง กระเรีย (ณ) น้ำตกได้ช่องถ่อง และ (ญ) น้ำตกตะเคียนทอง



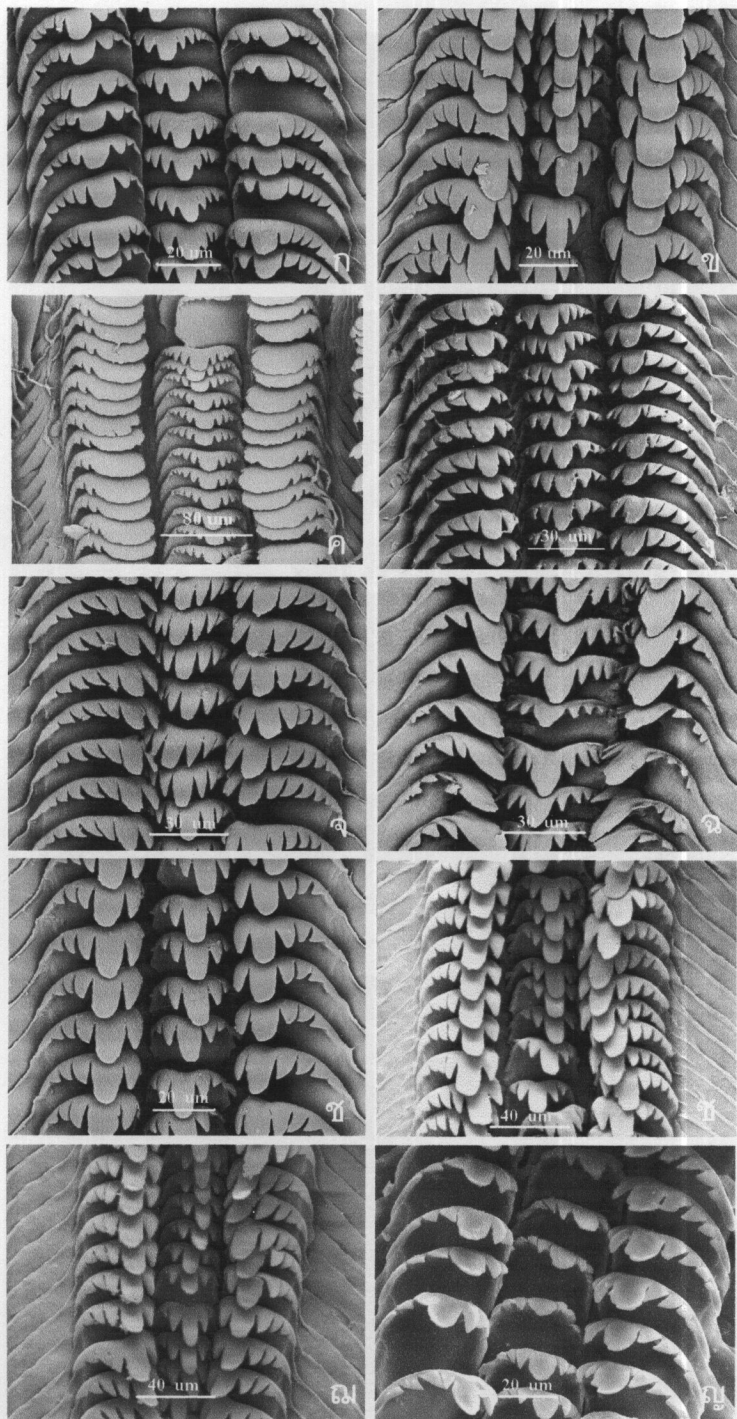
รูปที่ 36 ภาพวาดแสดงพื้นกลางและพื้นข้างของหอยน้ำจืด *Paludomus* spp. ที่เก็บจากจุดสำรวจทั้ง 10 พื้นที่ (ก) น้ำตกไทรโยคน้อย (ข) น้ำตกไทรโยคใหญ่ (ค) หัวยเต่าดำ (ง) ลำธารข้างบ่อน้ำร้อนหินดาด (จ) น้ำตกผาตาด (ฉ) น้ำพุหัวยเขย่ง (ช) ลำธารป่าชุมชนบ้านท่ามะเดื่อ (ฤ) น้ำตกเกริงกระเวียง (ณ) น้ำตกไดซ่องถ่อง และ (ฤ) น้ำตกตะเคียนทอง ( $r$ = rachis, พื้นกลาง,  $l$ = lateral, พื้นข้าง,  $m$ =marginal, พื้นวิม)



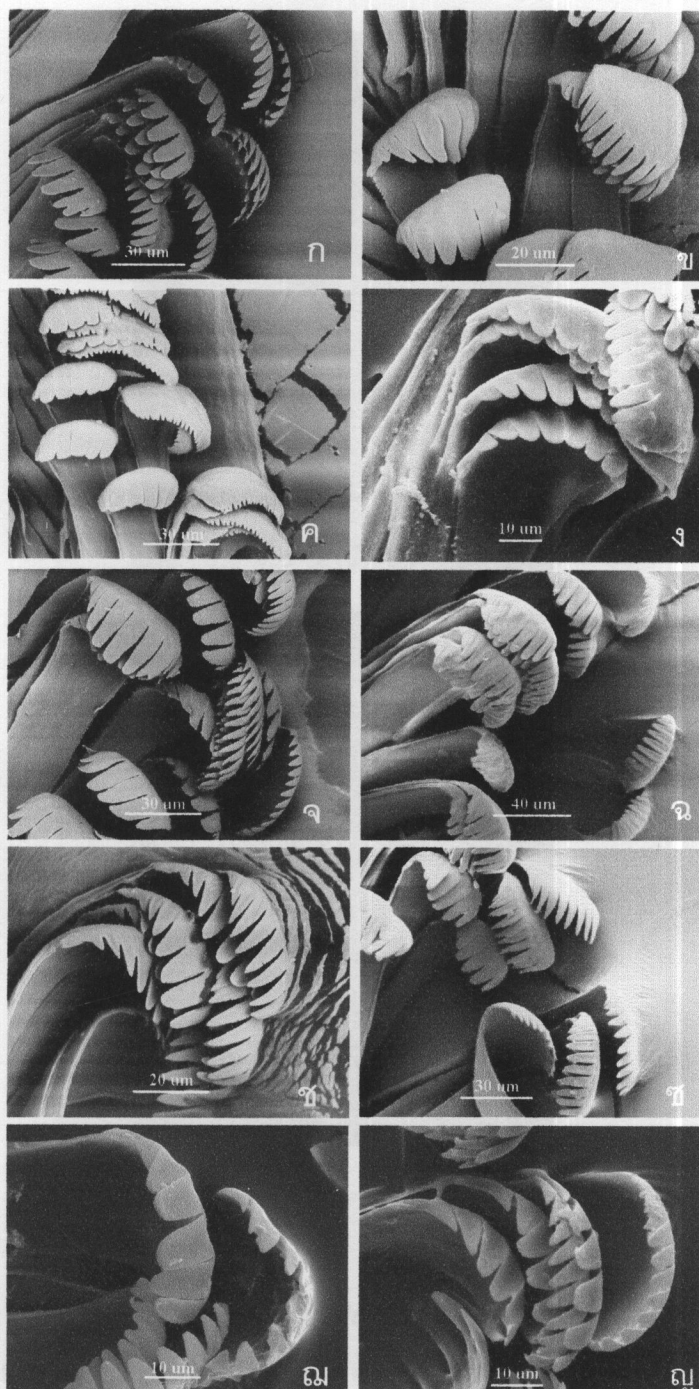
รูปที่ 37 ภาพจากกล้องจุลทรรศน์นิ่งธรรมด้าแสดงพื้นกลางและพื้นข้างของหอยน้ำจืด *Paludomus* spp. ที่เก็บจากจุดสำรวจทั้ง 10 พื้นที่ (ก) น้ำตกไทรโยคน้อย (ข) น้ำตกไทรโยคใหญ่ (ค) หัวยเตาดำ (ง) ลำธารข้างบ่อน้ำร้อนหินดาด (จ) น้ำตกผาตาด (ฉ) น้ำพุหัวยเขย่ง (ช) ลำธารป่าซุมชนบ้านท่ามะเดื่อ (ญ) น้ำตกเกริงกระเวียง (ณ) น้ำตกไดซ่องถ่อง และ (ญ) น้ำตกตะเคียนทอง ( $r$ =rachis, พื้นกลาง,  $l$ =lateral, พื้นข้าง)



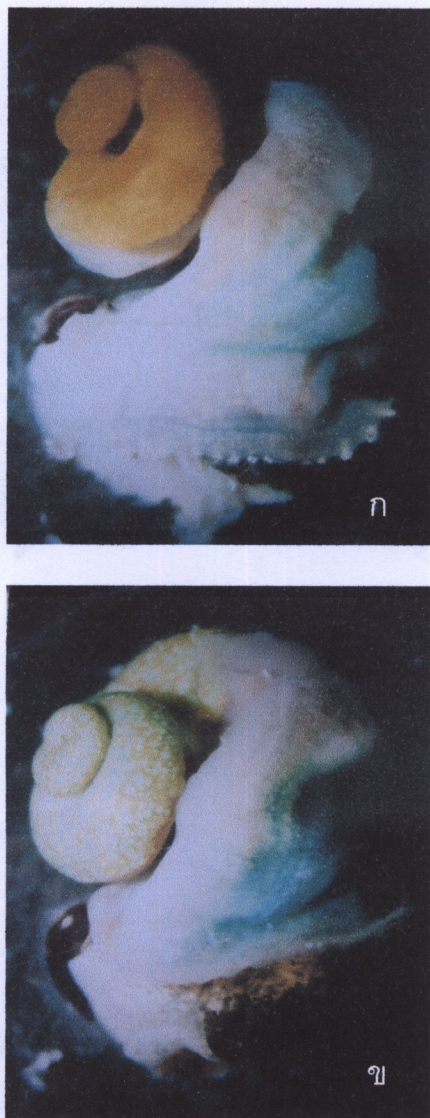
รูปที่ 38 ภาพจากกล้องจุลทรรศน์นิตรธรรมด้าแสดงฟันริมของหอยน้ำจืด *Paludomus* spp. ที่เก็บจากจุดสำรวจทั้ง 10 พื้นที่ (ก) น้ำตอกไทรโยคน้อย (ข) น้ำตอกไทรโยคใหญ่ (ค) หัวยเต่าดำ (ง) ลำธารข้างบ่อ่นพุร้อนหินดาด (จ) น้ำตอกผาตาด (ฉ) น้ำพุหัวยเขย่ง (ช) ลำธารป่าซุมชนบ้านท่ามะเดื่อ (ฐ) น้ำตอกเกริงกระเรียบ (ณ) น้ำตอกเดซ่องถ่อง และ (ญ) น้ำตอกตะเคียนทอง (*m<sub>1</sub>*= inner marginal, ฟันริมหยาบ; *m<sub>2</sub>*= outer marginal, ฟันริมละเอียด)



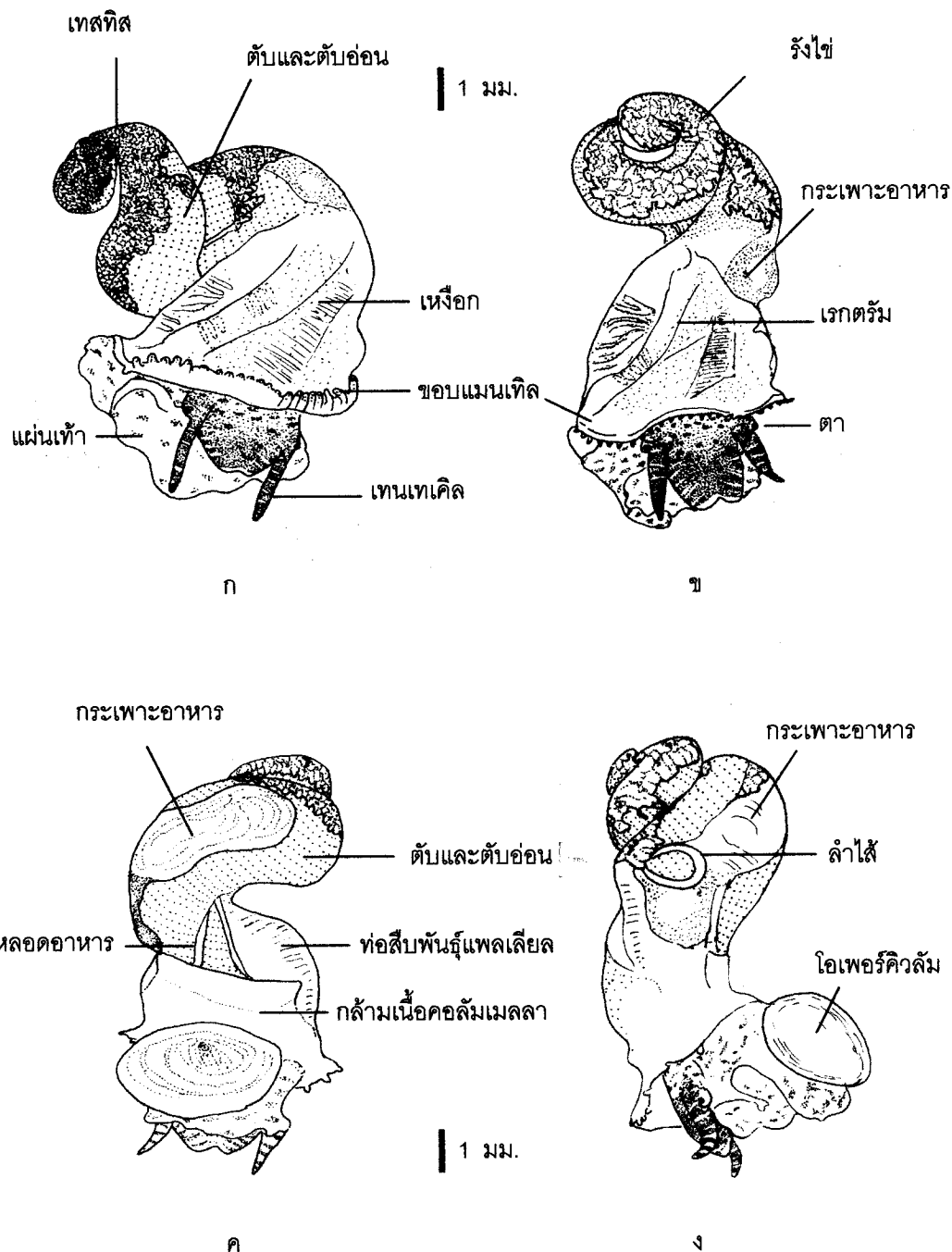
รูปที่ 39 ภาพจากกล้องจุลทรรศน์อิเล็กตรอนแบบส่องกราด (SEM) แสดงพื้นผิวและฟันข้างของหอยน้ำจืด *Paludomus* spp. ที่เก็บจากจุดสำรวจทั้ง 10 พื้นที่ (ก) น้ำตกไทรโยคน้อย (ข) น้ำตกไทรโยคใหญ่ (ค) หัวยเต่าดำ (ง) ลำธารข้างบ่อ用水ร้อนหินดาด (จ) น้ำตกผาตาด (ฉ) น้ำพุหัวยเขียง (ช) ลำธารป่าซุมชนบ้านท่ามะเดื่อ (ษ) น้ำตกเกริงกระเวีย (ณ) น้ำตกไดซ่องด่อง และ (ภ) น้ำตกตะเคียนทอง



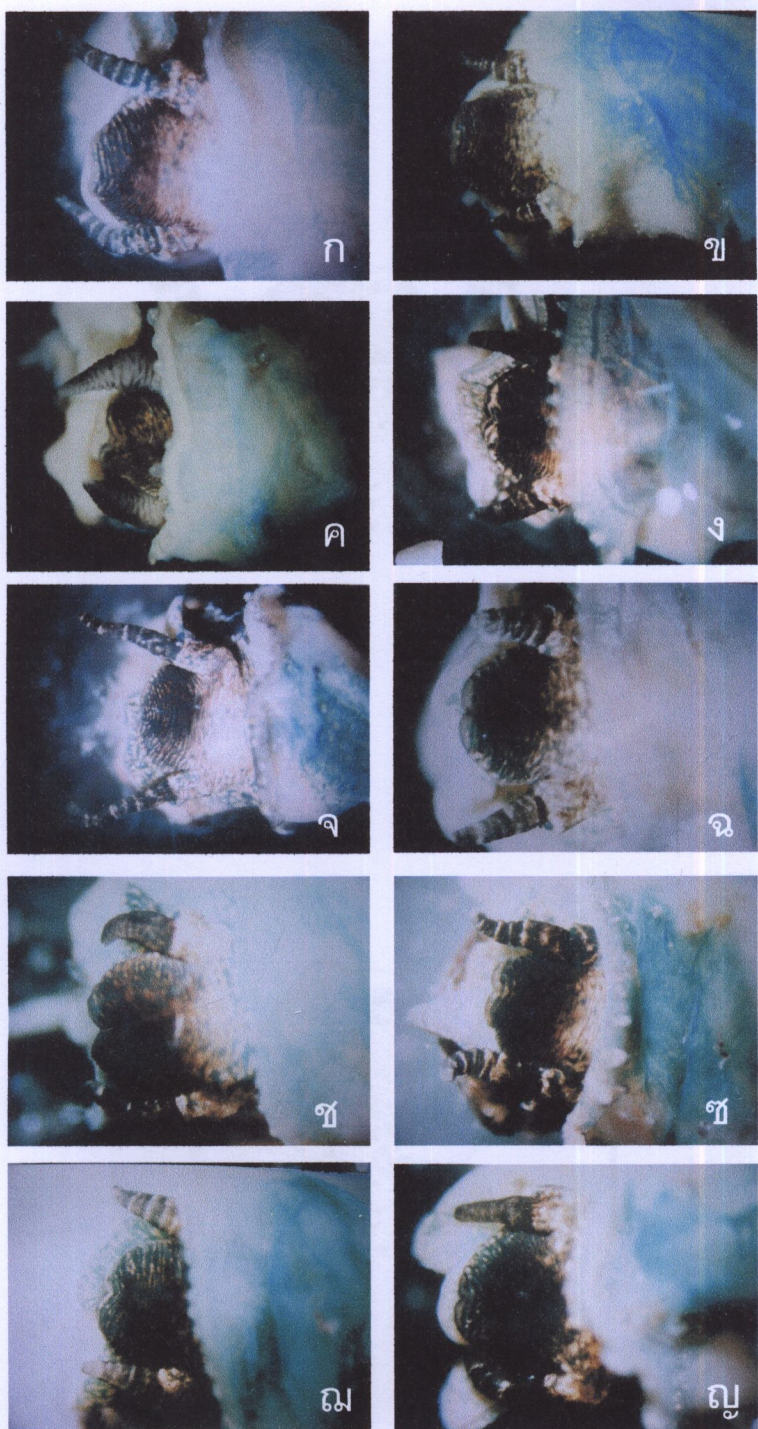
รูปที่ 40 ภาพจากกล้องจุลทรรศน์อิเล็กตรอนแบบส่องกราด (SEM) แสดงพื้นผิวของหอยน้ำจีด *Paludomus* spp. ที่เก็บจากจุดสำรวจทั้ง 10 พื้นที่ (ก) น้ำตากไทรโยคน้อย (ข) น้ำตากไทรโยคใหญ่ (ค) หัวยเต่าดำ (จ) ลำชารข้างบ่อ่นพุร้อนหินดัด (ฉ) น้ำพุหัวยเขย่ง (ช) ลำชารป่าซุ่มชนบ้านท่ามะเดื่อ (ญ) น้ำตากเกริงกระเวีย (ญ) น้ำตากไดซ์องต่อง และ (ญ) น้ำตากตะเคียนทอง



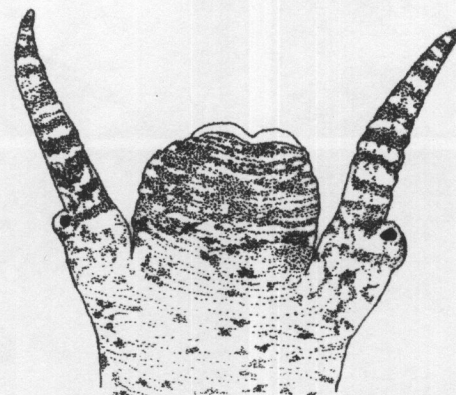
รูปที่ 41 แสดงลำตัวภายนอกของหอยน้ำจืด *Paludomus* spp. (ก) โครงสร้างลำตัวภายนอกของหอยเพศผู้ (ข) โครงสร้างลำตัวภายนอกของหอยเพศเมีย



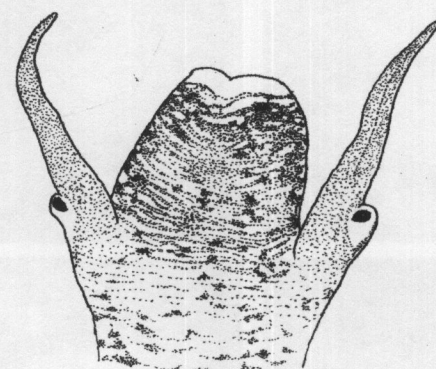
รูปที่ 42 ภาพวาดแสดงการจัดเรียงตัวของอวัยวะภายในองค์กายในเมื่อมองผ่านผนังลำตัวของหอยน้ำจืด *Paludomus* spp. (ก) โครงสร้างลำตัวด้านหน้าของหอยเพศผู้ (ข) โครงสร้างลำตัวด้านหน้าของหอยเพศเมีย (ค) โครงสร้างลำตัวด้านหลัง (ง) โครงสร้างลำตัวด้านข้าง



รูปที่ 43 แสดงส่วนหัวของหอยน้ำจืด *Paludomus* spp. ที่เก็บจากจุดสำรวจทั้ง 10 พื้นที่ (ก) น้ำตกไทรโยคน้อย (ข) น้ำตกไทรโยคใหญ่ (ค) หัวยเต่าคำ (ง) ลำธารข้างบ่อน้ำพุร้อนหินดาด (จ) น้ำตกผาตาด (ฉ) น้ำพุหัวยเขย่ง (ช) ลำธารข้างป่าซุမชนบ้านท่ามะเดื่อ (ญ) น้ำตกเกริง กระเวียง (ณ) น้ำตกไดซ่องถ่อง และ (กุ) น้ำตกตะเคียนทอง

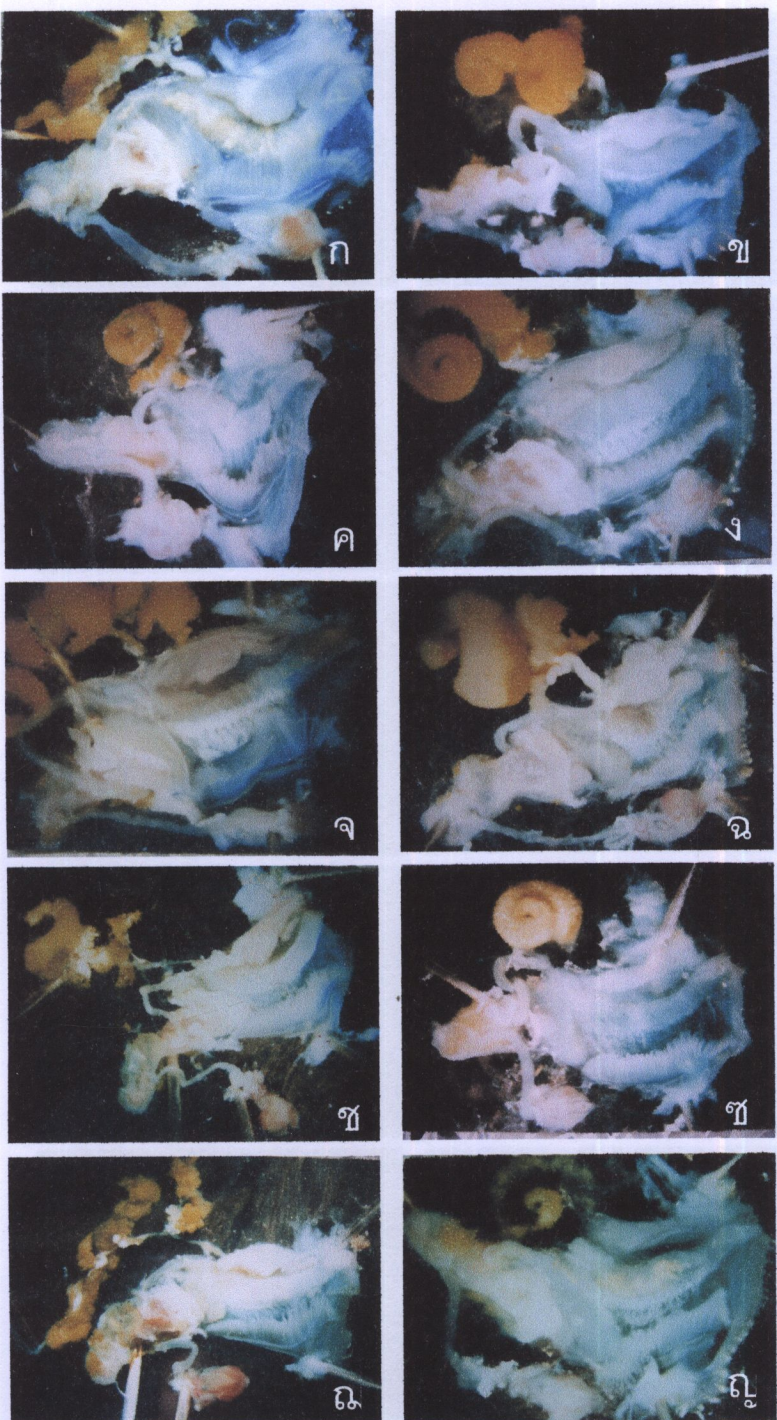


ก

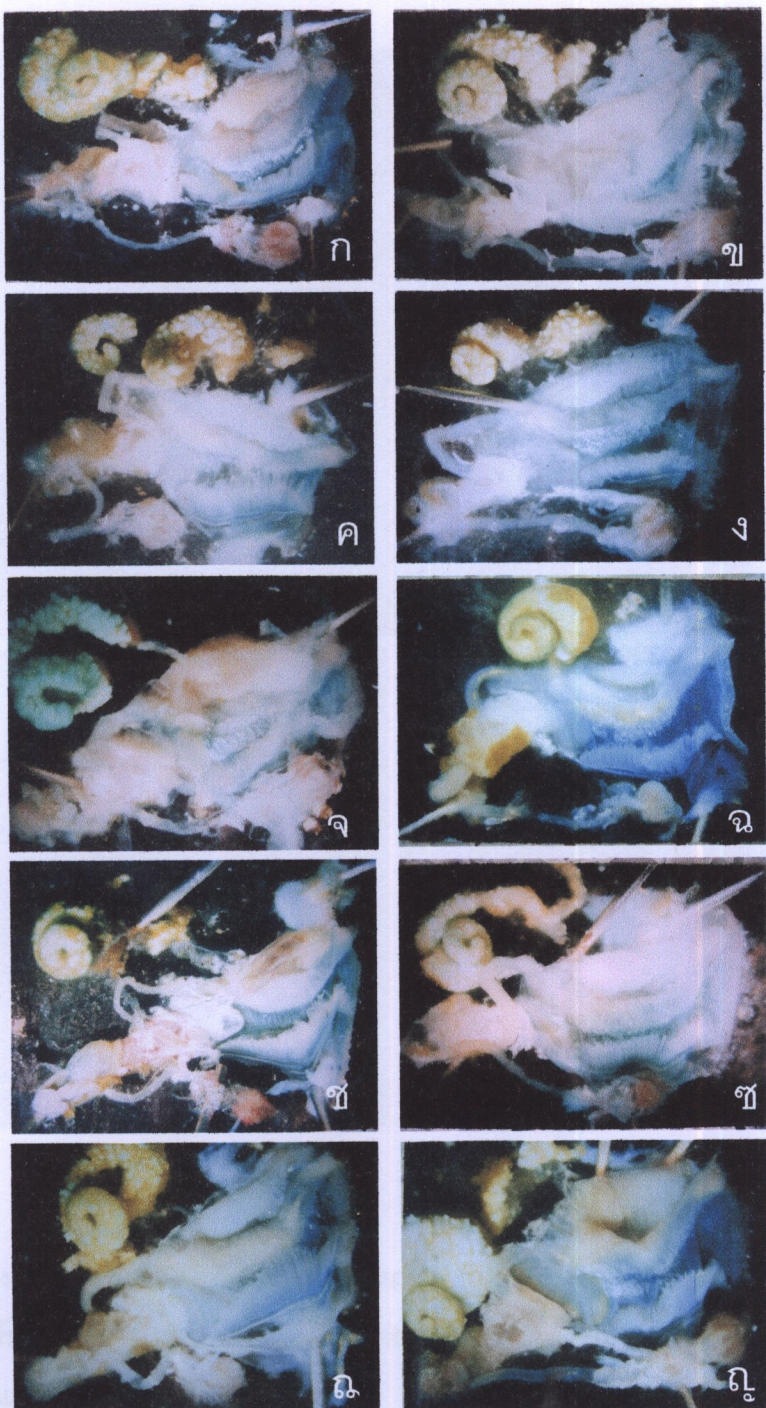


ก

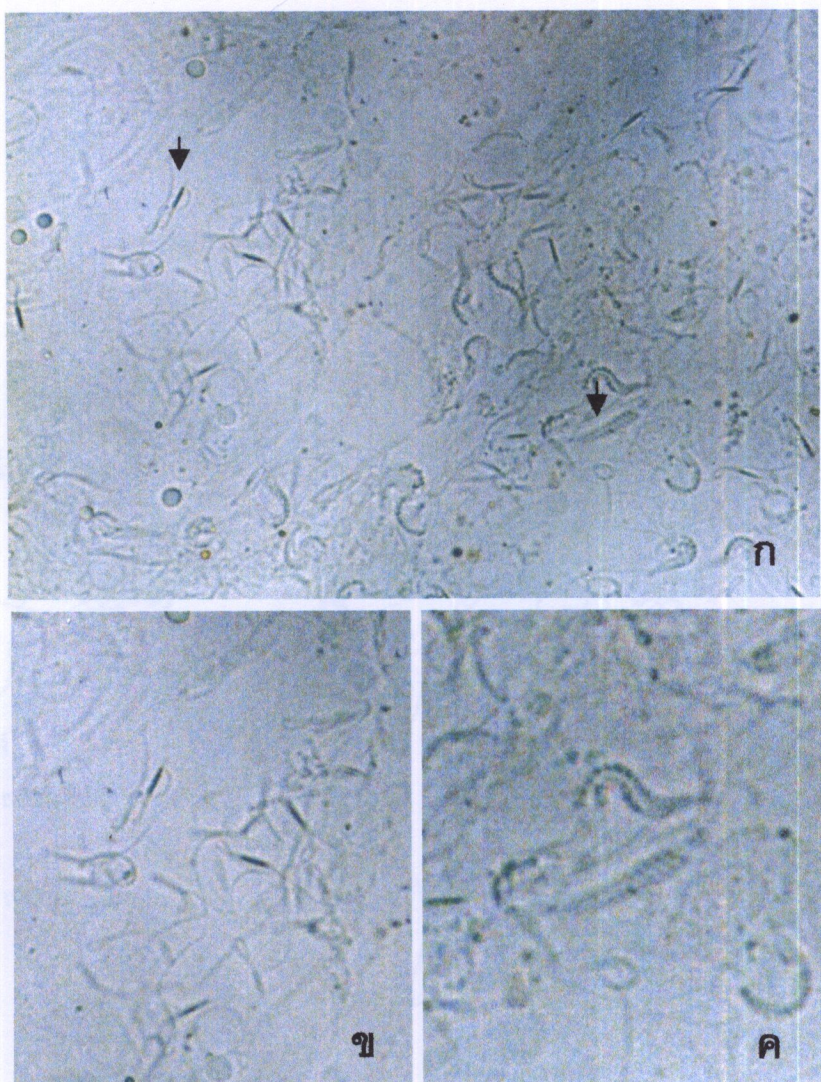
รูปที่ 44 ภาพวาดแสดงส่วนหัวของหอยน้ำจืด *Paludomus* spp. (ก) แสดงลักษณะส่วนหัวของหอยที่เก็บตัวอย่างจากจุดสำรวจ 9 พื้นที่ (ยกเว้นป่าเต่าดำ) (ข) แสดงลักษณะส่วนหัวของหอยที่เก็บตัวอย่างจากหัวยเด่าดำ



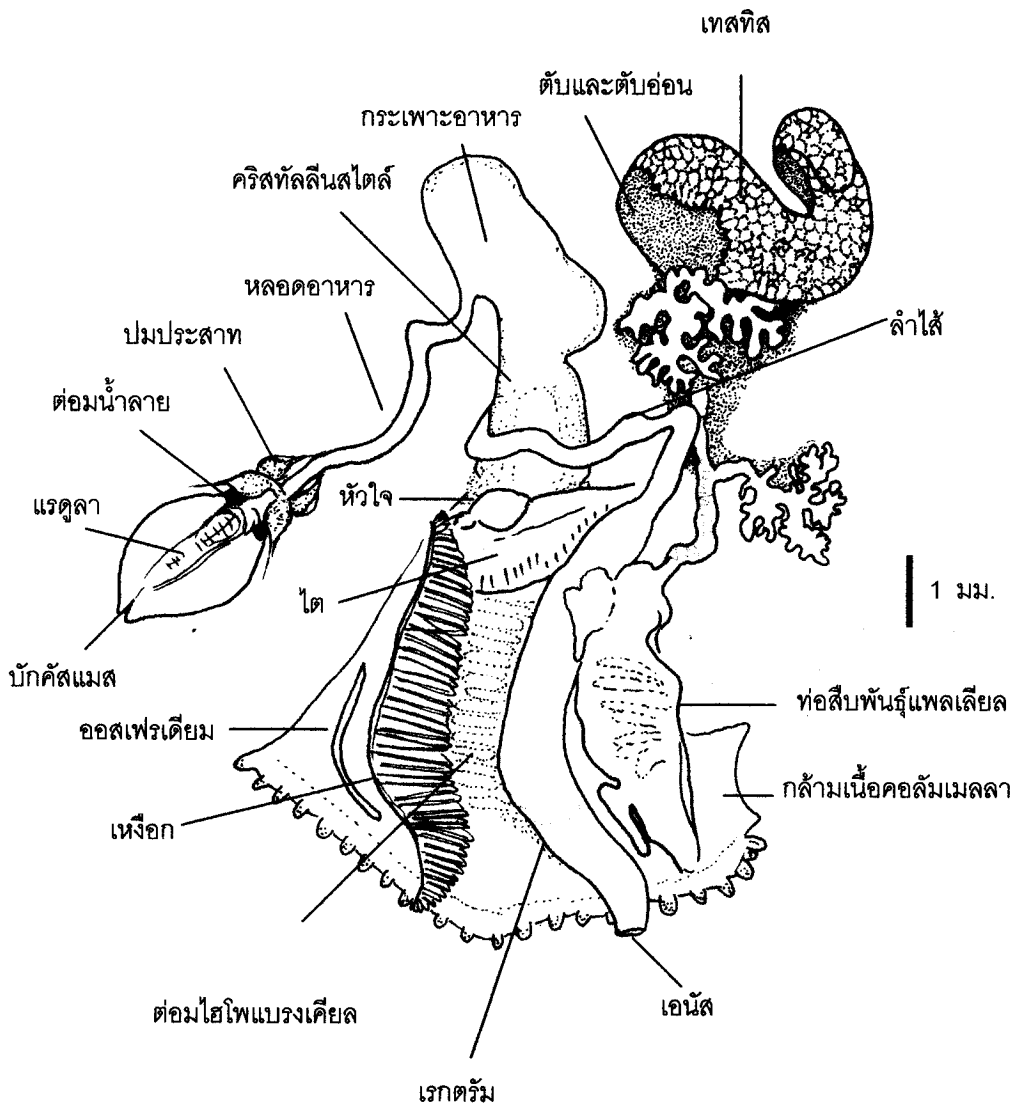
รูปที่ 45 แสดงระบบลำเลียงและอวัยวะภายในของหอยน้ำจืด *Paludomus* spp. เพศผู้ที่เก็บจากจุดสำรวจทั้ง 10 พื้นที่ (ก) น้ำตกไทรโยคน้อย (ข) น้ำตกไทรโยคใหญ่ (ค) หัวยเตาคำ (ง) สำราษ้างบ่อน้ำพุร้อนหินดาด (จ) น้ำตกผาตาด (ฉ) น้ำพุหัวยเขย่ง (ช) สำราษ้างป่า죽ูชนบ้านท่ามะเดื่อ (ซ) น้ำตกเกริงกระเวีย (ญ) น้ำตกไดซ่องถ่อง และ (ญ) น้ำตกตะเคียนทอง



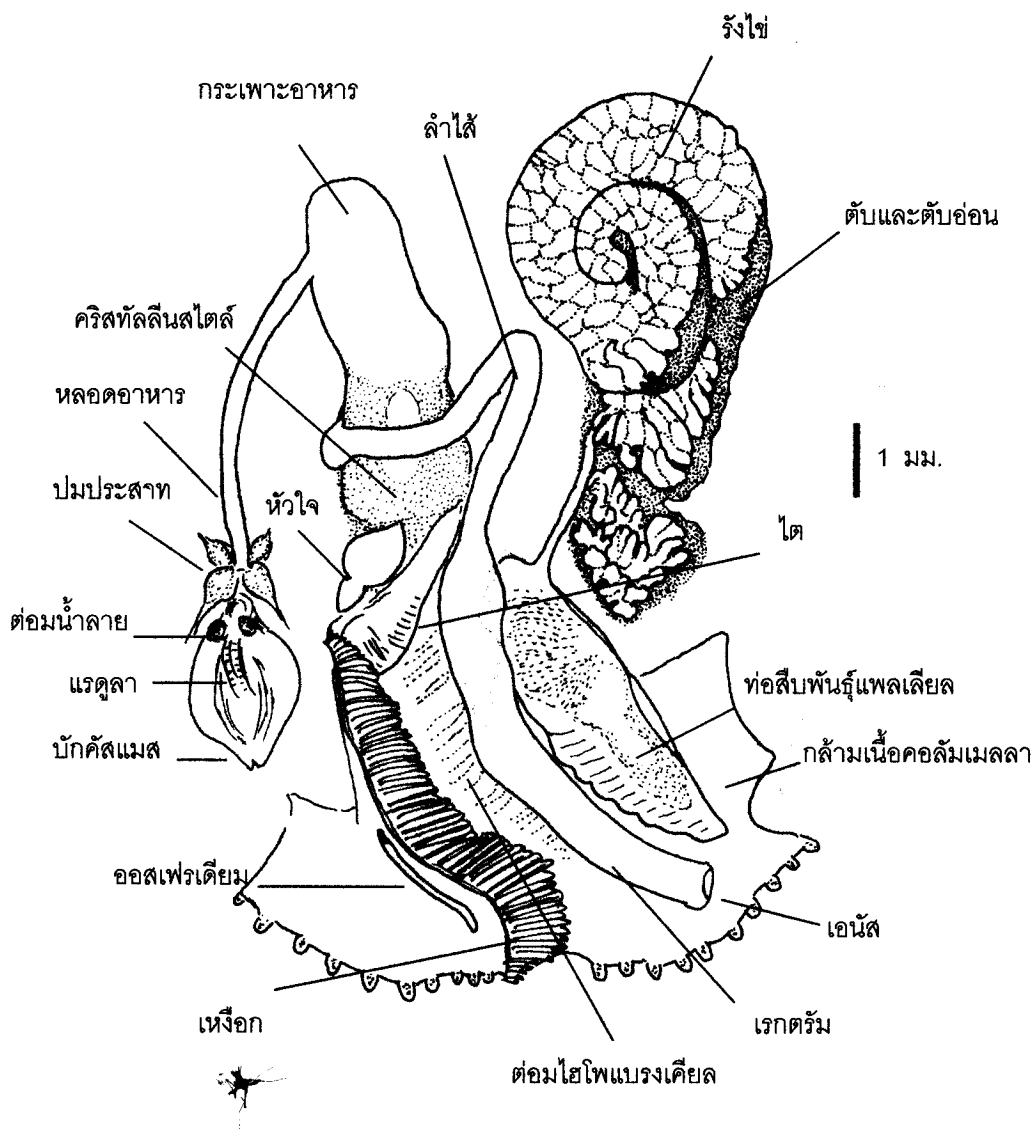
รูปที่ 46 แสดงระบบลำเลียงและอวัยวะภายในของหอยน้ำจืด *Paludomus* spp. เพศเมียที่เก็บจากจุดสำรวจทั้ง 10 พื้นที่ (ก) น้ำตกไทรโยคน้อย (ข) น้ำตกไทรโยคในળ (ค) ห้วยเตาดำ (ง) ลำธารข้างบ่อน้ำพุร้อนหินดาด (จ) น้ำตกผาตาด (ฉ) น้ำพุหัวยเขย่ง (ช) ลำธารข้างป่าซุ่มชนบ้านท่ามะเดื่อ (ญ) น้ำตกเกริงกระเดีย (ณ) น้ำตกไดซ่องถ่อง และ (ญ) น้ำตกตะเคียนทอง



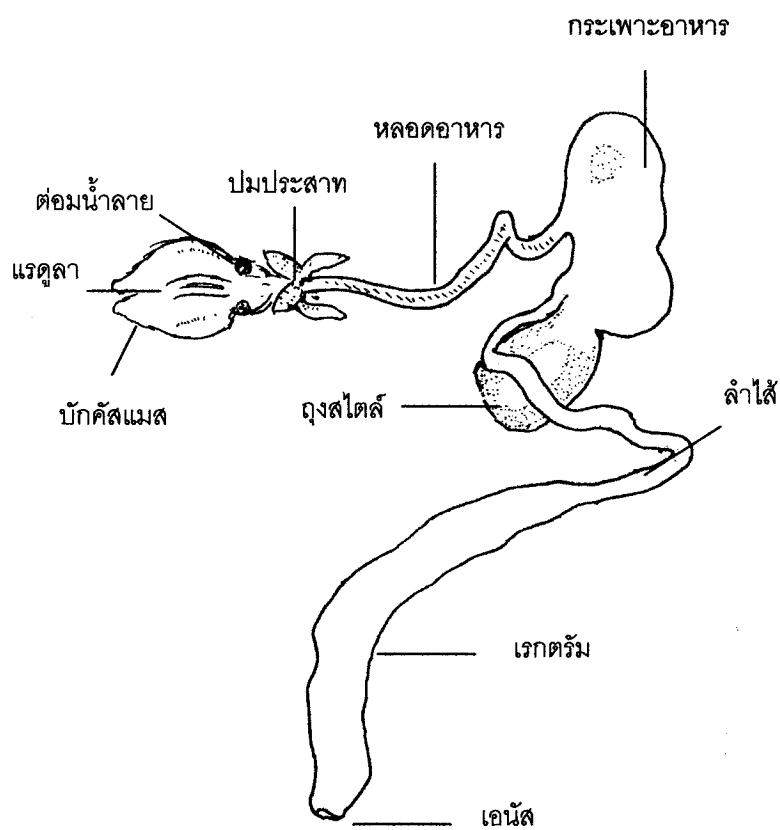
รูปที่ 47 แสดงสเปร์มของหอย *Paludomus* spp. (ก) สเปร์มหอยทั้ง 2 ชนิด (ข) แสดง สเปร์ม ชนิดที่ 1 สเปร์มที่หัวสั้นเมีทางยาว 1 ทาง (ค) แสดงสเปร์มชนิดที่ 2 มีหัว เป็นแบบกระวยเมีทางยาว 6 ทาง



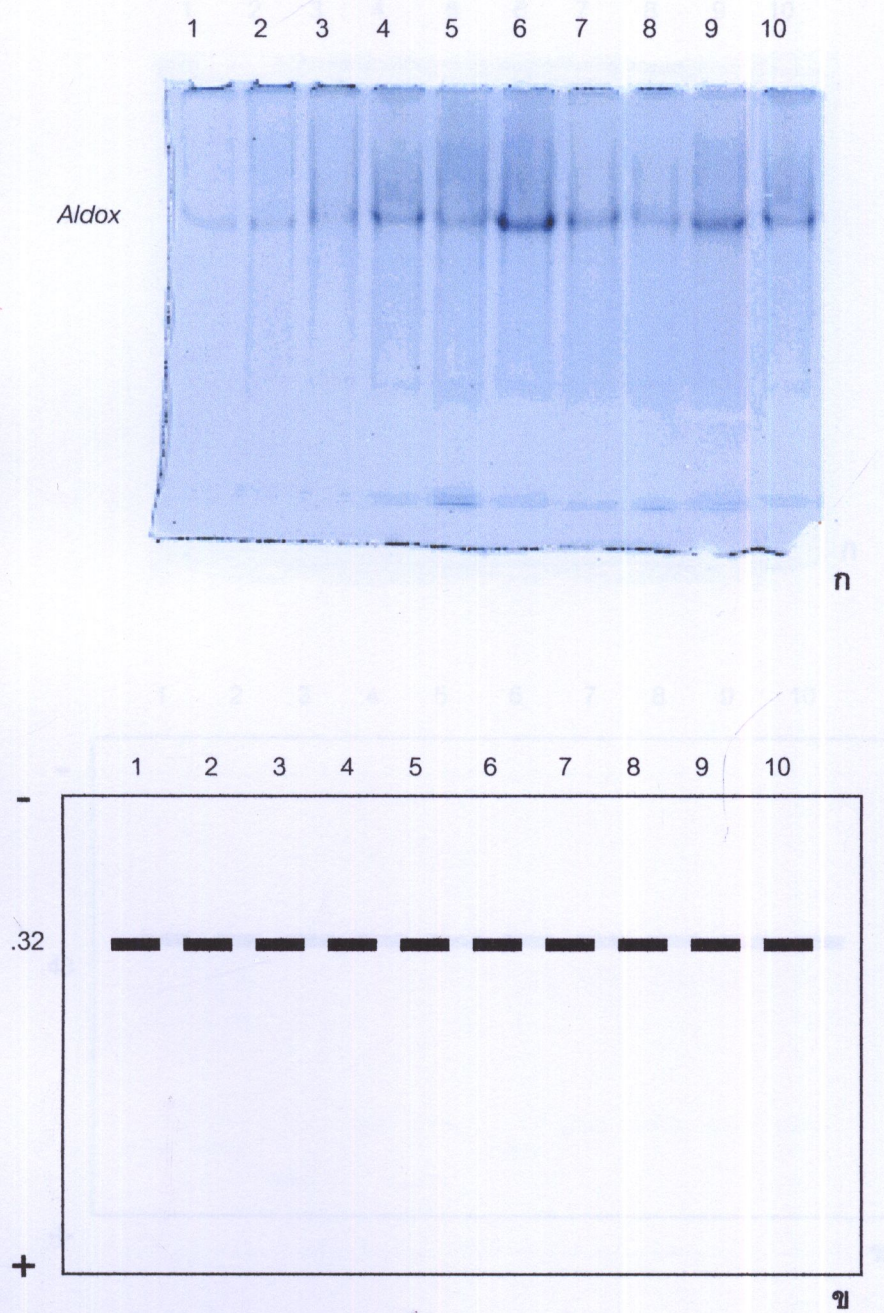
รูปที่ 48 ภาพวาดแสดงการจัดเรียงตัวของระบบลำเลียงและอวัยวะภายในของหนอน้ำจืด  
*Paludomus* spp. เพศผู้



รูปที่ 49 ภาพวาดแสดงการจัดเรียงตัวของระบบลำเลียงและอวัยวะภายในของหอยน้ำจืด  
*Paludomus* spp. เพศเมีย

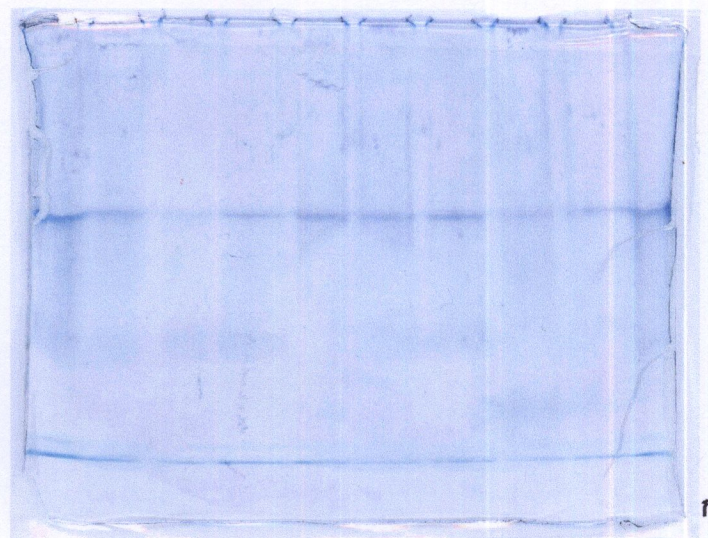


รูปที่ 50 ภาพวาดแสดงระบบทางเดินอาหารของหอยน้ำจืด *Paludomus spp.*

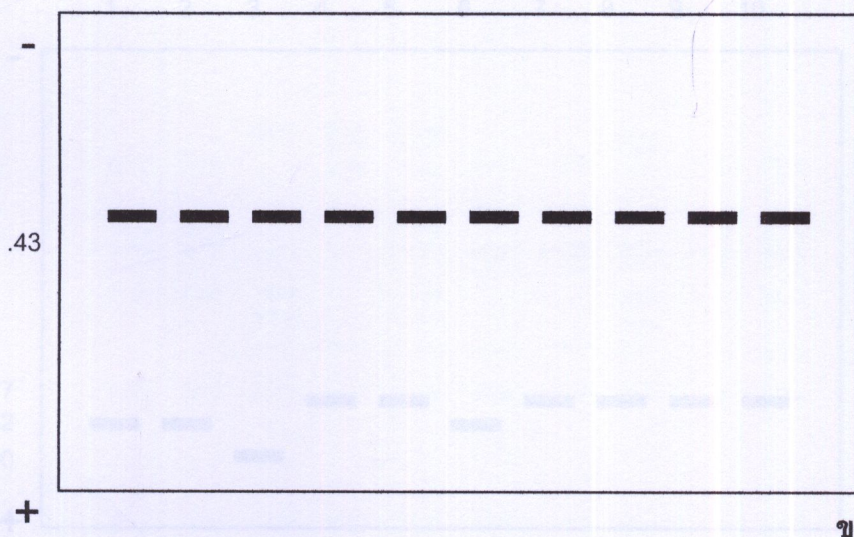


รูปที่ 51 แสดงแอบเอนไซม์ Aldehyde oxidase (ALDOX) (ก) ภาพเจลแสดงแอบเอนไซม์ ALDOX (ข) ไชโมแกรมแสดงแอบสีของเอนไซม์ ALDOX 1 : น้ำตกไทรโยคน้อย, 2 : น้ำตกไทรโยคใหญ่, 3 : หัวยเต่าคำ, 4 : ลำธารข้างบ่อน้ำพุร้อนหินดาด, 5 : น้ำตกผาดาด, 6 : น้ำพุหัวยเขย่ง, 7 : ลำธารป่าซุ่มชนบ้านท่ามะเดื่อ, 8 : น้ำตกเกริง กระเดียง, 9 : น้ำตกไดซ่องถ่อง, 10 : น้ำตกตะเคียนทอง

1 2 3 4 5 6 7 8 9 10

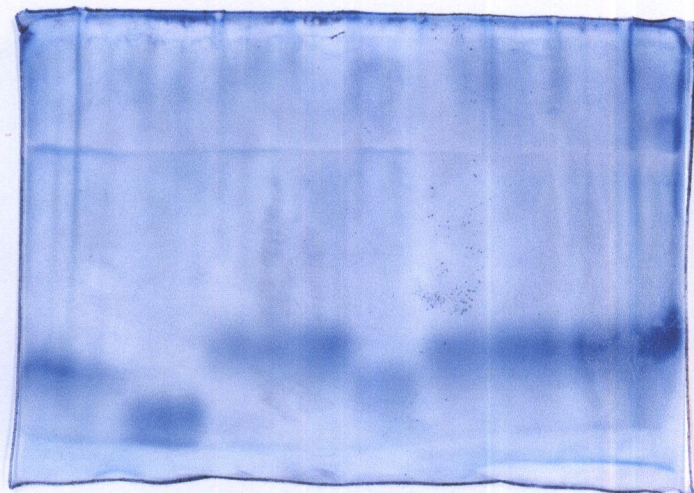


1 2 3 4 5 6 7 8 9 10



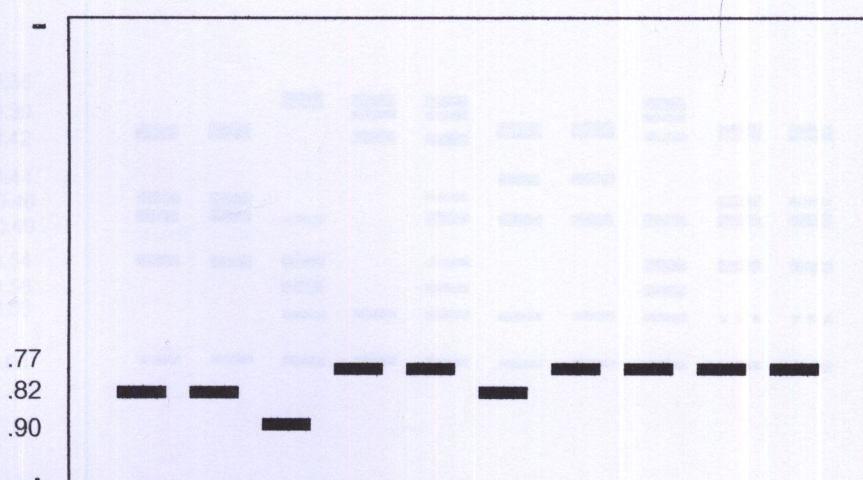
รูปที่ 52 แสดงแถบเอนไซม์ Xanthine dehydrogenase (XDH) (ก) ภาพเจลแสดงแถบเอนไซม์ XDH (ข) ใช้ไมโครมและแถบสีของเอนไซม์ XDH 1 : น้ำตกไทรโยค น้อย, 2 : น้ำตกไทรโยคใหญ่, 3 : หัวยเตาด่า, 4 : ลำธารข้างบ่อน้ำพุร้อนหินดาด, 5 : น้ำตกผาตาด, 6 : น้ำพุหัวยเขย่ง, 7 : ลำธารป่าชุมชนบ้านท่ามะเดื่อ, 8 : น้ำตกเกริงกระดีย, 9 : น้ำตกไดซ่องถ่อง, 10 : น้ำตกตะเคียนทอง

1 2 3 4 5 6 7 8 9 10



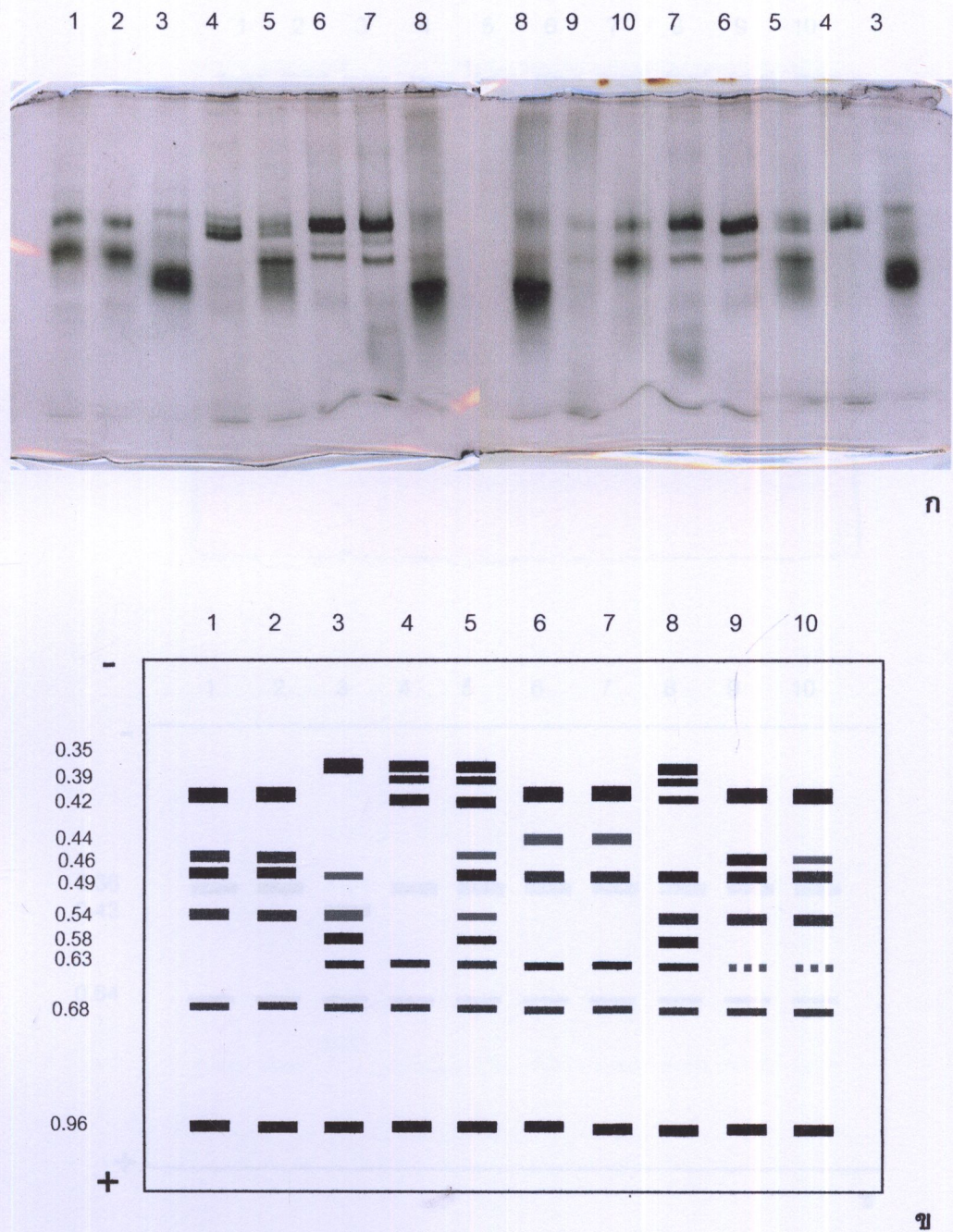
ก

1 2 3 4 5 6 7 8 9 10

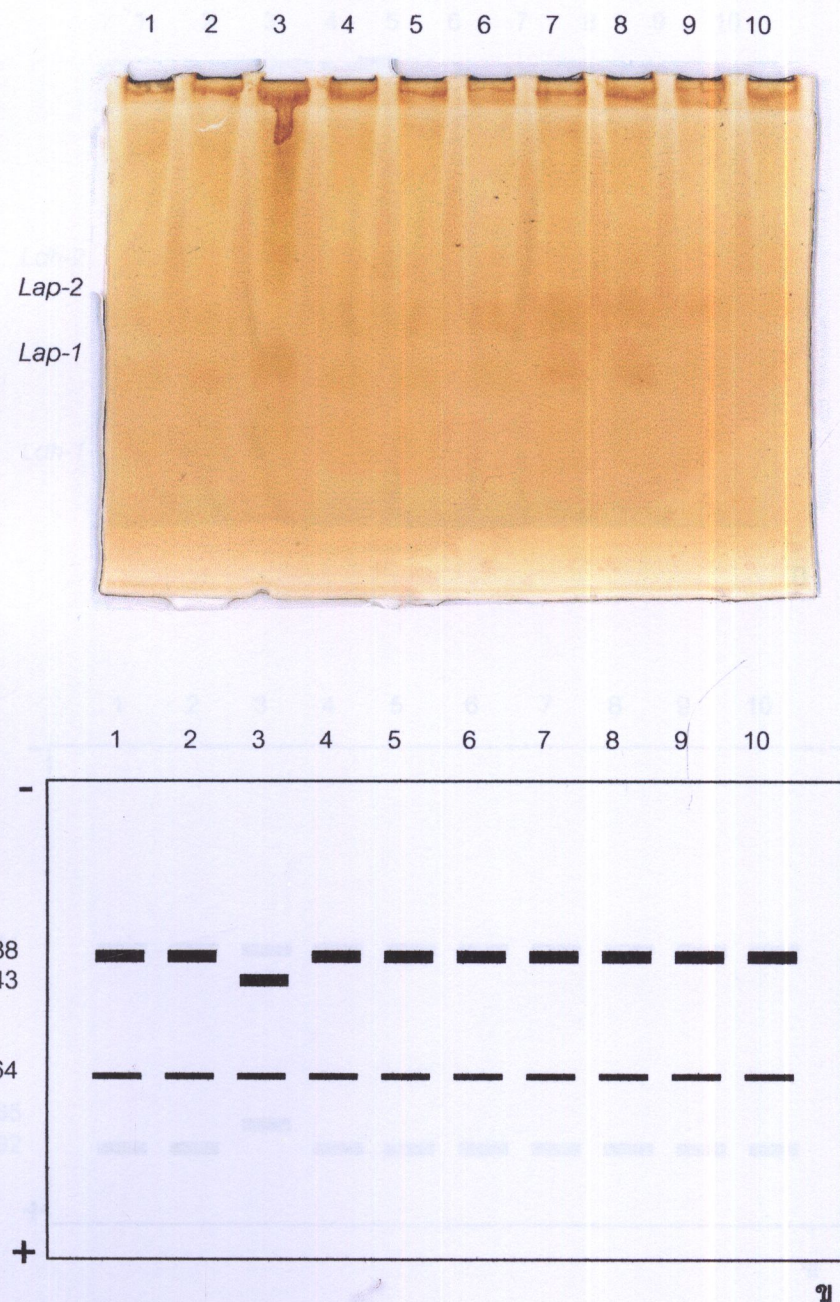


ก

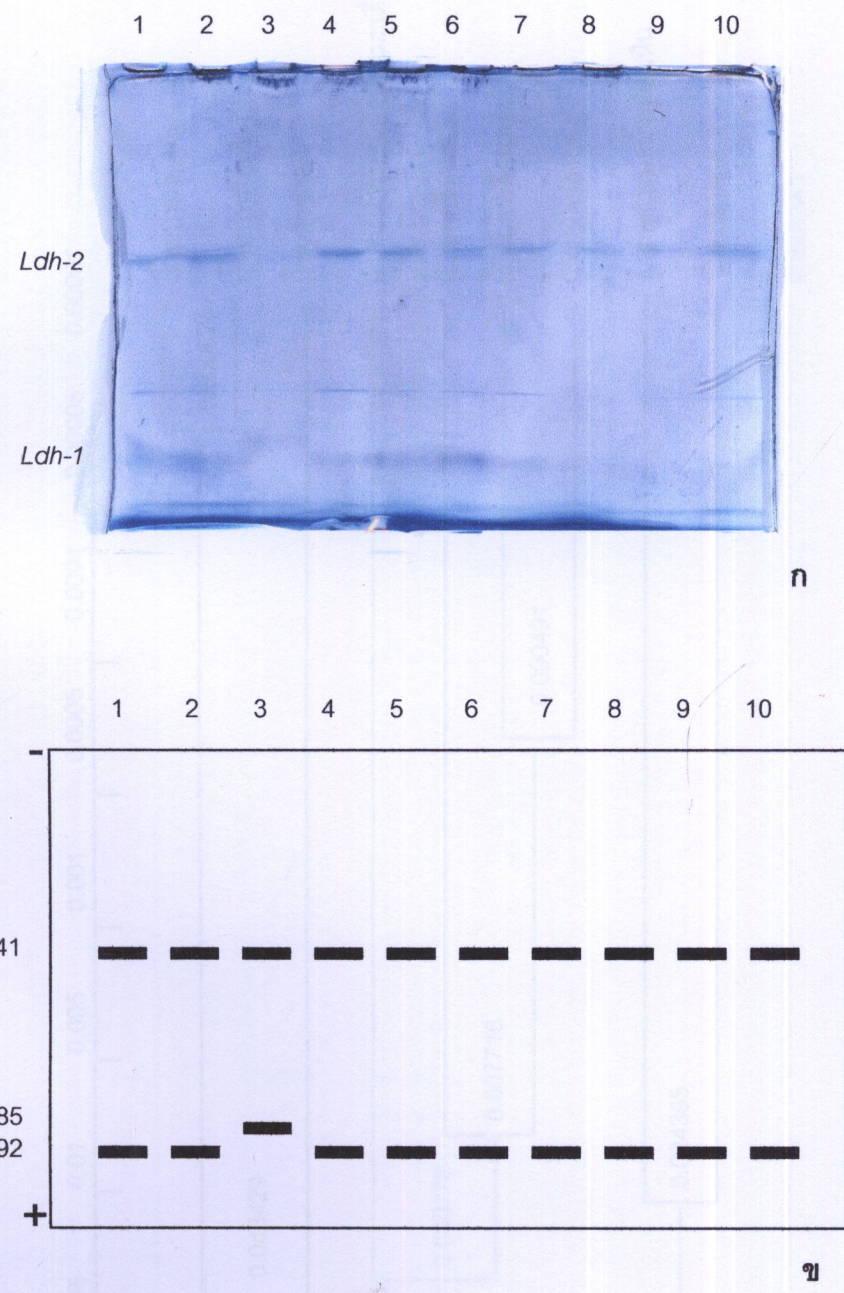
รูปที่ 53 แสดงแถบเอนไซม์ Malate dehydrogenase (MDH) (ก) ภาพเจลแสดงแถบเอนไซม์ MDH (ก) ไนโตรแอมมิโนแปร์สีของเอนไซม์ MDH 1 : น้ำตกไทรโยคน้อย, 2 : น้ำตกไทรโยคใหญ่, 3 : หัวยเต่าดำ, 4 : ลำธารข้างบ่อน้ำพุร้อนหินดาด, 5 : น้ำตกผาตาด, 6 : น้ำพุหัวยเขียง, 7 : ลำธารป่าชุมชนบ้านท่ามะเดื่อ, 8 : น้ำตกเกริงกระเวียง, 9 : น้ำตกไดซ่องต่อง, 10 : น้ำตกตะเคียนทอง



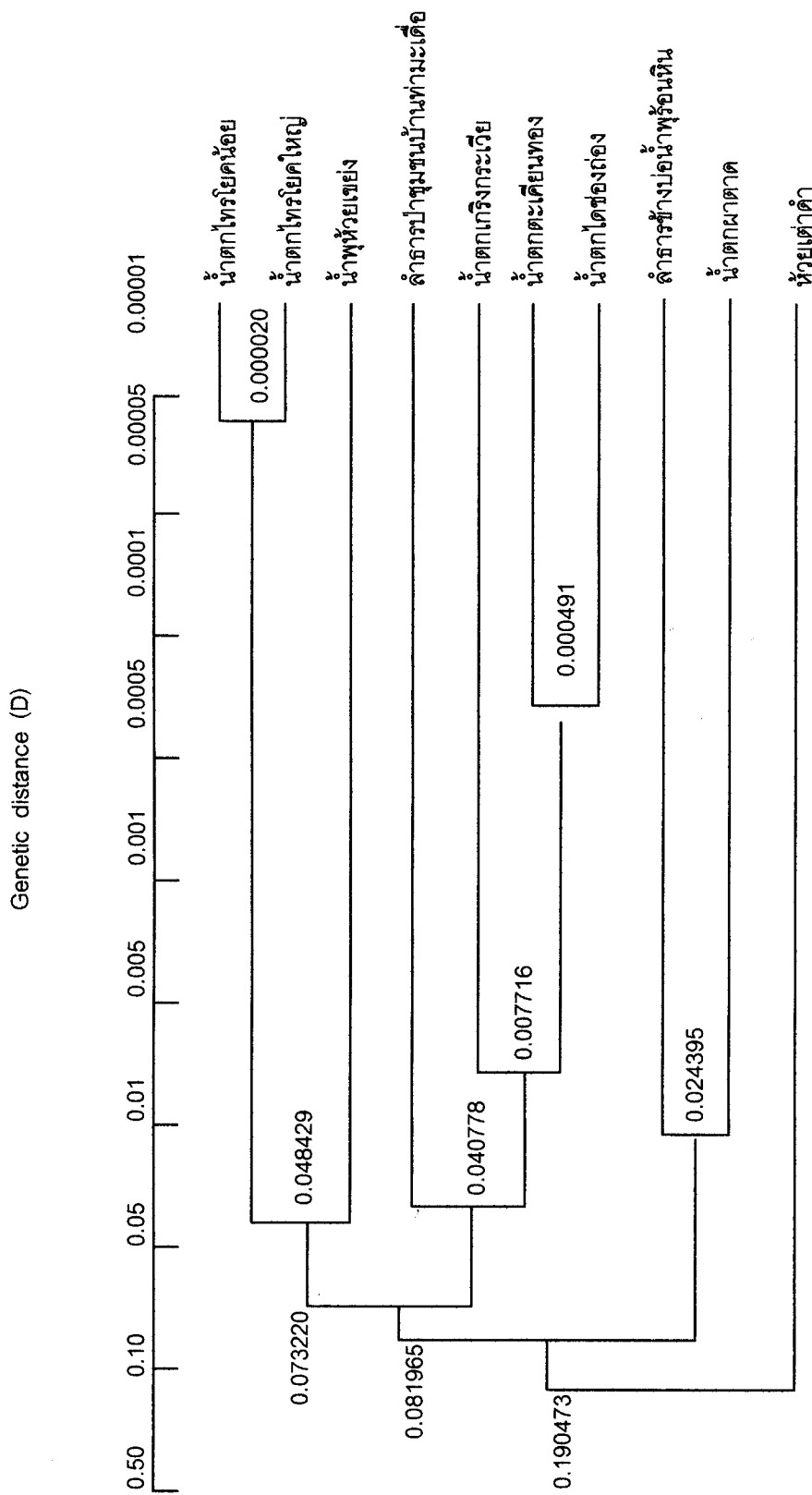
รูปที่ 54 แสดงแถบเอนไซม์ Esterase dehydrogenase (EST) (ก) ภาพเจลแสดงแถบเอนไซม์ EST (ข) ไข่โน้ตกราฟแสดงแถบสีของเอนไซม์ EST 1 : น้ำตกไทรโยคน้อย, 2 : น้ำตกไทรโยคใหญ่, 3 : หัวยเต่าคำ, 4 : ลำธารช้างบ่อ่น้ำพุร้อนหินดัด, 5 : น้ำตกผาตาด, 6 : น้ำพุหัวยเขียง, 7 : ลำธารป่าซูมชนบ้านท่ามะเดื่อ, 8 : น้ำตกเกริงกระเวียง, 9 : น้ำตกไดซ่องถ่อง, 10 : น้ำตกตะเคียนทอง



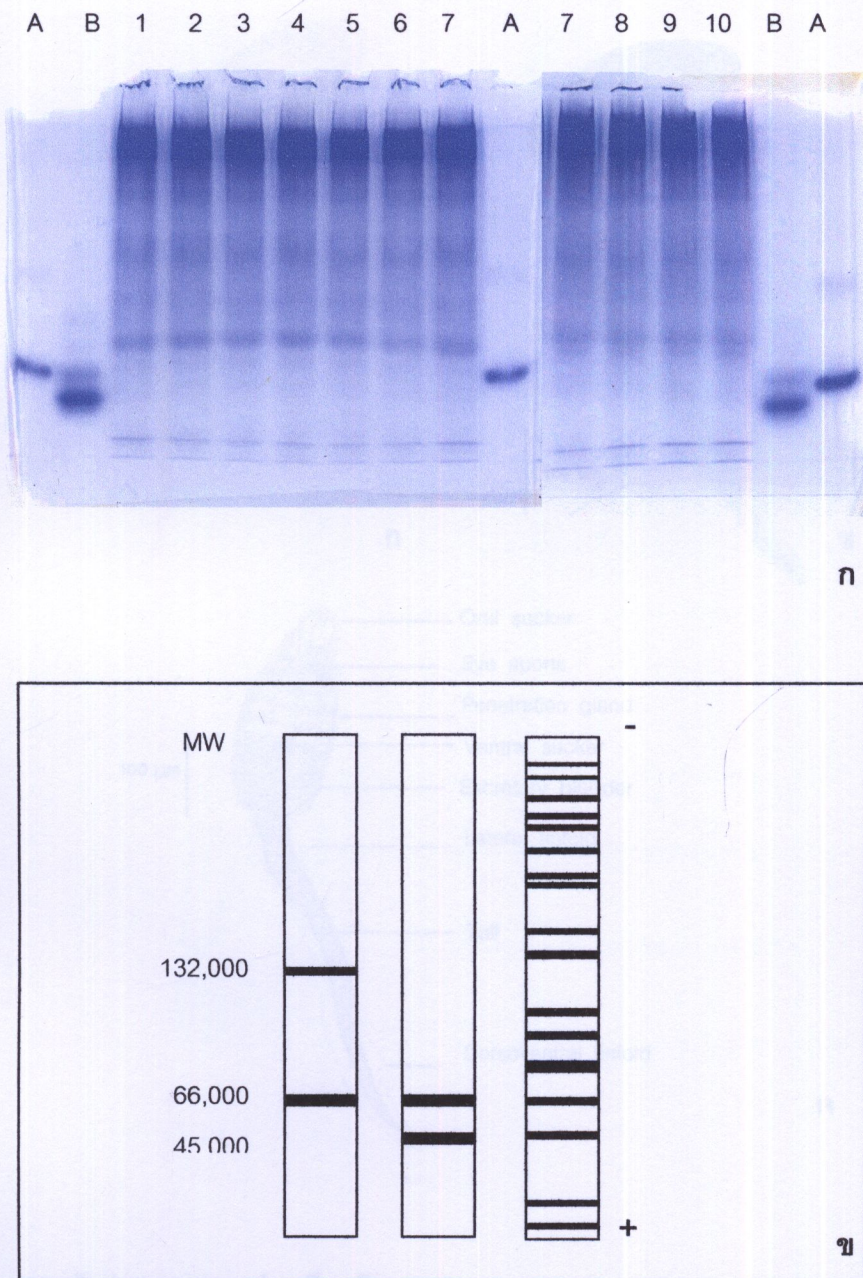
รูปที่ 55 แสดงแถบเอนไซม์ Leucine aminopeptidase (LAP) (ก) ภาพเจลแสดงแถบเอนไซม์ LAP (ข) ใช้โน้ตกราฟแสดงเส้นของเอนไซม์ LAP 1 : น้ำตกไทรโยคน้อย, 2 : น้ำตกไทรโยคใหญ่, 3 : หัวยเต่าดำ, 4 : ลำธารข้างบ่อน้ำพุร้อนหินดาด, 5 : น้ำตกผาตาด, 6 : น้ำพุหัวยเขียง, 7 : ลำธารป่าชุมชนบ้านท่ามะเดื่อ, 8 : น้ำตกเงิบกระเวียง, 9 : น้ำตกไดซ่องถ่อง, 10 : น้ำตกตะเคียนทอง



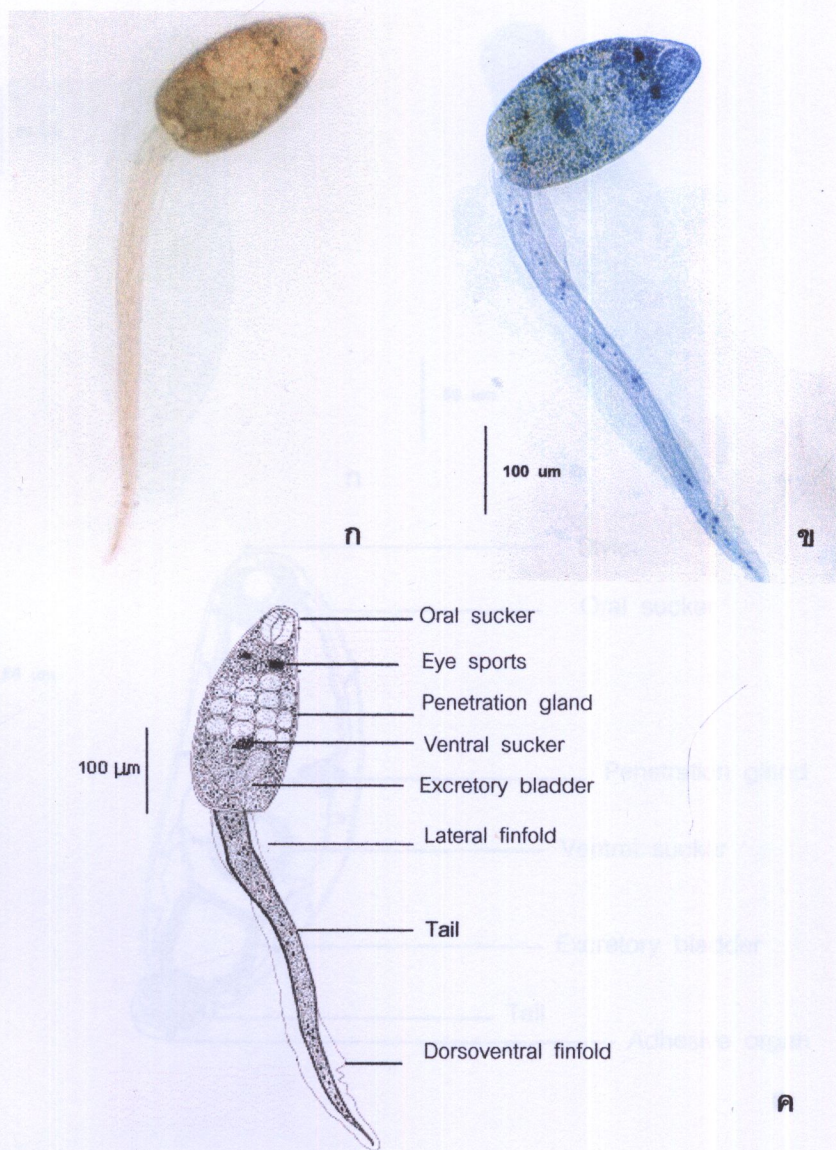
รูปที่ 56 แสดงแถบเอนไซม์ Lactase dehydrogenase (LDH) (ก) ภาพเจลแสดงแถบเอนไซม์ LDH (ข) ไซโมแกรมแสดงแถบสีของเอนไซม์ LDH 1 : น้ำตกไทรโยคน้อย, 2 : น้ำตกไทรโยคใหญ่, 3 : หัวยเต่าดำ, 4 : ลำธารข้างบ่อน้ำพุร้อนหินดาด, 5 : น้ำตกผาตาด, 6 : น้ำพุหัวยเขย่ง, 7 : ลำธารป่าชุมชนบ้านท่ามะเดื่อ, 8 : น้ำตกเกริงกระเวียง, 9 : น้ำตกไดซ่องถ่อง, 10 : น้ำตกตะเคียนทอง



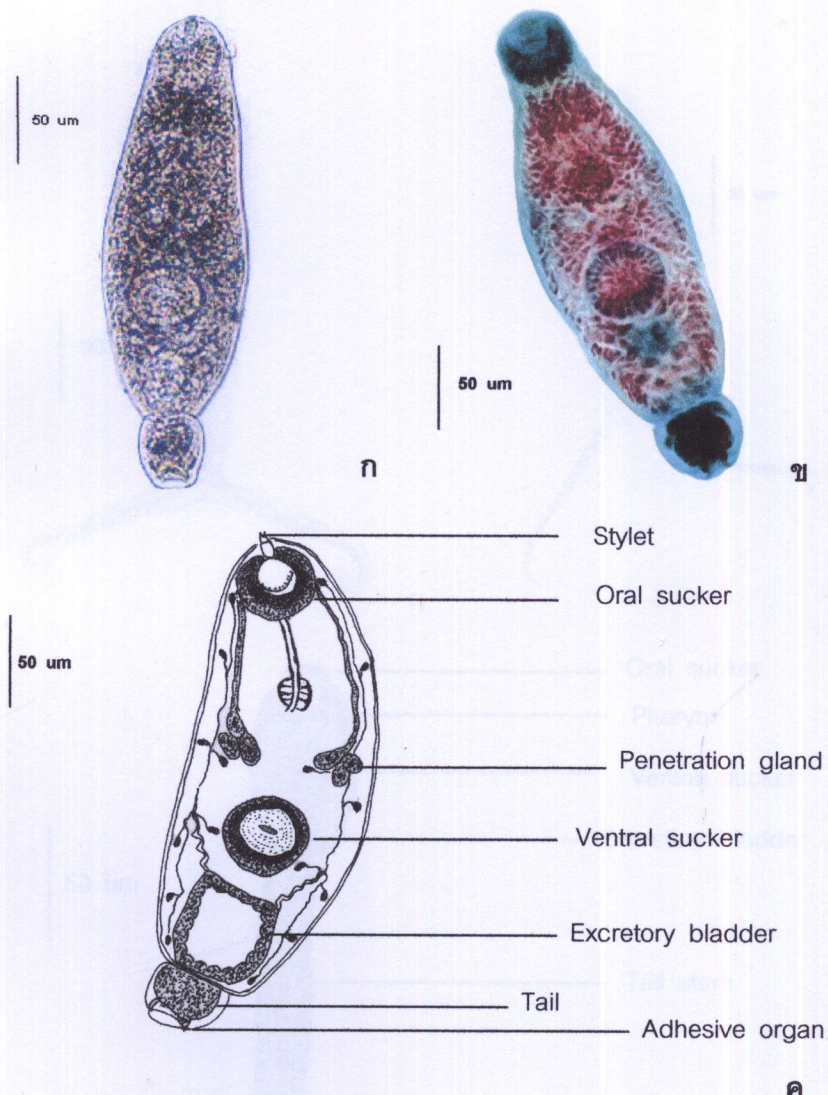
รูปที่ 57 แผนผังความสัมพันธ์ทางวิวัฒนาการของชนิด *Paludomus* spp. จากจุดสำรวจทั้ง 10 ที่นี่ที่นั่น



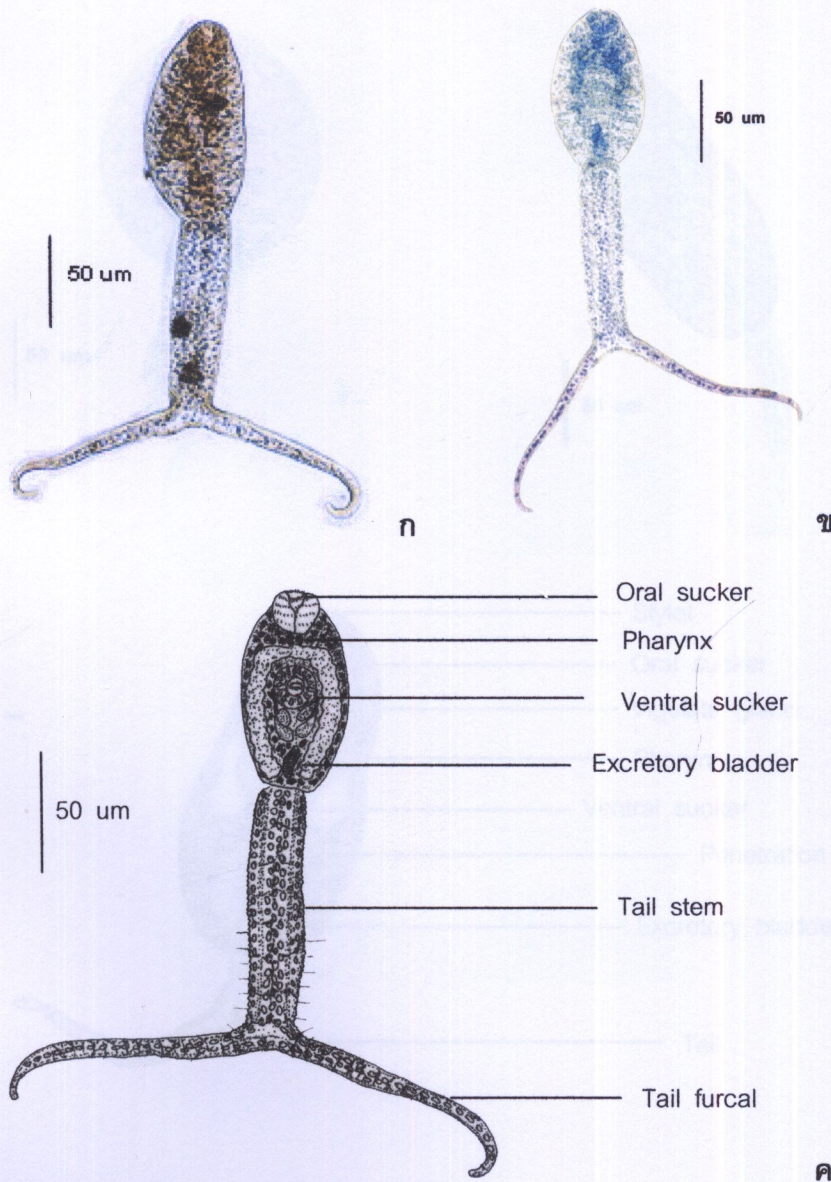
รูปที่ 58 แสดงແຕບປີເປົ້າຂອງຫຍໍນ້າຈຶດ *Paludomus* spp. (ก) ກາພເຈລແສດງແຕບປີເປົ້າທີ່ປະກວດຈາກການ  
ຍ້ອມດ້ວຍ Coomassie blue A: Bovine serum albumin, B: Chicken egg albumin 1 :  
ນ້ຳຕກໄທໂຍຄນ້ອຍ, 2 : ນ້ຳຕກໄທໂຍຄໃຫຍ່, 3 : ຫ້ວຍເຕົາດຳ, 4 : ລຳຮາຮ້າງບ່ອນໜ້າພັກອິນດາດ,  
5 : ນ້ຳຕກພາຕາດ, 6 : ນ້ຳພຸ້ຫ້ວຍເຂົ່າງ, 7 : ລຳຮາຮ້າງປ້າມໝານບ້ານທ່າມະເດືອ, 8 : ນ້ຳຕກເກຣິງກະເວີຍ,  
9 : ນ້ຳຕກໄດ້ຊົ່ວໂຄງຄ່ອງ, 10 : ນ້ຳຕກຕະເດີຢັນທອງ (ຂ) ໄໃນແກຣມແສດງແຕບປີເປົ້າຈາກການຍ້ອມດ້ວຍ  
Coomassie blue ດ້ວຍຫ້າຍ - ແສດງແຕບປີເປົ້າມາຕຽບ Bovine serum albumin ກລາງ -  
ແສດງແຕບປີເປົ້າມາຕຽບ Chicken egg



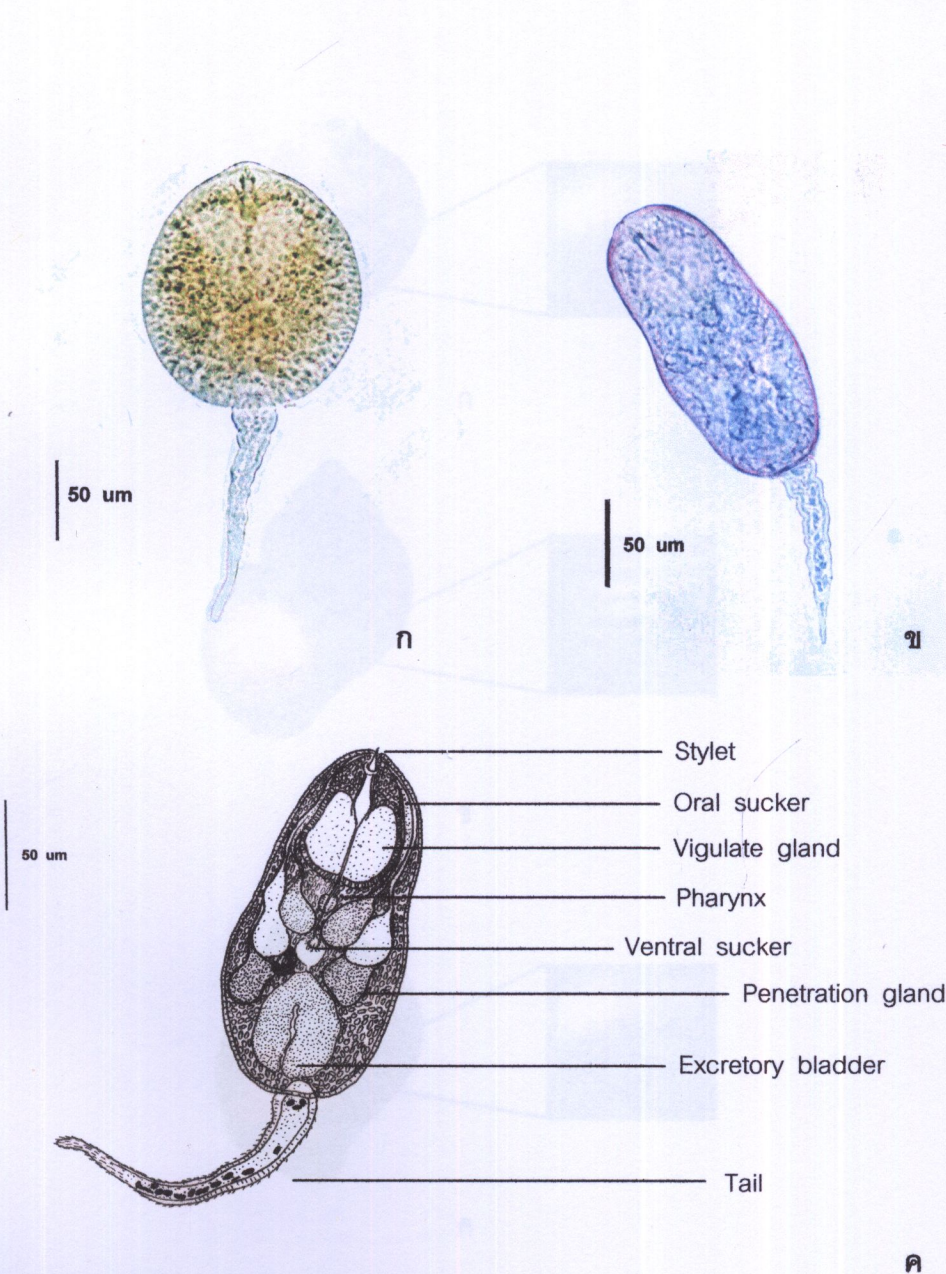
รูปที่ 59 แสดงตัวอ่อนระยะเชอร์คาเรียชนิด *Parapleurolophocercous cercaria* (ก) ตัวอ่อน ระยะเชอร์คาเรีย้อมด้วยสี Neutral red (ข) ตัวอ่อนระยะเชอร์คาเรีย้อมด้วยสี Ehrlich's hematoxylin (ค) ภาพวัดตัวอ่อนระยะเชอร์คาเรียแสดงอวัยวะส่วนต่าง ๆ



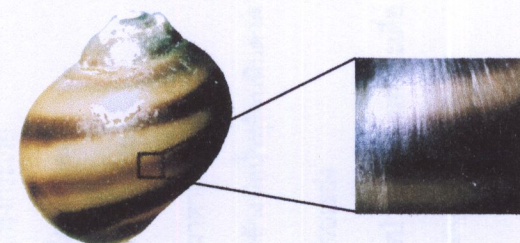
รูปที่ 60 แสดงตัวอ่อนระยะเชอร์คารีย์ชนิด *Cotylomicrocerous cercaria* (ก) ตัวอ่อนระยะเชอร์คารีย์ย้อมด้วยสี Neutral red (ข) ตัวอ่อนระยะเชอร์คารีย์ย้อมด้วยสี Semichon's carmine & fast green (ค) ภาพวาดตัวอ่อนระยะเชอร์คารีย์แสดงอวัยวะส่วนต่าง ๆ



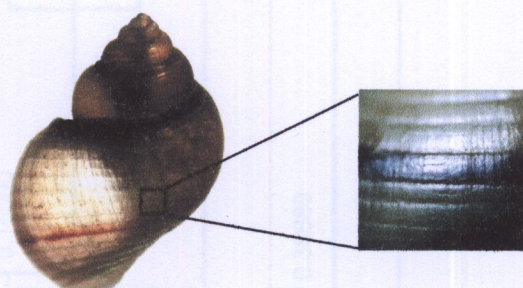
รูปที่ 61 แสดงตัวอ่อนระยะเชอร์คาเรียชนิด *Strigea cercaria* (ก) ตัวอ่อนระยะเชอร์คาเรีย<sup>ย้อมด้วยสี Neutral red</sup> (ข) ตัวอ่อนระยะเชอร์คาเรีย<sup>ย้อมด้วยสี Ehrlich's hematoxylin</sup> (ค) ภาพวัดตัวอ่อนระยะเชอร์คาเรียแสดงอวัยวะส่วนต่าง ๆ



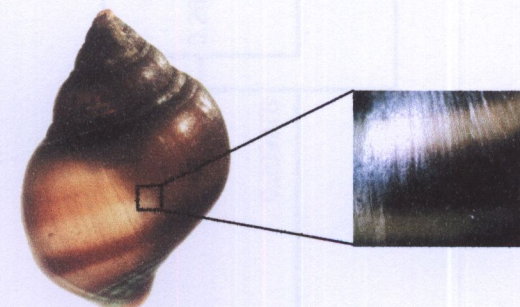
รูปที่ 62 แสดงตัวอ่อนระยะเชื้อค่าเรียชนิด Virgulate cercaria ในกลุ่มย่อย Virgulate cercaria (ก) ตัวอ่อนระยะเชื้อค่าเรีย้อมด้วยสี Neutral red (ข) ตัวอ่อนระยะเชื้อค่าเรีย้อมด้วยสี Semichon's carmine & fast green (ค) ภาพวาดตัวอ่อนระยะเชื้อค่าเรียแสดงอวัยวะส่วนต่าง ๆ



(ก)



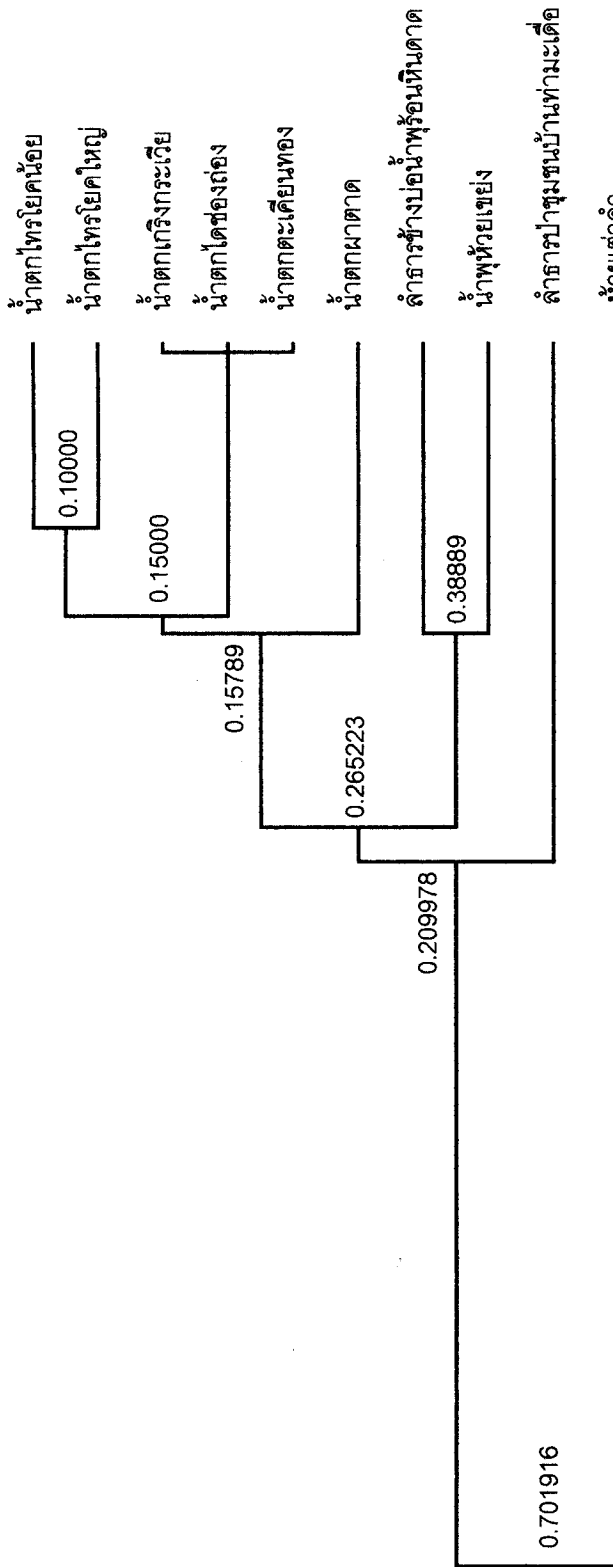
(ข)



(ค)

รูปที่ 63 แสดงลักษณะเปลือก และลักษณะ spiral line บนผิวเปลือกหอยน้ำจืด *Paludomus* spp. (ก) เปลือกหอยปลายยอดตัด ผิวเปลือกไม่มี spiral line (ข) เปลือกหอยมี สไปร์สูง ผิวเปลือกมี spiral line (ค) เปลือกหอยมีสไปร์สูง ผิวเปลือกไม่มี spiral line

### UPGMA tree:



รูปที่ 64 แผนผังความสัมพันธ์ทางวิวัฒนาการของชนิด Paludomus spp. จากผลลัพธ์วิเคราะห์โดยใช้หลักขั้นตอนที่แตกต่างกัน

**ภาคผนวก ค  
การเตรียมสารเคมี**

### สารเคมีสำหรับข้อมพันหอย (แรดูลา)

1. 10 % Sodium hydroxide

Sodium hydroxide	10	กรัม
เติมน้ำกลันให้ครบ	100	มิลลิลิตร

2. 2 % Hydrochloric acid

Hydrochloric acid	2	มิลลิลิตร
เติมน้ำกลันให้ครบ	100	มิลลิลิตร

3. 4 % Eosin Y

Eosin Y	4	กรัม
95 % ethyl alcohol	100	มิลลิลิตร

### สารเคมีสำหรับข้อมตัวอ่อนพยาธิระยะเชื้อร้าวเรีย

1. 10 % formalin solution

40 % formalin	10	มิลลิลิตร
เติมน้ำกลันให้ครบ	100	มิลลิลิตร

2. 0.1 % neutral red

neutral red (C.I. 50040)	0.1	กรัม
เติมน้ำกลันให้ครบ	100	มิลลิลิตร
ละลายสีผงสมกัน แล้วกรองเก็บใส่ขวด ก่อนใช้เจือจากด้วยน้ำกลัน 10 เท่า		

3. Semichon's acetic carmine

Carmine (C.I. 75470)		
Glacial acetic acid	50	มิลลิลิตร
น้ำกลัน	50	มิลลิลิตร

#### วิธีเตรียมสี

- ผสม glacial acetic acid และน้ำกลันเข้าด้วยกัน

- ละลายผงสี Carmine ในสารละลายข้างต้นจนสีไม่ละลาย แล้วนำสีไปต้มให้เดือดยกลงตั้งทิ้งไว้ให้เย็น กรองเก็บใส่ขวดก่อนใช้เจือจากด้วย 70 % ethyl alcohol 10 เท่า

4. 0.2 % fast green

Fast green FCF (C.I. 42053)	0.2	กรัม
95 % Ethyl alcohol	100	มิลลิลิตร

### วิธีเตรียมสี

ละลายน้ำในแอลกอฮอล์ กรองสีแล้วเก็บใส่ขวด

5. Ehrlich's hematoxylin stain

Hematoxylin (C.I. 75290)	2	กรัม
Ethyl alcohol	100	มิลลิลิตร
Glycerol	100	มิลลิลิตร
Glacial acetic acid	10	มิลลิลิตร
Aluminum potassium sulphate	10	กรัม
น้ำกลั่น	90	มิลลิลิตร

### วิธีเตรียมสี

- เตรียม Solution A : ละลายน้ำ Hematoxylin ในแอลกอฮอล์แล้วผสมกับ glycerol และ glacial acetic acid

- เตรียม Solution B : ละลาย Aluminum potassium sulphate ในน้ำกลั่นนำมาต้มให้ละลาย

- นำ Solution A และ Solution B มารวมกันแล้วต้มให้เดือด ยกลงปล่อยทิ้งไว้ให้เย็น กรอง เก็บใส่ขวด ตั้งทิ้งไว้นาน 4 สัปดาห์ จึงนำมาใช้ ก่อนใช้เจือจากด้วยน้ำกลั่น 10 เท่า

### **สารเคมีสำหรับเทคนิคโอลิจิกไฟฟ้อร์ซิส**

1. สารเคมีสำหรับเตรียม Polyacrylamide gel

1.1 สารละลายน้ำ 4X Running buffer (1.5 M Tris-Cl, pH 8.8)

Tris base	36.3	กรัม
เติมน้ำกลั่น	150	มิลลิลิตร
ปรับ pH 8.8 ด้วย HCl		
เติมน้ำกลั่นให้มีปริมาตรครบ	200	มิลลิลิตร
** เก็บที่ 4 °C ในขวดสีชา **		

1.2 สารละลายน้ำ 4X Stacking Gel buffer (0.5 M Tris-Cl, pH 6.8)

Tris base	3.0	กรัม
เติมน้ำกลั่น	40	มิลลิลิตร

ปรับ pH 6.8 ด้วย HCl  
 เติมน้ำกลั่นให้มีปริมาตรครบ 50 มิลลิลิตร  
 \*\* เก็บที่ 4 °C ในขวดสีชา \*\*

1.3 10% Ammonium persulphate

Ammonium persulphate	0.10	กรัม
น้ำกลั่น	1.00	มิลลิลิตร

\*\* ควรเตรียมก่อนใช้ \*\*

1.4 30 % Acrylamide / bisacrylamide

Acrylamide	29.20	กรัม
Bisacrylamide	0.80	กรัม
เติมน้ำกลั่นให้ครบ	100	มิลลิลิตร

\*\* เก็บที่ 4 °C ในขวดสีชา \*\*

1.5 15 % Acrylamide / bisacrylamide

Acrylamide	14.60	กรัม
Bisacrylamide	0.40	กรัม
เติมน้ำกลั่นให้ครบ	100	มิลลิลิตร

\*\* เก็บที่ 4 °C ในขวดสีชา \*\*

1.6 Tank Buffer (0.005 M Tris, 0.0384 M Glycine, pH 8.3)

Tris	30.28	กรัม
Glycine	144.13	กรัม
เติมน้ำกลั่นให้ครบ	10	ลิตร

1.7 Sample buffer

0.5 M Tris-HCl , pH 6.8	1.00	มิลลิลิตร
Glycerol	1.00	มิลลิลิตร
bromophenol blue	0.025	กรัม
น้ำกลั่น	1	มิลลิลิตร

### ส่วนผสมของแผ่นเจล

สารเคมี	Separating gel (7.5%)	Stacking gel (4%)
น้ำก๊าซ	7.40 มล.	2.09 มล.
1.5 M Tris-HCl pH 8.8	3.80 มล.	-
0.5 M Tris-HCl pH 6.8	-	0.78 มล.
30% Acrylamide / bisacrylamide	3.80 มล.	-
15% Acrylamide / bisacrylamide	-	2.60 มล.
10% Ammonium persulphate*	100 μ	50 μ
TEMED**	5 μ	10 μ
บรินาตราวม	15.0 มล.	5.5 มล.

\* เตรียมก่อนใช้โดยเติมหลัง degas

\*\* เติมหลังสุดเป็นตัวเร่งปฏิกิริยา

### 2. สารเคมีสำหรับย้อมเอนไซม์

#### 2.1 Trizma buffer, pH 7.5

Trizma Base	12.1	กรัม
Conc. HCl	7.5	มิลลิลิตร
เติมน้ำก๊าซให้ครบ	1000	มิลลิลิตร

#### 2.2 สารละลาย MTT

MTT	1	กรัม
น้ำก๊าซ	100	มิลลิลิตร

#### 2.3 สารละลาย PMS

PMS	1	กรัม
น้ำก๊าซ	100	มิลลิลิตร

2.4 0.1 M Na/K PO<sub>4</sub> buff, pH 6.8เตรียม 0.2 M KH<sub>2</sub>PO<sub>4</sub> (NaH<sub>2</sub>PO<sub>4</sub>)

KH <sub>2</sub> PO <sub>4</sub>	13.00	กรัม
เติมน้ำกลันให้ครบ	500	มิลลิลิตร

เตรียม 0.2 M Na<sub>2</sub>HPO<sub>4</sub>

Na <sub>2</sub> HPO <sub>4</sub>	35.814	กรัม
เติมน้ำกลันให้ครบ	500	มิลลิลิตร

ผสม 0.2 M KH<sub>2</sub>PO<sub>4</sub> : 0.2 M Na<sub>2</sub>HPO<sub>4</sub> ในอัตราส่วน 51 มิลลิลิตร : 49 มิลลิลิตร2.5 สารละลายน Sol<sup>n</sup> A

α Napthyl acetate	0.025	กรัม
Acetone	4	มิลลิลิตร

2.6 สารละลายน Sol<sup>n</sup> B

Fast Blue RR salt	0.030	กรัม
เติมน้ำกลันให้ครบ	15	มิลลิลิตร
0.2 M Na/K PO <sub>4</sub> buff, pH 6.8	15	มิลลิลิตร

## 2.7 สารละลายน Borate, pH 5.0

Boric acid	30.9	กรัม
เติมน้ำกลันให้ครบ	1000	มิลลิลิตร
ปรับ pH 5.0 ด้วย 1.0 M Trizma base		

## 2.8 Maleate buffer

Trizma base	24.2	กรัม
Maleic acid	23.2	กรัม
เติมน้ำกลันให้ครบ	1000	มิลลิลิตร

## 2.9 L-leucyl-β-naphthlamide

L- leucyl β naphthlamid	0.025	กรัม
น้ำกลัน	1	มิลลิลิตร

## 2.10 สารละลายน Fast garnet GBC

Fast garnet GBC	0.025	กรัม
-----------------	-------	------

น้ำกลั่น 10 มิลลิลิตร

2.11 0.1 M Tris – HCl, pH 7.4

Tris- HCl	0.788	กรัม
เติมน้ำกลั่น	40	มิลลิลิตร
ปรับ pH 7.4		
เติมน้ำกลั่นให้ครบ	50	มิลลิลิตร

2.12 สารละลาย NBT

NBT	1	กรัม
น้ำกลั่น	100	มิลลิลิตร

2.13 สารละลาย  $\beta$ -NAD

NAD	1	กรัม
น้ำกลั่น	100	มิลลิลิตร

2.14 0.05 M Tris- HCl, pH 8.5

Tris – HCl	3.94	กรัม
เติมน้ำกลั่นให้ครบ	500	มิลลิลิตร

2.15 Trizma buffer, pH 8.0

Trizma base	24.2	กรัม
Concentrated HCl	11.8	มิลลิลิตร
เติมน้ำกลั่นให้ครบ	1000	มิลลิลิตร

3. สารเคมีสำหรับย้อมโปรตีน (Comassie blue R-250)

Comassie blue	0.5	กรัม
Methanol	200	มิลลิลิตร
Acetic acid	50	มิลลิลิตร
เติมน้ำกลั่นให้ครบ	600	มิลลิลิตร

4. Destain solution

Methanol	40	มิลลิลิตร
Glacial acetic acid	20	มิลลิลิตร
เติมน้ำกลั่นให้ครบ	600	มิลลิลิตร

## 5. 0.05 M NaCl

NaCl	0.029	กรัม
เติมน้ำกลันให้ครบ	10	มิลลิลิตร

## ภาคผนวก ง

วิธีการย้อมเอนไซม์โดยใช้ปฏิกิริยาทางเคมีจำเพาะ

### วิธีการข้อมenkoไซม์โดยใช้ปฏิกิริยาเคมีจำเพาะ

#### 1. เอนไซม์ ALDOX (Tsukamoto 1989 : 461-479 และ Steiner 1979 : 35-54)

- แช่ແຜ່ນເຈລໃນສາຣະລາຍ Trizma buffer pH 7.5 ປົມມານ 35 ມິລລິລິຕຣ ເປັນເວລາ 5 ນາທີ
- ເຕີມ Benzaldehyde 0.2 ມິລລິລິຕຣ ທີ່ລະລາຍດ້ວຍ Acetone 2 ມິລລິລິຕຣ ລົງໄປທຶນໄວ້ປະມານ 15 ນາທີ
- ເຕີມສາຣະລາຍ MTT 1 ມິລລິລິຕຣ ລົງໄປທຶນໄວ້ປະມານ 30 ນາທີ ຈະປາກງແບນເອນໄຊມໍ້າ

#### 2. เอนໄຊມ් EST (Tsukamoto 1989 : 461-479)

- ແຜ່ນເຈລໃນ 0.1 M Na/K PO<sub>4</sub> buff, pH 6.8 ປົມມານ 35 ມິລລິລິຕຣ ປະມານ 3-5 ນາທີ
- ເຕີມ Sol<sup>a</sup> A ລົງໄປແລ້ວປ່ມຕ່ອນທີ່ມີດທຶນໄວ້ປະມານ 10 ນາທີ
- ເຕີມສາຣະລາຍ Sol<sup>a</sup> B ລົງໄປແລ້ວປ່ມຕ່ອນທີ່ມີດ ປະມານ 30 ນາທີ ຈະປາກງແບນເອນໄຊມໍ້າດເຈນ

#### 3. เอนໄຊມ් LAP (Steiner 1979 : 35-46)

- ແຜ່ນເຈລໃນສາຣະລາຍ Borate, pH 5.0 ປົມມານ 50 ມິລລິລິຕຣ ເປັນເວລາ 15 ນາທີ
- ແສາຣະລາຍ Borate, pH 5.0 ອອກ ເຕີມສາຣະລາຍ Maleate buffer ປົມມານ 50 ມິລລິລິຕຣ ແລະສາຣະລາຍ L-leucyl- $\beta$ -naphthlamide ປົມມານ 1 ມິລລິລິຕຣ ລົງໄປແລ້ວປ່ມເຈລຕ່ອນທີ່ມີດປະມານ 15 ນາທີ
- ເຕີມສາຣະລາຍ Fast garnet GBC ປົມມານ 10 ມິລລິລິຕຣ ລົງໄປທຶນໄວ້ປະມານ 2 ຂ້າໂມງ ຈະປາກງແບນເອນໄຊມ්

#### 4. เอนໄຊມ් LDH (Tsukamoto 1989 : 461-479)

- ແຜ່ນເຈລໃນ 0.1 M Tris – HCl, pH 7.4 ປົມມານ 50 ມິລລິລິຕຣ ເປັນເວລາ 5 ນາທີ

- เติม D,L sodium Lactate 1.2 มิลลิลิตร เติมสารละลาย MTT ปริมาณ 0.5 มิลลิลิตร สารละลาย NBT ปริมาณ 1.5 มิลลิลิตร และสารละลาย  $\beta$ -NAD ปริมาณ 2.5 มิลลิลิตร ลงไป ทิ้งไว้ประมาณ 10 นาที
- เติมสารละลาย PMS ปริมาณ 1 มิลลิลิตร ลงไปทิ้งไว้ประมาณ 3 ชั่วโมงจะปรากฏແບບເຄນໄໝໜ້າ

#### 5. ເຄນໄໝໜ້າ MDH (Ayala 1972 : 113-139)

- ແກ້ວແກ່ນຈේලໃນ 0.05 M Tris-HCl, pH 8.5 ເປັນເວລາ 5 นาທີ
- ເຕີມสารละลาย MTT ปริมาณ 2 มิลลิลิตร สารละลาย  $\beta$ -NAD ปริมาณ 2.5 มิลลิลิตร ແລະ malic acid 50 mg ທີ່ໄວ້ປະມານ 1 ຊົ່ວໂມງ 30 นาທີ
- ເຕີມสารละลาย PMS ปริมาณ 0.5 มิลลิลิตร ลงໄປແລ້ວປ່ຽນຕ່ອນທີ່ມີດ ທີ່ໄວ້ປະມານ 2 ຊົ່ວໂມງຈະປາກງູແບບເຄນໄໝໜ້າຫຼັດເຈັນ

#### 6. ເຄນໄໝໜ້າ XDH (Steiner 1979 : 35-46)

- ແກ້ວແກ່ນຈේලໃນสารละลาย Trizma buffer, pH 8.0 ປະມານ 30 ມີລິລິຕົວ ທີ່ເຕີມ hypoxanthine 100 mg สารละลาย MTT ປະມານ 1 ມີລິລິຕົວ ແລະ ສາຣະລາຍ  $\beta$ -NAD ປະມານ 2 ມີລິລິຕົວ ลงໄປແລ້ວປ່ຽນຈේລຕ່ອນທີ່ມີດ 40 นาທີ
- ເຕີມสารละลาย PMS ປະມານ 0.5 ມີລິລິຕົວ ທີ່ໄວ້ປະມານ 2 ຊົ່ວໂມງ ຈະປາກງູແບບເຄນໄໝໜ້າ

## ภาคผนวก จ

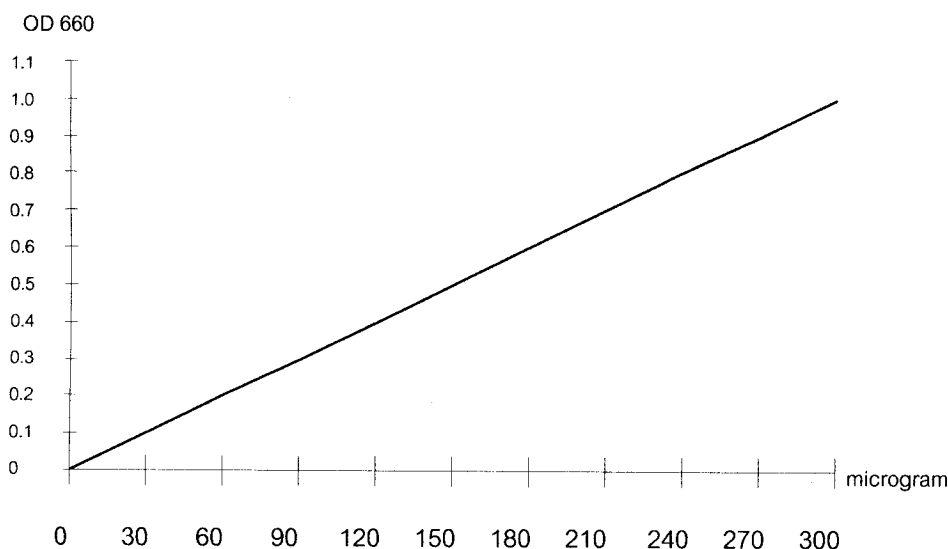
การวัดปริมาณโปรตีนที่ได้จากแผ่นเท้าหอยน้ำจืด

*Paludomus* spp. ด้วยเทคนิค Lowry's method

1. การวัดปริมาณโปรตีนแผ่นเท้าหอยน้ำจืด *Paludomus spp.* จากแหล่งสำรวจทั้ง 10 พื้นที่
  - 1.1 นำสารละลายโปรตีนจากแผ่นเท้าหอยมาเจือจากด้วยน้ำกลันในอัตราส่วน 1:100 และ 1:50 ปรับปริมาตรรวมให้ได้ 1 มิลลิลิตร
  - 1.2 เตรียมสารละลายโปรตีนมาตรฐาน และสารละลายที่ใช้ในการวัดปริมาณโปรตีน
    - เตรียมสารละลายโปรตีนมาตรฐาน โดยใช้ Bovine Serum Albumin (BSA) 0.3 mg / ml ใน 0.85% NaCl
    - เตรียมสารละลาย A  
 $\text{Na}_2\text{CO}_3$  100 กรัม ใน 1 ลิตร 0.5N NaOH
    - เตรียมสารละลาย B  
 $\text{CuSO}_4 \cdot 5\text{H}_2\text{O}$  1 กรัม ในน้ำกลัน 100 มิลลิลิตร
    - เตรียมสารละลาย C  
 Potassium sodium tartrate 2 กรัม ในน้ำกลัน 100 มิลลิลิตร
- 1.3 วิธีวัดปริมาณโปรตีน
  - 1.3.1 ผสมสารละลาย A:B:C ในอัตราส่วน 15 : 0.75 : 0.75 มิลลิลิตร
  - 1.3.2 นำสารละลายโปรตีนมาตรฐานที่เตรียมไว้สลงในแต่ละหลอดปริมาณ 0, 0.1, 0.2, 0.3, 0.4, 0.5, 0.6, 0.7, 0.8, 0.9, 1 ml. แล้วปรับปริมาตรด้วยน้ำกลันให้ได้ปริมาตรรวมเป็น 1 มิลลิลิตร
  - 1.3.3 เติมสารละลายที่ผสมแล้วจากข้อ 1.3.1 ใส่ในข้อ 1.3.2 หลอดละ 1 มิลลิลิตร แล้วบ่ม (incubate) ประมาณ 15 นาที ที่อุณหภูมิห้อง
  - 1.3.4 ระหว่างรอการบ่ม (incubate) เตรียม 2N Folin-Phenol ปริมาตร 5 มิลลิลิตร ผสมกับน้ำกลัน 50 มิลลิลิตรให้เข้ากัน
  - 1.3.5 เติมสารที่เตรียมไว้ในข้อ 1.3.4 ใส่ลงในหลอดทดลองในข้อ 1.3.3 หลอดละ 3 มิลลิลิตร ผสมให้เข้ากันทันที นำไปบ่ม (incubate) ประมาณ 45 นาที ที่อุณหภูมิห้อง
  - 1.3.6 นำสารละลายโปรตีนมาตรฐานที่ได้ และสารละลายโปรตีนจากแผ่นเท้าหอยน้ำจืด *Paludomus spp.* ที่เจือจากไว้ปัดค่าดูดกลืนแสงที่ 660 nm โดยใช้น้ำกลันเป็น blank

## 2. การคำนวณปริมาณโปรตีน

นำค่าการดูดกลืนแสงของสารละลายโปรตีนที่ได้เปรียบเทียบกับกราฟการดูดกลืนแสงของสารละลายโปรตีนมาตรฐานดังนี้



ตัวอย่าง สารละลายโปรตีนวัดปริมาณโปรตีน โดยทำการเจือจางกับน้ำกลั่นในอัตราส่วน 1:50 และ 1:100 เมื่อทำการวัดค่าการดูดกลืนแสงที่ 660 nm พบร่วมค่าการดูดกลืนแสงดังนี้

$$1:50 \quad OD_{660} = 0.182$$

$$1:100 \quad OD_{660} = 0.151$$

นำค่าการดูดกลืนแสงที่ได้ไปเปรียบเทียบกับกราฟโปรตีนมาตรฐาน พบร่วม

1:50  $OD_{660}$  ตรงกับปริมาณโปรตีน  $56 \mu\text{g}$  คุณปริมาณโปรตีนที่ได้กับอัตราส่วนการเจือจาง  $56 \times 50 = 2,800 \mu\text{g}$

1:100 ตรงกับปริมาณโปรตีน  $45 \mu\text{g}$  คุณปริมาณโปรตีนที่ได้กับอัตราส่วนการเจือจาง  $45 \times 100 = 4,500 \mu\text{g}$

จากนั้นนำคิดปริมาณโปรตีนเฉลี่ย โดยนำปริมาณโปรตีนที่คำนวณได้มารวบกันแล้วหารด้วยจำนวนอัตราส่วนการเจือจาง

$$\text{ปริมาณโปรตีนเฉลี่ย} = (2,800 + 4,500) / 2 = 3,650 \mu\text{g}$$

ดังนั้นมีปริมาณโปรตีนประมาณ 3.6 มิลลิกรัมต่อมิลลิลิตร

3. ค่าการดูดกลืนแสงและปริมาณโปรตีนจากแผ่นเท้าหอยน้ำจืด *Paludomus* spp.

จุดสำรวจ	1:50 / OD <sub>660</sub>	1:100 / OD <sub>660</sub>	ปริมาณโปรตีน(mg/ml)
น้ำตกไทรโยคน้อย	0.182	0.151	3.65
น้ำตกไทรโยคใหญ่	0.201	0.095	2.90
หัวยเตาดำ	0.128	0.040	1.75
ลำธารข้างบ่อน้ำพุร้อนหินดาด	0.202	0.152	4.00
น้ำตกผาดาด	0.192	0.085	2.70
น้ำพุหัวยเขย่ง	0.187	0.131	3.38
ลำธารป่าชุมชนบ้านท่ามะเดื่อ	0.138	0.095	2.45
น้ำตกเกริงกระเวีย	0.106	0.042	1.40
น้ำตกไดซ่องถ่อง	0.170	0.068	2.33
น้ำตกตะเคียนทอง	0.152	0.056	2.00

## ประวัติผู้วิจัย

ชื่อ-สกุล	นางสาวนภัสสร โน๊ตศิริ
ที่อยู่	444/22 หมู่ 4 ถนนราชดำเนิน ตำบลบ้านหม้อ อำเภอเมือง จังหวัด เพชรบูรี 76000
<b>ประวัติการศึกษา</b>	
พ.ศ. 2543	สำเร็จการศึกษาปริญญาศึกษาศาสตร์บัณฑิต วิชาเอกชีววิทยา จาก มหาวิทยาลัยศิลปากร พระราชนองค์สมเด็จพระปรมินทรมหาภูมิพลอดุลยเดช นครปฐม
พ.ศ. 2543	ศึกษาต่อระดับปริญญาโท สาขาวิชาชีววิทยา บัณฑิตวิทยาลัย มหาวิทยาลัยศิลปากร